

*Thomas H.
Dawson*

**OFFSHORE
STRUCTURAL
ENGINEERING**

T. Довсон

**ПРОЕКТИРОВАНИЕ
СООРУЖЕНИЙ
МОРСКОГО
ШЕЛЬФА**

Перевод с английского В. А. Сметана
и К. Н. Штычека

50

573894



ПЕНИНГРАД
„СУДОСТРОЕНИЕ“
1988

PRENTICE-HALL, INC.

Englewood Cliffs, New Jersey 07632

РЕДАКЦИОННАЯ КОЛЛЕГИЯ

СЕРИИ:

И. Б. ИКОНИКОВ (ответственный редактор), В. И. БАРАНЦЕВ, В. М. ГАВРИЛОВ,
 А. Н. ДМИТРИЕВ, В. А. ЛОБАНОВ,
 Б. Г. МАСЛЕННИКОВ, И. В. МЕРЕНОВ,
 В. А. МОЛГАНОВ, И. Г. РУСЕЦКИЙ (зам. ре-
 дактор), Б. Ф. ТИТАЕВ, Н. П. ЧИКЕР,
 А. И. ШАПОШНИКОВ, В. С. ЛСТРЕБОВ

Научные редакторы: канд. техн. наук
 Д. В. МАРЧЕНКО, канд. техн. наук
 В. А. СМЕЛОВ, доцент, физ.-мат. науки
 К. Н. ХАЛИНЕК

Деусой Т.

Д71 Проектирование сооружений морского шельфа. Пер. с англ. —
 Л.: Судостроение, 1986, 288 с., ил. (Техника освоения океана). —
 Пер. изд.: Englewood Cliffs, USA, 1983.

НС88

Книга предназначена для инженеров-конструкторов, строительных специалистов, бургундов, ученых, а также методистов профтехучилищ и их учеников при изучении воздействия. Приведены сведения о строительной механике, конструктивных материалах, механизмах грунтов, гидравлике земли, динамики сооружений. Книга иллюстрирована проблемами и четкими схемами, решениями различных объектов.

Книга предназначена для магистров, занимавшихся строительством сооружений на континентальном шельфе, может быть использована студентами при изучении курса специальных морских гидротехнических сооружений.

Д 3605030000-061 24-86
 948(88)-86

39.49

© 1983 by Prentice-Hall, Inc., Englewood Cliffs, New Jersey 07632
 © Перевод за русский яз. Издательство "Судостроение", 1986 г.

ПРЕДИСЛОВИЕ

Эта книга задумана как введение в курс проектирования стационарных морских гидротехнических сооружений. В ней изложены отраженные основы строительной механики и вопросы, связанные с возникновением нагрузками, свойствами основанием и динамической реакцией сооружений, которые в настоящее время приобретают особое значение.

Основные представления базируются шпаргалкой по материалам, излагаемым в курсах инженерной механики для студентов последних лет обучения. Требуемый для понимания материала уровень математической базы ограничен предметами, поставленными для проведения обычных вычислений и решения дифференциальных уравнений. Для лучшего усвоения материала и изложения примененных формул изложение теории в книге сопровождается большим количеством числовых примеров.

За общим введением, представленным главой 1, следует изложение теории расчета спиральных систем в виде фирм и рам — глава 2. Приводя эту теорию, автор считает целесообразным использовать современные математические методы, имеющие ввиду применение ЭВМ для решения сложных задач. Такой подход имеет явные преимущества, состоящие в скромном изложении теории и возможности ее непосредственного применения к решению практического задач без необходимости изучения техники получения практических решений. Для читателя, знакомого с матричной алгеброй, кратко, но вполне достаточное ее изложение приведено в приложении.

В главе 3 рассматривается нагружение на сооружения от воздейстия окружающей среды. К ним относятся нагрузки от ветра и волн, течения, гидростатического давления, плавающего льда и наледей. Следующая, приведенная в предыдущих двух главах, обстоит в главе 4, в которой излагаются методы статического расчета стационарных морских гидротехнических сооружений. Помимо стальных ферменного типа конструкций определенное внимание уделяется бетонным конструкциям с предварительно напряженным или обычным армированием, необходимым для восприятия воздействия окружающей среды. В этой же главе даны основы динамики сооружений, используемые при оценке пригодности статических расчетов для проектируемого сооружения.

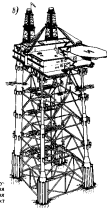
Глава 5 знакомит с расчетом оснований морских гидротехнических сооружений. В ней приведены краткое введение в механику грунтов, изложены способы расчета сдвиг и фундаментов. Предложены приближенные методы учета взаимодействия сооружения и грунтового основания.

Наконец, в главе 6 получены развитие вопросов динамического расчета, кратко изложенные в главе 4; в их числе изменяющиеся во времени возмущения нагрузки, системы со многими степенями свободы, динамическая реакция системы на нерегулярное случайное воздействие моря и реакции сооружений на сейсмические воздействия.

а)



б)



Задачи буровых платформ, возникшие в Некстаканском районе: а – первая металлическая платформа, установленная в 1947 г. на глубине 6 м; б – проект современной конструкции платформы.

1. ВВЕДЕНИЕ

Проектирование морских гидротехнических сооружений – сравнительно новая область инженерного искусства, связанные с конструированием и расчетом морских платформ различного назначения. Она возникла около 1947 г., когда в Мексиканском заливе из открытой скважины была уст祩длена первая, выполненная из стали конструкция. Эта область инженерного искусства отличается от других разделов ряда специфическими проблемами, связанными с транспортировкой конструкций к месту эксплуатации, поставкой ее на морское дно и обеспечением способности противостоять суровым условиям окружающей среды в течение всего периода эксплуатации. Возникновение новой технологии определило развитие нефтедобывающей промышленности и ее потребности в стационарных платформах для освоения значительных месторождений нефти из морского шельфа. Однако, использование таких сооружений не ограничивается только нуждами указанной отрасли промышленности, а также значение они имеет также для военных и кавалерийских целей.

Основное изложение книги – изложение основ расчетных методов, используемых при проектировании морских гидротехнических сооружений. В настоящий этап приводится краткий обзор сооружений. Детальному рассмотрению вопросов, связанных с их расчетом, посвящены все последующие главы книги.

1.1. Проектирование стационарных морских гидротехнических сооружений

Проектирование морских сооружений во многом аналогично проектированию наземных сооружений, но имеет и специфику, связанную с тем, что морские сооружения изготавливаются в одном месте, а устанавливаются для эксплуатации в другом. Наиболее основные этапы типового процесса при проектировании морского гидротехнического сооружения:

1. Выяснение назначения сооружения.
2. Оценка условий окружающей среды и характеристика места установки сооружения.

3. Предварительное проектирование, в процессе которого основное внимание должно быть уделено выбору способа установки сооружения на место эксплуатации.

4. Оценка материальных затрат, затраты на, возникающие при изготовлении установочных сооружений, требований к основанию и выбор окончательного конструктивного решения.

5. Установление размеров принятой конструкции и ее деталей, обеспечивающих восприятие заданных эксплуатационных нагрузок и воздействий окружающей среды.

6. Окончательная оценка способности запроектированного сооружения выдерживать нагрузки, возникающие в процессе его транспортировки и постановки на место эксплуатации.

Назначение морского гидротехнического сооружения обычно определяет минимальные значения площади и веса платформы, которая должна быть установлена в определенном месте. Экономичность конструкции спортивного основания платформы определяется, в первую очередь, способом постановки ее на место эксплуатации, воздействиями окружающей среды, а также местными условиями. Возействие окружающей среды, т. е. влияние на прочность конструкций ветра, течения, волн, а также действия плавающего льда и землетрясений, должно быть known заранее. К местным условиям относятся глубина воды и характеристика грунтового основания, причем последние особенно важно для расчета фундамента сооружения.

После получения первоначальной информации можно перейти к предварительному проработке способа постановки сооружения на место эксплуатации с учетом заданных эксплуатационных нагрузок и приблизительных оценок нагрузок от основных видимых воздействий. В большинстве случаев основными являются волновые нагрузки, хотя иногда значительную опасность для сооружения могут представлять ледовые воздействия или землетрясения. На стадии предварительного проектирования некоторые варианты конструктивных решений могут быть отвергнуты, как экономически невыгодные или неприменимые с точки зрения технологии изготовления или способа постановки сооружений на морское дно. Другие варианты могут потребовать более подробного изучения многих вопросов (например, вопроса о стоимости), возникающих на пути реализации проектного решения. В конце концов выбирают форму конструкции, способ постановки на дно, уточняют размеры и детали, обеспечивающие сооружению способность противостоять внешним воздействиям. Эксплуатационные нагрузки рассчитываются приемным методом, а воздействия окружающей среды путем последовательных приближений. Это объясняется тем, что изменение размеров элементов конструкции приводит к изменению нагрузок. На эти элементы в свою очередь в свою очередь. И поскольку, запроектированное сооружение должно быть проверено на способность выдерживать нагрузки, возникающие в процессе транспортировки и доставки на дно. Эти нагрузки могут оказаться весьма значительными, и пренебрежение ими может привести к серьезным повреждениям сооружения еще до начала его эксплуатации.

1.2. Стационарные морские гидротехнические сооружения

Конструкции с ферменным спортивным основанием

Одни из наиболее распространенных типов морских гидротехнических сооружений показаны на рис. 1.1. Сооружение этого типа состоит из собранного на береговой строительной базе металлического сварного основания, имеющего вид пространственной фермы

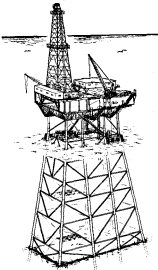


Рис. 1.1. Конструкция современной буровой платформы на сварном основании ферменного типа.

трамплиновой формы, пространяющейся от морского дна до некоторой отметки над водной поверхностью, и металлического, заранее (до установки) изготовленного верхнего строения (платформы). Платформа опирается на трубычатые сваи, забитые в грунтовое основание через колонны опорного основания. Эти сваи не только поддерживают платформу, но и фиксируют сооружение в целом от сдвиговших нагрузок, вызываемых ветром, волной и течением.

Конструкции, показанные на рис. 1.1, характерны для современных сооружений, эксплуатируемых на глубинах до 110 м. Сооружения такого типа впервые были установлены у побережья шт. Луизиана в Мексиканском заливе в конце 40-х годов¹. Первое сооружение было установлено на глубине 6 м в 1947 г. [15]. Вскоре было установлено второе, аналогичное по конструкции, сооружение на глубине 15 м. В 50-х годах глубины воды, на которых устанавливали такие сооружения, достигли 30 м. И хотя первые сооружения имели опорное основание и сваи, поддерживающие верхнее строение, они не получили еще столь компактную форму, как сооружение, изображенное на рис. 1.1. Они включали несколько расположенных рядом небольших опорных оснований, через многочисленные и часто расположенные колонны которых забивали сваи. К середине 60-х годов сооружение приобрело форму, очертания которой показаны на рис. 1.1, и устанавливались уже на глубинах 90 м и больше. В течение 70-х годов глубины, на которых устанавливали такие сооружения, увеличились более чем вдвое и достигли 300 м. В настоящее время в Мексиканском заливе эксплуатируются многие сотни платформ, и продолжают устанавливаться новые. Хотя существуют сооружения — ротордрагены на глубинах установки, все же большая часть сооружений рассматриваемого типа называется на глубинах менее 90 м. При проектировании этих сооружений определяющую роль играет их конструкция и принятый способ установки на место эксплуатации [16].

Опорное основание обычно изготавливается на берегу в горизонтальном положении и затем переносится на баржу с помощью лифтом и буксируется на ней к месту постановки на морском дне. Там опорное основание сдвигается с баржи и с помощью плавучего края устанавливается в вертикальном положении на дно. Вслед за этим через колонны опорного основания и грунт с помощью крана, находящегося на судне, погружаются сваи. По достижении проектной глубины забивки свай верхние их части, выступающие над опорным основанием, срезают, и далее устанавливают верхнее строение, которое привинчивают к головкам свай. В закрытом виде вес верхнего строения сооружения полностью воспринимается сваями, а опорное основание препятствует их относительному боковому смещению. Последовательность производства работ по сборке сооружения показана на рис. 1.2.

Операция по сборке и установке сооружения (рис. 1.2) характеризуется лишь чисто технологических факторов, которые должны быть учтены в процессе проектирования. Например, вес опорного основания,

хотя оно представляет единую целую, не может превышать грузоподъемность кранового оборудования на сборочной площадке, кроме того, вес и размеры опорного основания не должны превосходить грузоподъемность баржи, на которой оно буксируется. Опорное основание должно быть рассчитано на нагрузки, возникающие при перевозке ее с берега на баржу. В свою очередь оно должно быть рассчитано и на нагрузки, возникающие при спуске с баржи на воду. После спуска на воду опорное основание должно обладать достаточной плавучестью. Вместе с тем оно должно быть сконструировано так, чтобы с помощью плавучего края и путем балластировки водой отдельных отсеков оно могло быть приведено в вертикальное положение и установлено на дно. Расчетная глубина забивки свай, загружаемых через колонны опорного основания для фиксации его на месте и для восприятия веса верхнего строения, должна соответствовать рабочим характеристикам крана. Наконец, вес верхнего строения или модулей не должен

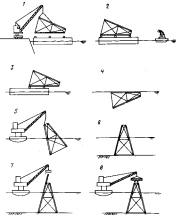


Рис. 1.2. Последовательность окончаний по трассированию и установки опорного основания ферменного типа.

¹ В СССР аналогичные сооружения впервые на Каспийском море в 1936 г. — Здрав и далее применение параллельное.

превышающей грузоподъемность плавучего крана, используемого для монтажа верхнего строения.

Последовательность работ, показанная на рис. 1.2, по сборке сооружения с сечьми громоздкими опорными основаниями, предназначенными для глубоководных акваторий, должна быть изменена. В этом случае опорное основание разделяют на два или несколько модулей, каждый из которых доставляют в место эксплуатации отдельно, после чего их собирают. Определьные модули основания могут быть соединены по его плавникам на морское дно, или их можно устанавливать друг на друга и соединять между собой в окончательном вертикальном положении.

Иная последовательность установки опорного основания, показанного на рис. 1.2, используется для больших сооружений. Она заключается в придании ему собственной плавучести, достаточной для буксировки на плоскую, что позволяет избежать необходимости спуска с борта. Обычно это достигается увеличением размеров колонн. После спуска на воду со сборочной береговой площадки опорное основание буксируют в место установки и ставят на дно в вертикальном положении путем баластировки отsekой колонн.

В противоположность этому для легких опорных оснований, предназначенных для относительно мелких акваторий, можно исключить операцию спуска с борта, а поднимать их с борта и устанавливать на дно в вертикальном положении плавучим краем.

Восьмиколонная конструкция опорного основания, показанная на рис. 1.1, является стандартной для сооружений, предназначенных для глубин около 110 м. Незначительная модификация конструкции становится необходимой, если сооружение расположается на очень тяжелых осадочных породах. Она состоит в том, что для повышения засухой способности основания кроме основных свай применяются дополнительные "окаймляющие" сваи, размещенныe по периметру опорного основания. Они погружаются через короткие направляющие шлангеры (кондукторы), присоединенные к опорному основанию, с поверхности воды с помощью подъемника (передаточной линии). Связь "окаймляющих" свай с опорным основанием достигается напряжением бетонного (железобетонного) раствора в пространстве между этими сваями и направляющими цилиндрами.

Типичная конструкция опорного основания буровой платформы, модифицированная описаным выше образом, изображена на рис. 1.3. Это сооружение расположено в Мексиканском заливе у побережья шт. Луизиана на глубине около 90 м. Верхнее строение имеет в плане размеры 18 x 36 м и массу около 900 т. Масса опорного основания около 1800 т. Восемь трубчатых свай 1, забитых через колонны опорного основания, имеют наружный диаметр 1,22 м и толщину стенки около 25 мм. В дополнение к ним по периметру основания забиты четыре "окаймляющие" сваи 2. Все сваи забиты в грунт с нахлестом 1 : 7 к вертикали на глубину от 60 до 90 м. Сооружение рассчитано на суммарную горизонтальную нагрузку от ветра, волны и течения, равную 13,5 МН, соответствующую максимальным штормовым условиям. Поскольку основные нагрузки максимальны у поверхности воды, то равнодействующая

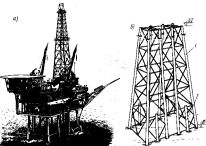


Рис. 1.3. Опорное основание с "окаймляющими" сваями буровой платформы, используемой на шельфе Мексиканского залива [26]. (Утверждено от Луизиана): а — общий вид сооружения; б — схема основания.

нагрузок приложена почти у самого верха сооружения. Поэтому сооружение рассчитано и на опрокидывающий момент 1000 МН·м. Эти нагрузки и момент в пять—семь раз больше действующих при максимальном ветре на 25-этажное, т. е. 90-метровой высоты, здание на суше.

Для сооружений, предназначенных для использования на глубинах свыше 110 м, могут быть рассмотрены две модификации восьмиколонной конструкции опорного основания. В первом из них увеличено число колонн, так что вместе с "окаймляющими" сваями они могут воспринимать дополнительные нагрузки от верхнего строения и противостоять увеличивающимся горизонтальным нагрузкам и опрокидывающему моменту. В другом конструктивном решении принято во внимание то обстоятельство, что чем выше опорное основание и шире его база, тем меньше участок в восприятии опрокидывающего момента имеет средние сваи. Поэтому в противоводействие предыдущему решению в основу восьмиколонной конструкции, как показывают расчеты, можно включить средние сваи и расположить все сваи по четырем углам сооружения [16].

Морские нефтедобывающие платформы с опорными основаниями в виде ферм установлены не только на побережье шт. Луизиана, но и вдали от него. Они побоялись тем, что эксплуатируются в Мексиканском заливе, но помимо нагрузок от ветра, волнения и течения рассчитаны на сейсмические воздействия. Представляет интерес описание одного из таких сооружений, приведенное в работе [25]. Сооружения рассматриваемого типа эксплуатируются в различных

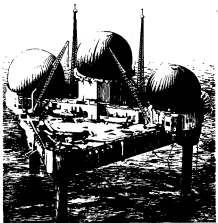


Рис. 1.4. Одни из „Техасских башен”, установленных в 50-х годах в Атлантическом океане у северо-восточного побережья США для нужд обороны.

районов мира, в том числе в известном жестоком шторме Северном море, где предполагают возрастать объемы буровых работ и нефтедобычи.

Помимо нефтедобывающих морских гидротехнических сооружений в виде промышленных платформ применяются также в военных целях. Действительно, первым примером использования платформ в областях, не связанных с бурением нефтяных скважин, было решение задач обороны. Система таких платформ, на северо-востоке США известных под названием „Техасские башни”, состоявшая в 50-х годах часть системы дальнего обнаружения ПВО США. Радиолокационные системы, устанавливаемые на этих платформах, были предназначены для обнаружения самолетов противника на дальних подступах, что в ту пору было невозможно достичь иным способом. Одни из нескольких таких башен, установленных на южне Атлантики, показаны на рис. 1.4.

Более современными из имеющихся военное назначение сооружениями являются четыре платформы, установленные в 1977 г. у побережья

шт. Северная Каролина и находящиеся в распоряжении командования авиации ВМС США. Размещенные на этих платформах радиолокационные станции автоматического сопровождения могут регистрировать действия самолетов ВМС и помогают им проложить экономичные и безопасные курсы над обширными исключительными пространствами. Одна из башен



Рис. 1.5. Одна из платформ, установленных у побережья шт. Сев. Каролина для нужд воинской ВМС США.

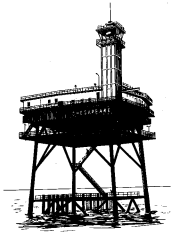


Рис. 1.6. Башни-маки, установленные у азиатского побережья СИА.

показаны на рис. 1.5. Растворяющиеся такие башни аналогично платформам, предназначенным для бурения нефтяных скважин за тем исключением, что, как и для „Техасских башен”, последнее уменьшения массы верхнего строения, для них достаточно трех опорных колонн.

В течение 60-х годов береговая охрана СИА установила на шельфе, Азиатские несколько платформ для заморозочных цехов. Подобно „Техасским башням”, эти сооружения демонстрируют еще одну область применения платформ, не связанные с добывчей нефти. Рассмотрены работы [10, 38]. Платформы были установлены для замены устаревших плавучих маков. Хотя основной причиной замены плавучих маков платформами были экономические соображения, несомненно, преимуществами новых сооружений являются их

фиксирование положение и функциональная надежность при любой погоде. Одна из таких башни-маков, установленная на входе в Чесапикский залив у побережья шт. Вирджиния, показана на рис. 1.6.

Ледостойкие конструкции

Первое существенное изменение конструкции морских платформ произошло в 60-х годах при проектировании сооружений, предназначенных для эксплуатации в заливе Кука у Аляски. Обширные пядевые волны, движущиеся, например, во время приливов, могут ударять о сооружение и оказывать на него нагрузки большие, чем исторические ветры, волны и течения. В конструкциях сооружений, предназначенных для этого района, удачны диагональные и горизонтальные связи в зоне, соответствующей тропическим компонентам горизонта воды, а также там, где они могут быть разрушены плавающим льдом. Верхнее строение у таких сооружений опирается на четыре колонны большого диаметра. Внутри каждой колонны по периметру забито несколько свай [25]. Такие конструкции получили название ледостойкими. На рис. 1.7 показано одно из таких сооружений в период его эксплуатации и детали опорного основания. Колонны опорного основания имеют диаметр 4,6 м и высоту 42 м, через каждые из них в грунт на глубину до 27 м забито по восемь свай диаметром 0,75 м.

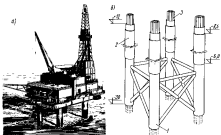


Рис. 1.7. Ледостойкие конструкции, разработанные для использования в заливе Кука (Аляска): а – на месте эксплуатации; б – опорное основание
1 – опорные колонны; 2 – заполнитель противодавления

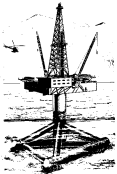


Рис. 1.8. Ледостойкие ковшотрансформы буровой платформы типа моноблока, установленные в 1966 г. в заливе Куус (Аляска).

Кроме конструкций, имеющих по четыре колонны в опорном основании, в заливе Куус установлена конструкция с одной колонной (моноблока). Необходимая для буксировки плавучесть создается здесь благодаря резервуарам, прикрепленным к нижней части опорного основания. Для закрепления сооружения на дне и поддержания верхнего строения в грунте через опорные колонны забиваются основные сваи, а по периметру основания «скайдингами» сваи (рис. 1.8).

Гравитационные конструкции

Опорные основания ферменного типа, описанные выше, обычно используются на мягких грунтах в районах, подобных Мексиканскому заливу, где глубоко забиваемые сваи удерживают все сооружение от сдвигов и воспринимают вес верхнего строения. Для районов с твердыми грунтами, загружающими сооружение сваи, предложены иные конструкции опорного основания, которые удерживаются от сдвига под влиянием ветра, волн и течения благодаря собственному весу. Значительные по размерам ячейки фундаментного блока основания создают при их балластировке преграды, необходимые для обеспечения устойчивости сооружения, и распределяют вес сооружения по площади, достаточно большой по условию прочности. Такие конструкции обычно относят к гравитационным.

Рассчитанные в основном на восприятие вертикальных воздействий, эти сооружения устанавливаются так же, как обычные. Опорные основания собираются из береговой плоскости, буксируются к месту эксплуатации, устанавливаются в вертикальном положении и закрепляются с помощью свай, забиваемых через колонны. Благодаря большому диаметру колонн, опорное основание обладает достаточной изначальностью, что позволяет обойтись без специальных барж для транспортировки.

Кроме конструкций, имеющих по четыре колонны в опорном основании, в заливе Куус установлена конструкция с одной колонной (моноблока). Необходимая для буксировки плавучесть создается здесь благодаря резервуарам, прикрепленным к нижней части опорного основания. Для закрепления сооружения на дне и поддержания верхнего строения в грунте через опорные колонны забиваются основные сваи, а по периметру основания «скайдингами» сваи (рис. 1.8).

Наиболее распространенным видом гравитационных конструкций являются железобетонные конструкции с крупными цилиндрическими фундаментными ячейками, которые окружены несколькими наслоениями арматуры с другим опорным колоннами, поддергивающими верхние строение с оборудованием. Конструкции такого рода установлены в середине 70-х годов в районе Северного моря. Рис. 1.9 отражает характерные особенности этих конструкций. Показано здесь проектное решение, разработанное и осуществленное в Норвегии, известно под названием Кондинг (concrete deepwater, т. е. бетонная, глубоководная).

Способ строительства бетонных сооружений гравитационного типа существенно отличается от описанного выше. Последовательность производства работ, принятая для сооружений в Северном море, показана на рис. 1.10. Фундаментную часть изготавливают в сухом доке, затем ее выводят из дока на плоскую и ставят на якоря в глубоководной гавани. Далее вводят в скользящую опалубку опорные колонны. По достижении колоннами проектной высоты опорные основания дополнительные балластируют водой, после чего на него наносят якорь заранее изготовленный металлический корпус верхнего строения и приваривают к верхней части опорных колонн. Затем монтируют оставшиеся модули верхнего строения, сооружение балластируют и отбуксировывают к месту эксплуатации, где оно снова принимает башмак и устанавливается в окончательном положении.

На рис. 1.11 показана типичная платформа гравитационного типа в процессе ее буксировки в эксплуатационном состоянии в районе Северного моря с глубиной воды около 120 м. Фундаментная часть сооружения состоит из 16 витальных цилиндрических ячеек диаметром 20 м, имеющей 50 м и стеками толщиной 0,6 м. Три опорные колонны, изолирующиеся на ячейками фундамента на 100 м, имеют наружный диаметр, изменяющийся кверху от 20 до 12 м. Масса верхнего строения вместе с оборудованием составляет 2250 т, а масса опорного основания — около 270 000 т.

Одним из преимуществ гравитационных сооружений является сокращение времени, необходимого для их постановки на место эксплуатации. Это особенно важно для таких неподходящих районов, как Северное море, где труднопрекорюемые погодные условия заставляют сокращать время, отводимое на постановку сооружения. Другим преимуществом этих сооружений является способность массивных железобетонных колонн нести очень большой вес верхнего строения. Так, вес верхнего строения вместе с оборудованием у гравитационного сооружения,

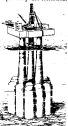


Рис. 1.9. Гравитационная жесткобетонная буровая платформа, названная Кондинг в Северном море.

показанного на рис. 1.11, в 20 раз больше, чем у типичного сооружения со стальным опорным основанием ферменного типа.

Для возведения гравитационных сооружений необходимы глубоководные гавани и фарватеры для транспортировки. Для платформ,

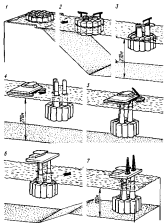


Рис. 1.10. Последовательность операций по возведению в установленном транспортном положении бетонной базовой платформы.

1 – установка матового с изолированной нижней частью чистого фундамента опорного основания; 2 – засыпка бетоном пирсов 15 ячеек фундамента и начало установки опорных колонн с привязкой изолированной опорной части; 3 – частичное спрессование в проектное положение колонн в глубоководной гавани (глубина ~270 м); 4 – транспортировка кордера верхнего строения к установленному опорному основанию; 5 – установка второго строения на гравитационное опорное основание, снятые дополнительными морской аллюминиум; 6 – буксировка сооружения в место эксплуатации; 7 – установка сооружения на место (глубина около 120 м).

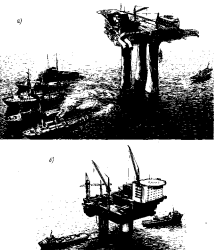


Рис. 1.11. Буровая платформа из гравитационного опорного основания в процессе буксировки (а) или моря эксплуатации в районе Северного моря (б).

предназначенные для эксплуатации в Северном море, такие условия имеются в Норвежском фьордах.

Не все гравитационные сооружения должны быть железобетонными или иметь такие гигантские размеры, как показано выше. Стальная гравитационная платформа близ, например, установлена на шельфе у Нигерии, где система грунта исключает возможность закрепления сооружения от сдвига с помощью садж [44].

Настоящей иллюстрацией применения стальных гравитационных платформ являются установленные в Мексиканском заливе в районе Флориды радиотелеграфные вышки ВВС США. Они состоят из стальной трубчатой колонны, открытой на заполненный камнем стальной

Рис. 1.12. Металлическая траекториальная конструкция радиокоммуникационной вышки, установленной в районе Флориды для ВВС США.

короб. Рис. 1.12 показывает одну из таких вышек после постановки на дно, т. е. в эксплуатационном состоянии.

Общая высота сооружения около 60 м, причем на поверхности оно находится под водой.

В районе установки этих вышек морское дно представляет собой толстый слой песка, обеспечивающий достаточно устойчивое опирание.



Глубоководные конструкции

При глубинах воды более 300 м вес конструкций традиционных морских гидротехнических сооружений достигает большой величины, и для обеспечения их надежного опирания на грунт более целесообразным становится применение специальных конструкций, предназначенных для больших глубин.

На рис. 1.13 показана конструкция в виде мяты, состоящей из вертикального ствола постоянного сечения и удлиняющихся его оттяжек, прикрепленных к анкерам на дне горизонта макаров. От макаров оттяжки идут к анкерам, образуя систему двойного закрепления. При обычных нагрузках на сооружение тяжелые макары не отрывается от дна и исключает боковые перемещения ствола. Но во время жесткого шторма гирлянды макаров отрываются от дна вследствие наложения оттяжек усилиями, передающимися от ствола. В результате этого зиждение нагрузки за счет разрушения макаров передается его колебаниям, а оттяжки не перегруживаются. Осматривается, что такие сооружения применимы при глубинах до 600 м.

На рис. 1.14 показана конструкция платформы с вертикальными предварительно напрянутыми аксиальными гилями⁴, закрепленными за морское дно. Корпус платформы обладает изогнутоым затяжом плавучести, обеспечивающим предварительное напряжение аксиальных гиля, достаточное для сохранения горизонтального положения платформы

⁴ В литературе такие сооружения часто называются платформами типа TLP (tension leg platform).

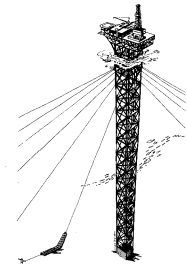


Рис. 1.13. Глубоководные конструкции в виде мяты с оттяжками.

при волнении. Горизонтальные перемещения платформы ограничены восстанавливющим действием дополнительных усилий натяжения, возникающих при этом в аксиальных гилях. Основное достоинство таких конструкций в незначительном увеличении их стоимости при возрастании глубины. Ограничения на глубины, при которых эти конструкции могут применяться, связаны в настоящее время с измационными системами, сопровождающими горизонтальные колебания платформы при волнении. Они становятся существенными при глубинах порядка 900 м [17].

1.3. Расчет стационарных сооружений

Процесс проектирования морских гидротехнических сооружений имеет несколько стадий – от предварительной, основанной на грубых оценках внешних нагрузок, до окончательной, на которой уточняются размеры сооружения, отвечающие загрузкам, возникающим в процессе их постройки и эксплуатации. Это делается путем детального расчета сооружения. Значения внешних нагрузок, такие как и реакции на них со стороны сооружения, зависят от размеров отдельных элементов, поэтому расчет сооружения должен быть начат с приближенного определения загрузок. Далее по результатам предварительного расчета уточняются размеры отдельных элементов, а расчет проводится заново. При этом, однако, определяются размеры не каждого отдельности элемента, а класса элементов по наименее нагруженному элементу внутри этого класса. Например, в опорных основаниях в виде ферм элементы, соединяющие опорные колонны, обычно имеют одинаковые поперечные сечения, хотя они нагружены менее других.

В расчете в первую очередь принимаются во внимание наиболее неблагоприятные воздействия внешней среды и эксплуатационные нагрузки, возникющие в месте расположения сооружения, а также классы элементов, размеры которых зависят от значений этих нагрузок. Затем проектируемое сооружение рассчитывают с учетом нагрузок, возникающих в процессе его постройки из места эксплуатации. Эти нагрузки могут вызвать необходимость увеличения размеров отдельных классов элементов или даже внесения в конструкцию дополнительных элементов. Если

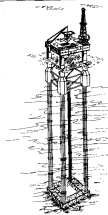


Рис. 1.14. Глубоководная конструкция с вертикальными предварительно напрянутыми элементами тягами.

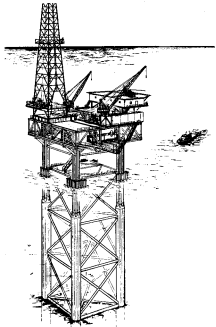
это оказывается необходимым, то должны быть снова уточнены эксплуатационные нагрузки и нагрузки от воздействия окружающей среды, а затем проверена способность элементов нести эти нагрузки. Такая проверка необходима из-за того, что изменения размеров, сделанные у всех элементов, связанных колонны, приводят к изменениям нагрузок как на эти элементы, так и на колонны. Если потребуется дальнейшее изменение размеров элементов, то процедура расчета должна быть пределана еще раз.

Расчеты стальных опорных оснований рамного типа могут быть выполнены из СМВ с использованием современных матричных методов, разработанных для стальных каркасных зданий. Усилия, определяемые в седловых элементах, сопоставляются с допускаемыми. Эти методы могут быть применены и для распределения внешних нагрузок по элементам архитектурных сооружений гравитационного типа и, в своем синтезе, для расчета нужного армирования.

Для проведения таких расчетов, естественно, необходимо иметь достаточно хорошее представление о нагрузках, действующих на сооружение. В некоторых случаях, таких как подъем или спуск на воду опорных оснований ферменного типа, нагрузки определяются просто – исходя из веса различных элементов конструкции. Столь же просто определяются эксплуатационные нагрузки и нагрузки от собственного веса сооружения на месте его эксплуатации. Однако переход от заданных условий окружающей среды к значениям соответствующим им нагрузок оказывается более сложной задачей. Эти нагрузки должны определяться путем детальных расчетов с использованием соответствующих формул.

Самые простые расчеты стационарных морских гидротехнических сооружений при оценке эксплуатационных и внешних нагрузок основываются на условии равновесия сооружения под действием максимальных возможных нагрузок. Такие статические расчеты обычно достаточно для сооружений, устанавливаемых на глубинах не более 90 м, поскольку они, как правило, обладают достаточно большой жесткостью, что позволяет пренебречь силами инерции, вызываемыми колебаниями сооружения под действием волновых нагрузок. При расчете сооружений, которые опираются на свайное основание, расположенные в мягких грунтах, необходимо учитывать взаимодействие сооружения и свайного основания. Найденные при расчете вертикальные усилия используются для определения необходимой глубины забивки свай.

Наконец, при расчете сооружений, предназначенных для глубин, больших чем 90 м или имеющих значительную толщину вследствие каких-либо конструктивных особенностей, следует иметь в виду возможность появления существенных инерционных сил. В этом случае необходимо проверять расчет с учетом возможной перегрузки сооружения вследствие динамического характера нагрузки. Это относится и к расчету сооружения при наличии сейсмического воздействия, когда колебания основания под сооружением могут сопровождаться появление в сооружении значительных инерционных напряжений.



Буровая платформа на четырехстоечном основании, предназначена для глубок — 130 м.

2. МАТРИЧНАЯ ФОРМА РАСЧЕТА СООРУЖЕНИЙ

Современные сооружения морского шельфа, подобные описанным в главе 1, обычно состоят из набора элементов, соединенных между собой таким образом, чтобы обеспечить достаточную сопротивляемость конструкции внешним воздействиям и способность нести эксплуатационные нагрузки. Напряженно-деформированное состояние отдельных элементов, образующих конструкцию, хорошо описывается статистическими методами твердого деформируемого тела. Однако, знания того, как реагирует на внешнее воздействие каждый отдельный элемент, еще недостаточно, чтобы получить представление о реакции сооружения в целом. Для этой цели необходимо прибегать к методам структурной механики.

В 50-х годах, появление быстродействующих вычислительных машин, методы расчета сложных сооружений обычно были связаны с предположениями о выполнении вручную вычислениями с целью определения реакций сооружения в целом, а также усилий и перемещений в отдельных его элементах. В современных условиях положение изменилось, и сложные сооружения могут быть быстро рассчитаны с помощью ЭВМ.

Расчеты сооружений на ЭВМ наиболее удобны, когда теория расчета представлена в матричной форме. В данной главе решение получено с использованием линейного метода жесткости [22, 47]. Для тех, кто еще не знаком с матричной алгеброй, в приложениях приведены краткие, но достаточные сведения на эту тему.

2.1. Матричные обозначения

Начнем обсуждение матричной формы расчета сооружения с рассмотрением упрощенной модели на растяжение или сжатие отдельного элемента сооружения (рис. 2.1). Усилие и перемещения по концам стержня 1 и 2 имеют показательные направления, указанные на рисунке, и обозначаются соответственно через $f_{1,1}, f_{1,2}$, $f_{2,1}$ и u_1, u_2 . Стержень имеет длину l и квадратное сечение площадью A .



Рис. 2.1. Элемент стержневой системы, задаваемый системой нагрузок $\Delta f = f_1 - f_2$, а связанных им.

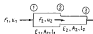


Рис. 2.2. Система в виде соединения двух стержней, подвергнутых внешнему нагружению.

отношения между узловыми и перемещениями для этого стержня можно выражать в виде

$$\left. \begin{aligned} f_1 &= -k(u_2 - u_1); \\ f_2 &= k(u_2 - u_1), \end{aligned} \right\} \quad (2.1)$$

где $k = EA/l$ означает жесткость элемента.

Эти уравнения могут быть записаны в матричной форме

$$\begin{Bmatrix} f_1 \\ f_2 \end{Bmatrix} = \begin{bmatrix} k & -k \\ -k & k \end{bmatrix} \begin{Bmatrix} u_1 \\ u_2 \end{Bmatrix}, \quad (2.2)$$

или

$$\begin{Bmatrix} f \end{Bmatrix} = [K] \begin{Bmatrix} u \end{Bmatrix}, \quad (2.3)$$

где матрицы $\{f\}$, $[K]$ и $\{u\}$ обозначают соответствующие им во порядке следования части уравнения (2.2), причем матрица $[K]$ может быть названа матрицей жесткости элемента.

Когда перемещения u_1 и u_2 известны или определены, уравнение (2.2) может быть прямым использовано для нахождения соответствующих усилий f_1 и f_2 . Однако, когда определены усилия f_1 и f_2 (при этом, конечно, $f_1 = -f_2$ по условию равновесия), неприводя к упрощению, что уравнение (2.2) может быть решено относительно перемещений u_1 и u_2 , а только относительно их разности. Физическое объяснение этого состоит в том, что усилия, приложенные к концам стержня, не фиксируют его абсолютные перемещения, а определяют лишь удлинение стержня, т. е. перемещение одного конца относительно другого. Таким образом, чтобы решить уравнение (2.2) относительно перемещений, необходимо указать, как минимум, одно граничное условие на перемещение, которое бы исключило возможность перемещения стержня как твердого тела. Можно запретить либо узел, либо перемещение. Образным выражением на то, что жестко зафиксирован один из концов стержня, является то, что жестко зафиксирован один из концов стержня независимо от другого как усилие, так и перемещение, поскольку, если задается перемещение,

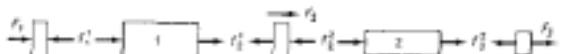


Рис. 2.3. Схема расчетной системы на узлы и элементы.

то усилие должно соответствовать ему и, наоборот, если задается усилие, то можно принять только то смещение, которое ему соответствует.

Если, например, принять условие $u_1 = 0$ вместо с граничными условиями на узлы $f_1 = F$, то уравнение (2.2) следует

$$u_1 = F/k; \quad f_1 = -F. \quad (2.4)$$

Далее рассмотрим более сложный случай – соединение двух стержней (рис. 2.2). В этом случае, как и в предыдущем, необходимо получить уравнения, связывающие усилия и перемещения в указанных сечениях, и решить их при заданиях соответствующих граничных условий.

Для решения этой задачи сначала составим схему (рис. 2.2), в которой стержни 1 и 2 предстают как элементы, отделенные от узлов. Внутренние усилия (действующие на концы элемента со стороны узлов) здесь обозначены f_1^1 , f_2^1 и т. д. Верхний индекс указывает на номер элемента, а нижний – на номер узла, соответствующего нумерации, приведенной на рис. 2.2. Например, f_2^2 означает внутреннее усилие, действующее на элемент 2 в узле 2. Внешние узловые усилия обозначены F_1 , F_2 , F_3 , при этом индекс указывает на номер узла. Эти усилия могут быть приведены непосредственно к узлам или же являться реакциями опорных связей, ограничивающих перемещения узлов.

На основании уравнения (2.2) мы можем написать соединение между узловыми и перемещениями для отдельных элементов

$$\left. \begin{aligned} f_1^1 &= -k_1(u_2 - u_1); & f_2^1 &= -k_2(u_3 - u_2); \\ f_2^1 &= k_1(u_2 - u_1); & f_3^2 &= k_3(u_3 - u_2), \end{aligned} \right\} \quad (2.5)$$

где $k_1 = E_A_1/l_1$ и $k_2 = E_A_2/l_2$.

В дополнение к этому на условий равновесия свободных от закрепления элементов под действием приложенных к ним внешних и внутренних усилий получим

$$F_1 = f_1^1; \quad F_2 = f_2^1 + f_2^2; \quad F_3 = f_3^2. \quad (2.6)$$

Объединяя уравнения (2.5) и (2.6), будем иметь

$$\left. \begin{aligned} F_1 &= k_1 u_1 - k_2 u_2; \\ F_2 &= -k_1 u_1 + (k_1 + k_2) u_2 - k_3 u_3; \\ F_3 &= -k_2 u_2 + k_3 u_3. \end{aligned} \right\} \quad (2.7)$$

Эти уравнения можно представить в матричной форме

$$\begin{Bmatrix} F \end{Bmatrix} = \begin{bmatrix} k_1 & -k_2 & 0 \\ -k_1 & k_1 + k_2 & -k_3 \\ 0 & -k_2 & k_3 \end{bmatrix} \begin{Bmatrix} u \end{Bmatrix}, \quad (2.8)$$

или

$$\begin{Bmatrix} F \end{Bmatrix} = [K] \begin{Bmatrix} u \end{Bmatrix}, \quad (2.9)$$

где матрицы $\{F\}$, $[K]$ и $\{u\}$ обозначают соответствующие им во порядке следования части уравнения (2.8). Матрица $[K]$ является матрицей жесткости системы.

Матрица жесткости системы, как это видно из уравнения (2.8), симметрична, т. е. ее первая, вторая и третья строки равны соответственно первому, второму и третьему столбцам. Положение элементов сохраняется в $[K]$ и отложении матрицы жесткости отдельных элементов, что отвечает общему свойству упругих систем, заключающемся в том, что, например, смешенное сечение 2 системы оказывает в сечении 1 усилие, равное тому, которое возникает в сечении 2 при смешении сечения 1, таком же, какое было в сечении 2.

Рассмотрим теперь применение уравнения (2.8) для определения реакции системы. С этой целью необходимо, конечно, указать граничные условия, т. е. задать в каждом сечении усилие либо перемещение. Как и в случае расчета элемента, приведенного одним способом, необходимо задать, по крайней мере, одно граничное условие на перемещения, если мы хотим получить из уравнения (2.8) перемещение любой точки.

Если задать граничные условия в виде $u_1 = 0$, $F_1 = F_2$, $F_3 = F_3$, то уравнение (2.8) упростится и получит следующий вид:

$$F_1 = -k_1 u_2 \quad (2.10)$$

и

$$\begin{Bmatrix} F_2 \\ F_3 \end{Bmatrix} = \begin{bmatrix} k_1 + k_2 & -k_1 \\ -k_1 & k_2 \end{bmatrix} \begin{Bmatrix} u_2 \\ u_3 \end{Bmatrix}. \quad (2.11)$$

Таким образом, уравнение (2.11) может быть использовано для задания перемещений u_2 и u_3 по заданным усилиям F_2 и F_3 , а уравнение (2.10) – для определения неизвестного усилия F_1 , отвечающего граничному условию.

Уравнения (2.10) и (2.11) удобно выпилить из уравнения (2.8) вычеркиванием первого столбца из матрицы жесткости в выражении (2.8), так как каждый элемент этого столбца потому был умножен на нуль, что значит перемещение u_1 , в пане полученных можно разделить на два уравнения, на которых первое содержит известную реакцию, а другое – неизвестные усилия. Из последнего уравнения можно найти неизвестные перемещения, а затем из первого определить неизвестную единую реакцию.

Символическое уравнение (2.11) можно записать так:

$$\begin{Bmatrix} F \\ F \end{Bmatrix} = [K] \begin{Bmatrix} u \\ u \end{Bmatrix}, \quad (2.12)$$

где матрица $\begin{Bmatrix} F \\ F \end{Bmatrix}$, $[K]$ и $\begin{Bmatrix} u \\ u \end{Bmatrix}$ обозначают соответствующие им по порядку следование части уравнений (2.11). Решение этого матричного уравнения относительно перемещений u_2 и u_3 можно представить в виде

$$\begin{Bmatrix} u \\ u \end{Bmatrix} = [K]^{-1} \begin{Bmatrix} F \\ F \end{Bmatrix}, \quad (2.13)$$

где $[K]^{-1}$ является обратной матрицей по отношению к $[K]$, причем в нашем случае

$$[K]^{-1} = \begin{bmatrix} \frac{1}{k_1} & \frac{1}{k_1} \\ \frac{1}{k_1} & \frac{1}{k_1} + \frac{1}{k_2} \end{bmatrix}. \quad (2.14)$$

Подставив это в уравнение (2.13), получим

$$\left. \begin{aligned} u_2 &= \frac{F_2}{k_1} + \frac{F_3}{k_1}; \\ u_3 &= \frac{F_3}{k_1} + \left(\frac{1}{k_1} + \frac{1}{k_2} \right) F_2 \end{aligned} \right\} \quad (2.15)$$

а из уравнения (2.10) найдем, что

$$F_1 = -F_2 - F_3. \quad (2.16)$$

Внутренние усилия получаются из уравнений (2.5)

$$\left. \begin{aligned} f_1^1 &= -f_1^1 = F_1 + F_2; \\ f_2^1 &= -f_2^1 = F_3. \end{aligned} \right\} \quad (2.17)$$

Соответствующие им нормальные напряжения σ_1 и σ_2 в элементах 1 и 2 могут быть найдены делением внутренних усилий на площади поперечных сечений элементов A_1 и A_2 . Полагая положительными растягивающие напряжения, получаем $\sigma_1 = f_1^1/A_1 = (F_1 + F_2)/A_1$ и $\sigma_2 = f_2^1/A_2 = F_3/A_2$.

Отметим, что, поскольку для примера приведено одно граничное условие $u_1 = 0$, то система является статически определимой, т. е. спиральная реакция F_1 и внутренние усилия f_1^1, f_2^1, \dots могут быть определены из оных уравнениями статики и даже заслугой, чем с помощью матричных операций. Перемещения могут быть найдены отдельно с помощью матриц жесткости элементов.

Если же мы поставим граничные условия $u_1 = u_3 = 0$ совместно с уравнением на усилия $F_2 = F$, система станет статически неопределенной, и, чтобы найти окончательные решения и внутренние усилия, уравнения статики необходимо считать с уравнениями, содержащими жесткостные характеристики элементов, т. е. такими, как в наших матричных выражениях. В этом случае из матричного уравнения (2.8) следует

$$\left. \begin{aligned} F_1 &= \frac{k_1}{k_1 + k_2} F; \\ F_2 &= \frac{-k_1}{k_1 + k_2} F; \\ F_3 &= \frac{-k_2}{k_1 + k_2} F. \end{aligned} \right\} \quad (2.18)$$

а ко соотношений между усилиями и перемещениями для отдельных элементов

$$\left. \begin{aligned} f_1^1 = -f_2^1 &= \frac{-k_1}{k_1 + k_2} F_1 \\ f_2^2 = -f_1^2 &= \frac{k_2}{k_1 + k_2} F_1 \end{aligned} \right\} \quad (2.19)$$

Теперь мы видим, что матричная форма расчета не делает различия между статически определимыми и некоординатными системами и позволяет рассчитывать и в другие единицы измерения. Иными преимуществами матричной формы расчета является то, что она дает возможностью систематическое определение невозможных перемещений и усилий. Недостаток же в случае статически определимых систем по сравнению с приемом алгебраическим определением оказывается необходимостью решения расширенных матричных уравнений относительно перемещений посредством обращения матрицы. Все большая доступность цифровых вычислительных машин и их использование для обращения матриц уменьшают эти затруднения даже в случаях, когда приходится иметь дело с матрицами жесткости высокого порядка.

Прямой метод жесткости

Матрица жесткости стержневой системы, полученная в выражении (2.8), может быть представлена в виде суммы двух отдельных матриц, т. е.

$$\begin{bmatrix} k_1 & -k_1 & 0 \\ -k_1 & k_1 + k_2 & -k_2 \\ 0 & -k_2 & k_2 \end{bmatrix} = \begin{bmatrix} k_1 & -k_1 & 0 \\ -k_1 & k_1 & 0 \\ 0 & 0 & 0 \end{bmatrix} + \begin{bmatrix} 0 & 0 & 0 \\ 0 & k_2 & -k_2 \\ 0 & -k_2 & k_2 \end{bmatrix}. \quad (2.20)$$

Первая матрица в правой части равенства — это матрица жесткости элемента 1, дополненная нулями третьей строкой и третьим столбцом, указывающими на то, что элемент не включает сечение 3 системы. Аналогично, вторая матрица в правой части равенства представляет собой матрицу жесткости элемента 2 с нулями первой строкой и первым столбцом, указывающими на то, что элемент не включает сечение 1 стержневой системы. Это положение справедливо для любого числа элементов и подтверждает таким образом, простой метод формирования матрицы жесткости стержневой системы из матрицы жесткости отдельных элементов, а именно приемом сложением этих матриц после дополнения каждой из них нулями строками и столбцами, соответствующими по номерам сечениям системы, не относящимся к рассматриваемому

элементу. Этот метод известен в матричной форме расчета сооружений как прямой метод жесткости*.

На практике построение матрицы жесткости системы может быть поставлено этим методом без расширения матрицы жесткости отдельных элементов нулевыми строками и столбцами. Она может быть сформирована путем установления положения в ней ненулевых коэффициентов матриц жесткости отдельных элементов посредством их сложения. Ология прямого метода жесткости является, конечно, условиями равновесия, согласно которым внутренние силы в узлах складываются уравновешиваются внешними силами.

Пример 2.1-1. На рис. 2.4 показана система лебедка—трос—якорь. Якорь имеет вес 9 кН, а трос 10 Н/м. Определить перемещения в внутренне узлы в тросе с помощью предложенного выше прямого метода жесткости, полагая для троса $A = 3,0 \text{ см}^2$; $E = 17,0 \text{ ГПа}$.

Перед решением этой задачи отметим, что в предшествующих рассуждениях не рассматривались усилия, действующие между концами стержней, такие, например, как действующий в нашем случае собственный вес троса. Чтобы воспользоваться предложенной выше процедурой, здесь необходимо разрезать трос на некоторое число отрезков и считать собственный вес каждого отрезка сосредоточенным по его концам, т. е. нужно предполагать, что одна половина каждого отрезка приложена к одному концу, другая половина к другому концу. Такой подход, очевидно, приведет к приближенному решению, которое будет тем точнее, чем больше окажется число отрезков (при этом и вычислительные затруднения возрастут). Метод расчета нерерийных систем путем искусственного разделения их на множество элементов известен как метод конечных элементов.

Чтобы иметь возможность решить задачу ярчую, предположим, что трос разделен на четыре отрезка длиной по 375 м. Пронумеровав узлы, как показано на рис. 2.5, можно сформировать матрицу жесткости системы с помощью прямого метода жесткости

$$\begin{bmatrix} F_1 \\ F_2 \\ F_3 \\ F_4 \\ F_5 \end{bmatrix} = \begin{bmatrix} k & -k & 0 & 0 & 0 \\ -k & 2k & -k & 0 & 0 \\ 0 & -k & 2k & -k & 0 \\ 0 & 0 & -k & 2k & -k \\ 0 & 0 & 0 & -k & k \end{bmatrix} \begin{bmatrix} u_1 \\ u_2 \\ u_3 \\ u_4 \\ u_5 \end{bmatrix},$$

где $k = EA/l = 13,6 \text{ кН/м}$. Границевые условия в предположении, что вес

* В переведенной литературе употребляются также и другой вариант наименования предложенного здесь способа формирования матрицы жесткости — „метод прямой жесткости“.

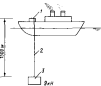


Рис. 2.4. Система лебедка (1) — трос (2) — якорь (3).



Рис. 2.5. Схема разделяния троса на элементы.

каждого отрезка сосредоточен по его концам, выражаются следующим образом: $a_1 = 0$; $F_1 = F_2 = F_4 = 3,75 \text{ кН}$; $F_3 = -10,88 \text{ кН}$. Подставляя это в получившую выше матричное уравнение (т. е. вычеркнув первый столбец матрицы жесткости и расставив систему уравнений из плюс с минусом членом ненеизвестных), приведя один содержит исключаемое уравнение F_1 , а другое заданные усилния F_2 , F_3 и F_4), найдем, что $F_1 = -4m_1$ и

$$\begin{Bmatrix} F_2 \\ F_3 \\ F_4 \\ F_5 \end{Bmatrix} = \begin{bmatrix} 3k & -k & 0 & 0 \\ -k & 2k & -k & 0 \\ 0 & -k & 2k & -k \\ 0 & 0 & -k & k \end{bmatrix} \begin{Bmatrix} m_1 \\ m_2 \\ m_3 \\ m_4 \end{Bmatrix} .$$

Используя граничные условия на узлах из воспоминания матричного уравнения и обратив матрицу коэффициентов вручную либо, что более удобно, с помощью микрокалькулятора, найдем следующие значения перемещений: $m_2 = 1,63 \text{ м}$; $m_3 = 3,01 \text{ м}$; $m_4 = 4,05 \text{ м}$; $m_5 = 4,85 \text{ м}$. Из первого уравнения найдем затем, что $F_1 = -22,12 \text{ кН}$. Помимо о том, что эта сила включает в себя скорость реакции в сечении J и покоящую веса элемента I-2 (т. е. $F_1 = R + 1,88 \text{ кН}$), найдем далее скорую реакцию, действующую на трос со стороны лебедки, $R = 24 \text{ кН}$, что вполне согласуется с условиями равновесия, по которому усилие, действующее на лебедку, должно быть равно весу троса и актера.

Внутренние силы, действующие по концам каждого отрезка, могут быть определены с помощью матрицы жесткости отдельных элементов: так, для отрезка I-2 получим:

$$\begin{Bmatrix} f_1^I \\ f_2^I \end{Bmatrix} = \begin{bmatrix} k & -k \\ -k & k \end{bmatrix} \begin{Bmatrix} m_1 \\ m_2 \end{Bmatrix} .$$

$$f_1^I = 22,12 \text{ кН}$$

Приняв во внимание, что $m_1 = 0$, получим (рис. 2.6) $f_1^I = -f_2^I = -22,12 \text{ кН}$. Аналогично для других отрезков находим $f_1^J = -f_2^J = -18,88 \text{ кН}$; $f_3^I = -f_4^I = -14,12 \text{ кН}$; $f_6^I = -f_5^I = -10,88 \text{ кН}$.

Напряжения σ_1 , σ_2 , σ_3 и σ_4 в этих четырех отрезках определяются элементами внутренних усилий на площади поперечного сечения троса: $\sigma_1 = 93,7$; $\sigma_2 = 62,9$; $\sigma_3 = 47,2$; $\sigma_4 = 36,3 \text{ МПа}$.



Рис. 2.6. Усилия, действующие на элемент I-2 троса.

2.2. Плоские фермы

Плоские системы, элементы которых испытывают только осевые нагрузки, относятся к массивным фермам. Они состоят из прямолинейных спирок, наклоненных по отношению друг к другу, расположенных в одной плоскости и работающих Рис. 2.7. Наклонный элемент на растяжение или сжатие. С таких зонами зоной плоской фермы.

стационар, в чём легко убедиться, условиями выполнения последнего требования являются правильные внешние усилия только в точках соединения элементов, отсутствие внешних моментных нагрузок и способа для относительного поворота спирок в узлах, чтобы предотвратить появление изгибающих моментов в закреплениях.

Чтобы рассчитывать подобные системы, рассмотрим сначала случай осевого нагружения спирок, повернутого на угол α по относению к горизонтали (рис. 2.7). Выберем горизонтальную и вертикальную оси координат x и y , а также повернутую относительно них ось \tilde{x} и \tilde{y} , как показано на рисунке. Первую систему осей будем считать общей для системы элементов, а вторую — местной, присущей данному элементу.

Обозначим f_{1x} , f_{1y} и f_{2x} , f_{2y} составляющие усилий в направлении осей x и y , действующие в сечении I и 2 спирок, соответственно и \tilde{f}_{1x} , \tilde{f}_{1y} и \tilde{f}_{2x} , \tilde{f}_{2y} составляющие усилий в тех же сечениях, направленные по осм \tilde{x} и \tilde{y} . Из геометрии нетрудно установить выражение для преобразования составляющих усилий в сечении I из одной системы осей в другую:

$$\begin{cases} \tilde{f}_{1x} = f_{1x} \cos \alpha + f_{1y} \sin \alpha \\ \tilde{f}_{1y} = -f_{1x} \sin \alpha + f_{1y} \cos \alpha \end{cases} \quad (2.21)$$

$$\begin{cases} f_{2x} = \tilde{f}_{2x} \cos \alpha - \tilde{f}_{2y} \sin \alpha \\ f_{2y} = \tilde{f}_{2x} \sin \alpha + \tilde{f}_{2y} \cos \alpha \end{cases} \quad (2.22)$$

Аналогичные выражения получаются и для усилий в сечении 2. В матричной записи эти выражения получают вид:

$$\begin{Bmatrix} \tilde{f}_{1x} \\ \tilde{f}_{1y} \\ f_{2x} \\ f_{2y} \end{Bmatrix} = \begin{bmatrix} \cos \alpha & \sin \alpha & 0 & 0 \\ \sin \alpha & \cos \alpha & 0 & 0 \\ 0 & 0 & \cos \alpha & \sin \alpha \\ 0 & 0 & -\sin \alpha & \cos \alpha \end{bmatrix} \begin{Bmatrix} f_{1x} \\ f_{1y} \\ \tilde{f}_{2x} \\ \tilde{f}_{2y} \end{Bmatrix}; \quad (2.23)$$

$$\begin{Bmatrix} f_{1x} \\ f_{1y} \\ \tilde{f}_{2x} \\ \tilde{f}_{2y} \end{Bmatrix} = \begin{bmatrix} \cos \alpha & -\sin \alpha & 0 & 0 \\ \sin \alpha & \cos \alpha & 0 & 0 \\ 0 & 0 & \cos \alpha & -\sin \alpha \\ 0 & 0 & \sin \alpha & \cos \alpha \end{Bmatrix} \begin{Bmatrix} \tilde{f}_{1x} \\ \tilde{f}_{1y} \\ f_{2x} \\ f_{2y} \end{Bmatrix}. \quad (2.24)$$

Отметим, что вторая из двух квадратных матриц есть не что иное, как первая матрица, у которой строки и столбцы перемешаны местами.

Это значит, что вторая матрица является транспонированной по относению к первой. Таким образом, если $[C]$ обозначает первую матрицу, то $[C]^T$ может быть использовано для обозначения второй. Отсюда

$$\{\tilde{f}\} = [C] \{f\}; \quad \{f\} = [C]^T \{\tilde{f}\}. \quad (2.25)$$

Приведенное выше рассуждение касается составляющих узлов в сечениях 1 и 2 элемента. Однако, очевидно, что подобные выводы применимы и по отношению к составляющим перемещений в направлениях осей x и y , т. е. u_1 , v_1 и u_2 , v_2 в сечениях 1 и 2, и к соответствующим составляющим перемещений в направлениях осей X и Y , т. е. u_1 , v_1 и u_2 , v_2 . Это можно записать так:

$$\{\tilde{u}\} = [C] \{u\}; \quad \{u\} = [C]^T \{\tilde{u}\}, \quad (2.26)$$

где матрицы перемещений имеют вид

$$\begin{aligned} \{\tilde{u}\} &= \begin{cases} \tilde{u}_1 \\ \tilde{v}_1 \\ \tilde{u}_2 \\ \tilde{v}_2 \end{cases}; & \{u\} &= \begin{cases} u_1 \\ v_1 \\ u_2 \\ v_2 \end{cases}. \end{aligned}$$

Теперь рассмотрим элемент 1–2, подвергнутый, как и ранее, однотипному нагружению. Очевидно,

$$\tilde{f}_{yy} = \tilde{f}_{yy'} = 0, \quad (2.27)$$

и, как уже было показано,

$$\{\tilde{f}\} = [\bar{K}] \{\tilde{u}\}. \quad (2.28)$$

где $[\bar{K}]$ обозначает матрицу жесткости элемента в местной для элемента системе осей.

Используя выражения (2.25) и (2.26), последние соединим в одном:

$$[C] \{f\} = [\bar{K}] [C] \{u\}. \quad (2.29)$$

Умножим обе части равенства слева на матрицу $[C]^T$ и замечем, что

$$[C]^T [C] = \begin{bmatrix} 1 & 0 & 0 & 0 \\ 0 & 1 & 0 & 0 \\ 0 & 0 & 1 & 0 \\ 0 & 0 & 0 & 1 \end{bmatrix} = [I], \quad (2.30)$$

получим

$$\{f\} = [C]^T [\bar{K}] [C] \{u\}. \quad (2.31)$$

Совместив это выражение с $\{f\} = [K] \{u\}$, найдем, что матрица жесткости элемента в общей системе осей получается как

$$[K] = [C]^T [\bar{K}] [C]. \quad (2.32)$$

Последнее выражение отражает преобразование матрицы жесткости элемента из местной в общую систему осей координат. Поскольку матрица $[\bar{K}]$ может быть получена с помощью выражения (2.2) в очень простом виде

$$[\bar{K}] = \frac{EA}{l} \begin{bmatrix} 1 & 0 & -1 & 0 \\ 0 & 0 & 0 & 0 \\ -1 & 0 & 1 & 0 \\ 0 & 0 & 0 & 0 \end{bmatrix} \quad (2.33)$$

(здесь добавлены нулевые вторые и четвертые строки и столбцы для указания отсутствия связи между составляющими усилий и перемещений в направлении оси Y), выражению (2.32) для матрицы жесткости $[K]$ можно прописать вполне законченный вид

$$[K] = \frac{EA}{l} \begin{bmatrix} \lambda^3 & \lambda\mu & -\lambda^2 & -\lambda\mu \\ \lambda\mu & \mu^2 & -\lambda\mu & -\mu^2 \\ -\lambda^2 & -\lambda\mu & \lambda^3 & \lambda\mu \\ -\lambda\mu & -\mu^2 & \lambda\mu & \mu^3 \end{bmatrix}, \quad (2.34)$$

где $\lambda = \cos \alpha$; $\mu = \sin \alpha$.

Полученное выражение характеризует матрицу жесткости элемента, повернутого относительно системы осей координат. Полнота этого выражения становится очевидной, когда рассматривается система элементов, не вытанутых в одну линию. В этом случае матрица жесткости каждого элемента может быть получена в общей системе осей, а матрица жесткости системы элементов — из матриц жесткости отдельных элементов с помощью рассмотренного ранее приема метода жесткостей. После задания соответствующих граничных условий, включающих составляющие усилий или перемещений в каждом узле (обычно их лучше задавать в общей системе осей), с помощью соотношений между узловыми усилиями и перемещениями можно определить оставшиеся независимыми составляющими усилий и перемещений. Как в случае рассмотренных обобщенных систем, необходимо задать достаточное число обобщающих перемещений, чтобы получить единственное решение для оставшихся независимых, т. е. предотвратить возможность пересечения системы элементов как твердого целого.

После операций перемещений узлов можно вычислить внутренние усилия, действующие во концах каждого элемента. Для рассматриваемого элемента, в частности, с помощью выражения (2.34) можно

взять соотношения между усилиями и перемещениями в общей системе осей координат

$$\begin{bmatrix} f_{1x} \\ f_{1y} \\ f_{2x} \\ f_{2y} \end{bmatrix} = \frac{EA}{I} \begin{bmatrix} \lambda^2 & \lambda\mu & -\lambda^2 & -\lambda\mu \\ \lambda\mu & \mu^2 & -\lambda\mu & -\mu^2 \\ -\lambda^2 & -\lambda\mu & \lambda^2 & \lambda\mu \\ -\lambda\mu & -\mu^2 & \lambda\mu & \mu^2 \end{bmatrix} \begin{bmatrix} u_1 \\ v_1 \\ u_2 \\ v_2 \end{bmatrix}. \quad (2.35)$$

Например, составляющие f_{2x} и f_{2y} могут быть найдены на основании полученного соотношения как

$$\left. \begin{aligned} f_{2x} &= \frac{EA}{I} [\lambda^2 (u_2 - u_1) + \lambda\mu (v_2 - v_1)]; \\ f_{2y} &= \frac{EA}{I} [\lambda\mu (u_2 - u_1) + \mu^2 (v_2 - v_1)]. \end{aligned} \right\} \quad (2.36)$$

Из уравнения (2.23) получим также продольную силу в элементе

$$N_{1-2} = \bar{f}_{2x} = \lambda u_2 + \mu v_2, \quad (2.37)$$

так что с помощью выражений (2.36) и равенства $\lambda^2 + \mu^2 = 1$ найдем

$$N_{1-2} = \frac{EA}{I} [\lambda(u_2 - u_1) + \mu(v_2 - v_1)], \quad (2.38)$$

где продольная сила в элементе $J-2$ выражена через перемещения в общей системе осей координат. Обобщая, можно написать выражение для продольной силы в любом элементе $i-j$:

$$N_{i-j} = \frac{EA}{I} [\lambda(u_j - u_i) + \mu(v_j - v_i)]. \quad (2.39)$$

Отметим, что, если N_{i-j} положительно, элемент будет растянут; если отрицательно, элемент сжат. Соответствующие растягивающие или сжимающие киринтические напряжения получаются делением N_{i-j} на площадь поперечного сечения A элемента.

и

Условные обозначения

Условные обозначения, принятые для вывода выражения (2.34) при рассмотрении стержневого элемента на рис. 2.7, распространим и на последующие формулы. Пусть α обозначает угол между горизонтальной осью x общей системы и осью \tilde{x} местной системы, причем положительное направление оси \tilde{x} совпадает с направлением от узла j

к узлу i стержневого элемента $i-j$. Тогда из выражения (2.34) можно получить матрицу жесткости $[K]_{i-j}$ элемента, такую, что

$$\begin{bmatrix} f_{ix} \\ f_{iy} \\ f_{jx} \\ f_{jy} \end{bmatrix} = [K]_{i-j} \begin{bmatrix} u_1 \\ v_1 \\ u_2 \\ v_2 \end{bmatrix}. \quad (2.40)$$

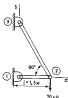


Рис. 2.8. Схема нагружения фермы.

Пример 2.2-1. Рассмотрим простейшую систему, показанную на рис. 2.8. Оба элемента стержня выполнены из алюминиевой трубы с внешним диаметром 76 мм и толщиной стени 3 мм. Принято $E = 70$ ГПа, определены напряжения и перемещения, вызванные приставленным грузом 20 кН.

Чтобы построить матрицы жесткости каждого элемента в системе осей x, y , сначала составим табл. 2.1. Далее с помощью выражения (2.34) легко получим следующие матрицы жесткости элементов:

$$[K]_{1-2} = \frac{EA}{I} \begin{bmatrix} 1 & 0 & -1 & 0 \\ 0 & 0 & 0 & 0 \\ -1 & 0 & 1 & 0 \\ 0 & 0 & 0 & 0 \end{bmatrix},$$

$$[K]_{2-3} = \frac{EA}{2I} \begin{bmatrix} 0,250 & -0,433 & -0,250 & 0,433 \\ -0,433 & 0,750 & 0,433 & -0,750 \\ 0,250 & 0,433 & 0,250 & -0,433 \\ 0,433 & -0,750 & -0,433 & 0,750 \end{bmatrix}.$$

Характеристика «усилие-перемещение» элемента $J-2$ не зависит от усилий или перемещений в узле 3, следовательно, чтобы показать эту независимость, матрица жесткости $[K]_{1-2}$ может быть расширена дополнением нулевых пятых и шестых строк и столбцов. Аналогичная характеристика элемента $2-3$ не зависит от усилий или перемещений в узле 1, и матрица жесткости может быть расширена дополнением нулевых первых и вторых строк и столбцов. Складывая эти (расширенные) матрицы жесткости и приравнивая ее к нулю, получим скалярные множители

Таблица 2.1. Значения тригонометрических функций в выражении (2.34)

Элемент	α	λ	μ	λ^2	μ^2	$\lambda\mu$
1-2	0	1	0	1	0	0
2-3	120°	-0,500	0,866	0,250	0,710	-0,433

$E A$ и $E A / (2 l)$, легко получить выражение матрицы жесткости системы элементов прямым методом жесткости:

$$[K] = \frac{EA}{2l} \begin{bmatrix} 2 & 0 & -2 & 0 & 0 & 0 \\ 0 & 0 & 0 & 0 & 0 & 0 \\ -2 & 0 & 2,250 & -0,433 & -0,250 & 0,433 \\ 0 & 0 & -0,433 & 0,750 & 0,433 & -0,750 \\ 0 & 0 & -0,250 & 0,433 & 0,250 & -0,433 \\ 0 & 0 & 0,433 & -0,750 & -0,433 & 0,750 \end{bmatrix}$$

Эта матрица является характеристической системы в выражении $[F] = [K] [\alpha]$, где матрица узловых внешних сил $[F]$ и узловых перемещений системы элементов $[\alpha]$ имеют вид:

$$\begin{Bmatrix} F_{1x} \\ F_{1y} \\ F_{2x} \\ F_{2y} \\ F_{3x} \\ F_{3y} \end{Bmatrix} = \begin{Bmatrix} EA \\ EA \\ -0,433 \\ 0,750 \\ 0 \\ 0 \end{Bmatrix}; \quad \begin{Bmatrix} \alpha_1 \\ \alpha_2 \\ \alpha_3 \\ \alpha_4 \\ \alpha_5 \\ \alpha_6 \end{Bmatrix} = \begin{Bmatrix} u_1 \\ v_1 \\ u_2 \\ v_2 \\ u_3 \\ v_3 \end{Bmatrix},$$

Чтобы решить это матричное уравнение относительно перемещений, необходимо задать граничные условия, как и во всех предыдущих случаях. В данной задаче (см. рис. 2.8) они записываются так: $\alpha_1 = u_1 = 0$, $\alpha_2 = v_1 = 0$, $F_{1x} = 0$, $F_{1y} = -20 кН}. В результате из общей системы уравнений, связанных с узловыми усилиями системы элементов с перемещениями, можно выделить систему уравнений меньшего порядка:$

$$\begin{Bmatrix} F_{1x} \\ F_{1y} \end{Bmatrix} = \frac{EA}{2l} \begin{bmatrix} 2,250 & -4,333 \\ -0,433 & 0,750 \end{bmatrix} \begin{Bmatrix} \alpha_1 \\ \alpha_2 \end{Bmatrix}.$$

Решая эту систему при заданных значениях F_{1x} и F_{1y} , можно определить перемещения u_2 и v_2 , а затем получить усилия F_{1x} , F_{1y} и F_{3x} , F_{3y} из остаточной части матричного уравнения, связывающего усилия и перемещения:

$$\begin{Bmatrix} F_{1x} \\ F_{1y} \\ F_{2x} \\ F_{2y} \end{Bmatrix} = \frac{EA}{2l} \begin{bmatrix} -2 & 0 \\ 0 & 0 \\ -0,250 & 0,433 \\ 0,433 & -0,750 \end{bmatrix} \begin{Bmatrix} u_2 \\ v_2 \end{Bmatrix}.$$

При $E = 70$ ГПа, $A = 6,85$ см² и $l = 1,5$ м найдем $u_2 = -0,361 \cdot 10^{-3}$ м = $-0,36$ мм; $v_2 = -1,88 \cdot 10^{-3}$ м = $-1,88$ мм и $F_{1x} = 11,55$ кН; $F_{1y} = 0$; $F_{3x} = -11,55$ кН; $F_{3y} = 20$ кН.

Задав перемещения, можно определить внутренние усилия в элементах по выражению (2.39): $N_{1-2} = -11,55$ кН; $N_{2-3} = -23,1$ кН. Эти усилия показаны на рис. 2.9. Далее из внутренних усилий на пластинах опирания соединим набором скобок соответствующие нормальные напряжения в соответствующих элементах: $\sigma_{1-2} = -16,85$ МПа; $\sigma_{2-3} = 33,20$ МПа.

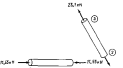


Рис. 2.9. Узлы, действующие на единичные элементы фермы.

Пример 2.2-2. Покажем, что уравнения равновесия для узла 2 системы элементов, рассмотренной в предыдущем примере, и матрическое сопоставление между усилиями и перемещениями приведут к тем же двум уравнениям для определения неизвестных узловых перемещений, что были получены прямым методом жесткости.

На рис. 2.10 показана расстановка по узлам системы элементов и узла 2. Применим уравнения равновесия $\sum F_x = 0$, $\sum F_y = 0$ к узлу 2

$$F_{1x} + f_{1x}^2 + f_{3x}^2 = F_{2y} + f_{2y}^2 + f_{3y}^2,$$

где первые индексы 1 и 2 указывают соответственно на стержни 1-2 и 2-3. Из матрических соотношений между усилиями и перемещениями



Рис. 2.10. Схема расстановки фермы на элементы и узлы.

для отдельных элементов найдем при $v_1 = v_1 = v_3 = v_5 = 0$:

$$f_{1x}^1 = 0; \quad f_{1y}^1 = \frac{EA}{l_1} u_1;$$

$$f_{2x}^1 = \frac{EA}{2l} (0,250u_2 - 0,433u_3);$$

$$f_{2y}^1 = \frac{EA}{2l} (-0,433u_2 + 0,750u_3).$$

Объединив эти результаты с полученными выше уравнениями равновесия, найдем в матричной записи

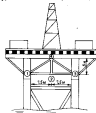
$$\begin{Bmatrix} F_{1x} \\ F_{1y} \end{Bmatrix} = \frac{EA}{2l} \begin{bmatrix} 2,250 & -0,433 \\ -0,433 & 0,750 \end{bmatrix} \begin{Bmatrix} u_1 \\ u_2 \end{Bmatrix},$$

что полностью совпадает с уравнениями, полученнымными в предыдущем примере прямым методом жесткости. Применив эту процедуру к узлам 1 и 3, можно получить уравнения относительно неизвестных узловых усилий.

Пример 2.2-3. Верхнее строение буровой установки вместе с оборудованием весит 1,65 МН. Оно поддерживается четырьмя колоннами по углам и фермами конструкции по двум сторонам, как показано на рис. 2.11. Стержни фермы выполнены из стали ($E = 210$ ГПа) и имеют поперечные сечения площадью $9,6 \text{ см}^2$. Можно предположить, что за каждую опорную точку (это по пять на обеих сторонах установки) приходится по 1/10 доли нагрузки, т. е. по 0,165 МН. При этом условия определим перемещения, реакции и внутренние усилия в стержнях фермы 1-2-3-4, подавая нулевые перемещения узлов 1 и 3.

Будем решать эту задачу так же, как и предыдущую, но сначала получим соотношения между узловыми и перемещениями для системы элементов с помощью прямого метода жесткости.

Рис. 2.11. Схема фермовой колонны, поддерживающей верхнее строение буровой установки.



Выбрав общую систему осей так, что ось x горизонтальна и имеет положительное направление вправо, а ось y вертикальна и имеет положительное направление вверх, получим

$$[K] = \frac{EA}{l_1} \begin{bmatrix} 1,476 & 0,381 & -1 & 0 & 0 & 0 & 0,476 & -0,381 \\ 0,381 & 0,305 & 0 & 0 & 0 & 0 & 0,381 & -0,305 \\ -1 & 0 & 2 & 0 & -1 & 0 & 0 & 0 \\ 0 & 0 & 0 & 1,250 & 0 & 0 & 0 & -1,250 \\ 0 & 0 & -1 & 0 & 1,476 & -0,381 & -0,476 & 0,381 \\ 0 & 0 & 0 & 0 & -0,381 & -0,305 & 0,381 & -0,305 \\ -0,487 & -0,381 & 0 & 0 & -0,476 & 0,381 & 0,952 & 0 \\ -0,381 & -0,305 & 0 & -1,250 & 0,381 & -0,305 & 0 & 1,260 \end{bmatrix},$$

где $l_1 = 7,5$ м. Эта матрица связывает усилия и перемещения в узлах в уравнении $F = [K] u$, где

$$\begin{Bmatrix} F_{1x} \\ F_{1y} \\ F_{2x} \\ F_{2y} \\ \vdots \\ F_{4x} \\ F_{4y} \end{Bmatrix} = \begin{Bmatrix} u_1 \\ u_2 \\ u_3 \\ u_4 \\ \vdots \\ u_8 \end{Bmatrix}.$$

Границные условия имеют здесь следующий вид: $u_1 = v_1 = v_3 = v_5 = 0$; $F_{1x} = F_{3x} = F_{4x} = 0$; $F_{4y} = -0,165$ МН.

С учетом этого можно рассчитать обеие матричные уравнения за два неподвижных опорных

$$\begin{Bmatrix} F_{1x} \\ F_{1y} \\ F_{2x} \\ F_{2y} \end{Bmatrix} = \frac{EA}{l_1} \begin{bmatrix} -1 & 0 & -0,476 & -0,381 \\ 0 & 0 & -0,381 & -0,305 \\ -1 & 0 & -0,476 & 0,381 \\ 0 & 0 & 0,381 & -0,305 \end{bmatrix} \begin{Bmatrix} u_1 \\ u_2 \\ u_3 \\ u_4 \end{Bmatrix}$$

$$\begin{Bmatrix} F_{1x} \\ F_{1y} \\ F_{2x} \\ F_{2y} \end{Bmatrix} = \frac{EA}{l_1} \begin{bmatrix} 2 & 0 & 0 & 0 \\ 0 & 1,250 & 0 & -1,250 \\ 0 & 0 & 0,952 & 0 \\ 0 & -1,250 & 0 & 1,260 \end{bmatrix} \begin{Bmatrix} u_1 \\ u_2 \\ u_3 \\ u_4 \end{Bmatrix}.$$

Решая последнее матричное уравнение при заданных значениях узловых усилий, находим $u_1 = u_4 = 0$; $u_2 = u_3 = -0,0101$ м.

Затем из первого матричного уравнения находим реакции в узлах 1 и 3: $F_{1x} = -F_{3x} = 0,1033$ МН; $F_{1y} = -F_{3y} = 0,0829$ МН.

И, наконец, из выражения (2.39) определяем внутренние усилия (предельные силы) в элементах $N_{1-2} = N_{2-3} = N_{2-4} = 0$; $N_{1-4} = N_{3-4} = -0,1325$ МН.

Норматное напряжение σ_{ij} в элементе $i-j$ получается делением соответствующей предельной силы на площадь поперечного сечения элемента. В результате имеем $\sigma_{1-2} = \sigma_{2-3} = \sigma_{2-4} = 0$; $\sigma_{1-4} = \sigma_{3-4} = -138$ МПа.

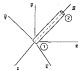


Рис. 2.12. Наклонный элемент пространственной фермы.

Оси местной системы координат обозначим $\bar{x}, \bar{y}, \bar{z}$, а оси общей для всех элементов системы x, y, z . Примем, кроме того, следующие обозначения углов между осями обеих систем:

$\alpha_{x\bar{x}}$ — угол между осями x, \bar{x} ;

$\alpha_{y\bar{x}}$ — угол между осями y, \bar{x} ;

$\alpha_{z\bar{x}}$ — угол между осями z, \bar{x} .

Нетрудно убедиться, что связь между составляющими усилий в сечениях 1 и 2 элемента в общей и местной системах осей координат может быть записана в матричной форме по аналогии с формулами, полученными для двухмерных элементов,

$$\{\bar{f}\} = [C] \{f\}; \quad \{f\} = [C]^T \{\bar{f}\}, \quad (2.41)$$

где

$$\begin{pmatrix} \bar{f}_1 \\ \bar{f}_2 \\ \bar{f}_3 \\ \bar{f}_4 \\ \bar{f}_5 \\ \bar{f}_6 \end{pmatrix} = \begin{pmatrix} \bar{f}_{1x} \\ \bar{f}_{1y} \\ \bar{f}_{1z} \\ \bar{f}_{2x} \\ \bar{f}_{2y} \\ \bar{f}_{2z} \end{pmatrix}; \quad \{f\} = \begin{pmatrix} f_{1x} \\ f_{1y} \\ f_{1z} \\ f_{2x} \\ f_{2y} \\ f_{2z} \end{pmatrix}, \quad (2.42)$$

а матрица преобразования составляющих усилий имеет вид

$$[C] = \begin{bmatrix} \lambda_1 & \mu_1 & \nu_1 & 0 & 0 & 0 \\ \lambda_2 & \mu_2 & \nu_2 & 0 & 0 & 0 \\ \lambda_3 & \mu_3 & \nu_3 & 0 & 0 & 0 \\ 0 & 0 & 0 & \lambda_1 & \mu_1 & \nu_1 \\ 0 & 0 & 0 & \lambda_2 & \mu_2 & \nu_2 \\ 0 & 0 & 0 & \lambda_3 & \mu_3 & \nu_3 \end{bmatrix}, \quad (2.43)$$

2.3. Пространственные фермы

Предыдущие изложенные были ограничены двухмерными, не вытесненными в одну линию элементами стержневых систем, подверженными растяжению или сжатию нагрузкам, и даю возможность рассматривать задачи о плоских фермах. Для возможности перехода к трехмерным задачам о пространственных фермах рассмотрим элемент из рис. 2.12.

прежде

$$\begin{aligned} \lambda_1 &= \cos \alpha_{x\bar{x}} \\ \mu_1 &= \cos \alpha_{y\bar{x}} \\ \nu_1 &= \cos \alpha_{z\bar{x}} \\ \dots & \dots \\ \lambda_3 &= \cos \alpha_{z\bar{x}} \end{aligned}$$

Аналогичные выражения можно получить для составляющих перемещений

$$\{\bar{u}\} = [C] \{u\}; \quad \{u\} = [C]^T \{\bar{u}\}, \quad (2.44)$$

где

$$\begin{pmatrix} \bar{u}_1 \\ \bar{u}_2 \\ \bar{u}_3 \\ \bar{u}_4 \\ \bar{u}_5 \\ \bar{u}_6 \end{pmatrix} = \begin{pmatrix} u_x \\ u_y \\ u_z \\ v_x \\ v_y \\ v_z \end{pmatrix}; \quad \{u\} = \begin{pmatrix} u_x \\ u_y \\ u_z \\ v_x \\ v_y \\ v_z \end{pmatrix}. \quad (2.45)$$

Как и ранее, в случае рассмотрения двухмерных элементов, соотношение между узловыми усилиями и перемещениями можно представить в виде

$$\{\bar{f}\} = [\bar{K}] \{\bar{u}\}. \quad (2.46)$$

Используя выражения (2.41) и (2.44), представим последние в виде

$$[C] \{f\} = [\bar{K}] [C] \{u\}. \quad (2.47)$$

Умножая обе части этого равенства на матрицу $[C]^T$ слева и учитывая, что

$$[C]^T [C] = \begin{bmatrix} 1 & 0 & 0 & 0 & 0 & 0 \\ 0 & 1 & 0 & 0 & 0 & 0 \\ 0 & 0 & 1 & 0 & 0 & 0 \\ 0 & 0 & 0 & 1 & 0 & 0 \\ 0 & 0 & 0 & 0 & 1 & 0 \\ 0 & 0 & 0 & 0 & 0 & 1 \end{bmatrix} = [I], \quad (2.48)$$

получаем

$$\{f\} = [C]^T [\bar{K}] [C] \{u\}. \quad (2.49)$$

Сравнивая это выражение с уравнением $\{\bar{f}\} = [\bar{K}] \{\bar{u}\}$, будем иметь выражение для матрицы жесткости элемента в общей системе осей координат

$$[\bar{K}] = [C]^T [\bar{K}] [C]. \quad (2.50)$$

Приним матрицу $\tilde{[K]}$ в виде

$$\tilde{[K]} = \frac{EA}{l} \begin{bmatrix} 1 & 0 & 0 & -1 & 0 & 0 \\ 0 & 0 & 0 & 0 & 0 & 0 \\ 0 & 0 & 0 & 0 & 0 & 0 \\ -1 & 0 & 0 & 1 & 0 & 0 \\ 0 & 0 & 0 & 0 & 0 & 0 \\ 0 & 0 & 0 & 0 & 0 & 0 \end{bmatrix}, \quad (2.51)$$

и используя выражения (2.43) и (2.50), получим

$$[K] = \frac{EA}{l} \begin{bmatrix} \lambda^2 & \mu^2 & \text{Симметрично} \\ \lambda\mu & \mu^2 & \\ \lambda\mu & \mu\lambda & \nu^2 \\ -\lambda^2 & -\lambda\mu & -\lambda^2 \\ -\lambda\mu & -\mu^2 & -\lambda\mu & \mu^2 \\ -\lambda\mu & -\mu\lambda & -\mu^2 & \lambda\mu & \mu\nu & \nu^2 \end{bmatrix}, \quad (2.52)$$

где $\lambda = \lambda_1$, $\mu = \mu_1$ и $\nu = \nu_1$.

При расчете пространственных форм с помощью этого выражения следует поступать точно так же, как и в случае рассмотрения двухмерных задач, и дополнять матрицу жесткости каждого одномерного элемента общей системой осей координат нулевыми строками и столбцами, соответствующими узлам системы, не входящим в состав элемента. Затем, используя прямой метод жесткости, эти матрицы складываются, задают граничные условия и вычисляют известные перемещения и реакции опорных связей. Внутренние узлы (призматические сечения) могут быть определены окончательно с помощью формулы

$$N_{i-j} = \tilde{f}_{ix} + M_{ix} + f_{iy} + M_{iy}, \quad (2.53)$$

где узлы f_{ix} , f_{iy} и M_{ij} находят по формуле (2.49), примененной к элементу $i-j$. Соответствующие растягивающие или сжимающие нормальные напряжения вычисляют далее делением узлов N_{i-j} на плечи повернутого сечения элемента, как и в случае рассмотрения плоских ферм.

2.4. Плоские рамы

В параграфе 2.3 рассматривались элементы, подверженные только осевому нагружению. В элементах некоторых определенного вида систем, называемых рамами, возникают также поперечные силы и изгибающие моменты. Для расчета подобных систем необходимо, таким образом, разобрать основные матричные соотношения, полученные для ферм, включив в них дополнительные внутренние усилия.

В противоположность фермам, в которых элементы подвергаются свободно поворачивающимся в узловых соединениях, рамы обзыва-

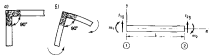


Рис. 2.13. Жесткий узел: а – по направлению к зажиму; б – в месте нагружения.

Рис. 2.14. Элемент стержневой системы, подвергнутый осевому нагружению в изгиб.

ются имеющими жесткие узлы, т. е. сохраняющими после загружения углы между соединенными в них элементами. Пример такого узла показан на рис. 2.13. Прямой угол, под которым в этом узле соединены элементы, не изменяется после нагружения даже при повороте узла. Все соединенные жесткими узлами элементы будут, следовательно, испытывать такой же угловой поворот, как и сам узел.

В данном параграфе рассматриваются матричные соотношения для расчета плоских рам, т. е. рам, элементы которых лежат в одной и той же плоскости. Узлы, соединяющие элементы, называются жесткими в указанном выше смысле.

Матрица жесткости элемента

Рассмотрим элемент $J-2$ на рис. 2.14 под воздействием вертикального усилия f_{iy} и момента m_i , приставленных к концу J , а также f_{iz} и m_2 на конце 2. Вертикальные усилия считаются поперечными, если они направлены в сторону поперечных осей, а изгибающие моменты действуют по ходу часовой стрелки. Ограничимся случаем, когда повернутое сечение элемента симметрично относительно вертикальной оси, проходящей через центр тяжести сечения, уравнение изгиба элемента можно записать в виде

$$EI \frac{d^2v}{dx^2} = M(x), \quad (2.54)$$

где E – модуль Юнга; I – момент инерции поперечного сечения элемента; v – прогиб в сечении x ; $M(x)$ – изгибающий момент, врачающий поперечным, если на отсеченный правый конец элемента он действует против хода часовой стрелки, как показано на рис. 2.15. Из условий равновесия

$$M = m_i + M_{iy}. \quad (2.55)$$

Объединим последние две уравнения

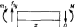


Рис. 2.15. Поперечная сила и изгибающий момент в сечении элемента.

и интегрируя, находим (при постоянном EJ), что

$$EI(dv/dx) = m_1 x + f_{1,y}(x^2/2) - EI\theta_1 \quad (2.56)$$

и

$$EIv = m_1(x^2/2) + f_{1,y}(x^3/6) - EI\theta_1 x + EI\theta_1, \quad (2.57)$$

при граничных условиях

$$x = v_1; \quad dv/dx = -\theta_1 \quad (2.58)$$

определенны при $x = 0$, т. е. в сечении I. Отметим, что угол поворота сечения θ_1 определен при тех же условиях, что и M_1 .

Полагая

$$x = v_2; \quad dv/dx = -\theta_2 \quad (2.59)$$

для сечения 2 (при $x = l$), получаем из уравнений (2.56)–(2.57), что

$$\left. \begin{aligned} EI\theta_2 &= -m_1 l - f_{1,y}(l^3/2) + EI\theta_1; \\ EI\theta_2 &= m_1(l^2/2) + f_{1,y}(l^3/6) - EI\theta_1 l + EI\theta_1. \end{aligned} \right\} \quad (2.60)$$

Эти уравнения могут быть решены относительно M_1 и $f_{1,y}$:

$$\left. \begin{aligned} m_1 &= \frac{6EI}{l^2} (v_2 - v_1) + \frac{2EI}{l} (\theta_1 + \theta_2); \\ f_{1,y} &= -\frac{12EI}{l^3} (v_2 - v_1) - \frac{6EI}{l^2} (\theta_1 + \theta_2). \end{aligned} \right\} \quad (2.61)$$

Кроме того, из условий равновесия элемента в целом (см. рис. 2.14) следует

$$m_2 = -m_1 - lf_{1,y}; \quad f_{2,y} = -f_{1,y}. \quad (2.62)$$

так что

$$\left. \begin{aligned} m_2 &= \frac{6EI}{l^2} (v_2 - v_1) + \frac{2EI}{l} (\theta_1 + 2\theta_2); \\ f_{2,y} &= \frac{12EI}{l^3} (v_2 - v_1) + \frac{6EI}{l^2} (\theta_1 + \theta_2). \end{aligned} \right\} \quad (2.63)$$

Соотношения между усилиями и перемещениями может быть записано на основании полученных формул в матричной форме

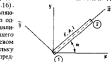
$$\begin{bmatrix} f_{1,y} \\ m_1 \\ f_{2,y} \\ m_2 \end{bmatrix} = \begin{bmatrix} EI & 12I & -6I^2 & -12I & -6I^3 \\ -6I^2 & 4I^3 & 6I^2 & 2I^3 & 0 \\ -12I & 6I^2 & 12I & 6I^3 & 0 \\ -6I^2 & 2I^3 & 6I^2 & 4I^3 & 0 \end{bmatrix} \begin{bmatrix} v_1 \\ \theta_1 \\ v_2 \\ \theta_2 \end{bmatrix}. \quad (2.64)$$

В дополнение к поперечным силам и моментам, действующим по концам элемента, включим в рассмотрение и продольные силы. Из параграфа 2.1 известно соотношение между этими силами и перемещениями, которое можно включить в выражение (2.64).

$$\left[\begin{array}{c|ccccc} f_{1,x} & \frac{EA}{l} & & & & v_1 \\ \hline f_{2,x} & 0 & \frac{12EI}{l^2} & & & v_2 \\ m_1 & 0 & -\frac{6EI}{l^2} & \frac{4EI}{l} & & \theta_1 \\ \hline f_{1,y} & \frac{EA}{l} & 0 & 0 & \frac{EA}{l} & \theta_2 \\ f_{2,y} & 0 & -\frac{12EI}{l^2} & \frac{6EI}{l^2} & 0 & \theta_1 \\ m_2 & 0 & -\frac{6EI}{l^2} & \frac{2EI}{l} & 0 & \theta_2 \end{array} \right] \begin{bmatrix} s_1 \\ s_2 \\ \theta_1 \\ \theta_2 \end{bmatrix} \quad (2.65)$$

Продольный единичный элемент на концах элемента

Как и в случае общего нагружения элемента, можно рассмотреть матрицу жесткости элемента, наклонного по отношению к осям общей системы. Используем \bar{x} и \bar{y} для обозначения местных осей и x , y для всей общей системы (рис. 2.16). Формулы преобразования оставляющих усилий или перемещений из одной системы осей в другую установлены за оставление предшествующего рассмотрения нагруженных в осевом направлении элементов. Поскольку моменты m_1 и m_2 могут быть представлены как векторы, нормальные к плоскости $M_1\theta_1$, очевидно, что они, Рис. 2.16. Наклонный элемент в системе координат и соответствующие им узлы $\bar{\Psi}_1$ и $\bar{\Psi}_2$



и θ_2 , не подвергается преобразованию. Таким образом, формулы для преобразования составляющих усилий элемента из общей в местную систему осей и наоборот могут быть записаны так:

$$\{\tilde{f}\} = [C] \{f\}; \quad \{f\} = [C]^T \{\tilde{f}\}. \quad (2.66)$$

Т.е.

$$\{\tilde{f}\} = \begin{pmatrix} \tilde{f}_x \\ \tilde{f}_y \\ \tilde{f}_z \\ \tilde{f}_M \\ \tilde{\theta}_1 \\ \tilde{\theta}_2 \end{pmatrix}; \quad \{f\} = \begin{pmatrix} f_{1,x} \\ f_{1,y} \\ f_{1,z} \\ f_{2,x} \\ f_{2,y} \\ m_1 \end{pmatrix},$$

а матрица преобразования с учетом полученных ранее результатов

$$[C] = \begin{bmatrix} \lambda & \mu & 0 & 0 & 0 & 0 \\ -\mu & \lambda & 0 & 0 & 0 & 0 \\ 0 & 0 & 1 & 0 & 0 & 0 \\ 0 & 0 & 0 & \lambda & \mu & 0 \\ 0 & 0 & 0 & -\mu & \lambda & 0 \\ 0 & 0 & 0 & 0 & 0 & 1 \end{bmatrix}, \quad (2.67)$$

причем $\lambda = \cos \alpha$; $\mu = \sin \alpha$.

Аналогичные выражения можно получить для составляющих перемещений:

$$\{\tilde{u}\} = [C] \{u\}; \quad \{u\} = [C]^T \{\tilde{u}\}. \quad (2.68)$$

Т.е.

$$\{\tilde{u}\} = \begin{pmatrix} \tilde{u}_1 \\ \tilde{u}_2 \\ \tilde{u}_3 \\ \tilde{u}_4 \\ \tilde{u}_5 \\ \tilde{u}_6 \end{pmatrix}; \quad \{u\} = \begin{pmatrix} u_1 \\ u_2 \\ u_3 \\ u_4 \\ u_5 \\ u_6 \end{pmatrix},$$

используя полученные выше соотношения между усилиями и перемещениями

$$\{\tilde{f}\} = [\bar{K}] \{\tilde{u}\}, \quad (2.69)$$

можно легко прийти к выражению

$$[K] = [C]^T [\bar{K}] [C] \quad (2.70)$$

для матрицы жесткости элемента в общей системе осей. Матрица $[\bar{K}]$

с учетом (2.65) получает следующий вид:

$$\left[\begin{array}{c} \bar{K} = \frac{12I}{l^3} \mu^2 \\ \left(A = \frac{12I}{l^3} \right) \mu; \quad A l^2 + \frac{12I}{l^3} \lambda^2 \\ \frac{E}{l} \left(-\frac{6I}{l^2} \mu^2 - \frac{6I}{l} \lambda - 4I \right) \\ -\left(6I + \frac{12I}{l^3} \mu^2 \right) \left(A = \frac{12I}{l^3} \right) \mu - \frac{6I}{l^2} \left(A l^2 + \frac{12I}{l^3} \mu^2 \right) \\ -\left(A = \frac{12I}{l^3} \right) \mu - \left(6I + \frac{12I}{l^3} \mu^2 \right) \frac{6I}{l^2} \lambda \left(A = \frac{12I}{l^3} \right) \mu; \quad A l^2 + \frac{12I}{l^3} \mu^2 \\ \frac{6I}{l^2} \mu - \frac{6I}{l} \lambda - 2I \quad -\frac{6I}{l^2} \mu - \frac{6I}{l} \lambda - 4I \end{array} \right]. \quad (2.71)$$

Выражение (2.71) позволяет получать матрицу жесткости элемента, исключая из отображения к оси общей системы координат. Оно может быть использовано точно так же, как получаемое ранее выражение для исключенного элемента, подвергнутого только осевому нагружению. Например, если рассматривается рама, состоящая из нескольких численных элементов, то сначала надо преобразовать матрицы жесткости каждого элемента в общей системе осей координат, а затем сложить их с помощью прямого метода жесткости (который обеспечивает равновесие в узлах внутренних и внешних узлов) для получения матрицы жесткости системы элементов. После задания граничных условий определяются некоторые перемещения от заданных сил (для этого используется одна часть расщепленной системы уравнений, описывающей узлы с перемещениями), а затем из избыточных перемещений определяются известные реакции опорных связей (с помощью другой части расщепленной системы уравнений).

Следует учесть, что правило знаков для заданных узловых усилий F_x , F_y и M такое же, как и для внутренних усилий по концам элемента (см. рис. 2.14), т. е. положительные силы совпадают по направлению с осьми координат, а положительный момент действует по ходу часовой стрелки. Аналогично, узловые перемещения u_x и u_y совпадают по направлению с осью координат, а вектор θ положительный, если направлен по ходу часовой стрелки.

Границные условия должны задаваться в задачах о рамках так же, как и в случае ферм. В каждом узле полагают быть заданы три условия: на F_x или u_x ; F_y или u_y ; M или θ . При этом должно быть задано достаточно число составляющих перемещений, что дает бы возможность

устранив перемещение системы как твердого целого. В противном случае при вычислении неизвестных узловых перемещений не будет существовать единственное решение.

Найденные перемещения узлов могут быть тут же использованы для определения внутренних усилий на концах элементов с помощью матрицы жесткости отдельных элементов (относимых к общей системе осей). На этих усилиях далее подсчитываются напряжения в отдельных элементах, для чего могут быть использованы формулы механики твердого деформируемого тела.

Напряжение в любой точке B , находящейся в сечении с координатой X элемента, включает нормальную σ и касательную τ составляющие, как показано на рис. 2.17. В свою очередь, нормальное напряжение σ состоит из двух слагаемых: σ_N от продольной силы и σ_M от изгибающего момента. т. е.

$$\sigma = \sigma_N + \sigma_M, \quad (2.72)$$

которые вычисляются по формулам

$$\sigma_N = N/A; \quad \sigma_M = M\bar{I}/I, \quad (2.73)$$

где A и I обозначают, как и ранее в матрицах жесткости, площадь и момент инерции поперечного сечения элемента, а \bar{I} — расстояние

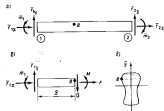


Рис. 2.17. Напряженное состояние элемента плоской рамы: а — узловые, действующие в концевых сечениях; б — внутренние усилия в сечении Σ ; в — поперечные сечения элемента; x — направление в точке B (нормальная плоскость xy).

по вертикали от точки B до центра тяжести сечения. Касательное напряжение выражается через поперечную силу Q :

$$\tau = Q\bar{I}/b, \quad (2.74)$$

где S — статический момент части плоским поперечного сечения, расположенной по одному сторону от линии, проведенной параллельно нейтральной оси на расстоянии \bar{x} ; b — ширина поперечного сечения на расстоянии \bar{x} от нейтральной оси.

Характеристики поперечного сечения, введенные в последние две формулы, могут выражаться следующим образом:

$$I = \int \bar{x}^2 dA; \quad S = \int \bar{x} dA.$$

Пример 2.4-1. Рама из рис. 2.18 состоящая из двух жестко соединенных в узле 2 двухизогнутых ($E=70$ ГПа) труб, имеющих внешний диаметр 76 мм и толщину стенки 3 мм. Требуется определить перемещения узла 2 и максимальные значения напряжений в элементах.

Отметим, что эта рама называется фермой, рассмотренную в примере 2.2-1, но здесь узлы 1 и 3 закреплены от возврата, а узел 2 жесткий.

Для решения задачи построим сначала матрицу жесткости рамы в полном сложении матриц жесткости отдельных ее элементов. Площадь и момент инерции поперечного сечения элементов при внешнем диаметре $D=76$ мм и внутреннем диаметре $d=70$ мм имеют следующие значения:

$$A = (\pi/4)(D^2 - d^2) = 6,88 \text{ см}^2 = 6,88 \cdot 10^{-4} \text{ м}^2;$$

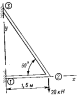
$$I = (\pi/64)(D^6 - d^6) = 45,9 \text{ см}^4 = 4,59 \cdot 10^{-11} \text{ м}^4.$$

Приняв в выражении (2.71) $I = I_1 = 1,5$ м (длина элемента 1-2) и $\lambda = 1$, $\mu = 0$ (расстояние узлов между осью элемента и осью x , в общей системе координат соответственно), получим матрицу жесткости элемента

$$[K]_{1-2} = k \cdot 10^{-3} \begin{bmatrix} 1000 & 0 & 0 & -1000 & 0 & 0 \\ 0 & 3,56 & -2,67 & 0 & -3,56 & -2,67 \\ 0 & -2,67 & 2,67 & 0 & 2,67 & 1,33 \\ \hline -1000 & 0 & 0 & 1000 & 0 & 0 \\ 0 & -3,56 & 2,67 & 0 & 3,56 & 2,67 \\ 0 & -2,67 & 1,33 & 0 & 2,67 & 2,67 \end{bmatrix},$$

где $k = EA/I_1 = 32,1$ МН/м.

Рис. 2.18. Плоская рама с защемленными концами 1, 3 и жестким узлом 2.



Аналогичным образом можно получить матрицу жесткости элемента 2–3 при $\lambda = -0,5000$; $\mu = 0,8660$, $I = J_3 = 3$:

$$[K]_{2-3} = k \cdot 10^{-3} \begin{bmatrix} 125,33 & -216,31 & 0,58 & -125,33 & 216,31 & 0,58 \\ -216,31 & 375,59 & 0,33 & 216,31 & -375,59 & 0,33 \\ 0,58 & 0,33 & 1,33 & -0,58 & -0,33 & 0,67 \\ \hline -125,33 & 216,31 & -0,58 & 125,33 & -216,31 & -0,58 \\ 216,31 & -375,59 & -0,33 & -216,31 & 375,59 & -0,33 \\ 0,58 & 0,33 & 0,67 & -0,58 & -0,33 & 1,33 \end{bmatrix}$$

Здесь множитель k имеет то же значение, что и выше, и это удобно для последующего сложения матриц.

Согласно прямому методу жесткости матрица $[K]_{1-2}$ расширяется включением в нее нулевых седьмых, восьмых и девятых строк и столбцов, что указывает на отсутствие в элементе 1–2 узла 3. Точно также матрица $[K]_{2-3}$ дополняется нулевыми первыми пятью строками и столбцами, так как элемент 2–3 не содержит узла 1. Складывая эти матрицы, получаем матрицу жесткости стержневой системы:

$$[K] = k \cdot 10^{-3} \begin{bmatrix} 1000 & 0 & 0 & -1000 & 0 & 0 & 0 & 0 & 0 \\ 0 & 3,56 & -2,67 & 0 & -3,56 & -2,67 & 0 & 0 & 0 \\ 0 & -2,67 & 2,67 & 0 & 2,67 & 1,33 & 0 & 0 & 0 \\ \hline -1000 & 0 & 0 & 1125,33 & -216,31 & 0,58 & -125,33 & 216,31 & 0,58 \\ 0 & -3,56 & 2,67 & -216,31 & 375,59 & 3,00 & 216,31 & -375,59 & 0,33 \\ 0 & 2,67 & 1,33 & 0,58 & 3,00 & 4,00 & -0,58 & -0,33 & 1,33 \\ \hline 0 & 0 & 0 & -125,33 & 216,31 & -0,58 & 125,33 & -216,31 & -0,58 \\ 0 & 0 & 0 & 216,31 & -375,59 & -0,33 & -216,31 & 375,59 & -0,33 \\ 0 & 0 & 0 & 0,58 & 0,33 & 0,67 & -0,58 & -0,33 & 1,33 \end{bmatrix}$$

Границные условия (см. рис. 2.18) записываются следующим образом: $v_3 = v_4 = \delta_3 = 0$; $v_5 = v_6 = \delta_4 = 0$; $F_{1x} = M_2 = 0$, $F_{2y} = -20$ кН.

На основании этих условий система уравнений $\bar{F} = [K] \cdot \bar{x}$, в которой матрица жесткости получена выше, может быть расщеплена на две меньшего порядка:

$$\begin{aligned} \begin{bmatrix} F_{1x} \\ F_{1y} \\ M_1 \end{bmatrix} &= k \cdot 10^{-3} \begin{bmatrix} -1000 & 0 & 0 \\ 0 & -3,56 & -2,67 \\ 0 & -2,67 & 1,33 \end{bmatrix} \begin{Bmatrix} v_1 \\ v_2 \\ \delta_1 \end{Bmatrix} \\ \begin{bmatrix} F_{2x} \\ F_{2y} \\ M_3 \end{bmatrix} &= k \cdot 10^{-3} \begin{bmatrix} -125,33 & 216,31 & -0,58 \\ 216,31 & -375,59 & -0,33 \\ 0,58 & 0,33 & 0,67 \end{bmatrix} \begin{Bmatrix} v_5 \\ v_6 \\ \delta_2 \end{Bmatrix} \end{aligned}$$

Решая последнюю систему уравнений относительно ненулевых перемещений v_1 , v_2 и δ_1 при заданных $F_{1x} = M_1 = 0$ и $F_{2y} = -20$ кН, находим $v_1 = -0,358 \cdot 10^{-3}$ м, $v_2 = -1,86 \cdot 10^{-3}$ м, $\delta_1 = 1,45 \cdot 10^{-3}$ рад.

Из первой группы уравнений получим по найденным перемещениям v_1 , v_2 и δ_1 узловые:

$$F_{1x} = 11,494 \text{ кН}; \quad F_{1y} = 0,088 \text{ кН}; \quad M_1 = -0,0974 \text{ кН}\cdot\text{м};$$

$$F_{2x} = -11,494 \text{ кН}; \quad F_{2y} = 19,911 \text{ кН}; \quad M_3 = 0,004 \text{ кН}\cdot\text{м}.$$

Чтобы определить внутренние усилия f_{1x} , f_{1y} , M_1 , ..., действующие по концам элементов 1–2, надо умножить матрицу жесткости $[K]_{1-2}$ этого элемента на уже известные значения перемещений. Поскольку перемещения $v_1 = v_2 = \delta_1 = 0$, достаточно выполнить операцию

$$\begin{bmatrix} f_{1x} \\ f_{1y} \\ m_1 \\ f_{2x} \\ f_{2y} \\ m_3 \end{bmatrix} = k \cdot 10^{-3} \begin{bmatrix} -1000 & 0 & 0 \\ 0 & -3,56 & -2,67 \\ 0 & 2,67 & 1,33 \\ 1000 & 0 & 0 \\ 0 & 3,56 & 2,67 \\ 0 & 2,67 & 2,67 \end{bmatrix} \begin{Bmatrix} v_1 \\ v_2 \\ \delta_1 \end{Bmatrix}.$$

В результате перемножения этих матриц получим

$$f_{1x} = 11,494 \text{ кН}; \quad f_{1y} = 0,088 \text{ кН}; \quad m_1 = -0,0974 \text{ кН}\cdot\text{м};$$

$$f_{2x} = -11,494 \text{ кН}; \quad f_{2y} = -0,088 \text{ кН}; \quad m_3 = -0,0354 \text{ кН}\cdot\text{м}.$$

Эти внутренние усилия показаны на рис. 2.19, а вместе с эквивалентной силой N , поперечной силы Q и изгибающего момента M , которые определены из условия равновесия отсеченной части стержня (рис. 2.19, б); при этом применяется правило знаков для внутренних усилий, показанное на рис. 2.19, в.

Умножив матрицу жесткости $[K]_{2-3}$ на значения перемещений узла 2, можно определить внутренние усилия, действующие по концам элемента 2–3.

$$f_{2x} = 11,494 \text{ кН}; \quad f_{2y} = -19,911 \text{ кН}; \quad m_2 = 0,0354 \text{ кН}\cdot\text{м};$$

$$f_{3x} = -11,494 \text{ кН}; \quad f_{3y} = 19,911 \text{ кН}; \quad m_3 = 0,0044 \text{ кН}\cdot\text{м}.$$

Эти составляющие внутренних усилий относятся к общей системе осей координат x , поскольку элемент наклонен по отношению к этим осям, среди найденных усилий нет продольной и поперечной сил (рис. 2.20, а). Чтобы получить значения последних, необходимо воспользоваться выражением (2.66) и преобразовать составляющие внутренних

установленной в общей системе осей в местную. В результате преобразования получим

$$\bar{f}_{1x} = -22,990 \text{ кН}; \quad \bar{f}_{1y} = -0,0013 \text{ кН}; \quad \bar{m}_1 = 0,0354 \text{ кН}\cdot\text{м};$$

$$\bar{f}_{2x} = 22,990 \text{ кН}; \quad \bar{f}_{2y} = 0,0013 \text{ кН}; \quad \bar{m}_2 = 0,0044 \text{ кН}\cdot\text{м}.$$

Эти составляющие усилий во концах элемента показаны на рис. 2.20, а, а координатные по этим ззорам пропорции силы N , поперечной силы Q и изгибающего момента M — на рис. 2.20, б.

Вычислим напряжения в сечениях с помощью формул (2.72)–(2.74). Экстремальные значения напряжений от изгиба следуют находить у наружной поверхности, т. е. при $y = \pm R$, в том сечении трубы, где изгибающий момент M наибольший по модулю. Нормальное напряжение от продольной силы изменяется по всей площади поперечного сечения и в данной задаче постоянно по длине элемента. Таким образом, экстремальные нормальные напряжения находятся как

$$\sigma = \sigma_N + \sigma_M = N/f_A \pm M R/J.$$

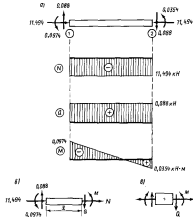


Рис. 2.19. Внутренние усилия в элементе 2–2: а — ззоры усилий; б — линия усилий; в — правило знаков.

В противоположность этому экстремальное квадратичное напряжение должно появляться в плоскости $\bar{y}=0$ и в том сечении, где поперечная сила Q наибольшая по модулю. Значение статического момента площади сечения в формуле (2.74) находим по выражению $S = (2/3)(R^3 - r^3)$

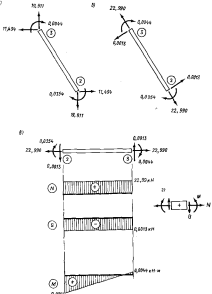


Рис. 2.20. Результаты расчета элемента 2–2: а, б — усилия, действующие по концам элемента в общей и местной системах осей координат; в — ззоры внутренних усилий; с — правило знаков для определения усилий.

и, таким образом, экстремальное изогнутое напряжение определяется [при $\delta = 2(R - r)$] по формуле

$$\sigma = \frac{Q(R^3 - r^3)}{3I(R - r)}.$$

Применив полученные здесь формулы к элементам 1–2 и 2–3 и используя результаты расчета на рис. 2.19 и 2.20, находим в элементе 1–2

$$\sigma_N = \frac{-11,94}{6,88 \cdot 10^{-4}} = -16,71 \text{ МПа};$$

$$\sigma_M = \frac{\pm (-0,0974) 38 \cdot 10^{-3}}{4,59 \cdot 10^{-7}} = \pm 8,06 \text{ МПа};$$

$$\sigma = \sigma_N + \sigma_M = -24,77 \text{ МПа}; -8,65 \text{ МПа};$$

$$\tau = \frac{0,88(5,487 - 4,287) \cdot 10^{-3}}{3 \cdot 4,59 \cdot 10^{-7} \cdot 3 \cdot 10^{-3}} = +25,5 \text{ кПа};$$

в элементе 2–3

$$\sigma_N = \frac{22,990}{6,88 \cdot 10^{-4}} = 33,41 \text{ МПа};$$

$$\sigma_M = \frac{0,0354 \cdot 38 \cdot 10^{-3}}{4,59 \cdot 10^{-7}} = \pm 2,93 \text{ МПа};$$

$$\sigma = \sigma_N + \sigma_M = 36,24 \text{ МПа}; 30,48 \text{ МПа};$$

$$\tau = \frac{(-0,0013) 1,2 \cdot 10^{-3}}{3 \cdot 4,59 \cdot 10^{-7} \cdot 3 \cdot 10^{-3}} = -3,8 \text{ кПа}.$$

Наибольшие касательные напряжения в элементах, как видно, очень малы в сравнении с нормальными напряжениями от изгиба. Это явление обясняет для элементов, посчитаноенных по сравнению с их размерами в поперечном сечении для посебных элементов, которые, кстати, и применяются в строительной практике; изогнуемые напряжения могут не учитываться, т. е. достаточно учитывать только нормальные напряжения от продольной силы и изгибающего момента.

Интересно сопоставить перемещения ϑ напряжением, полученным здесь, и те, что были определены в примере 2.2–1, где показано, что концы элементов могут свободно поворачиваться. Сравнение результатов показывает, что перемещения v_1 и v_2 , а также нормальные напряжения от продольной силы в элементах, по существу, одинаковы.

Однако за счет изгибающих моментов наибольшие нормальные напряжения увеличиваются в элементе 1–2 на 47 %, а в элементе 2–3 на 8 %. Увеличение значений напряжений будет меньше, если жесткие защемления в узлах 1 и 3 заменить шарнирными операми, допускающими поворот концов элементов. Расчеты показывают, что в таком случае жесткое соединение элементов в узле 2 будет приводить к менее чем 10 %-ному увеличению изогнуемых напряжений в сравнении с получаемыми при расчете фермы. Этот результат иллюстрирует известное положение строительной механики: в системе, которая должна работать как ферма (т. е. ее стержни будут нести только растягивающие или сжимающие усилия), должны быть исключены жесткие узловые соединения; расчеты системы как фермы являются хорошим приближением к точному, если элементы относительно тонких, т. е. длинных по сравнению с их размерами в поперечном сечении.

Наконец, можно отметить, что составляющие внутренних сил в направлении осей x и y и изгибающие моменты в узле 1 элемента 1–2 и в узле 2 элемента 2–3 равны соответственно опорным реакциям, определенным с помощью матричных операций. Объясняется это тем, что реакции в опоре действуют здесь на конец только одного элемента. Если же в опорном узле будут склоняться два или большее число элементов, тогда опорные реакции должны равняться сумме соответствующих внутренних усилий в опорных сечениях элементов.

Пример 2.4–2. Покажем, что использование условий равновесия узла 2 в предыдущем примере приводит к тем же уравнениям, которые получились после решения матричного уравнения, сформированного с помощью прямого метода жесткости.

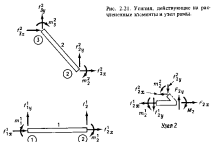


Рис. 2.21. Узкая, действующие на расчлененные элементы и узел рода.

Рассмотрим стержневую систему из элементов и соединений из узла (рис. 2.21). На условии равновесия $\Sigma F_x = 0$; $\Sigma F_y = 0$; $\Sigma M = 0$ для узла 2 получим

$$F_{2x} = f_{2x}^1 + f_{2x}^2;$$

$$F_{2y} = f_{2y}^1 + f_{2y}^2;$$

$$M_2 = m_2^1 + m_2^2.$$

Из соотношений между усилиями и перемещениями в сечениях элементов, полученных в примере 2.4-1, при заданных граничных условиях $u_1 = v_1 = \theta_1 = u_3 = v_3 = \theta_3 = 0$ следует

$$f_{2x}^1 = k u_2;$$

$$f_{2y}^1 = k \cdot 10^{-3} (3,58 u_2 + 2,67 \theta_2);$$

$$m_2^1 = k \cdot 10^{-3} (2,67 u_2 + 2,67 \theta_2);$$

$$f_{2x}^2 = k \cdot 10^{-3} (125,33 u_2 - 216,31 v_2 + 0,58 \theta_2);$$

$$f_{2y}^2 = k \cdot 10^{-3} (-216,31 u_2 + 375,59 v_2 + 0,33 \theta_2);$$

$$m_2^2 = k \cdot 10^{-3} (0,58 u_2 + 0,33 v_2 + 1,33 \theta_2).$$

Подставив это в уравнение равновесия узла 2 и представив результаты в матричной форме, будем иметь

$$\begin{bmatrix} F_{2x} \\ F_{2y} \\ M_2 \end{bmatrix} = k \cdot 10^{-3} \begin{bmatrix} 1125,33 & -216,31 & 0,58 \\ -216,31 & 379,15 & 3,00 \\ 0,58 & 3,00 & 4,00 \end{bmatrix} \begin{bmatrix} u_2 \\ v_2 \\ \theta_2 \end{bmatrix},$$

что полностью совпадает с матричным уравнением, полученным в примере 2.4-4 с помощью прямого метода жесткости. Остальные матричные уравнения, необходимые для определения усилий в узлах 1 и 3, могут

быть получены аналогичным образом с помощью уравнений равновесия этих узлов.

Пример 2.4-3. Рассмотрим проекцию по конструкции сооружения (рис. 2.22, а) в виде запутанной в грунтовое основание вертикальной споры, поддерживаемой алантурой с оборудованием. В расчетной схеме часть споры, находящаяся выше морского дна, представляется эквивалентной

жесткости, т. е. свободно стоящей (не контактирующей с грунтом по боковой поверхности) колонкой с заделанным нижним концом (рис. 2.22, б), обладающей на уровне поверхности грунта такой же жесткостью, что и решетчатая спора в грунте. Получим для этой задачи матричное уравнение для определения перемещений узлов 2 и 3 при заданных внешних силовых воздействиях.

Пусть жесткость эквивалентной споры на уровне морского дна описывается матрицей

$$[K_E] = \begin{bmatrix} a & 0 & -d \\ 0 & b & 0 \\ -d & 0 & c \end{bmatrix},$$

тогда соотношение между усилиями, действующими в сечении 2 споры, и перемещениями будет иметь вид

$$\begin{bmatrix} f_{2x} \\ f_{2y} \\ m_2 \end{bmatrix} = \begin{bmatrix} a & 0 & -d \\ 0 & b & 0 \\ -d & 0 & c \end{bmatrix} \begin{bmatrix} u_2 \\ v_2 \\ \theta_2 \end{bmatrix}.$$

Соотношение между усилиями по концам элемента 2-3 и перемещениями, в свою очередь, может быть представлено в виде

$$\begin{bmatrix} f_{3x} \\ f_{3y} \\ m_3 \end{bmatrix} = \begin{bmatrix} k_{31} & k_{32} & k_{33} & \dots & k_{37} \\ k_{21} & k_{33} & k_{33} & \dots & k_{37} \\ k_{32} & k_{33} & k_{44} & \dots & k_{47} \\ \vdots & \vdots & \vdots & \ddots & \vdots \\ f_{3x} & f_{3y} & m_3 & \dots & k_{77} \end{bmatrix} \begin{bmatrix} u_2 \\ v_2 \\ \theta_2 \\ u_3 \\ v_3 \\ \theta_3 \end{bmatrix},$$

в котором коэффициенты жесткости k_{31} , k_{32} и другие могут быть определены с помощью выражения (2.71).

Используя прямой метод жесткости, получим следующее матричное уравнение:

$$\begin{bmatrix} F_{2x} \\ F_{2y} \\ M_2 \\ F_{3x} \\ F_{3y} \\ M_3 \end{bmatrix} = \begin{bmatrix} k_{31} + a & k_{32} & k_{33} - d & \dots & k_{37} \\ k_{32} & k_{33} + b & k_{33} & \dots & k_{37} \\ k_{33} - d & k_{33} & k_{44} + c & \dots & k_{47} \\ \vdots & \vdots & \vdots & \ddots & \vdots \\ F_{2x} & F_{2y} & M_2 & \dots & k_{77} \end{bmatrix} \begin{bmatrix} u_2 \\ v_2 \\ \theta_2 \\ u_3 \\ v_3 \\ \theta_3 \end{bmatrix},$$

которое может быть решено относительно перемещений при заданных внешних усилиях.

Числование равнодействующих нагрузок

Впротивдействии живописи не предусматриваются нагрузки, распределенные по длине элементов. Чтобы получить возможность учета таких нагрузок, обратимся снова к элементам блоки

Рис. 2.22. Задача запутанной в грунт части споры: а) эквивалентной жесткости споры (б);

(см. рис. 2.14) и рассмотрим его теперь при наложении равномерно распределенной нагрузки интенсивностью q (рис. 2.23).

После выкладок, аналогичных сделанным ранее при выводе матричного уравнения (2.65), получим следующее соотношение между усилиями и перемещениями:

$$\left[\begin{array}{c} f_{1x} \\ f_{1y} - \frac{qI}{2} \\ m_1 + \frac{qI^2}{12} \\ f_{2x} \\ f_{2y} - \frac{qI}{2} \\ m_2 + \frac{qI^2}{12} \end{array} \right] = \left[\begin{array}{ccccc} \frac{EA}{I} & & & & \\ 0 & \frac{12EI}{I^2} & & & \text{Симметрично} \\ 0 & -\frac{6EI}{I^2} & \frac{4EI}{I} & & \\ \frac{EA}{I} & 0 & 0 & \frac{EA}{I} & \\ 0 & -\frac{12EI}{I^2} & \frac{6EI}{I^2} & 0 & \frac{12EI}{I^2} \\ 0 & -\frac{6EI}{I^2} & \frac{2EI}{I} & 0 & \frac{6EI}{I^2} & \frac{4EI}{I} \end{array} \right] \cdot \left[\begin{array}{c} u_1 \\ s_1 \\ u_2 \\ s_2 \end{array} \right]. \quad (2.75)$$

Соответствие этого матричного уравнения с уравнением (2.65) показывает, что различие между ними заключается только в дополнительных членах в матрице усилий. Отсюда следует, что расчет на распределенные нагрузки можно проводить с помощью описанных выше процедур, если представить дополнительными члены в матрице усилий как эквивалентные сосредоточенные нагрузки по концам элементов. Используя для обозначения этих нагрузок верхний индекс „ \ddagger “ у символов усилий и моментов, будем иметь $f_{1y}^\ddagger = -qI/2$; $m_1^\ddagger = qI^2/12$; $s_1^\ddagger = -qI/2$; $m_2^\ddagger = -qI^2/12$.

Пример приведения распределенных нагрузок к эквивалентным узловым показан на рис. 2.24. Поступающие расчеты, связанные с распределенными узловыми перемещениями, могут выполняться точно так же, как для систем, имеющих только узловые нагрузки.

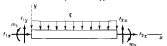


Рис. 2.23. Замена плоской рамы, подверженной действию равномерно распределенной нагрузки.

При использовании эквивалентных узловых нагрузок будем обозначать суммы соответствующих действительных и эквивалентных усилий F_x^\ddagger , F_y^\ddagger и M^\ddagger . Если действительные узловые усилия F_x , F_y и M заданы, то суммарные усилия F_x^\ddagger и другие могут быть использованы для определения перемещений после расщепления основного матричного

уравнения. Если же действительные узловые усилия являются реакциями опорных связей, как, например, в узле 1 на рис. 2.24, то по известным перемещениям могут быть определены сквозь суммарные узловые усилия, а затем и действительные реакции опорных связей из уравнений

$$\left. \begin{aligned} F_x^\ddagger &= F_x + F_x^*; \\ F_y^\ddagger &= F_y + F_y^*; \\ M^\ddagger &= M + M^*. \end{aligned} \right\} \quad (2.76)$$

в которых F_x^* , F_y^* и M^* обозначают эквивалентные узловые нагрузки.

Видим для элементов, имеющих распределенную нагрузку, обозначение суммарных (действительных либо эквивалентных) внутренних усилий по концам элемента: f_x^\ddagger , f_y^\ddagger и m^\ddagger . Когда узловые перемещения известны, эти суммарные усилия могут быть определены, как и ранее, умножением матрицы жесткости сечения элемента на значение перемещения конца элемента. Действительные внутренние усилия f_x , f_y , m находятся далее из равенств

$$\left. \begin{aligned} f_x^\ddagger &= f_x + f_x^*; \\ f_y^\ddagger &= f_y + f_y^*; \\ m^\ddagger &= m + m^*. \end{aligned} \right\} \quad (2.77)$$

где f_x^* , f_y^* и m^* обозначают сосредоточенные нагрузки, эквивалентную распределенной нагрузке.

Если положить в матричном уравнении (2.75) все перемещения равными нулю, то получится следующие действительные внутренние усилия:

$$\left. \begin{aligned} f_{1x} &= 0; & f_{1y} &= -f_x^*; & m_1 &= -m^*; \\ f_{2x} &= 0; & f_{2y} &= -f_y^*; & m_2 &= -m^*. \end{aligned} \right\}$$

Так как действительные внутренние усилия равны реакциям опорных связей, последнее равенство подтверждает приведенный способ определения

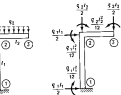


Рис. 2.24. Пример приведения замыкаемых распределенных нагрузок к эквивалентным узловым усилиям.

эквивалентных узловых нагрузок в тех случаях, когда неизвестная нагрузка не является равномерно распределенной. Достаточно определить от этой нагрузки реакции спаренных схем, которые должны быть поставлены для закрепления концов элемента от всех возможных перемещений. Эти реакции равны по значению и противоположны по направлению эквивалентным узловым нагрузкам.

Пример 2.4-4. Опора павильонного мачты (рис. 2.25, а) выполнена в виде стальной колонны высотой 7,5 м с наружным диаметром 1,5 м и толщиной стеки 25 мм. Колонна заделана пином в бетонный массив. Принята схема нагружения колонны от ветроволнового воздействия и собственного веса показана на рис. 2.25, б). Упрощено считается, что собственный вес колонны включен в усилие 400 кН, соединяющее ее со верхним концом и вызываемое в основном весом площадки с макетом. Определим перемещения верхнего конца колонны и возникающие в ней под действием заданных нагрузок максимальные напряжения.

Представим колонну в виде сцепления двух элементов $I-2$ и $2-3$ (см. рис. 2.25, б). Матрицы жесткости этих элементов формируем с помощью выражения (2.71). При $E = 210 \text{ ГПа}$, $A = 0,116 \text{ м}^2$, $I = 0,0315 \text{ м}^4$ получим:

для элемента $I-2$ ($\lambda = 0$, $\mu = 1$, $I = I_1 = 5 \text{ м}$)

$$[K]_{I-2} = E \cdot 10^{-3} \begin{bmatrix} 3,024 & 0 & 7,560 & -3,024 & 0 & 7,560 \\ 0 & 23,20 & 0 & 0 & -23,20 & 0 \\ 7,560 & 0 & 25,20 & -7,560 & 0 & 12,60 \\ \hline -3,024 & 0 & -7,560 & 3,024 & 0 & -7,560 \\ 0 & -23,20 & 0 & 0 & 23,20 & 0 \\ 7,560 & 0 & 12,60 & -7,560 & 0 & 25,20 \end{bmatrix}$$

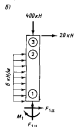
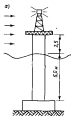


Рис. 2.25. Опора колонна мачты (а) и ее расчетная схема (б).

для элемента $2-3$ ($\lambda = 0$, $\mu = 1$, $I = I_2 = 2,5 \text{ м}$)

$$[K]_{2-3} = E \cdot 10^{-3} \begin{bmatrix} 34,19 & 0 & 30,24 & -24,19 & 0 & 30,24 \\ 0 & 46,40 & 0 & 0 & -46,40 & 0 \\ 30,24 & 0 & 50,40 & -30,24 & 0 & 25,20 \\ \hline -24,19 & 0 & -30,24 & 24,19 & 0 & -30,24 \\ 0 & -46,40 & 0 & 0 & 46,40 & 0 \\ 30,24 & 0 & 25,20 & -30,24 & 0 & 50,40 \end{bmatrix}$$

Распределенную нагрузку записываем в виде $\varphi = 6 \text{ кН}/\text{м}$ на элементе $I-2$ приведем к эквивалентным сосредоточенным в узлах нагрузкам: $F_{1x} = F_{1z} = qI_1/2 = 15 \text{ кН}$, $M_1 = -M_2 = qI_1^2/12 = 12,5 \text{ кН}\cdot\text{м}$.

Сложим их с действительными нагрузками $F_{2x} = 20 \text{ кН}$ и $F_{2y} = -400 \text{ кН}$, получим граничные условия на узлах в узлах I и 3 :

$$F_{1x}^E = 15 \text{ кН}; \quad F_{1y}^E = 0; \quad M_1^E = -12,5 \text{ кН}\cdot\text{м};$$

$$F_{2x}^E = 20 \text{ кН}; \quad F_{2y}^E = -400 \text{ кН}; \quad M_3^E = 0.$$

Границные условия на перемещения в узле I $\delta_1 = v_1 = \theta_1 = 0$. Далее прямой метод жесткости приводит к следующим двум системам уравнений:

$$\begin{cases} F_{1x}^E \\ F_{1y}^E \\ M_1^E \end{cases} = E \cdot 10^{-3} \begin{bmatrix} -3,024 & 0 & 7,560 \\ 0 & -23,20 & 0 \\ 7,560 & 0 & 12,60 \end{bmatrix} \begin{cases} \delta_1 \\ \delta_2 \\ \delta_3 \end{cases};$$

$$\begin{cases} F_{2x}^E \\ F_{2y}^E \\ M_3^E \end{cases} = E \cdot 10^{-3} \begin{bmatrix} 27,21 & 0 & 22,68 \\ 0 & 69,80 & 0 \\ 22,68 & 0 & 75,60 \end{bmatrix} \begin{cases} \delta_1 \\ \delta_2 \\ \delta_3 \end{cases};$$

$$\begin{cases} F_{1x}^E \\ F_{1y}^E \\ M_1^E \end{cases} = -24,19 \cdot 0 \cdot -30,24 \begin{bmatrix} 24,19 & 0 & -30,24 \\ 0 & 46,40 & 0 \\ 30,24 & 0 & 25,20 \end{bmatrix} \begin{cases} \delta_1 \\ \delta_2 \\ \delta_3 \end{cases};$$

Решая вторую систему уравнений относительно линейных перемещений при известных значениях суммарных узловых нагрузок, получим $\delta_1 = 0,293 \cdot 10^{-3} \text{ м}$; $\delta_2 = -0,082 \cdot 10^{-3} \text{ м}$; $\delta_3 = 0,0951 \cdot 10^{-3} \text{ рад}$; $\lambda_1 = 0,547 \cdot 10^{-3} \text{ м}$; $\lambda_2 = -0,123 \cdot 10^{-3} \text{ м}$; $\lambda_3 = -0,1046 \cdot 10^{-3} \text{ рад}$. Затем из первой системы по найденным перемещениям узла 2 определим суммарные узловые усилия в колонне на уровне заделки в бетонный массив: $F_{1x}^E = -35 \text{ кН}$; $F_{1y}^E = 400 \text{ кН}$; $M_1^E = -212,5 \text{ кН}\cdot\text{м}$.

Действительные реакции спаренных схем в узле I определяются по выражению (2.76):

$$F_{1x} = F_{1x}^E - 15 = -50 \text{ кН};$$

$$F_{1y} = F_{1y}^E + 400 = 400 \text{ кН};$$

$$M_1 = M_1^E - 12,5 = -212,5 \text{ кН}\cdot\text{м}.$$

Теперь рассмотрим внутренние усилия и моменты, действующие по концам элемента $I-3$. Значки суммарных внутренних усилий

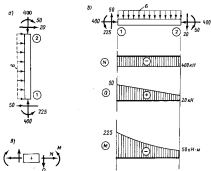


Рис. 2.26. Результаты расчета элемента 1-2 колонны: а – узлы, действующие на концы элемента; б – ходы внутренних усилий; в – правило знаков для внутренних усилий.

получаются умножением матрицы жесткости этого элемента на перемещения узлов 1 и 2

$$f_{1x}^E = -35 \text{ кН}; f_{1y}^E = 400 \text{ кН}; m_1^E = -212,5 \text{ кН·м},$$

$$f_{2x}^E = 35 \text{ кН}; f_{2y}^E = -400 \text{ кН}; m_2^E = 50 \text{ кН·м}.$$

Действительные внутренние усилия находятся с помощью уравнения (2.77)

$$f_{1x} = f_{1x}^E - 15 = -50 \text{ кН},$$

$$f_{1y} = f_{1y}^E = 400 \text{ кН},$$

$$m_1 = m_1^E - 12,5 = -225 \text{ кН·м},$$

$$f_{2x} = f_{2x}^E - 15 = 20 \text{ кН},$$

$$f_{2y} = f_{2y}^E = -400 \text{ кН},$$

$$m_2 = m_2^E + 12,5 = 50 \text{ кН·м}.$$

Эти внутренние усилия и встроенные по ним эпоры внутренних усилий показаны на рис. 2.26. Максимальный изгибающий момент

действует в сечении 2 и равен -225 кН·м . Экстремальные нормальные напряжения от изгиба

$$\sigma_M = \pm \frac{M R}{I} = \pm \frac{225 \cdot 0,75}{0,0315} = \pm 5,36 \text{ МПа}.$$

Нормальное напряжение от сжимающей продольной силы, которая неизменна до длины элемента и равна -400 кН ,

$$\sigma_N = \frac{N}{A} = \frac{-400}{0,116} = -3,45 \text{ МПа}.$$

Максимальное (по модулю) значение нормального напряжения $\sigma = \sigma_M + \sigma_N$ оказывается на скатой от изгиба стороне колонны и равно $\sigma = -8,81 \text{ МПа}$.

И, наконец, определим внутренние усилия, действующие в элементе 2-3. Умножив матрицу жесткости этого элемента на матрицу-столбец найденных ранее перемещений концов элемента, получаем

$$f_{1x}^E = -20 \text{ кН}; f_{1y}^E = 400 \text{ кН}; m_1^E = -50 \text{ кН·м},$$

$$f_{2x}^E = 20 \text{ кН}; f_{2y}^E = -400 \text{ кН}; m_2^E = 0.$$

Так как у элемента 2-3 нет эквивалентных сосредоточенных нагрузок, то действительные и суммарные усилия разны между собой. Внутренние усилия, действующие по концам рассматриваемого элемента, и построенные по ним эпоры показаны на рис. 2.27.

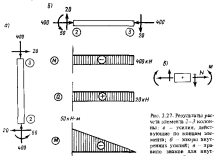


Рис. 2.27. Результаты расчета элемента 2-3 колонны: а – узлы, действующие на концах элемента; б – ходы внутренних усилий; в – правило знаков для внутренних усилий.

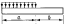
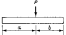
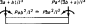
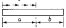
Заданные нагрузки	Эквивалентные нагрузки
	 $F_A = q\left(a - \left(\frac{a}{l}\right)^2 + \frac{1}{2}\left(\frac{a}{l}\right)^3\right)$ $F_B = q\left(\left(\frac{a}{l}\right)^2 - \frac{1}{2}\left(\frac{a}{l}\right)^3\right)$ $M_A = \frac{qa^2}{24} \left[12 - 18\left(\frac{a}{l}\right) + 6\left(\frac{a}{l}\right)^2\right]$ $M_B = \frac{qa^2}{24} \left[8\left(\frac{a}{l}\right) - 6\left(\frac{a}{l}\right)^2\right]$
	 $Pa^2(3a + a)/l^3$ $Pa^2(3a + a)/l^3 = Pa^2/l^3$
	 $ta/2 + 2b/2l$ $ta^2/2l$

Рис. 2.28. Приведение заданных нагрузок к эквивалентным узловым:
 a – заданные элементы; b – эквивалентные нагрузки.

Экстремальные напряжения от изгиба элемента 2–3 возникают в сечении 2

$$\sigma_M = \pm \frac{MR}{I} = \pm \frac{50 \cdot 0,75}{0,0315} = \pm 1,19 \text{ МПа},$$

а напряжения от сжимающей продольной силы

$$\sigma_N = \frac{N}{A} = \frac{-400}{0,116} = -3,45 \text{ МПа}.$$

Максимальное (по модулю) напряжение $\sigma = \sigma_M + \sigma_N$ в этом элементе возникает на скатой от изгиба стороне в сечении 2 и равно $\sigma = -4,64 \text{ МПа}$.

Таким образом, горизонтальное смещение верха колонны и максимальное нормальное напряжение в ней равны соответственно $\delta_2 = -0,547 \cdot 10^{-3} \text{ мм}$, $\sigma = -8,81 \text{ МПа}$. При этом максимальное напряжение оказывается у основания колонны на скатой от изгиба стороне.

Другие виды нагрузочных нагрузок

Порядок расчета, установленный выше для случая, когда по длине элемента есть равномерно распределенная нагрузка, приведен и при других видах нагрузок на элементе. Три других вида нагрузок и соответствующие им эквивалентные сосредоточенные концовые усилия показаны на рис. 2.28.

2.5. Пространственные рамы

Большая часть рамных конструкций представляет собой набор элементов, каждый из которых испытывает действие предельных и пограничных сил, крутящего и изгибающего момента, как показано на рис. 2.29. Силы и моменты на рисунке относятся к местным осям $\bar{x}, \bar{y}, \bar{z}$, прием осях \bar{y} и \bar{z} находится в плоскости поперечного сечения элемента, а ось \bar{x} – вдоль его оси. Все усилия, действующие по концам элемента, изображены на рисунке положительными. Для перемещений, соответствующих этим силам и моментам, применяется такое же правило знаков.

Если представить составление усилений и соответствующих им перемещений в виде матриц

$$\begin{Bmatrix} \bar{f}_1 \\ \bar{f}_2 \\ \bar{f}_3 \\ \bar{f}_4 \\ \bar{f}_5 \\ \bar{f}_6 \end{Bmatrix} = \begin{Bmatrix} \bar{f}_1x \\ \bar{f}_1y \\ \bar{f}_1z \\ \bar{m}_{1x} \\ \bar{m}_{1y} \\ \bar{m}_{1z} \end{Bmatrix}; \quad \begin{Bmatrix} \bar{s} \end{Bmatrix} = \begin{Bmatrix} \bar{\delta}_1 \\ \bar{\delta}_2 \\ \bar{\delta}_{1x} \\ \bar{\delta}_{1y} \\ \bar{\delta}_{1z} \\ \bar{\delta}_{2x} \\ \bar{\delta}_{2y} \\ \bar{\delta}_{2z} \end{Bmatrix}, \quad (2.78)$$

то соотношение между ними может быть выражено как

$$\begin{Bmatrix} \bar{f} \end{Bmatrix} = [\bar{K}] \begin{Bmatrix} \bar{s} \end{Bmatrix},$$

где $[\bar{K}]$ – матрица жесткости элемента, которая может быть сформирована аналогично (2.65) для двухмерного элемента. Для частного случая,

когда элемент имеет колышевое поперечное сечение, матрица имеет следующий вид:

$$[K] = \begin{bmatrix} \frac{EJ}{l} & & & & \\ & \frac{12EI}{l^3} & & & \\ 0 & \frac{12EI}{l^3} & \text{Симметрично} & & \\ & 0 & 0 & \frac{GJ}{l} & \\ & 0 & 0 & -\frac{6EI}{l^3} & \frac{4EI}{l} \\ & 0 & 0 & -\frac{6EI}{l^3} & 0 & \frac{4EI}{l} \\ & \frac{6EI}{l^2} & 0 & 0 & 0 & \frac{4EI}{l} \\ & \frac{EJ}{l} & 0 & 0 & 0 & 0 & \frac{EJ}{l} \\ & 0 & -\frac{12EI}{l^3} & 0 & 0 & -\frac{6EI}{l^2} & 0 & \frac{12EI}{l^3} \\ & 0 & 0 & -\frac{12EI}{l^3} & 0 & \frac{6EI}{l^2} & 0 & 0 & \frac{12EI}{l^3} \\ & 0 & 0 & 0 & -\frac{GJ}{l} & 0 & 0 & 0 & 0 & \frac{GJ}{l} \\ & 0 & 0 & -\frac{6EI}{l^2} & 0 & \frac{2EI}{l} & 0 & 0 & 0 & \frac{6EI}{l^2} & 0 & \frac{4EI}{l} \\ & 0 & \frac{6EI}{l^2} & 0 & 0 & 0 & \frac{2EI}{l} & -\frac{6EI}{l^3} & 0 & 0 & 0 & \frac{4EI}{l} \end{bmatrix},$$

где J – плата элемента; B – длина элемента и внутренний диаметр поперечного сечения; E – модуль упругости и сдвиг материала; G –

$J = (\pi/64)(D^4 - d^4)$ – момент инерции; $I = (\pi/32)(B^4 - d^4)$ – четвертый момент инерции; $A = (\pi/4)(D^2 - d^2)$ – площадь поперечного сечения элемента. Более общий случай, т. е. соответствующий произвольной форме поперечного сечения элемента, рассмотрен в [47].

Из матрицы жесткости $[K]$ отдельных элементов, преобразованных в общую систему осей координат, можно сформировать матрицу жесткости всей

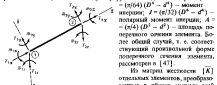


Рис. 2.39. Элемент трехстержневой рамы

системы элементов, используя для этого прямой метод жесткости. Преобразование матрицы жесткости элемента из местной системы осей в общую выполняется, как и ранее, с помощью выражения

$$[K] = [C]^T [\bar{K}] [C], \quad (2.79)$$

где $[C]$ обозначает матрицу преобразования. Она формируется из подматриц $[C_1]$ и $[0]$:

$$[C] = \begin{bmatrix} [C_1] & [0] & [0] & [0] \\ [0] & [C_1] & [0] & [0] \\ [0] & [0] & [C_1] & [0] \\ [0] & [0] & [0] & [C_1] \end{bmatrix},$$

где

$$[C_1] = \begin{bmatrix} \lambda_1 & \mu_1 & \nu_1 \\ \lambda_2 & \mu_2 & \nu_2 \\ \lambda_3 & \mu_3 & \nu_3 \end{bmatrix}; \quad [0] = \begin{bmatrix} 0 & 0 & 0 \\ 0 & 0 & 0 \\ 0 & 0 & 0 \end{bmatrix}.$$

В матрице $[C_1]$ приведены следующие обозначения: λ_i – косинус угла между осями x и \tilde{x}_i ; μ_i – косинус угла между осями y и \tilde{x}_i ; ν_i – косинус угла между осями z и \tilde{x}_i .

Если матрица жесткости системы сформирована, то при задании граничных условий можно определить перемещения и усилия так же, как и ранее. Обычно вычисления для пространственных задач, однако, существенно возрастают, и решение этих задач имеет смысл при полной автоматизации вычислительного процесса. В настоящее время эксплуатируются множество программ автоматизированного расчета, и их использование сведено к минимуму. К сожалению, к заданию характеристики поперечных сечений отдельных элементов, координат x, y, z концов элементов в общей системе осей и указанию граничных условий. Построение матрицы жесткости системы, вычисление перемещений и внутренних усилий по концам отдельных элементов – все это выполняется на ЭВМ автоматически.

Насмотрим на то что большинство решаемых сооружений относится к пространственным, в ряде случаев удобнее свести их к расчету плоской задачи. Покажем это на примере.

Пример 2.5-1. Рассмотрим стальную пространственную конструкцию, изображенную на рис. 2.30, и определим перемещение узла 4, используя пространственную и плоскую расчетные схемы. Все четыре стороны фермы одинаковы, также одинаковы и нагрузки, действующие на двух противоположных ее сторонах. Все элементы фермы выполнены из труб; стойки в нижней части (до уровня узлов 2,6)

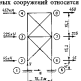


Рис. 2.30. Схема спаренной изогнутой ферменной трубы

Таблица 2.2. Перемещения узла 4, полученные при использовании различных расчетных схем соединения

Расчетная схема	Перемещения, м		
	x	y	w
Пространственная	$1,846 \cdot 10^{-3}$	$1,801 \cdot 10^{-3}$	$1,337 \cdot 10^{-1}$
Плоская	$2,655 \cdot 10^{-3}$	$1,829 \cdot 10^{-3}$	0

имеют внешний диаметр $D=121,6$ см и толщину стеки $s=38$ мм, и воротни части $B=118,6$ см, и $\delta=25,4$ мм; горизонтальные и пакетные стеки имеют $D=60,8$ см, $s=12,7$ мм. Нижние концы стоеч коленчатые, а верхние — защемленные.

Результаты вычисления перемещений узла 4 приведены в табл. 2.2. Значения перемещений, полученные для пространственной и плоской расчетных схем, отличаются исключительно: так, перемещения в направлении действия нагрузки различаются всего на 0,4 %. Прекрасною матричные горизонтальные перемещения в направлении, перпендикулярном действию нагрузки, являются результатом деформации диагональных элементов фронтальной и тыльной (по отношению к загрузке) сторон фермы. В плоской схеме стеки этих решеток, конечно же, не учитываются. Однако, неправильность расчета упрощенной расчетной схемы неизвестна, т. е. плоская схема вполне приемлема для этой конструкции при указанных условиях нагрузки.

Задача

1. Цилиндрический стальной элемент ($E=210$ ГПа) длиной 6 м и диаметром 12 см загружен силой $P=200$ кН, приложенной, как показано на рис. 2.31. Полагая, что перемещения $u_1=u_2=0$, определить перемещение u_3 в стоечной решетке F_1 и F_2 .

Ответ: $u_3=0,095 \cdot 10^{-3}$ м; $F_1=-150$ кН; $F_2=-0,50$ кН.

2. Стальная колонка ($E=210$ ГПа) длиной 4,5 м и диаметром 12 см (рис. 2.32) загружена силами $F_1=120$ кН и $F_2=60$ кН.

Требуется: а) построить эпюры линейных деформаций схемы; б) определить напряжения опасных решеток и перемещения, полагая $u_1=u_2=0$; в) определить напряжения в элементах $J-2$, $2-J$ и $J-6$.

Ответ:

$$\begin{aligned} \text{а)} \quad & \begin{bmatrix} u_1 \\ u_2 \\ u_3 \end{bmatrix} = \begin{bmatrix} k & -k & 0 \\ -k & 2k & -k \\ 0 & -k & 2k \end{bmatrix}^{-1} \begin{bmatrix} F_1 \\ F_2 \\ 0 \end{bmatrix}, \\ \text{б)} \quad & \begin{aligned} k &= 12,0 \cdot 1,283 \text{ ГПа}/\text{м}; \\ u_1 &= 0,57 \cdot 10^{-3} \text{ м}; \quad u_2 = 0,019 \cdot 10^{-3} \text{ м}; \quad F_1 = -106,7 \text{ кН}; \quad F_2 = -93,3 \text{ кН}; \\ u_3 &= 11,76 \text{ МПа}; \quad \sigma_{11}= -1,18 \text{ МПа}; \quad \sigma_{22}= -4 \text{ МПа}. \end{aligned} \end{aligned}$$

3. Для фермы (рис. 2.33), собираемой из элементов ($E=70$ ГПа) стоечной конструкции (стоечные схемы $A=4,8 \text{ см}^2$ и загруженных схем $P=5$ кН), определить матрицу жесткости системы A .

Требуется:

- построить матрицу жесткости системы;
- матрица узла 1 в закреплении от линейных перемещений, определить перемещения узла 2 и стоечные реакции;
- определить внутренние усилия в стойках.

Ответы:
 а) $u_1=0$; $v_1=-0,112 \cdot 10^{-3}$ м; $F_{1,x}=F_{3,x}=1,445$ кН; $F_{1,y}=F_{3,y}=2,5$ кН;

в) $N_{1-3}=N_{1-5}=2,29$ кН.

4. Для фермы (рис. 2.34), стойки которой имеют одинаковую длину l , плоскость изогнутого сечения A и модуль упругости материала E , составить матричные уравнения для определения линейных перемещений и реакций опорных связей. Узлы 1 и 3 считаются закрепленными от линейных перемещений, а узлы 2, 4 и 5 — неподвижными.

5. Для рамы, показанной на рис. 2.35, составить матричные уравнения, связывающие линейные нагрузки F_1 , G и H с линейными перемещениями узла 2. Стороны рамы имеют одинаковую E , A , I и E . Узлы 1 и 3 считать жестко закрепленными.

Ответ:

$$\begin{bmatrix} F_1 \\ G \\ H \end{bmatrix} = \frac{E}{l} \begin{bmatrix} \frac{32I}{l^3} + A & 0 & -\frac{6I}{l} \\ 0 & \frac{12I}{l^2} + A & -\frac{6I}{l} \\ -\frac{6I}{l} & -\frac{6I}{l} & 8I \end{bmatrix} \begin{bmatrix} u_1 \\ v_1 \\ u_2 \end{bmatrix}.$$

6. Для рамы, представленной на рис. 2.35, определить перемещения u_1 , v_1 , u_2 , полагая $E=210$ ГПа; $I=5,21 \cdot 10^{-4}$ м 4 ; $A=3,5 \cdot 10^{-4}$ м 2 ; $l=4$ м; $G=200$ кН; $F=30$ кН.

7. Для рамы, рассмотренной в задаче 5, при условии, указанных в задаче 6, определить внутренние усилия, действующие по концам элементов $J-2$ и $2-J$. Построить эпюры поперечной силы и изгибающего момента для каждого элемента и определить в них максимальные значения нормальных напряжений (от продольной силы и изгибающего момента в сечении), полагая, что сечения обоих элементов имеют форму квадрата со стороной 5 см.

8. Для рамы (рис. 2.36) с характеристиками $E=210$ ГПа; $I=1,73 \cdot 10^{-4}$ м 4 ; $A=0,0144$ м 2 ; $l=4$ м:

а) составить матричные уравнения для определения неизвестных перемещений и реакций опорных связей;

б) написать граничные условия в узлах, заменить распределенные нагрузки эквивалентными сосредоточенными по концам элементов условиями.

9. В задаче 8 по перемещениям $u_1=0,02535$ м; $v_1=-0,0465 \cdot 10^{-3}$ м; $u_2=+0,1047$ м определить внутренние усилия, действующие по концам элементов $J-2$, $2-J$. Ответ: $F_{1,x}=-6$ кН; $F_{1,y}=3,5$ кН; $\sigma_{11}=+17,5$ кН; $F_{2,x}=0$; $F_{2,y}=-3,5$ кН; $\sigma_{22}=+5,5$ кН.

10. По результатам решения задачи 9 воспроизвести эпюры внутренних усилий в элементах, полагая его значение сечения в виде квадрата со стороной 12 см. Ответ: $c=-57,0$ МПа; $+66,6$ МПа.

11. Составить матрицу жесткости размером 12×12 для матричного уравнения, изображенного для определения неизвестных линейных перемещений системы, изображенной на рис. 2.31. Считать, что узел 1 в узлах 2, 3, 5, 6 заданы, а узлы 4 и 8 закреплены от всех возможных перемещений. Вертикальные элементы имеют характеристики E , A , I , E_L , A_L , I_L , горизонтальные — E_1 , A_1 , I_1 .

12. Опровергнуть конструкцию стадионных башен уставками (рис. 2.38), если состоят из четырех пилонов одинакового диаметра 12,0 м и стоят на земле 25 м, которые соединены между четырьмя горизонтальными колоннами схемами винтовых диаметром 0,6 м и в тыльной стенке 12 м. Опоры конструкции задираются платформу с обшивкой общей высотой 660 см. Во время бояковых стоянок уставки действуют. Материал конструкции — стал ($E=210$ ГПа).

В запрещенных условиях конструкция воспринимает суммарную горизонтальную нагрузку от ветрового воздействия 40 кН и от возвышенностей 200 кН. При-

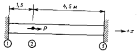


Рис. 2.31. К задаче 1.

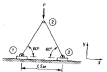


Рис. 2.33. К задаче 1.

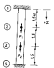


Рис. 2.32. К задаче 2.



Рис. 2.34. К задаче 4.

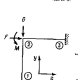


Рис. 2.35. К задачам 5, 6, 7.

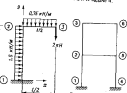


Рис. 2.36. К задачам 8, 9, 10.



Рис. 2.37. К задаче 11.

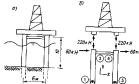


Рис. 2.38. К задачам 12 и 13.

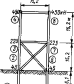


Рис. 2.39. К задаче 14.

блоками считается, что эти нагрузки приложены к верхней части здания колоннами и делают горизонталь между четырьмя колоннами. Верхний блок конструкции, равный 220 кН, учитывается как подъёмник с весом платформы с оборудованием. Общий вес сооружения, 880 кН, делится горизонтально между четырьмя колоннами. Схема нагрузки показана на рис. 2.38, б.

Помимо, что стальные колонны защищены в группе от линейных перегибов (имеют возможность для изгиба), предполагают:

- а) начальные условия армированной конструкции;
- б) нестационарные нормативные напряжения в каждом элементе старты установки, показанной на рис. 2.38, б.

Ответы:

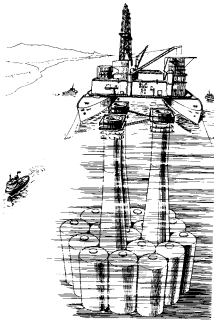
$$\begin{aligned} \alpha_1 &= -\alpha_2 = 3,873 \cdot 10^{-3} \text{ рад}; \\ \alpha_3 &= \alpha_4 = -35,74 \cdot 10^{-3} \text{ рад}; \\ r_1 &= -0,010 \cdot 10^{-3} \text{ м}; r_2 = -0,217 \cdot 10^{-3} \text{ м}; \\ \alpha_5 &= \alpha_6 = 2,976 \cdot 10^{-3} \text{ рад}; \\ \alpha_7 &= \alpha_8 = -22,41 \text{ МПа} + 23,35 \text{ МПа (в узле 2)}; \\ \alpha_9 &= \alpha_{10} = -27,15 \text{ МПа} + 18,05 \text{ МПа (в узле 4)}; \\ \alpha_{11} &= \alpha_{12} = +187,5 \text{ МПа (в узле 2 и 4)}. \end{aligned}$$

13. Решить задачу 12 при условии замены консольной ширмой скользящей скобой в узле 3 пятым этажом ширмы (однозначной горизонтальной сдвигом узла).

Ответы:

$$\begin{aligned} \alpha_1 &= -13,69 \cdot 10^{-3} \text{ рад}; \\ \alpha_2 &= 131,0 \cdot 10^{-3} \text{ рад}; r_1 = -0,010 \cdot 10^{-3} \text{ м}; \\ \alpha_3 &= -11,93 \cdot 10^{-3} \text{ рад}; r_2 = -5,95 \cdot 10^{-3} \text{ рад}; \\ \alpha_4 &= 110,2 \cdot 10^{-3} \text{ рад}; r_3 = -0,217 \cdot 10^{-3} \text{ м}; \\ \alpha_5 &= -5,95 \cdot 10^{-3} \text{ рад}; \\ \alpha_6 &= \alpha_{12} = -45,42 \text{ МПа} + 44,58 \text{ МПа (в узле 2)}; \\ \alpha_7 &= \alpha_{10} = -4,55 \text{ МПа (в узле 3 и 4)}; \\ \alpha_8 &= 190,2 \text{ МПа}; r_4 = -18,49 \text{ (в узле 2).} \end{aligned}$$

14. Составить матрицу жесткости размером 18×18 для однородной интегрированной в сплошной конструкции, показанной на рис. 2.39, заданной условиями, приведенными к узлам 2, 3, 4 и 6, 7, 8 при условии, что узлы 7 и 8 имеют единичные. Интегрированные элементы выше второго яруса имеют изогнутое сечение площадью $A = 0,640 \text{ м}^2$ и момент инерции $I = 24,4 \cdot 10^{-3} \text{ м}^4$; горизонтальные и пакетные элементы имеют сечение с характеристиками $A = 0,824 \text{ м}^2$ и $I = 1,95 \cdot 10^{-3} \text{ м}^4$; энзиклонные связи имеют характеристики $A = 0,0048 \text{ м}^2$ и $I = 19,6 \cdot 10^{-3} \text{ м}^4$. Модуль упругости материала $E = 210 \text{ ГПа}$.



Наклонка верхнего строения буровой платформы из жесткобетонных опорных колонок.

3. ВНЕШНИЕ НАГРУЗКИ

Перед расчетом проектируемого сооружения необходимо получить количественные оценки для всех основных нагрузок, которым оно может быть подвергнуто со стороны окружающей среды в океане. В инженерных расчетах воздействия окружающей среды характеризуются в основном ветром в придонном слое атмосферы, поверхностью волнами и течениями, возникающими в условиях жесткого шторма (рис. 3.1).

Штормовой ветер играет существенную роль в расчете морского гидротехнического сооружения, поскольку он оказывает значительное склоновое воздействие на подводную часть сооружения. Скорость ветра при урагане может, например, достигать 50 м/с, при этом горизонтальная аксиальная нагрузка на типичное сооружение может превысить 500 кН.

Поверхностные волны в штормовых условиях также имеют важное значение и рисуют прочности сооружения из-за значительных нагрузок на его надводную часть от сопровождающего волнение движения масс воды. Высота волны (разница между максимальным и минимальным уровнями воды в любой момент времени) в Мексиканском заливе достигает в первом шторме 15 м, а высоким импульсом волны оказывает на сооружение горизонтальную нагрузку, в несколько раз превышающую ветровую.

Наконец, в некоторых районах моря существенную добавку к нагрузкам на подводную часть сооружения могут оказывать течения. Под течением понимается общее движение масс воды, превышение масс воды, чем те, которые вызывают поверхности волны. Это, например, притягивающие течения, вызванные силами притяжения Луны и Солнца, ветровые или префлювные течения, связанные с трением воздушных потоков о поверхность воды, течения, связанные с речными

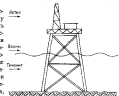


Рис. 3.1. Внешние воздействия на морское гидротехническое сооружение.

стоками, и, наконец, гидравлическими волнами, обусловленными широкомасштабными ветровыми системами над океаном. В штормовых условиях поверхность бушевания со скоростью 0,6 м/с и более не является чем-то необычным: сгорания с ними горизонтальная нагрузка на сооружение на 10 % или более увеличивает нагрузку, вызванную волнами.

Настоящая глава посвящена описание перечисленных воздействий окружающей среды и инженерной оценки нагрузок от этих воздействий на гидротехнические морские сооружения.

3.1. Скорость ветра

Ветровые нагрузки, действующие на сооружение, зависят от формы и площади зарусности его элементов, а также от скорости ветра. Наибольшая скорость ветра в районе эксплуатации сооружения может быть установлена анализом ejecutivных метеорологических сводок. Ведение пульсации скорости ветра в период измерения приходится определять скорости ветра за некоторый конечный интервал времени. В США интервалом осреднения обычно считают время, за которое через пункт измерения проходит слой воздуха длиной в 1 метр (1852 м). Максимальная мгновенная скорость ветра – это наибольшее значение измеренной таким образом скорости ветра в течение суток, а экстремальная за год максимальная мгновенная скорость ветра – это наибольший из суточных максимумов скорости ветра, зарегистрированных в течение одного года.



Рис. 3.2. Рекомендуемые для различных прибрежных районов США значения годовых максимумов скоростей ветра, (м/с), на уровне 10 м над поверхностью земли при 100-летнем периоде повторяемости [42].

* Выделяются курчавым выражением первичным, с тем чтобы показать чистоту сплошности измерительной тарировки. Далее в книге вместо эта выражений будут использоваться термины максимальная однодневная скорость и годовая максимальная средняя скорость.

На рис. 3.2 приведены статистический прогноз горового максимума средней скорости с повторяемостью один раз в 100 лет для различных прибрежных районов на уровне 10 м от поверхности земли. Для расчета сооружений применяются либо эти данные, либо соответствующие 50-летнему периоду повторяемости, прием последнее примерно на 10 % ниже отмеченных 100-летнего периода. Для большинства стационарных наземных сооружений обычно используется 50-летний период повторяемости, однако для морских гидротехнических сооружений, разрушение которых связано с особенно большими материальными ущербом и человеческими жертвами, рекомендуется принимать 100-летний период повторяемости.

Приведенные на рис. 3.2 значения скоростей ветра 100-летней повторяемости получены на основании статистических расчетов, и есть определенная вероятность превышения этих значений в течение какого-либо периода. Возможность повторения таких скоростей ветра через 100 лет надо помнить и счесть. Вероятность превышения указанных значений скоростей ветра за первые 10 лет отражена в табл. 3.1. Там же для сравнения приведены данные, соответствующие периодам повторяемости, равным 100 и 50 годам. Отсюда видно, что за расчетный срок службы сооружения, разный, например, 20 годам, вероятность превышения скорости ветра, соответствующего 100-летнему периоду повторяемости, составляет 18 %. Это не означает, конечно, 18 %-ную вероятность разрушения сооружения, рассчитанного на ветровую нагрузку со 100-летним периодом повторяемости, поскольку возможность некоренного превышения нагрузки предуморена в коэффициенте запаса.

Скорости ветра, указанные на рис. 3.2, относятся к высоте 10 м над поверхностью земли. Для определения скоростей ветра на других высотах имеется зависимость, сформированная в диапазоне высот до 180 м:

$$v = k_0 (y/10)^{1/7}, \quad (3.1)$$

где v – скорость ветра на высоте y (в метрах) над поверхностью земли; k_0 – скорость на высоте 10 м.

При отсутствии более точной информации скорость ветра над водой в месте эксплуатации сооружения обычно полагается на 10 % больше той, что установлена на ближайшей наземной станции. Например, если по данным наземной станции на побережье Мексиканского залива на высоте 10 м скорость ветра с повторяемостью один раз в 100 лет составляет 60 м/с, то над водной поверхностью она окажется в 1,1 раза больше, т. е. около 65 м/с.

Таблица 3.1. Вероятность превышения за первые 10 лет данного периода ветра с повторяемостью в 100 и 50 лет

период	100 лет	50 лет
1	1	1
5	5	10
10	10	18
20	18	33
50	33	66
100	43	87

Таблица 3.3. Значения коэффициента порывистости [4]

Годовой максимальный средний скорость, м/с	Интервал определения, с					
	60	30	10	10	5	0,5
30	1,00	1,08	1,12	1,08	1,24	1,37
60	—	1,00	1,04	1,10	1,12	1,29

При расчете сооружений необходимо также учитывать пульсации скорости ветра. Эти пульсации называются нормами в обычно определяемых умножением средней скорости, о которой говорилось выше, на коэффициент порывистости. Измерения показывают, что коэффициент порывистости зависит от достаточно большого интервала определения скорости ветра и сравнительно небольшого интервала времени определения максимальной скорости ветра в порыве. Так как время определения зависит от максимальной средней скорости („максимумной мили ветра“), коэффициент порывистости может рассматриваться как функция этой величины, а также интервала определения скорости в порыве.

В табл. 3.2 приведены значения коэффициента порывистости, характерные для ветров с годовыми максимумами средней скорости 30 и 60 м/с, определяющих длительности определения 60 и 30 с соответственно при различных небольших интервалах определения максимальной скорости ветра в порыве.

Как видно, коэффициент порывистости изменяется от 1,0 до 1,4 в зависимости от годового максимума средней скорости и интервала определения скорости ветра в порыве. Однако не все интервалы существенны при определении ветровых нагрузок на сооружения. Действительно, порывы с длительностью, меньшей, чем времена, необходимые для того, чтобы сооружение успело адаптироваться к новым воздействиям, имеют очень малое влияние и могут не учитываться. Так, если небольшой плавучий знак реагирует на порывы ветра длительностью не менее 1 с, то при годовом максимуме средней скорости 60 м/с по табл. 3.2 интервалы времени получим соответствующие значение коэффициента порывистости, близкие к 1,3. Аналогично для большого здания, реагирующего на порывы длительностью от 10 с и больше, при средней скорости ветра 60 м/с получим коэффициент порывистости, равный 1,10. Морские гидротехнические сооружения реагируют на порывы, которые находятся между этими двумя пределами, и коэффициент порывистости для них приблизительно равен 1,2, т. е. при средней скорости 60 м/с расчетное значение скорости ветра получается равным $1,2 \cdot 60 = 72$ м/с.

3.2. Ветровые нагрузки

Ветровые нагрузки, действующие на морское гидротехническое сооружение, складываются из ветровых нагрузок, проходящихся на отдельные его части. Для каждой части сооружения, т. е. элементов

спонного основания, резервуаров, жесткого блока, исправляющей нагрузки обусловлена законом трения потока воздуха при обтекании преграды и различию удалений из наружной и подветренной сторон. Сила, действующая на преграду, может быть определена по экспериментально установленной зависимости

$$F = 0,5 \rho C A v^2, \quad (3.2)$$

где ρ — плотность воздуха;

A — площадь зарядности;

v — скорость ветра;

C — безразмерный коэффициент сопротивления, зависящий от формы преграды и измерительного коэффициента вязкости воздуха и числа Рейнольдса

$Re = v D / \mu$, где D — характерный размер преграды).

Так как плотность и вязкость воздуха в природном слое мало изменяются при обычных вариантах атмосферного давления и температуры, то можно принять $\rho = 1,226 \text{ кг}/\text{м}^3$ и $\mu = 1,795 \cdot 10^{-5} \text{ Па}\cdot\text{с}$, что соответствует стандартным условиям, т. е. температуре $15,60^\circ\text{C}$ и давлению 1013 гПа . Поставив эти значения в выражение (3.2), можно получить формулу для ветровой нагрузки (в килоньютонах)

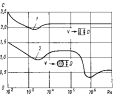
$$F = 0,339 \cdot 10^{-3} C A v^2, \quad (3.3)$$

в которой площадь принимается в квадратных метрах, а скорость в метрах на секунду. Число Рейнольдса, с которым связано C , может быть найдено по формуле $Re = 0,69 \cdot 10^6 D$, причем размер D принимается в метрах.

На рис. 3.3 представлена зависимость коэффициента сопротивления C от числа Рейнольдса для двух типов данных преград — кругового цилиндра длины L и диаметром D и линейной тонкой линии, длина которой равна диаметру прямогоугольного сечения в ширину B , установленной нормально к ветру. В этих случаях значение ветровой нагрузки находится по формуле (3.3) при $A = LB$, а по направлению она совпадает с ветром.

Обычно расчетные параметры ветра и размеры преград, т. е. число Рейнольдса имеет значения от 10^4 и выше. Поэтому в изложенных расчетах коэффициент C можно считать неизменным и равным 2,1 для линейной тонкой преграды и 0,6 для кругового цилиндра.

Для преград, имеющих конечную длину, значения коэффициентов сопротивления обычно меньше указанных здесь, так как обтекание концов снижает ветровую нагрузку.



В практических расчетах для различного вида преград приближается следующие значения коэффициента сопротивления C [34]:

Преграда	C
Безы промежуточных сечений	1,5
Круговой цилиндр	0,5
Сфера жесткого бруса	1,5
Выступающие части платформы	1,0

Выше рассматривается ветровое воздействие по нормали к поверхности преграды. Если преграда наклонена по отношению к направлению ветра, то ветровая нагрузка на нее действует нормально к поверхности, а ее значение может быть приближенно определено по формуле (3.2), в которую вместо скорости v следует подставить составляющую этой скорости, нормальную к поверхности преграды. Так, если направление ветра и нормаль к поверхности преграды составляют угол α (рис. 3.4), то составляющая скорости ветра, нормальная к преграде, равна $v \cos \alpha$, и в этом случае

$$F = 0,5 \rho C A v^2 \cos^2 \alpha, \quad (3.4 \text{a})$$

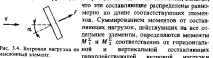
где A — площадь парусности преграды, соответствующая нормальной составляющей скорости ветра. Для кругового цилиндра диаметром D и для панели шириной B , имеющих длину L , площадь парусности $A = LD$.

Можно определить ветровую нагрузку на так называемую преграду иначе: в формулу (3.2) подставляется проекция площади преграды на плоскость, нормальную к направлению ветра, ($A \cos \alpha$) и полная скорость ветра, т. е.

$$F = 0,5 \rho C A v^2 \cos \alpha, \quad (3.4 \text{b})$$

Такая оценка ветровой нагрузки является более огороженной, поскольку дает большее значение, чем найденное по (3.4 а).

Нагрузки, определяемые по выражениям (3.4 а) или (3.4 б) для каждого отдельного элемента, могут быть разложены на горизонтальную (одна ось x) и вертикальную (одна ось y) составляющие, суммированием которых далее находятся горизонтальная F_x^H и вертикальная F_y^H составляющие ветровой нагрузки на сооружение в целом. Для определения точки приложения равнодействующей ветровой нагрузки сначала надо найти моменты относительно произвольной выбранной точки от составляющих нагрузок, лежащих на отдельных элементах, полагая,



за сооружение. Горизонтальное и вертикальное расстояния от произвольной выбранной точки, относительно которой определяются моменты по точке приложения составляющих F_x^H и F_y^H равнодействующей ветровой нагрузки, находятся из выражений

$$\frac{M_x^H}{dx} = \frac{M_1^H}{F_x^H}, \quad \frac{M_y^H}{dy} = \frac{M_2^H}{F_y^H}, \quad (3.5)$$

— бурошток; 2 — кий блок.

Пример 3.2-1. Определим горизонтальную ветровую нагрузку на буровую платформу (рис. 3.5) при скорости ветра 72 м/с . Суммарная площадь парусности элеваторной платформы и буровой вышки с антенной стороны равна 65 м^2 , а общей $37,5 \text{ м}^2$, площадь парусности жесткого блока с инверторной стороны 20 м^2 .

Общая обдуваемая площадь платформы и вышки с учетом всех четырех сторон $A = 2 \cdot 65 + 2 \cdot 37,5 = 205 \text{ м}^2$.

По формуле (3.3) при $C = 1$ найдем, что горизонтальная ветровая нагрузка $F = 572,8 \text{ кН}$.

Площадь парусности жесткого блока равна 20 м^2 , т. е. при $C = 1,5$ получим $F = 83,8 \text{ кН}$.

Общая горизонтальная ветровая нагрузка $F = 572,8 + 83,8 = 656,6 \text{ кН}$.

Такие расчеты дают несколько заниженное значение ветровой нагрузки, поскольку нагрузки на находящиеся элементы считаются горизонтальными, тогда как в действительности они нормальны к поверхности элементов.

Пример 3.2-2. Обратимся еще раз к схеме сооружения, представленной на рис. 3.5, и определим горизонтальную и вертикальную составляющие ветровой нагрузки на раскос фермы, показанный на рис. 3.6. Элемент имеет длину 10 м , диаметр $0,6 \text{ м}$ и наклонен на 60° по отношению к направлению распространения ветра.

Используя формулу (3.4 а), получим (при $C = 0,5$ и $\alpha = 30^\circ$) $F = 6,29 \text{ кН}$, причем горизонтальная и вертикальная составляющие этой нагрузки $F_x = F \cos \alpha = 5,44 \text{ кН}$; $F_y = F \sin \alpha = 3,15 \text{ кН}$. Используя вторую из описанных выше способов [формулу (3.4 б)], получим $F = 7,25 \text{ кН}$ и $F_x = 6,39 \text{ кН}$; $F_y = 3,62 \text{ кН}$.

Помимо горизонтальной и вертикальной составляющих ветровой нагрузки, действующих на элемент, можно определить моменты этих сил относительно какой-либо фиксированной точки, например, относительно конца элемента. Обе составляющие приложены впереди длины элемента, таким образом момент горизонтальной составляющей нагрузки, определенный по формуле (3.4 а), равен $M_x = 5,44(10 \sin 60^\circ) = 47,1 \text{ кН}\cdot\text{м}$, а момент от вертикальной на раскос фермы.



составляющей $M_2 = 3,15(10 \cos 60^\circ) = 15,75$ кН·м, при этом оба момента действуют по ходу часовой стрелки.

3.3. Морские волны

Под морскими волнами обычно понимают движение по поверхности моря и нерегулярной последовательности холмов и ямок. Они связаны в первую очередь с воздействием ветра на свободную поверхность воды и поэтому достигают наибольших размеров в районе эксплуатации сооружения в то время, когда там создаются штормовые условия.

В инженерной практике для расчета воздействия волн на сооружение обычно либо рассматривается одиночная волна, обусловленная экстремальными штормовыми условиями, либо используется статистическое представление о волнах при тех же условиях. В том и другом случаях необходимо установить связь между характеристиками волнения и скоростями, ускорениями и давлениями в воде. Для этого используется соответствующая теория волн.

Теория волн Эри

Статистически простая теория движущихся волн, известная как теория волн Дж. Б. Эри, разработана в 1842 г. Она построена на представлении о синусоидальном профиле волны и малости высоты волны H по сравнению с ее длиной λ и глубиной воды δ (рис. 3.7). Следует говорить, что теория Эри заприменима к волнам, зародившимся для успокоения, при которых до конца рассматриваемой морской гидротехнической сооружение, тем не менее она широко используется для предварительных симулакров и установления основных характеристик, определяющих движение воды при волнении. Она также служит основой для статистического описания волн и связанных с ними движений воды в штормовых условиях (см. главу 6).

Если по координате x , в направлении так, как показано на рис. 3.7, то отклонение волновой поверхности от уровня спокойной воды может быть представлено в виде

$$y = (H/2) \cos(kx - \omega t), \quad (3.6)$$

а горизонтальная и вертикальная составляющие скорости частичек жидкости с координатами x, y , соответствующие теории Эри и уравнениям гидродинамики (см., например, [14, 27]), находятся из выражений

$$v_x = \frac{\omega H}{2} \frac{dk}{dh} \sin(kx - \omega t); \quad (3.7)$$

$$v_y = \frac{\omega H}{2} \frac{dk}{dh} \sin(kx - \omega t), \quad (3.8)$$

где k и ω обозначают соответственно волновое число и круговую частоту колебания, связанные с длиной волны λ и периодом T (интервалом

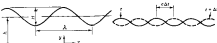


Рис. 3.7. Обозначение параметров волн.

времени между прохождением двух смежных вершин волн через фиксированную вертикаль) следующим образом:

$$k = 2\pi/\lambda; \quad \omega = 2\pi/T. \quad (3.9)$$

Из теории Эри следует, что эти величины связаны между собой выражением

$$c^2 = gk \operatorname{th} kh, \quad (3.10)$$

где g — ускорение свободного падения.

Нетрудно убедиться в том, что величины, связанные с $(kh - \omega t)$ в приведенных выше выражениях, не изменяются, если в момент времени $t + \Delta t$ переместиться по направлению движения волны на расстояние $\Delta x = (\omega/k) \Delta t$, т. е. $kh - \omega t = k(x + \Delta x) - \omega(t + \Delta t)$. Отсюда ясно, что отложенная взмущенной поверхности, описываемая выражением (3.6), представляет собой фиксированный профиль волны, перемещающейся вправо на рис. 3.8 с постоянной скоростью

$$c = \omega/k = \lambda/T. \quad (3.11)$$

Подставляя сюда выражение (3.10), получаем формулу для скорости распространения волн Эри

$$c = \left(\frac{g}{k} \operatorname{th} kh \right)^{1/2}. \quad (3.12)$$

Для волн малой высоты, описываемых теорией Эри, горизонтальная и вертикальная составляющие ускорения движения частиц жидкости с координатами x, y могут быть обозначены приближенно как $a_x = -\partial v_x / \partial t$ и $a_y = -\partial v_y / \partial t$, соответственно. Используя выражения (3.7) и (3.8), получим

$$a_x = -\frac{\omega^2 H}{2} \frac{dk}{dh} \frac{\sin(kx - \omega t)}{\operatorname{th} kh}; \quad (3.13)$$

$$a_y = -\frac{\omega^2 H}{2} \frac{dk}{dh} \frac{\cos(kx - \omega t)}{\operatorname{th} kh}. \quad (3.14)$$

Наблюдаемое давление p (разность между действующим и атмосферным давлениями) в точке с координатами x, y в момент времени t ,

Таблица 3.3. Апроксимация гиперболических функций

Функция	Справочная	Итерационные формулы	
		при близких значениях α	при малых значениях α
$\sin \alpha$	$\frac{e^{\alpha} - e^{-\alpha}}{2}$	$0,5e^{\alpha}$	α
$\cosh \alpha$	$\frac{e^{\alpha} + e^{-\alpha}}{2}$	$0,5e^{\alpha}$	1
$\tanh \alpha$	$\frac{e^{\alpha} - e^{-\alpha}}{e^{\alpha} + e^{-\alpha}}$	1	α

которое является суммой гидродинамического давления, связанного с отклонением волновой поверхности от уровня спокойной воды в гидростатическом, определяется согласно теории Эри выражением

$$p = \rho g \frac{H}{2} - \frac{\sinh k y}{\cosh k h} \cos(kx - \omega t) + \rho g(h - y), \quad (3.15)$$

в котором ρ — плотность воды.

В правильных видах зависимостей можно сделать некоторые упрощения для предельных случаев — относительной глубины (бесконечная Ah) и малой (малые значения Ah) акваторий. Эти упрощения основаны на аппроксимации гиперболических функций, как показано в табл. 3.3.

Для глубин акваторий, например, при $Ah > 1$ или $h/\lambda > 0,5$, получим упрощенное выражение для круговой частоты колебания $\omega^2 = gh$ и составляющих скорости движения частиц волны

$$\left. \begin{aligned} u_x &= \left(\frac{\omega h}{2} \right) e^{ky'} \cos(kx - \omega t); \\ v_y &= \left(\frac{\omega h}{2} \right) e^{ky'} \sin(kx - \omega t), \end{aligned} \right\} \quad (3.16)$$

где $y' = y - h$.

Для мелких акваторий, например, при $Ah < \pi/10$ или $h/\lambda < 1/20$, получим $\omega^2 = ghk^2$

$$\left. \begin{aligned} u_x &= \left(\frac{\omega h}{2kb} \right) \sin(kx - \omega t); \\ v_y &= \left(\frac{\omega h}{2b} \right) y \sin(kx - \omega t). \end{aligned} \right\} \quad (3.17)$$

Подобные выражения могут быть получены для составляющих ускорения частиц волны в направлении

Таблица 3.4. Результаты итерационного краинса

Приближение $k, \text{м}^{-1}$	kh	$1/kh$	Вычисление $k, \text{м}^{-1}$
0,1117	1,635	0,6332	0,1197
0,1197	1,796	0,59463	0,1182
0,1181	1,773	0,6436	0,1184
0,1184	1,776	0,6426	0,1182

Пример 3.3–1. Пусть на акватории глубиной 15 м распространяется волна высотой 1,2 м и периодом 6 с. Определим волновое число, скорость волн и изменения горизонтальной составляющей скорости частиц жидкости на разных глубинах под гребнем волны.

Волновое число определим из выражения (3.10). Круговая частота $\omega = 2\pi/T = 0,1047 \text{ c}^{-1}$, а выражение (3.10) можно представить в виде $k = \omega^2/(g \ln Ah)$. Решение этого уравнения может быть получено итерационным путем. В качестве первого приближения примем $b/Ah = 1$ и получим по последней формуле $k = 0,1117 \text{ м}^{-1}$. При $h = 15 \text{ м}$ будем иметь $b/Ah = 0,9322$. Подставляя эти значения в правую часть равенства, получим значение k во втором приближении, т. е. $k = 0,1197$. Продолжая итерационный процесс, можно добиться совпадения значений k в левой и правой частях равенства с практической точностью. Результаты вычислений сведены в табл. 3.4, в которой находим $k = 0,1185$. Соответствующему этому значению длина волны $\lambda = 2\pi/k = 53 \text{ м}$. Далее по формуле (3.12) находим скорость распространения волны $c = 8,83 \text{ м/с}$. И, наконец, можно найти горизонтальные компоненты скорости частиц жидкости на различных глубинах под гребнем волны с помощью выражения (3.7), положив в нем $Ah - y = 0$, т. е. $v_x = 0,229 \sinh k y$. Полагая $k y = 0,1185(15 + 0,6) = 1,849$, находим максимальное значение скорости (на гребне волны): $v_{x, \text{ макс}} = 0,746 \text{ м/с}$. У дна, т. е. при $ky = 0$, получим $v_x = 0,229 \text{ м/с}$. Промежуточные значения скорости находятся из полученного выше выражения. Их v_x и зависимость от глубины приведена на рис. 3.9.

Теория волн Стокса

Теория волн конечной амплитуды была разработана в 1847 г. Дж. Г. Стоксом. Основная идея преминутного Стоксова метода состоит в разложении уравнения волновой поверхности в ряд и определении коэффициентов разложения из условия, уравновешивающего соответствующим уравнениям гидродинамики для волн конечной амплитуды.

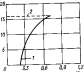


Рис. 3.9. Изменение скорости частиц жидкости под гребнем волны за глубину:

1 — волна; 2 — гребень волны.

Стокс выполняет исследование, оставляя в уравнениях три члена разложения по круговой (M/λ) (теория третьего порядка точности). Детальный анализ полученных решений приведен в работах [39, 45]. Решение, в котором оставлены лишь члены разложения, приведено в работе [40]. Это решение известно, как звезды волн Стокса пятого порядка, широко используется в инженерных расчетах для волн конечной амплитуды. Так как скорость полученных рядов замедляется с уменьшением значения глубины воды, применение этой теории имеет смысл при относительных глубинах h/k , больших, чем 0,1. Это условие обычно выполняется при расчете стационарных буровых платформ на неодинаковых широтах планеты.

Формулы теории волн Стокса пятого порядка приведены здесь в тех же обозначениях, что и формулы теории волн Эри. Изложенное следует из основного работы [40].

В соответствии с теорией Стокса пятого порядка при распространении волны высотой H , с волновым числом k в круговой частотой ω в направлении плавающих x , отклонение z поверхности жидкости от уровня спокойной воды может быть представлено в виде

$$z = \frac{1}{k} \sum_{n=1}^{\infty} F_n \cos(n(kx - \omega t)), \quad (3.18)$$

где

$$\left. \begin{aligned} F_1 &= a; \\ F_2 &= a^2 F_{21} + a^4 F_{24}; \\ F_3 &= a^2 F_{31} + a^4 F_{35}; \\ F_4 &= a^4 F_{46}; \\ F_5 &= a^2 F_{55}, \end{aligned} \right\} \quad (3.19)$$

причем параметры формы волн F_{21}, F_{24}, \dots , зависящие от $k h$, в параметре высоты волны a связаны между собой соотношением

$$kH = 2[a + a^2 F_{21} + a^2(F_{31} + F_{46})]. \quad (3.20)$$

Горизонтальная x и вертикальная y составляющие скорости частиц жидкости с координатами x, y (начало координат на дне), в момент времени t обусловленные распространением поверхностной волны по законам глубиной h , могут быть получены из выражений

$$x = \frac{\omega}{k} \sum_{n=1}^{\infty} G_n \frac{\sin(nkx)}{\sin(nkh)} \cos(n(kx - \omega t)); \quad (3.21)$$

$$y = \frac{\omega}{k} \sum_{n=1}^{\infty} G_n \frac{\sin(nkx)}{\sin(nkh)} \sin(n(kx - \omega t)). \quad (3.22)$$

где

$$\left. \begin{aligned} G_1 &= a G_{11} + a^3 G_{13} + a^5 G_{15}; \\ G_2 &= 2(a^2 G_{12} + a^4 G_{24}); \\ G_3 &= 3(a^2 G_{31} + a^4 G_{35}); \\ G_4 &= 4a^4 G_{46}; \\ G_5 &= 5a^2 G_{55}. \end{aligned} \right\} \quad (3.23)$$

Здесь G_{11}, G_{13}, \dots — параметры скорости волны, зависящие от $k h$.

Выражения для параметров F_{21}, F_{31}, F_{46} и другие приведены в работе [40], но в иных обозначениях ($F_{21} = B_{31}, F_{31} = B_{21}, \dots$; $G_{11} = -A_{11} \ln k h$; $G_{24} = A_{34} \ln k h$, ...), там же приведены результаты вычислений при различных значениях h/k , $\omega/k = kh/2\pi$. Приближенные значения параметров показаны в табл. 3.5 и 3.6.

Соотношение между круговой частотой и волновым числом имеет вид

$$\omega^2 = gk(1 + a^2 C_1 + a^4 C_2) \Phi(kh), \quad (3.24)$$

где C_1 и C_2 — параметры частоты волн. Значения этих параметров при различных h/k показаны в табл. 3.7.

Скорость распространения волны c , которая по теории Эри определяется как $c = \omega/k$, в теории волн Стокса пятого порядка находится из выражения

$$c = \left[\frac{g}{k} (1 + a^2 C_1 + a^4 C_2) \Phi(kh) \right]^{1/2}. \quad (3.25)$$

После определения выражений для составляющих v_x и v_y скорости частицы жидкости могут быть найдены составляющие ускорения

$$\begin{aligned} a_x &= \frac{\partial v_x}{\partial t} + u \frac{\partial v_x}{\partial x} + v \frac{\partial v_x}{\partial y}; \\ a_y &= \frac{\partial v_y}{\partial t} + u \frac{\partial v_y}{\partial x} + v \frac{\partial v_y}{\partial y}. \end{aligned}$$

Введем обозначения коэффициентов составляющих скорости частиц воды в формулах (3.21) и (3.22).

$$\left. \begin{aligned} U_n &= G_n \frac{\sin(nkh)}{\sin(nkh)}; \\ V_n &= G_n \frac{\sin(nkh)}{\sin(nkh)}. \end{aligned} \right\} \quad (3.26)$$

Таблица 3.5. Значения параметров профиля волн [40]

h/k	F_{11}	F_{12}	F_{21}	F_{22}	F_{31}	F_{32}
0,10	3,893	-28,61	13,69	-138,6	44,59	163,8
0,15	3,539	1,344	2,383	6,925	4,147	7,935
0,20	3,927	1,598	6,996	3,679	1,259	1,734
0,25	0,699	1,066	0,630	2,244	0,816	0,797
0,30	0,599	0,893	0,495	1,683	0,884	0,525
0,35	0,551	0,804	0,435	1,438	0,407	0,420
0,40	0,527	0,759	0,410	1,330	0,371	0,373
0,50	0,587	0,722	0,384	1,239	0,364	0,339
0,60	0,502	0,712	0,377	1,205	0,337	0,329

Таблица 3.6. Значения параметров скорости волн [40]

h/k	G_{11}	G_{12}	G_{21}	G_{22}	G_{31}	G_{32}
0,10	1,000	-1,284	-13,73	2,996	-48,18	
0,15	1,000	-2,320	-4,864	0,860	-0,867	
0,20	1,000	-1,263	-2,366	0,526	0,680	
0,25	1,000	-0,911	-1,415	0,154	0,673	
0,30	1,000	-0,385	1,073	0,076	0,601	
0,35	1,000	-0,898	-0,925	0,038	0,556	
0,40	1,000	-0,662	-0,850	0,020	0,518	
0,50	1,000	-0,635	-0,790	0,006	0,503	
0,60	1,000	-0,638	-0,777	0,002	0,502	

h/k	G_{33}	G_{34}	G_{43}	G_{44}
0,10	5,942	-121,7	7,671	0,892
0,15	0,310	1,843	-0,167	-0,257
0,20	-0,017	1,493	-0,044	0,006
0,25	-0,030	0,449	-0,005	0,005
0,30	-0,020	0,231	0,002	0,001
0,35	-0,012	0,352	0,003	0,000
0,40	-0,006	0,117	0,001	0,000
0,50	-0,002	0,082	0,000	0,000
0,60	-0,001	0,086	0,000	0,000

Таблица 3.7. Значения параметров частоты волн и длины [40]

h/k	C_1	C_2	C_3	C_4
0,10	8,791	58,7	-0,186	-0,060
0,15	2,646	19,82	-0,155	0,257
0,20	1,549	5,644	-0,043	0,037
0,25	1,228	2,568	-0,043	0,038
0,30	1,107	1,833	-0,023	0,010
0,35	1,055	1,532	-0,012	0,004
0,40	1,037	1,393	-0,007	0,002
0,50	1,008	1,283	-0,001	0
0,60	1,002	1,240	-0,001	0

После подстановки этих формул в выражения для составляющих ускорения и соответствующих тригонометрических преобразований получим

$$\sigma_x = \frac{Rk^2}{2} \sum_{n=1}^{\infty} R_n \sin n(kx - \omega t), \quad (3.27)$$

$$\sigma_y = -\frac{Rk^2}{2} \sum_{n=1}^{\infty} S_n \cos n(kx - \omega t), \quad (3.28)$$

т.е.

$$\left. \begin{aligned} R_1 &= 2U_1 - U_1 U_2 - U_2 U_3 - V_1 V_2 - V_2 V_3; \\ R_2 &= 4U_2 - U_1^2 + U_1^2 - 2U_1 U_3 - 2V_1 V_2; \\ R_3 &= 6U_3 - 3U_1 U_2 + 3U_1^2 U_3 - 3U_1 U_2 - 3V_1^2 V_3; \\ R_4 &= 8U_4 - 2U_2^2 + 2U_2^2 - 4U_1 U_3 + 4V_1 V_2; \\ R_5 &= 10U_5 - 5U_1 U_4 - 5U_2 U_3 + 5V_1 V_4 + 5V_2 V_3 \end{aligned} \right\} \quad (3.29)$$

$$\left. \begin{aligned} S_0 &= -2U_1 V_1; \\ S_1 &= 2V_1 - 3U_1 V_2 - 3U_2 V_1 - 5U_2 V_3 - 5U_3 V_2; \\ S_2 &= 4V_2 - 4U_1 V_3 - 4U_3 V_1; \\ S_3 &= 6V_3 - U_1 V_2 + U_2 V_1 - 5U_3 V_4 - 5U_4 V_3; \\ S_4 &= 8V_4 - 2U_1 V_3 + 2U_2 V_1 + 4U_3 V_2; \\ S_5 &= 10V_5 - 3U_1 V_4 + 3U_2 V_3 - U_3 V_2 + U_3 V_2. \end{aligned} \right\} \quad (3.30)$$

Движение в жидкости, обусловленное отклонением изолиний поверхности в гидростатике, может быть определено подставив соответствующие значения

$$\rho = \rho_0 - \frac{\omega}{k} u - \frac{1}{2} \rho (u_x^2 + u_y^2) - \frac{\rho k}{k} (e^1 C_3 + e^2 C_4 + k p), \quad (3.31)$$

где $u^1 = u - k$, а C_3 и C_4 — параметры плавания, зависящие от kH или h/k . Значения этих параметров приведены в табл. 3.8.

Пример 3.3-2. Для волны высотой $H = 10,7$ м и длиной 115 м, распространяющейся на акватории глубиной 23 м, определим профиль волновой поверхности и распределение горизонтальных скоростей частиц жидкости под гребнем волны, используя теорию волн Стокса пятого порядка.

Сначала определим параметр η высоты волны из уравнения (3.20), из которого может быть представлено в виде $\eta = (kH/2) - e^1 F_{11} - e^2 (F_{12} + F_{21})$ в ряде методом итераций. При $h/k = 0,20$ получим $k = 0,055 \text{ м}^{-1}$ и $kH/2 = 0,292$, а из табл. 3.5 найдем, что $F_{10} = 0,996$; $F_{11} = -3,679$ и $F_{12} = 1,734$. В качестве первого приближения можно принять $\eta = 0,292$, и после нескольких итераций найдем, что $\eta = 0,267$.

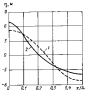


Рис. 3.10. Расчетные профили волн.

1 – по теории Эри; 2 – по теории Стокса.

Далее, подставив соответствующие значения параметров в (3.18), получим выражение отклонения взволнованной поверхности от уровня спокойной воды: $\eta = -4,84 \cos \theta + 1,32 \cos 2\theta + 0,44 \cos 3\theta + 0,116 \cos 4\theta + 0,0427 \cos 5\theta$, где $\theta = kx - \omega t$. Максимальное и минимальные значения отклонения (соответственно в вершинах при $\theta = 0$ и у подошвы волн при $\theta = \pi$) равны $\eta_{\max} = 6,76$ м; $\eta_{\min} = -3,90$ м.

Расчетный профиль волн, соответствующий полупериоду, показан на рис. 3.10 для момента $t = 0$; там же для сравнения показан профиль волны, полученный по теории Эри.

Теперь установим выражение горизонтальной составляющей скорости частиц жидкости. По формуле (3.24) найдем, что круговая частота волнения $\omega = 0,723$ с⁻¹. Подставив это значение в выражение (3.21) и подсчитав коэффициенты, получим

$$\begin{aligned} k_x &= 3,145 \frac{\sin k y}{\sin \lambda K} + 0,710 \frac{\sin 2k y}{\sin 2\lambda K} + 0,0457 \frac{\sin 3k y}{\sin 3\lambda K} - \\ &- 0,0118 \frac{\sin 4k y}{\sin 4\lambda K} + 0,0006 \frac{\sin 5k y}{\sin 5\lambda K}. \end{aligned}$$

На вершине волны, т. е. при $y = 29,7$ м, найдем $k_x \eta_{\max} = 6,7$ м/с. Зависимость скорости частиц воды под гребнем волны показана на рис. 3.11, там же для сравнения дана звуковая, полученная по теории Эри.

Теория квадратных волн

Волновая теория Стокса дает удовлетворительные результаты при относительных глубинах акватории h/λ , больших 0,1. Для менее глубоких акваторий ухудшаются результаты.

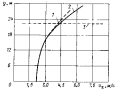


Рис. 3.11. Изменение скорости частиц жидкости под гребнем волны.

1 – по теории Эри; 2 – по теории Стокса; 3 – звуковая волна.

получаются во теории квадратных волн. Она была предложена в 1895 г. Кортиесом и де Фриком, а затем развита рядом других исследователей. Результаты исследований обобщены и представлены в удобном для практического пользования виде в рабоче [45].

Расчетные зависимости теории квадратных волн выражены через эллиптические функции и интегралы (из таблиц приведены, в частности, в работе [29]). Основным допущением при построении первого приближения теория является предположение об относительной малости отклонений волн от глубин акватории и возможностью преобразования квадратом этого отклонения. В теории Эри, в отличие от рассматриваемой, считаны малыми и первые степени этого отклонения.

Изложение теории квадратных волн здесь следует в основном работе [45]. Принятые обозначения такие же, как и при описание теории Эри и Стокса.

Квадратные волны являются периодическими, их профиль описывается с помощью волнового числа K и круговой частоты ω выражением

$$\eta = \eta_{\text{спл}} + H \sin^2(kx - \omega t, m), \quad (3.32)$$

где m – отклонение волновой поверхности от уровня спокойной воды в точке с координатой x в момент времени t ; $\eta_{\text{спл}}$ – отклонение, соответствующее подошве волны; H – высота волны; спл – эллиптическая функция Икоби с модулем m ($0 \leq m \leq 1$).

Модуль m связан с высотой волны H , длиной волны λ и глубиной акватории h соотношением

$$mK^2 = \frac{3}{16} \frac{H\lambda^2}{h^3}, \quad (3.33)$$

где K – параметр (полный эллиптический интеграл), который сам зависит от m . Значения m , K и $H\lambda^2/h^3$ приведены в табл. 3.8.

Волновое число K , круговая частота ω связаны с длиной волны λ и ее периодом T соотношениями

$$K = (2K)/\lambda; \quad \omega = (2K)/T. \quad (3.34)$$

Кроме того, частота связана с волновым числом выражением

$$\omega^2 = gK^2 \left[1 + \frac{H}{mh} \left(\frac{1}{2} - \frac{E}{K} \right) \right]^2, \quad (3.35)$$

где g – ускорение свободного падения; E – параметр (последний эллиптический интеграл второго рода), зависящий от модуля m . Значения

* Можно рекомендовать также "Справочник по специальным функциям". Под ред. М. Абрамсона и И. Стругиц. Перевод с англ. под ред. В. А. Денисова и Д. Н. Карпинского. М., Наука, 1979, 830 с.

Таблица 3.8. Параметры, используемые в теории квадратных волн

m	$H\delta^2/k^2$	K	E
0	0	1,571	1,571
0,100	1,38	1,612	1,531
0,200	1,24	1,660	1,489
0,300	1,11	1,714	1,445
0,400	1,00	1,778	1,400
0,500	0,916	1,834	1,351
0,600	1,237	1,950	1,298
0,700	1,608	2,075	1,242
0,800	21,14	2,217	1,18
0,900	31,90	2,378	1,103
0,950	42,85	2,508	1,060
0,990	72,13	2,696	1,016
1,000	=	=	1,000

Б также приведены в табл. 3.8. Если длина волны задана, то волновое число может быть найдено по первой из формул (3.34), а частота в периоде колебания — по (3.34) и (3.35).

Величина ψ_{max} , входящая в (3.32), выражается через высоту волны

$$\frac{\psi_{max}}{H} = \frac{K(1-\alpha)}{m k}. \quad (3.36)$$

Так как K и E зависят только от m , и это отношение также может быть выражено только через этот модуль.

Остается определить отклонение волнистой поверхности ψ , связанное с производными выше величинами. Из выражения (3.32) имеем

$$\frac{\psi - \psi_{min}}{H} = \sin^2(\theta/m), \quad (3.37)$$

где $\theta = Kx - \omega t$. Численные значения этого отношения, соответствующие различным значениям δ и m , даны в табл. 3.9. При отсутствии более

Таблица 3.9. Приближенные значения $(\psi - \psi_{min})/H$

θ	$m=0$	$m=0,1$	$m=0,2$	$m=0,3$	$m=0,4$	$m=0,5$	$m=0,6$	$m=0,8$	$m=1,0$
0	1,000	1,000	1,000	1,000	1,000	1,000	1,000	1,000	1,000
0,2	0,960	0,969	0,960	0,960	0,960	0,960	0,960	0,960	0,960
0,4	0,848	0,859	0,851	0,852	0,854	0,856	0,856	0,856	0,856
0,6	0,681	0,687	0,694	0,699	0,706	0,712	0,712	0,712	0,712
0,8	0,487	0,500	0,516	0,530	0,543	0,556	0,556	0,556	0,556
1,0	0,292	0,317	0,342	0,368	0,394	0,420	0,420	0,420	0,420
1,2	0,114	0,162	0,194	0,229	0,266	0,305	0,305	0,305	0,305
1,4	0,029	0,055	0,085	0,123	0,166	0,216	0,216	0,216	0,216
1,6	0,006	0,005	0,019	0,049	0,084	0,151	0,151	0,151	0,151
1,8	0,002	0,016	0,030	0,039	0,044	0,104	0,104	0,104	0,104
2,0	0,015	0,062	0,128	0,001	0,013	0,071	0,071	0,071	0,071

подробных таблиц эллиптических функций и интегралов величины могут быть определены по табл. 3.8 и 3.9 с помощью линейной интерполяции.

Величина, значение которой приведено в табл. 3.9, изменяется, за исключением случая $m=1$, гармонически с периодом, равным $2K$. Как видно, таблицные значения дали для полуperiода. Если значение θ оказывается вне рассмотренного диапазона, то вместо 0 следует принять значение $2K - \theta$ и по нему с помощью табл. 3.9 определить величину $(0 - \psi_{min})/H$.

Для обобщенных методов экваторий, к которым теория квадратных волн применима в большей степени, характерно то существование горизонтального направление скоростей частиц жидкости, причем

$$v_x = (g/h)^{1/2} u. \quad (3.38)$$

В условиях мелководья горизонтальное ускорение частиц жидкости может быть определено следующим образом:

$$a_x = \frac{\partial v_x}{\partial t} + v_x \frac{\partial u}{\partial x}.$$

С использованием соответствующих преобразований для производных эллиптических функций может быть получена следующая формула:

$$a_x = \pm 2KH(c - v_0)(g/h)^{1/2} A, \quad (3.39)$$

в которой $c = \omega/k$ означает скорость распространения волны, а

$$A = \left[\frac{\pi - \psi_{min}}{H} \left(1 - \frac{\theta - \psi_{min}}{H} \right) \left(1 - \alpha + m \frac{\theta - \psi_{min}}{H} \right) \right]^{1/2}. \quad (3.40)$$

Положительное значение v_0 соответствует $0 \leq \theta \leq K$, а отрицательное — ступе $K < \theta \leq 2K$.

Давление на уровне y от дна, обусловленное волнением в гидростатикой, находится из выражения

$$p = \rho g (h + \eta - y), \quad (3.41)$$

где ρ — плотность воды.

При $m=1$ практическое равенство $\sin(\theta) = \sinh \delta$, при этом профиль волны становится неоднородным и оказывается полностью над уровнем спокойной воды. Волна, соответствующая этому предельному случаю, называется одиночкой.

Пример 3.3-3. Рассмотрим волну высотой 3 м и длиной 130 м, распространяющуюся на акватории глубиной 12 м. Используя теорию квадратных волн, определим период, профиль и горизонтальную скорость волны на вершине и у подошвы.

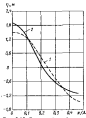


Рис. 3.12. Радиотип профилей волн.

1 — по теории Эри; 2 — по теории квондатных волн.

$y_{\text{max}} = 1,65 \text{ м/c}$; $y_{\text{max}} = -1,03 \text{ м/c}$. Эти значения могут быть сопоставлены с соответствующими значениями по теории Эри, а именно $1,50 \text{ м/c}$ и $-1,50 \text{ м/c}$.

Области применения волновых теорий

Теория волн Эри, применяемая обычно к предварительным расчетам и даже при таких видах волн, при которых возможны повреждения конструкции, основана на оценке о малости высоты волн по сравнению с длиной волны и с глубиной акватории. Для более точных расчетов следует использовать теорию волн Стокса при условии, что длина волны не менее $0,1$ глубины акватории. Для более длинных волн обычно рекомендуется теория квондатных волн.

Естественно возникает вопрос о пределах значений отношений высоты волны к ее длине, а также длины волны к глубине акватории, при которых вполне приемлемые по точности результаты могут быть получены по самой простой теории Эри. Примененные выше примеры показывают, что основной обстоятельством более точных теорий волн — Стокса и квондатной — является предположение о малой высоте отмечки гребня волны по сравнению с теорией Эри. Это обстоятельство подсказывает простой способ определения границ применимости теории Эри — она может быть использована там, где высота волны со сопоставимой высотой гребня волны отличается от полученной по более точным теориям на величину, находящуюся в пределах заданной относительной погрешности. Этим способом установлена область значений отношения высоты к длине волны, при которых теория Эри позволяет получить достаточно точные результаты.

Сначала найдем модуль m с помощью табл. 3.8. По условиям задачи $H\lambda^2/k^2 = 29,3$. По табл. 3.8 интерполяцией получим $m = 0,86$; $K = 2,46$; $E = 1,13$.

Далее по формуле (3.34) получим волновое число $k = 0,0378 \text{ м}^{-1}$, а по (3.35) круговую частоту $\omega = 0,419 \text{ c}^{-1}$. Период колебаний $T = 2K/\omega = 11,7 \text{ с}$.

Профиль волны описывается уравнением (3.37), прики $H = 3 \text{ м}$, а λ найдем из (3.36), разно $-1,1 \text{ м}$. Профиль волны, построенный на рис. 3.12 с помощью табл. 3.9, совпадает с полученным по теории Эри. Как видно, гребень волны, построенной по теории квондатных волн, выше, чем у волны Эри.

И, наконец, по формуле (3.38) найдем значение скорости частичной зондости на гребне и у волоши волны: $y_{\text{max}} = 1,65 \text{ м/c}$; $y_{\text{max}} = -1,03 \text{ м/c}$. Эти значения могут быть сопоставлены с соответствующими значениями по теории Эри, а именно $1,50 \text{ м/c}$ и $-1,50 \text{ м/c}$.

Рис. 3.13 показывает различие областей применения волновых теорий при произвольно принятой погрешности 10 % во значении высоты гребня волны. При разграничении теорий Эри и Стокса в формуле для отклонения волновой поверхности, отвечающей теории Стокса, до оставшихся только два первых члена ряда, т. е. учтена первая поправка к теории Эри. Разграничение теорий Эри и квондатной основано на результатах, полученных по изложенной выше теории квондатных волн. По сравнению с более поздними теориями Стокса (2) и квондатных волн (3).

Рис. 3.13. Диаграмма применимости волновых теорий Эри (1) с погрешностью до 10 % по значению высоты гребня волны. При разграничении теорий Эри и Стокса в формуле для отклонения волновой поверхности, отвечающей теории Стокса, до оставшихся только два первых члена ряда, т. е. учтена первая поправка к теории Эри. Разграничение теорий Эри и квондатной основано на результатах, полученных по изложенной выше теории квондатных волн. По сравнению с более поздними теориями Стокса (2) и квондатных волн (3).

Изображенная на рис. 3.13 может быть использована не только для установления области применимости той или иной волновой теории, но также и для оценки погрешности результатов, получаемых по теории Эри.

Например, при оценке глубины акватории к длине волны, равной 0,5, граница между областями применения теорий Эри и Стокса соответствует отношению высоты волны к ее длине, равному 0,063. Этому соотношению отвечает погрешность 10 %. Если же отношение высоты волны к ее длине разно, допустим, 0,056, то погрешность результатов, получаемых по теории Эри, оказывается приблизительно равной $10 \cdot 0,056/0,063 = 8,9 \%$.

3.4. Волновые нагрузки на вертикальные колонны

Волновые нагрузки на испытываемую вертикальную цилиндрическую колонну впервые исследованы Морасоном и пр. [31] и предположения о малости диаметра колонны по сравнению с длиной волны (при оценке указаны величины порядка 0,1 и менее), позволявшим пренебречь искажением формы волны при взаимодействии с колонной. Если обозначить f волновую нагрузку на единицу длины колонны, имеющей диаметр D , то в соответствии с формулой Морасона, предложенной в упомянутой работе к получившей широкое распространение в инженерных расчетах,

$$f = 0,5 C_{\text{cr}} D^2 \ln x_k + \rho C_{\text{in}} (\pi D^3/4) a_0, \quad (3.42)$$

где ρ — плотность воды; C_{cr} и C_{in} — коэффициенты; x_k и a_0 — горизонтальная скорость и ускорение частички воды, обусловленные волнистостью⁴.

⁴ Аналогичная формула, выведенная Д. Д. Лине, применяется в статистической практике с 1948—1949 гг.

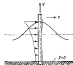


Рис. 3.14. Энергия волной нагрузки на частичную колонну. Коэффициенты $C_{\text{ок}}$ и $C_{\text{ин}}$ называются соответственно коэффициентами скоростного и инерционного сопротивления.

Значения коэффициентов скоростного и инерционного сопротивлений зависят от бета-мерных параметров, связанных в свою очередь с максимальной скоростью частицы v_x , час. и периодом всплытия T :

$$\text{Re} = \frac{\rho v_x \max D}{\mu}; \quad N_k = \frac{v_x \max T}{D}, \quad (3.43)$$

где ρ и μ обозначают плотность и кинематический коэффициент вязкости жидкости. Первый из этих параметров, называемый часом Рейнольдса, уже упоминался в связи с негравитационными нагрузками и характеризует влияние вязкости жидкости. Второй параметр – число Кильбатна-Карлентана – характеризует эффект, связанный с периодичностью всплытия. К сожалению, количество экспериментальных данных, устанавливающих зависимость коэффициентов сопротивления от указанных безразмерных чисел, весьма ограничено, и поэтому в инженерной практике оба коэффициента поставляются для простоты расчетов постоянными. Значение коэффициента скоростного сопротивления $C_{\text{ок}}$ принимают в пределах 0,6–1,0, а значение коэффициента инерционного сопротивления $C_{\text{ин}}$ – в пределах 1,5–2,0 [34].

По значениям скорости v_x и ускорения a_d в выражении (3.42), определенным по соответствующей волновой теории, а также значениям коэффициентов скоростного и инерционного сопротивлений можно получить зависимости, определяющие распределение волновой нагрузки по длине колонны в любой момент волнового цикла. Так как скорости и ускорения частиц жидкости, обусловленные всплытием, в общем случае убывают с глубиной, распределение волновой нагрузки вдоль колонны имеет вид, изображенный на рис. 3.14.

Равнодействующая волновая нагрузка, действующая на колонну на участке от дна ($y=0$) до некоторого уровня y , равна

$$F = \int_0^y f(y) dy. \quad (3.44)$$

Аналогично момент этой нагрузки относительно линии колонны ($y=0$) равен

$$M = \int_0^y y f(y) dy, \quad (3.45)$$

а плечо равнодействующей относительно линии колонны находится как $b=M/F$.

Нагрузки от волны Зун

Ограничимся рассмотрением волн малой амплитуды, имеющих высоту H , частоту ω и волновое число k , которые распространяются из акватории сплабик A . Тогда при использовании расчетных зависимостей теории Зун, изложенных в параграфе 3.3, при совмещении оси Y с осью колонны выражение (3.44) может быть представлено в виде

$$F = F_{\text{ок}} + F_{\text{ин}}, \quad (3.46)$$

где $F_{\text{ок}}$ и $F_{\text{ин}}$ – нагрузки, связанные соответственно со скоростным и инерционным сопротивлением и вычисляемые для колонны постоянного диаметра по формулам

$$F_{\text{ок}} = -\frac{\rho C_{\text{ок}} D}{32k} (\omega H)^2 \left(\frac{\sin 2ky}{\sin^2 kH} + \frac{2ky}{\sin^2 kH} \right) \cos \omega t \cos \omega t; \quad (3.47)$$

$$F_{\text{ин}} = -\frac{\rho C_{\text{ин}}}{2k} - \frac{\pi D^2}{4} \omega^2 H \frac{\sin ky}{\sin kh} \sin \omega t. \quad (3.48)$$

Аналогично может быть конкретизировано выражение (3.45) для момента волновой нагрузки

$$M = M_{\text{ок}} + M_{\text{ин}}, \quad (3.49)$$

где $M_{\text{ок}}$ и $M_{\text{ин}}$ обозначают соответственно моменты, связанные со скоростным и инерционным сопротивлениями, и находятся по формулам

$$M_{\text{ок}} = -\frac{\rho C_{\text{ок}} D}{64k^3} (\omega H)^3 Q_1 \cos \omega t \cos \omega t; \quad (3.50)$$

$$M_{\text{ин}} = -\frac{\rho C_{\text{ин}}}{2k^2} - \frac{\pi D^2}{4} \omega^2 H Q_2 \sin \omega t, \quad (3.51)$$

в которых

$$Q_1 = \frac{2ky \sin 2ky - \cos 2ky + 2(ky)^2 + 1}{\sin^2 kh}; \quad (3.52)$$

$$Q_2 = \frac{ky \sin ky - \cos ky + 1}{\sin kh}. \quad (3.53)$$

На этих формулах видно, что силы скоростного и инерционного сопротивления, также как и соответствующие составляющие момента

волной нагрузки, сдвигнуты по фазе на 90° , т. е. когда одни из них достигают максимального значения, другие равны нулю. Равнодействующая волновой нагрузки в соответствующий ей момент подсчитывается, конечно, при подстановке $u = h + \eta$, где u — отклонение волновой поверхности у кромки со уровня спокойной воды. Значение η в любой момент t определяется из общего уравнения профиля волны $\eta = -(H/2) \cos(\alpha h - \omega t) + (M/2) \sin(\alpha h - \omega t)$.

Когда применение теории Эри строго обосновано, отношение η/h мало, и значит, равнодействующая волновой нагрузки на кромку в момент этой нагрузки могут быть найдены просто — подстановкой в приведенные выше формулы $u = h$. Максимальные значения этих величин находятся в результате вычислений при различных значениях αh . Если, однако, η/h не является пренебрежимо малым, то теория Эри используется для приближенных расчетов, то более точные значения результатирующей волновой нагрузки в ее моментах могут быть получены при подстановке $u = h + (H/2) \cos \omega t$. Максимальные же значения определяются в результате вычислений для различных моментов ωt с учетом соответствующих изменений уровня воды по высоте кромки.

Соотношение между скоростным и инерционным сопротивлениями в формуле (3.46) может быть определено с помощью выражений (3.47) и (3.48). Отношение максимальной силы скоростного сопротивления $F_{\text{ок}}$ к силе максимальной силы инерционного сопротивления $F_{\text{ин}}$ также может быть представлено в виде

$$\frac{F_{\text{ок}, \text{max}}}{F_{\text{ин}, \text{max}}} = \mu \frac{H}{D}, \quad (3.54)$$

при значении μ при $h + \eta \approx h$ находится как

$$\mu = \frac{1}{4\pi} \frac{C_{\text{ок}}}{C_{\text{ин}}} \left(\frac{\sin 2\alpha h}{\sin^2 \alpha h} + \frac{2\alpha h}{\sin^2 \alpha h} \right).$$

Приближенные значения μ при различных $h/\lambda = \alpha h/2\pi$ в $C_{\text{ок}}/C_{\text{ин}} = 0,5$ приведены в табл. 3.10. При $h/\lambda > 0,5$ значение максимальных значений скоростной и инерционной составляющих волновой нагрузки меньше единицы вдвадцать раз в зависимости от диаметра цилиндра.

Таким образом, при указанном ограничении на h/λ и относительно большим диаметре кромки (при $H/D \leq 1$) скоростная составляющая волновой нагрузки составляет менее 10% от инерционной составляющей и может не учитываться в приближенных расчетах.

Если ограничиться рассмотрением максимального значения равнодействующей волновой нагрузки,

то погрешность от пренебрежения скоростной составляющей будет значительно, поскольку скорость и инерционные составляющие волновой нагрузки сдвигнуты по фазе на 90° . Таким образом, максимальное значение равнодействующей волновой нагрузки может быть получено по приближенной формуле

$$F_{\text{рез}} = \sqrt{F_{\text{ок}, \text{max}}^2 + F_{\text{ин}, \text{max}}^2} = F_{\text{ин}, \text{max}} \sqrt{1 + \left(\frac{\mu H}{D} \right)^2}, \quad (3.55)$$

так что, если, например, $\mu H/D = 0,25$, то погрешность от пренебрежения скоростной составляющей нагрузки составляет около 30%.

Пример 3.4-1. Определить максимальную нагрузку и ее момент относительно основания кромки диаметром 1,22 м, обдуваемые волной высотой 10,7 м, длиной 115 м, распространяющимися по акватории глубиной 23 м. Положение $C_{\text{ок}} = 1$ и $C_{\text{ин}} = 2$.

Хотя теория Эри не позволяет получить в этом случае точное решение, поскольку высота волны относительно велика, ее можно использовать для приближенной оценки волновой нагрузки. Волновое число $k = 2\pi/\lambda = 2\pi/115 = 0,055 \text{ м}^{-1}$, а крутизна частоты волнения ω в соответствии с (3.10) равна $0,677 \text{ c}^{-1}$. Так как отношение высоты волны к диаметру кромки значительно больше единицы, скоростная составляющая волновой нагрузки преобъясняется, что следует из формул (3.54) и (3.55). Скоростная и инерционная составляющие равнодействующей волновой нагрузки на кромку (в килоньютонах), определенные по формулам (3.47) и (3.48) при $\rho = 1,026 \cdot 10^3 \text{ кг/m}^3$, $D = 1,22 \text{ м}$ и $H = 10,7 \text{ м}$, получают вид

$$F_{\text{ок}} = 14,06 [\sin 2k(h + \eta) + 2k(h + \eta)] \cos \omega t \text{ кН м},$$

$$F_{\text{ин}} = -65,61 \sin k(h + \eta) \sin \omega t,$$

где $\eta = (H/2) \cos \omega t = 5,35 \cos \omega t$.

Равнодействующая волновая нагрузка определяется как $F = F_{\text{ок}} + F_{\text{ин}}$, при этом частный анализ при различных значениях h/λ показывает, что максимальное значение нагрузки имеет при $h/\lambda = 6,0(345^\circ)$ и равно 223,9 кН. В этот момент времена отклонения волновой поверхности над уровнем спокойной воды склону склону составляет 5,1 м, т. е. свободная поверхность воды находится относительно дна на уровне $u = h + \eta = 28,1 \text{ м}$.

Момент волновой нагрузки, определяемый по (3.49) при указанных значениях h/λ , равен 3991 кН·м. Таким образом, равнодействующая волновой нагрузки приложена на уровне $3991/223,9 = 17,8 \text{ м}$ от основания кромки.

Нагрузки от волн Стокса

При рассмотрении волны квадратичной амплитуды Стокса расчет волновой нагрузки с помощью выражения (3.44) становится более сложным, поскольку волновая поверхность описывается в виде

Таблица 3.10. Значения μ в формуле (3.54)

h/λ	αh	μ
0,05	0,314	0,51
0,10	0,628	0,25
0,30	1,885	0,10
0,50	3,143	0,08
1,00	6,289	0,06
=	=	0,06

Суперпозиции волн различного профиля. Подставив выражение (3.21) и (3.27) для горизонтальных составляющих скорости и ускорения частиц жидкости в уравнения Морисона, получим при $x=0$, (последнее, что это сечение совпадает с колонкой)

$$f = \frac{\rho C_{\text{ex}} D^2}{2k^2} \sum_{m=1}^4 \sum_{n=1}^{5-m} U_m U_n \cos m\omega t \cos n\omega t -$$

$$-\frac{\rho C_{\text{ex}} \pi D k \omega}{8k} \sum_{n=1}^3 R_n \sin n\omega t, \quad (3.56)$$

где коэффициенты U_n и R_n определяются по формулам (3.26) и (3.29). При этом двойное суммирование выполняется так, чтобы произведение $U_m U_n$ при $m+n > 5$ не учитывалось в спектральном с той точностью, которую может обеспечить теория Стокса пятого порядка. Подставив полученные выражения в (3.44), найдем волновую нагрузку $F(y)$ из колонки за уровне y от дна

$$F(y) = F_{\text{ex}}(y) + F_{\text{int}}(y), \quad (3.57)$$

где

$$F_{\text{ex}} = \frac{\rho C_{\text{ex}} D \omega^2}{2k^2} \sum_{m=1}^4 \sum_{n=1}^{5-m} A_{mn} \cos m\omega t \cos n\omega t; \quad (3.58)$$

$$F_{\text{int}} = -\frac{\rho C_{\text{ex}} \pi D^2 \omega^2}{4k^2} \sum_{n=1}^3 R_n \sin n\omega t. \quad (3.59)$$

Введя обозначение $S_n = \sin n\omega t$ и используя коэффициент составляющей скорости, определенный по (3.26), получим

$$A_{mn(m+n)} = \frac{G_m G_n}{2S_m S_n} \frac{S_{m+n} V_m + v}{(m+n) G_{m+n}} + \frac{S_{m-n} V_m - v}{(m-n) G_{m-n}}, \quad (3.60)$$

$$A_{nn} = \frac{G_n^2 S_{2n} V_n}{S_n^2 4 \pi G_{2n}} + \frac{k y}{2}. \quad (3.61)$$

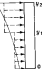
$$\left. \begin{aligned} B_1 &= V_1 - \frac{1}{6} \frac{G_1 G_2}{G_3} \frac{S_3}{S_1 S_2} V_3 - \frac{1}{10} \frac{G_1 G_3}{G_2} \frac{S_5}{S_1 S_3} V_5; \\ B_2 &= V_2 - \frac{1}{2} \frac{G_2^2}{S_1^2} k y - \frac{1}{4} \frac{G_2 G_3}{G_4} \frac{S_4}{S_2 S_3} V_6; \\ B_3 &= V_3 - \frac{3}{2} \frac{G_2}{S_1} V_1 - \frac{3}{10} \frac{G_1 G_4}{G_3} \frac{S_5}{S_1 S_4} V_7; \\ B_4 &= V_4 - \frac{1}{2} \frac{G_3^2}{S_2^2} k y - \frac{G_2 G_3}{G_2} \frac{S_3}{S_1 S_3} V_5; \\ B_5 &= V_5 - \frac{5}{2} \frac{G_2 G_3}{G_5} \frac{S_1}{S_3 S_5} V_6 - \frac{5}{6} \frac{G_1 G_4}{G_3} \frac{S_5}{S_1 S_4} V_7. \end{aligned} \right\} \quad (3.62)$$

Для определения момента максимальной волновой нагрузки относительно основания колонны можно воспользоваться выражениями (3.45) и (3.56) и получить выражения, аналогичные приведенным выше для усилий. Однако, эти формулы получаются довольно громоздкими, и лучше прибегнуть к приближенному численному методу с использованием уже полученных выражений для усилий. В частности, если разбить колонну во времени на участков, то с помощью выражения (3.57) можно подавать волновую нагрузку на каждом участке для момента времени, когда она достигает максимального значения, а затем, полагая нагрузки распределенными равномерно пределах каждого отдельного участка, просуммировать моменты этих нагрузок относительно основания колонны. Рассмотрим для примера колонну на рис. 3.15, и разделим ее по длине на два участка — нижний длинной y_1 и верхний длиной $y_2 = y - y_1$. Равнодействующую нагрузку на нижнем участке обозначим $F_1 = F(y_1)$, а на верхнем участке $F_2 = F(y_1) - F(y_2)$. В предположении равномерного распределения волновых нагрузок на отдельных участках их равнодействующие приложены посередине длины соответствующего участка n , следовательно, момент этих сил относительно основания колонны

$$M = \frac{1}{2} F_1 y_1 + \frac{1}{2} (F_1 - F_2)(y_2 + y_1), \quad (3.63)$$

где силы F соответствуют избраннымому моменту времени и определяются по формуле (3.57). Для нахождения максимального момента от волновой

Рис. 3.15. Этапы волновой нагрузки и ее аппроксимации.



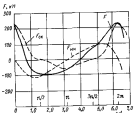


Рис. 3.16. Изменение суммарной волновой нагрузки F на колонну в ее пересечении $F_{\text{ск}}$ и направлением $F_{\text{ин}}$ сопоставляется во времени.

нагрузки на колонну следует, очевидно, выбрать тот момент времени, в который волновая нагрузка достигнет максимума.

Приведенный способ дает тем большую точность, чем больше число участков, из которых разбивается колонна. В общем случае при числе участков N получим

$$M = \frac{1}{2} \sum_{n=1}^N (F_n - F_{n-1}) (r_n + r_{n-1}). \quad (3.64)$$

причем r_0 и r_N равны нулю.

Пример 3.6-2. Как и в предыдущем примере, рассмотрим волну высотой 10,7 м и длиной 115 м, распространяющуюся в акватории глубиной 23 м. Определить максимальную волновую нагрузку и соответствующий ей момент на колонну диаметром 1,22 м, простирающуюся от дна до поверхности воды. Воспользуемся теорией волны Стокса второго порядка и положим $C_{\text{ск}} = 1$; $C_{\text{ин}} = 2$.

Поскольку здесь рассматриваются те же параметры волны и та же теория волны, что и в примере 3.3-2, могут быть использованы и некоторые полученные ранее результаты. При $\rho = 1,026 \cdot 10^3 \text{ кг}/\text{м}^3$; $D = 1,22 \text{ м}$; $\omega = 0,723 \text{ с}^{-1}$ и $k = 0,055 \text{ м}^{-1}$ суммарная волновая нагрузка на колонну находится с помощью выражения (3.57), в котором следует положить $u = \vartheta + \eta$, где ϑ в соответствии с теорией Стокса отвечает уравнению (3.18). Результаты вычислений, выполненные с помощью компьютера

Таблица 3.11. Величины членов N значений момента M

N	2	5	10	20
$M, \text{kН} \cdot \text{м}$	4860	5138	5180	5193

и показанные на рис. 3.16, отражают изменения суммарной волновой нагрузки, а также ее скоростной и инерционной составляющих в зависимости от ϑ . Волновая нагрузка имеет максимальные значения в момент времени, приблизительно равный $\vartheta = 6,0$, и составляет $F_{\text{max}} = 264,2 \text{ кН}$. В указанный момент времени скоростная составляющая волновой нагрузки равна $205,5 \text{ кН}$, а инерционная — $56,7 \text{ кН}$.

Для определения момента, соответствующего вспомогательной волновой нагрузке, сперва воспользовались выражением (3.64) и положены в нем наибольшее значение $u = \vartheta + \eta = 28,9 \text{ м}$, заданное из выражения (3.18) при $\vartheta = 6,0$. Значение момента, полученные при разбиении колонны на различные число N участков, приведено в табл. 3.11. С увеличением N от 10 до 20 значение момента практически не изменяется и равно 5193 кН·м. Значение момента при $N = 5$ отличается от этого всего на 1 %, а при $N = 2$ — на 8 %. Таким образом, формула (3.64) позволяет получить достаточно точные результаты даже при малом числе участков. Гармонизирующая волновая нагрузка приложена на высоте $\vartheta = M/F = 19,6 \text{ м}$ над уровнем дна.

Полученные здесь результаты могут быть сопоставлены с найденными в примере 3.4-1 по теории Эрда. Там было получено $F_{\text{внн}} = -223,9 \text{ кН}$ и $M = 391 \text{ кН} \cdot \text{м}$. В этом примере более точным методом найдены $F_{\text{внн}} = 264,2 \text{ кН}$ и $M = 5193 \text{ кН} \cdot \text{м}$.

Нагрузки от гравитационных волн

Согласно теории гравитационных волн, распространяющихся из мелководья, горизонтальная скорость и ускорение частиц воды не изменяются по глубине — значит, и погонная волновая нагрузка является постоянной по длине колонны. Выполнив интегрирование в выражении (3.44), получим волновую нагрузку на участок колонны от дна до уровня u , равную f_u , в момент этой нагрузки относительный основания колонны, равный $f_u^2/2$.

Эффекты относительного движения

Иногда такое выше отойдет к случаю, когда колонна является неводной. Такая ситуация обычно возникает в инженерных расчетах сооружений континентального шельфа даже тогда, когда в действительности колонна совершает некоторое движение под действием волн.

При учете движения колонны действующая на нее скоростьная составляющая волновой нагрузки уменьшается вследствие относительного движения, при этом уменьшается и инерционная составляющая пропорционально ускорению движения колонны. Соответствующий этому положению форма уравнения Моркова может быть получена подстановкой в (3.42) $|v_x - \dot{x}|(v_x - \dot{x})$ вместо $|v_x|v_x$ в добавлением в правой части слагаемого $- \rho(C_{\text{ин}} - 1)(t\partial^2)^4 \ddot{x}$. Здесь \dot{x} и \ddot{x} обозначают

соответственно горизонтальными составляющими скорости и ускорения движения элемента колонны. Последнее выражение следует из гидромеханики и представляет собой узлы, связанные с ускорением жидкости, обусловленным движением колонны. Это имеет особое значение при изучении динамики морских гидротехнических сооружений (глава 6), когда длина учитывается неравниной элементов скручивания.

Для иллюстрации рассмотрим вертикальную колонну единичной длины. Пусть F означает общую, не связанную с движением воды, горизонтальную нагрузку на участок колонны, а f — нагрузку от волны, получаемую по упомянутому уравнению Морисона, тогда уравнение движения участка колонны в горизонтальном направлении получает вид

$$m\ddot{x} = F + f, \quad (3.65)$$

где m — масса участка колонны, а выражение для f получается изменением в (3.42) указанных выше изменений:

$$f = -\frac{1}{2} \rho C_{\text{ср}} D v_k - \dot{x}(v_k - \dot{x}) + \rho C_{\text{им}} \frac{\pi D^2}{4} a_k - \rho(C_{\text{им}} - 1) \frac{\pi D^2}{4} \dot{x}$$

Подставив это выражение в (3.65), получим

$$(m + m')\ddot{x} = F + \frac{1}{2} \rho C_{\text{ср}} D v_k - \dot{x}(v_k - \dot{x}) + \rho C_{\text{им}} \frac{\pi D^2}{4} a_k, \quad (3.66)$$

где $m' = \rho(C_{\text{им}} - 1)(\pi D^2/4)$.

Анализируя последние выражения, можно убедиться, что эффект ускоренного скручивания элемента колонны в виде экспоненты увеличения массы (погонной массы) на величину m' . Масса m' является приведенной погонной массой, а суммарная масса $m + m'$ — эффективной массой.

Изменение диаметра колонны

Применимость уравнения Морисона ограничена случаями, когда диаметр колонны мал в сравнении с длиной отбекающей волны, и спиралевидное, обратное скручивание колонны на параметры волны предебрежимо мало. Если это условие не выполняется, то должно быть учтено искажение волны, происходящее в результате ее взаимодействия с колонной.

Заметим, однако, что, если диаметр колонны одинаков с длиной волны, то мало значение высоты волны к диаметру колонны и, как следует из (3.54), скорость составляющая волновой нагрузки преубежденно мала. Таким образом, в случаях, когда необходимо учитывать изменение диаметра колонны, достаточно рассматривать только инерционную составляющую нагрузки. Эти вопросы были исследованы zunächst в работе [20], а затем на основании теории волн малой

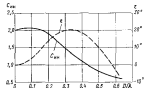


Рис. 3.17. Зависимость коэффициента инерционного сопротивления $C_{\text{им}}$ и угла скручивания ϕ от D/λ [30].

амплитуды и в предположении о неподвижности колонны в работе [30]. Согласно второй дифракции волны учет изменения диаметра колонны приводит к необходимости изменения значения коэффициента инерционного сопротивления в уравнении Морисона и введение сдвига по фазе. Выражение погонной нагрузки на вертикальную колонну вызванной подающей поверхностью волной, описываемой уравнением $\eta = (H/2) \cos(kx - \omega t)$, может быть получено (при условии, что, как и ранее, начальное координату x заходит в основания колонны на длине) в виде

$$f = -\rho C_{\text{им}} \frac{\pi D^2}{4} \omega^2 \frac{H}{2} \frac{\sin kx}{\sin kx} \sin(\omega t - e), \quad (3.67)$$

где e — угол сдвига по фазе.

Вследствие искажения волны при обтекании его цилиндрической колонны коэффициент инерционного сопротивления $C_{\text{им}}$ и угол сдвига по фазе e изменяются соответственно стяжением диаметра колонны вдвое волны (рис. 3.17).

3.5. Волновая нагрузка на наклонные цилиндрические элементы

Применение уравнения Морисона к произвольно наклоненным цилиндрическим телам представляет интерес при определении волновой нагрузки на пограничные связи в сооружениях морского плавания и наклонных оперных колонн. Различные приближенные способы применения уравнения Морисона к этим задачам рассмотрены в работе [43]. Наиболее постулативен этот вопрос изучен в [6]. В указанном решении предполагается разложение скорости и ускорения жидкости на нормальную и тангенциальную ко осям тела. Задача составляющая и воспроизводящая используется при вычислении погонной волновой нагрузки по формуле Морисона только одной

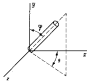


Рис. 3.18. Цилиндрической элемент, проекции ортотропии, произвольно ориентированный в системе осей дуг. Пусть, как и ранее, направления распространения волны совпадают с осью x , при этом связь с вектором движения волны характеризуется горизонтальными и вертикальными составляющими скорости v_x , v_y и ускорения a_x , a_y . Введем полярную систему координат, в которой удобнее характеризовать положение оси цилиндра (см. рис. 3.18). Скорость волны, нормальная к оси цилиндра, находится в этой системе координат по формуле

$$v_n = [v_x^2 + v_y^2 - (c_x a_x + c_y a_y)^2]^{1/2}, \quad (3.68)$$

а ее составляющие в направлениях x , y , z :

$$\begin{cases} v_{xz} = v_x - c_x (c_x a_x + c_y a_y); \\ v_{yz} = v_y - c_y (c_x a_x + c_y a_y); \\ v_{zz} = -c_z (c_x a_x + c_y a_y), \end{cases} \quad (3.69)$$

где

$$\begin{cases} c_x = \sin \varphi \cos \delta; \\ c_y = \cos \varphi; \\ c_z = \sin \varphi \sin \delta. \end{cases} \quad (3.70)$$

Составляющие ускорения жидкости, нормального к оси цилиндра,

$$\begin{cases} a_{xz} = a_x - c_x (c_x a_x + c_y a_y); \\ a_{yz} = a_y - c_y (c_x a_x + c_y a_y); \\ a_{zz} = -c_z (c_x a_x + c_y a_y). \end{cases} \quad (3.71)$$

Имея эти выражения, можно получить уравнение Моррисона для составляющих погонной волновой нагрузки на цилиндрическую фигуру

$$\begin{cases} f_x = \frac{1}{2} \rho C_{in} D v_n a_{xz} + \rho C_{in} \frac{\pi D^2}{4} a_{xx}; \\ f_y = \frac{1}{2} \rho C_{in} D v_n a_{yz} + \rho C_{in} \frac{\pi D^2}{4} a_{yy}; \\ f_z = \frac{1}{2} \rho C_{in} D v_n a_{zz} + \rho C_{in} \frac{\pi D^2}{4} a_{zz}. \end{cases} \quad (3.72)$$

Суммарный волновой нагружка на единицу длины антенны

$$f = \pm (\bar{f}_x^2 + \bar{f}_y^2 + \bar{f}_z^2)^{1/2}, \quad (3.73)$$

причем знак суммарной нагрузки зависит от знаков составляющих f_x , f_y и f_z .

Для сравнительно коротких элементов, таких как приемные связи спутников, где характеристики движения жидкости изменяются излучистенно от одного конца элемента к другому, можно использовать определенные значения \bar{f}_x , \bar{f}_y , \bar{f}_z и тогда составляющие волновой нагрузки на элемент

$$F_x = \bar{f}_x L; \quad F_y = \bar{f}_y L; \quad F_z = \bar{f}_z L, \quad (3.74)$$

где L – длина элемента. В общем случае, когда скорости и ускорения изменяются по длине элементов заместо, составляющие волновой нагрузки на элемент в целом находятся интегрированием

$$\begin{aligned} F_x &= \int \bar{f}_x ds; \quad F_y = \int \bar{f}_y ds; \quad F_z = \int \bar{f}_z ds, \end{aligned} \quad (3.75)$$

где s – расстояние вдоль оси элемента, при этом интегрирование осуществляется по длине элемента, подверженной действию волны.

Пример 3.5-1. Определим волновую нагрузку на элемент 1–2 фронтальной стороны основания буровой платформы (рис. 3.19), подвергнутый воздействию сравнительно равномерным по длине элемента, при следующих погонных скоростях и ускорениях жидкости: $v_x = 4,2 \text{ м/с}$; $v_y = 1,2 \text{ м/с}$; $a_x = 1,2 \text{ м/с}^2$; $a_y = 1,8 \text{ м/с}^2$. Эти характеристики соответствуют уровню 28,5 м над дном моря. Диаметр элемента 0,61 м.

Из рисунка следует, что углы, определяющие положение элемента в пространстве, $\theta = 90^\circ$, $\varphi = 135^\circ$.

Подставив эти значения в (3.70), получим $c_x = 0$; $c_y = -0,307$; $c_z = 0,907$.

По формулам (3.69) и (3.71) найдем составляющие нормальных к оси элемента скорости и ускорения движения воды

$$\begin{cases} v_{xz} = 4,2 \text{ м/с}; \quad v_{yz} = v_{zz} = 0,6 \text{ м/с}; \\ a_{xz} = 1,2 \text{ м/с}^2; \quad a_{yz} = a_{zz} = -0,9 \text{ м/с}^2. \end{cases}$$

Далее по формуле (3.68) найдем значение скорости, нормальной к оси элемента, $v_n = 4,38 \text{ м/с}$, и по (3.72) составляющие f_x , f_y , f_z , возьмем $C_{in} = 1$; $C_{in} = 2$; $\rho = 1,026 \cdot 10^3 \text{ кг/м}^3$; $D = 0,61 \text{ м}$:

$$f_x = 0,34; \quad f_y = f_z = 0,26 \text{ кН/м}.$$

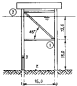


Рис. 3.19. Фронтальная по относению к волнистым сторонам буровой платформы.

Длина элемента, находящегося в воде, $L = 13,5 \sqrt{2} = 19,1$ м. Таким образом, составляющие волновой нагрузки на элемент в вакууме (в предположении постоянства характеристики движения жидкости по длине элемента), определяемые по выражениям (3.74), равны $F_x = 121$; $F_y = -F_z = 5$ кН.

По рис. 3.19 можно заметить, что полученные результаты справедливы в пределах значений углов δ , φ , определяющих положение элемента, а именно при $\delta = -90^\circ$ и $\varphi = 45^\circ$, поскольку выбор горизонтального направления по оси элемента не играет роли в подобных расчетах. Действительно, при таких значениях углов изменяются знаки у c_x и c_y , но значения нормальных к оси элемента составляющих скорости и ускорения, а значит, и нагрузок, не изменяются.

3.6. Максимальные водяные нагрузки на морской гидротехническое сооружение

Полученные выше зависимости для вертикальных колонн и преимущественно ориентированных цилиндров могут быть применены к отдельным элементам сооружения при определении максимальной горизонтальной нагрузки на сооружение от регулярного волнения. Если опорные колонны споружения вертикальные, то действующие на них волновые нагрузки могут быть получены по формулам (3.46) и (3.57), причем первая из них используется, если в качестве расчетной принята теория Эри, а вторая формула отвечает теории Стокса. Если колонна находится в начале координат $x=0$, эти формулы могут быть применены непосредственно для определения нагрузки на колонну в любой момент ωt . Если же колонна находится на расстоянии x_0 от начала координат, формулы должны быть преобразованы, с тем чтобы попутно нагрузку в тот же момент ωt . Так как обусловленное волнением движение всегда зависит только от параметра $\omega t - Ax$, необходимое преобразование заключается в замене ωt на $\omega t - Ax_0$, где k — волновое число.

Горизонтальные волновые нагрузки на остальные элементы сооружения определяются численным интегрированием первого выражения в (3.72) с учетом изменения характеристик движения жидкости по длине элемента. Эта же зависимость должна быть использована для наклонных опорных колонн. Максимальная горизонтальная нагрузка на сооружение находится суммированием линейной в нагрузку от всех отдельных элементов и исследованием суммарной нагрузки в зависимости от ωt . Более детально это показано в примере 3.6-1.

На рис. 3.20 показаны результаты расчетов по изложенной выше методике для небольшой опытной модели, на которой экспериментально изучалось действие регулярных волн различной частоты [35]. Все четыре стояния модели споружения одинаковы; колонны, наклоненные к вертикали на угол 5° , имеют диаметр 5,08 см, диагональные элементы диаметром 2,54 см соединяются с аналогичными им элементами на смежных сторонах. Глубина нади 4,87 м. Расчеты проведены с использованием теории Стокса для волн крутизной, равной 1/20 при $C_{st} = 1$.

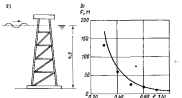


Рис. 3.20. Экспериментальное исследование зависимости суммарной водяной нагрузки от частоты волнения: а — схема модели опоры на бурной платформе; б — результаты исследования.

— расчет; ... — эксперимент.

$C_{st} = 2$. Как видно, результаты экспериментального исследования модели сооружения в зоновом потоке уравновешиваются с расчетными даже при упрощенном выборе значений коэффициентов спиральности C_{sp} и C_{ns} .

Пример 3.6-1. Рассмотрим простое по конструкции сооружение (рис. 3.21) из четырех колонн, соединенных горизонтальными и диагональными связями. Фронтальная и тыловые стороны сооружения одинаковы, также как однаковы и боковые стороны. Определим общую горизонтальную нагрузку на сооружение от волн высотой 5 м, длиной 90 м и при глубине воды 24 м. Опорные колонны имеют диаметр 1,22 м, а горизонтальные и наклонные элементы — 0,61 м. Примем $C_{st} = 1$ и $C_{sp} = 2$.

Максимальная горизонтальная волновая нагрузка на сооружение определяется расчетами при различных значениях ωt . Примем в качестве первого приближения $\omega t = 6,0$. Для упрощения расчетов

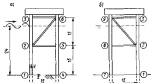


Рис. 3.21. Виды (а) и фронтальная (б) по отношению к волновому воздействию стороны основания бурной платформы.

востановимся теорией Эрн, хотя такие расчеты следовало бы выполнять с использованием более точной теории Стокса. Принятая система осей координат изображена на рис. 3.21.

Вертикальные колонны. Для подсчета волновой нагрузки на вертикальные колонны воспользуемся формулами (3.46)–(3.48). Они выведены для случая, когда колонна находится в сечении $x=0$, а стационарно, непосредственно применимы к колонне $J-3$ при любом значении ωt . Чтобы пополнить в тот же момент времени нагрузку на колонну $4-6$ ($x=15$ м), эти формулы должны быть наценены. Как уже отмечалось, движение воды, обусловленное волниением, определяется только параметром $\omega t - kx$, поэтому в формулах (3.47) и (3.48) достаточно заменить ωt на $\omega t - 15k$. Итак, для колонны $J-3$ получим при $x=0$, $k=0,070 \text{ м}^{-1}$, $\omega=0,800 \text{ рад}/\text{s}$, $H=6 \text{ м}$, $\rho=1,026 \cdot 10^3 \text{ кг}/\text{м}^3$, $\theta=24^\circ$, что $F_{4-3}=1,92(\sin 2\theta + 2k\eta)\cos(\omega t - 15k)\sin \omega t$, где $\eta=24 + 3 \cos(\omega t - 15k)$.

Так как в сооружении при $x=0$ и $x=15$ м имеется по две колонны, суммарная волновая нагрузка из всех четырех колонн равна $F_k = 2(F_{4-3} + F_{4-6})$.

Подставив $\omega t = 6,0$, найдем $F_k = 2(67,5 + 69,5) = 274 \text{ кН}$.

Горизонтальные элементы фронтальной стороны. Горизонтальная погонная волновая нагрузка (в килоньютонах на метр) на горизонтальные элементы фронтальной стороны опорного основания определяется по первой формуле в (3.72) при $\theta = -90^\circ$ и $\varphi = 90^\circ$. Получим

$$f_x = -0,313 \eta_x + 0,600 \eta_y;$$

$$\eta_x^2 = \eta_x^2 + \eta_y^2.$$

Для элемента $J-8$ при $x=0$, $y=15$ м составление скорости и ускорения движения воды находится по формулам (3.7), (3.8) и (3.13) при $\omega t = 6,0$:

$$\eta_x = 1,44 \text{ м}/\text{s}; \quad \eta_y = 0,32 \text{ м}/\text{s}; \quad a_x = 0,33 \text{ м}/\text{s}^2.$$

Эти значения сопряжены на всем протяжении элемента, так как координаты x и y не изменяются вдоль элемента. По этим значениям найдем погонную нагрузку $f_x = 0,863 \text{ кН}/\text{м}$, которая постоянна по длине элемента. Общая горизонтальная нагрузка на этот элемент $F_{J-8} = 0,863 \cdot 15 = 12,94 \text{ кН}$.

Аналогичные расчеты для горизонтального элемента на тыловой стороне опорного основания (пусть этот элемент имеет номер $J-11$) при $x=15$ м, $y=15$ м приводят к результату $F_{J-11} = 10,94 \text{ кН}$.

Наклонные элементы фронтальной стороны. Горизонтальная погонная волновая нагрузка f_x на наклонный элемент,

расположенный с фронтальной стороны опорного основания, определяется по первой формуле в (3.72) при $\theta = -90^\circ$, $\varphi = 45^\circ$:

$$f_x = 0,313 \eta_x + 0,600 \eta_y;$$

$$\eta_x^2 = \eta_x^2 + (1/2) \eta_y^2.$$

Для элемента $2-9$ имеем $x=0$, y , изменяющиеся от уровня 15 м до свободной поверхности воды. Уровень свободной поверхности определяется зависимостью $y = 24 + 3 \cos \omega t$, что при $\omega t = 6,0$ дает $y = 26,9 \text{ м}$. Так как элемент разделен под углом 45° к оси y , длина его части, перпендикулярной волновому возбуждению, равна $(26,9 - 15)/0,707 = 16,8 \text{ м}$. Погонная волновая нагрузка изменяется по длине этого элемента в связи с изменением характеристики движения жидкости по направлению y , следовательно, общая волновая нагрузка на элемент должна находиться путем численного интегрирования. В качестве приближенного поделим отрезок длиной 16,8 м на два участка длиной по 8,4 м и подсчитаем нагрузки f_2 для середины длины каждого участка. Обера для элемента нагрузка подсчитывается затем в пределах каждого отдельного участка.

Результаты приближенных расчетов волновой нагрузки при $\omega t = 6,0$ для элемента $2-9$

x , м	y , м	η_x , $\text{м}/\text{s}$	η_y , $\text{м}/\text{s}$	a_x , $\text{м}/\text{s}^2$	f_x , $\text{кН}/\text{м}$
0	38,0	1,71	0,42	1,15	3,16
0	33,9	2,47	0,67	1,82	3,29

Общая волновая нагрузка на элемент $F_{J-9} = (1,36 + 2,29)8,4 = 28,96 \text{ кН}$.

Аналогичные вычисления для наклонного элемента (например, номер $5-12$) на тыловой стороне опорного основания приводят к результату $F_{J-12} = 15,9 \text{ кН}$.

Наклонные элементы боковой стороны. Горизонтальная погонная нагрузка на наклонный элемент боковой стороны опорного основания определяется по первому из (3.72) выражению при $\theta = 0$, $\varphi = 45^\circ$:

$$f_x = 0,156 \eta_x (\eta_x - \eta_y) + 0,300 (\eta_x - \eta_y);$$

$$\eta_x^2 = (1/2) (\eta_x - \eta_y)^2.$$

У элемента $2-6$ координата y лежит вдоль его оси по пересечению со свободной поверхностью воды.

Уровень свободной поверхности для данного элемента определяется из решения системы уравнений:

$$\left. \begin{aligned} y &= 24 + 3 \cos(\omega t - kx); \\ y &= 15 + x. \end{aligned} \right\}$$

Первое из этих уравнений отвечает уровню свободной поверхности при заданных значениях t и x , второе определяет геометрию элемента.

Исключив из этой системы уравнений y , получим $x = 9 + 3 \cos(\omega t - Ax)$. При $\omega t = 6,0$ решение этого уравнения (полученное итерационным путем) дает $x = 10,55$ м.

Таким образом, подъем свободной поверхности воды у рассматриваемого элемента составляет $15 + 10,55 = 25,55$ м, а часть его длины, подвергнутая волновому воздействию, равна $10,55/0,707 = 14,9$ м. Как и в предыдущем случае, линейная волновая нагрузка изменяется по длине элемента, поэтому общую волновую нагрузку снимим, разделив длину элемента, подвергнутого волновому воздействию, на два участка по 7,45 м. Волновые нагрузки f_y определим для середины обоих участков, а общую нагрузку найдем, помня, что в пределах каждого участка волновые нагрузки распределены равномерно.

Результаты приближенных расчетов волновой нагрузки при $\omega t = 6,0$ для элемента 2–6

x , м	y , м	F_x , кН/м	F_y , кН/м	f_x , m^2/kN^2	f_y , m^3/kN^2	f_z , кН/м
2,64	17,64	1,53	0,66	0,62	-1,94	0,58
7,91	22,31	1,62	1,65	1,42	-1,18	0,78

Общая волновая нагрузка на элемент составляет $F_{2-6} = (0,58 + 0,78)7,45 = 10,13$ кН. Аналогичные результаты могут быть получены для такого же наклонного элемента (например, имеющего номер 8–12) на противоположной боковой стороне опорного основания, т. е. $F_{8-12} = 10,13$ кН.

Суммарная волновая нагрузка на опорное основание. Верхние горизонтальные элементы опорного основания не подвержены воздействию волны, а следовательно, не участвуют в формировании волновой нагрузки. Нижние горизонтальные элементы на боковых сторонах сооружения параллельны направлению распространения волны, и значит, тоже не испытывают волновой нагрузки. Суммарная волновая нагрузка на сооружении при $\omega t = 6,0$ находится сложением нагрузок на спиральные колонны и рассмотренные выше элементы, что дает 363 кН.

Для находления максимального значения суммарной горизонтальной нагрузки на сооружение весь показанный здесь выделительный процесс можно был проведен при различных значениях ωt . Поступив таким образом, можно найти, что горизонтальная нагрузка на сооружение имеет максимальное значение при $\omega t = 5,8$ и составляет 366 кН.

3.7. Применение волновых нагрузок к узловым

Расчеты опорных оснований морских гидротехнических сооружений, имеющих вид пространственных ферм, методами, изложенными в главе 2, требуют применения распределенных волновых нагрузок к эквивалентным узловым силам и моментам (см. параграф 2.4). Для определения этих усилий обычно устанавливают тот момент вспомогательного шарнира, при котором волновые нагрузки достигают максимума. Вслед каждого отдельного элемента и узловую нагрузку находитс

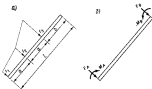


Рис. 3.22. Квадро-трапециевидная волновая нагрузка на элемент (А) и соответствующие ей узловые нагрузки (Б).

с использованием упрощенного представления о распределении волновых нагрузок по всей длине элемента или его участков. Узловая нагрузка подразумевается как сумма узловых усилий, передаваемых узлу от всех соединяющихся к нему элементов.

Способ приведения к узловой равномерно распределенной нагрузке был рассмотрен в главе 2. На рис. 3.22 рассмотрен более общий случай распределения нагрузки по длине элемента. Нагрузка на ненагруженном участке на элементе позволяет применять полученные зависимости к рассмотрению верхних элементов сооружения, которые подвергены волновому воздействию лишь на некоторой части их длины.

Узловые нагрузки (см. рис. 3.22, Б) могут быть определены следующим образом:

$$F_A = \frac{p_1 \pi B^2}{2l^3} (3l - 2b) + \frac{p_2 B a^2}{l^3} (l - b) + \frac{p_3 a^4}{4l^5} (l - 2b) - \frac{p_4 a^4}{10l^5};$$

$$M_A = \frac{p_1 \pi B^3}{2l^2} (l - b) + \frac{p_2 B a^2}{l^2} (2l - 3b) + \frac{p_3 a^4}{12l^3} (l - 3b) - \frac{p_4 a^4}{20l^3};$$

$$F_B = \frac{p_1 \pi}{2} - F_A;$$

$$M_B = \frac{p_1 \pi b}{2} + \frac{p_2 a^2}{6} = F_A l + M_A;$$

где

$$p_1 = f_1 + 2f_2 + f_3; \quad p_2 = 5f_1 + 6f_2 + f_3;$$

$$p_3 = 17f_1 + 14f_2 + f_3; \quad p_4 = 49f_1 + 30f_2 + f_3.$$

Рассмотренный бианалитический закон распределения нагрузок представляет лучшую возможность для более точного ее описание, чем

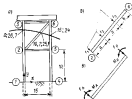


Рис. 3.23. Схема внешней и заданных нагрузок в момент, соответствующий максимальной волнистой нагрузке (а); аксионная волнистая нагрузка на элемент 2–6 (б) и узловые нагрузки на этом элементе (в).

Выполним рассмотрение наклонной элемент 2–6. В момент $\varphi = 5,8$ сплошная поверхность земли пересекается с этим элементом на уровне 23,96 м. Эпюра волнистой нагрузки на элемент показана на рис. 3.23, б, прием *a* и *b* (с учетом наклона элемента под углом 45° к вертикали) равны соответственно 7,14 и 6,93 м.

Нормальные к оси элемента интенсивности нагрузки, определенные по (3.73),

$$f_1 = 0,678 \text{ кН/м} \quad (x=0; y=15 \text{ м});$$

$$f_2 = 0,905 \text{ кН/м} \quad (x=5,05; y=20,05 \text{ м});$$

$$f_3 = 0,891 \text{ кН/м} \quad (x=10,1; y=25,1 \text{ м}).$$

Соответствующие им узловые нагрузки находятся по вышеприведенным формулам

$$F_A = 8,36 \text{ кН}; \quad M_A = 29,83 \text{ кН·м};$$

$$F_B = 3,87 \text{ кН}; \quad M_B = 20,75 \text{ кН·м}.$$

Разложим эти нагрузки на составляющие в направлении осей *x* и *y* в приемах положительными моментами, действующие по ходу часовой стрелки (в соответствии с приемами, принятыми в главе 2), получим

$$F_{2x} = 5,87 \text{ кН}; \quad F_{2y} = -5,87 \text{ кН}; \quad M_2 = 29,83 \text{ кН·м};$$

$$F_{3x} = 2,76 \text{ кН}; \quad F_{3y} = -2,76 \text{ кН}; \quad M_3 = -20,75 \text{ кН·м}.$$

линейный закон изменения нагрузки в пределах всей длины элемента. При неизменности числа участков с линейно изменяющимися параметрами волнистой нагрузки, может быть ограничен и большим.

Пример 3.7–1. Приведем к узловым волнистым нагрузкам на элементах одной из сторон однородного основания, рассматриваемого в примере 3.6–1. Горизонтальные волнистые нагрузки достигают максимума при $\varphi = 5,8$. Поверхность земли, отвечающая этому моменту времени, показана на рис. 3.23, а.

Аналогично приводятся к узловым нагрузкам на остаточных звеньях:

$$F_{1x} = 10,94 \text{ кН}; \quad M_1 = 29,29 \text{ кН·м};$$

$$F_{2x} = 1,50 \text{ кН}; \quad M_2 = -33,76 \text{ кН·м};$$

злемент 2–3

$$F_{3x} = 28,73 \text{ кН}; \quad M_3 = 81,63 \text{ кН·м};$$

$$F_{4x} = 24,55 \text{ кН}; \quad M_4 = -81,63 \text{ кН·м};$$

злемент 4–5

$$F_{5x} = 14,90 \text{ кН}; \quad M_5 = 39,32 \text{ кН·м};$$

$$F_{6x} = 18,15 \text{ кН}; \quad M_6 = -43,39 \text{ кН·м};$$

злемент 5–6

$$F_{7x} = 25,09 \text{ кН}; \quad M_7 = 62,78 \text{ кН·м};$$

$$F_{8x} = 10,27 \text{ кН}; \quad M_8 = -40,27 \text{ кН·м};$$

злемент 2–5

$$F_{2y} = -1,20 \text{ кН}; \quad M_2 = 1,42 \text{ кН·м};$$

$$F_{5y} = 1,29 \text{ кН}; \quad M_5 = 1,70 \text{ кН·м}.$$

В дополнение к найденным узловым нагрузкам необходимо определить выклы от элементов, расположенных на фронтальной и тыльной сторонах сооружения. Не будем учитывать здесь силы и моменты, действующие на плоскость чертежа, – они не нужны при использовании двухмерной схемы сооружения. Нагрузки на приемоиздевентом к узлу 2 горизонтальном элементе фронтальной стороны находятся интегрированием выражения (3.75). При этом горизонтальная составляющая радиобалансовой нагрузки равна 14,14, а вертикальная – 3,83 кН. На узел 2 от этого элемента передается половина нагрузки, т. е. дополнительные узловые нагрузки в узле 2 составляют $F_{2x} = 7,07$; $F_{2y} = -1,91$ кН.

Аналогичным образом находятся дополнительные узловые нагрузки в узле 2 от волнистой нагрузки на аксионном элементе фронтальной стороны $F_{2x} = 14,46$; $F_{2y} = -0,93$ кН.

Узловые нагрузки от горизонтального и наклонного элементов тыльной стороны, проекционные на узлу 5, находятся тем же способом и равны $F_{5x} = 11,92$; $F_{5y} = 5,20$ кН.

Таблица 3.12. Узловые нагрузки от волнистого воздействия

Узел	F_x , кН	F_y , кН	M , кН·м
1	10,94	0	31,29
2	70,72	-9,92	79,19
3	34,55	0	-81,63
4	14,90	0	39,32
5	55,15	6,49	21,15
6	13,03	-2,36	-61,02

Результаты суммирования вкладов в узловые нагрузки от отдельных элементов сведены в табл. 3.12.

На наливные элементы фронтальной и тыловой сторон сооружения, которые приходятся к узлам 2 и 5, действуют еще нагрузки, равные соответственно 1,87 и 4,24 кН. Эти нагрузки действуют вне плоскости чертежа и не учитываются в двухмерной схеме сооружения.

3.8. Силы поддержания

Действие жидкости на полностью или частично погруженный объект обусловлено весом расстоянной выше воды и ее движением вокруг объекта, связанным с волнением. Так, выражение (3.15) позволяет определить давление в тех случаях, когда используется теория волны Зора. Одним из проявлений воздействия наружного давления на погруженные в воду элементы морских гидротехнических сооружений является возникновение в этих элементах напряжения, которые не привышаются во внимание в расчетах, изложенных в главе 2. Этот вопрос рассматривается в главе 4. Другим проявлением воздействия давления является оказываемые горизонтальные и вертикальные нагрузки, обусловленные изменениями и предсказанные в обобщенном уравнении Моресона (3.72). Кроме того, существуют еще силы поддержания, также связанные с гидростатическим давлением:

$$\rho = \gamma(b - y), \quad (3.76)$$

где τ — удельный вес воды; b — глубина акватории; y — расстояние по вертикали от дна. Эти силы существуют лишь при отсутствии волнения и должны быть учтены отдельно.

Для определения сил поддержания рассмотрим тело произвольной формы (рис. 3.24), в котором видим вертикальный элемент высотой $y_2 - y_1$ с основанием площадью A . Силы, связанные с элементами за торами элемента, равны произведением этих элементов на площадь A . Использовав зависимость (3.76), найдем равнодействующую вертикальных сил:

$$dF = dF_1 - dF_2 = \tau(y_2 - y_1)dA$$

и выталкивающую силу для тела в целом

$$F = \gamma \int (y_2 - y_1)dA = \gamma V, \quad (3.77)$$

где V означает объем воды, вытесненной телом. Аналогичные подсчеты с использованием горизонтальных элементарных объемов показывают,

что суммарное горизонтальное усилие на тело равно нулю. Итак, гидростатическое давление на тело вызывает появление выталкивающей силы, равной весу воды, вытесненной телом (закон Архимеда). Этот вывод верен и при частичном погружении тела в воду.

При подсчетах сил поддержания у морских гидротехнических сооружений удобно обобщить эти силы с собственным весом сооружения и трактовать результатирующую силу как эффективный вес. В частности, если W означает вес сооружения в воздухе, то нетрудно убедиться, что эффективный его вес в воде

$$W' = W - \gamma V, \quad (3.78)$$

где V — объем погруженной в воду части сооружения.

Эта формула справедлива для сооружения в целом. Определенная острорезость, однако, должна быть проявлена при использовании ее для линейного подсчета наружного состояния отдельных элементов. Для иллюстрации рассмотрим колонну (рис. 3.25), разделенную на два элемента: 1—2 и 2—3. Вес (в воздухе) элементов, находящихся выше и ниже дна, обозначен соответственно через W_1 и W_2 . Пусть грунт в основании водонапорный, а горовое давление равно гидростатическому, т. е. такое же, как при отсутствии грунта. Сила поддержания, действующая на нижний торец колонны, равна в таком случае τA ($A = d$), где d — площадь торца подверженного действию гидростатического давления. Но эта сила равна весу воды, вытесненной колонкой, а значит, ее эффективный вес равен разнице фактического веса и веса вытесненной воды. Однако, поскольку сила поддержания действует только на торец колонны, то эффективный вес элемента 2—3, находящегося над дном, равен его фактическому весу, что и показано на рис. 3.25. Этот вывод имеет существенное значение при определении узловых нагрузок на сооружение от собственного веса и сил поддержания.

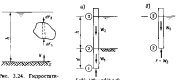


Рис. 3.24. Гидростатические нагрузки на тело, погруженное в жидкость.

Рис. 3.25. Силы поддержания и собственный вес, действующие на колонку (6) и ее элементы (6).

Пример 3.8-1. Определить узловые нагрузки для рамы на рис. 3.36, обусловленные собственным весом металлической конструкции и силами поддеражания, соответствующими моменту, в который наименьшие нагрузки достигают максимума (при $\omega t = 5,8$). Все четыре стороны сооружения однаковы, причем наименший элемент на фронтальной стороне привязан к узлам 2 и 5. Положение воды в момент $\omega t = 5,8$ показано на рисунке. Вертикальные элементы имеют наружный диаметр 1,22 м и толщину стены 3,81 см, горизонтальные и наклонные элементы имеют диаметр 0,61 м и толщину стены 1,27 см.

Начнем с рассмотрения наихудшего элемента 2-6. Он подвергается неизменным водой (всплытию-погружению), т. е. его собственный вес определяется как произведение удельного веса стали (76 kN/m^3) на объем стали в элементе ($0,512 \text{ m}^3$), что дает $38,95 \text{ kN}$. Так как элемент наклонен на 45° относительно вертикали, этот вес должен быть разложен на нормальную к оси элемента составляющую, равную по $27,54 \text{ kN}$. Более того, эти составляющие распределены по длине элемента равномерно, так что приведение их к узловым нагрузкам может быть проделано в соответствии с результатами, приведенными на рис. 2.28. Приведение собственного веса элемента к узловым нагрузкам показано на рис. 3.27, а.

При подсчете силы поддержания У элемента отметим, что в момент $\omega t = 5,8$ свободная поверхность воды пересекается с элементом на расстоянии 14,28 м от узла 2 (см. рис. 3.26). Сила поддержания создается только на этом участке элемента и равна произведению удельного веса воды ($10,05 \text{ kN/m}^3$) на объем воды, вытесненную элементом (4,24 м³), что дает $42,66 \text{ kN}$. Эта вертикальная сила имеет нормальную к касательной к оси элемента составляющую, равную по $30,16 \text{ kN}$ и распределенную равномерно по длине погруженной в воду части элемента. Узловые усилия от нормальных составляющих могут быть определены по формулам параграфа 3.7, а от касательной – по формулам к рис. 2.28. Результаты приведения этой нагрузки к узловым силам показаны на рис. 3.27, б. Сложение узловых нагрузок от собственного веса элемента и силы поддержания (рис. 3.27, в) получим их синтез в виде составляющих, действующих вдоль и поперек оси элемента, а затем в виде горизонтальной и вертикальной составляющих. Эти узловые нагрузки передаются на узлы 2 и 6 в рамы.

Узловые нагрузки от собственного веса и сил поддержания для остальных элементов боковой стороны сооружения могут быть подсчитаны тем же способом. Заметим, что из вертикальных элементов 1-2, 2-3 и пруты силы поддержания не действуют, так что узловые нагрузки от этих элементов создаются только собственным весом (164,12 кН). Это положение остается и если независимо от того, будет ли элемент заполнен водой или нет, так как давление столба воды внутри элемента уравновешивается водой, находящейся в нем выше уровня морского дна. Для элемента 1-2, например, вертикальные и направляющие винты силы, действующие в узлах 1 и 2, равны по $82,06 \text{ kN}$ (см. рис. 2.28). Так как расположенный в средней по высоте части сооружения элемент 2-5 полностью погружен в воду, его эффективный вес равномерно распределен

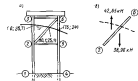


Рис. 3.26. Схема сооружения и положение воды, при котором определяются силы поддержания и собственного веса (а), силы веса в поддержании на элементе 2-6 (б).

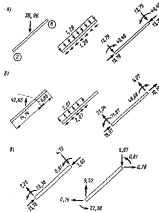


Рис. 3.27. Нагрузки на элемент 2-6: а – от собственного веса; б – от силы поддержания; в – суммарные, приведенные к узловым.

Таблица 3.13. Узловые нагрузки от собственного веса и сил поддержания

Узел	F_x , кН	F_y , кН	M , кН·м
1	0	-81,84	0
2	-0,36	-132,1	-44,1
3	0	-199,4	35,0
4	0	-81,84	0
5	0	-146,8	21,7
6	0,36	-115,2	-35,8

по длине элемента. Поставив, что этот элемент не погружен водой, найдем по формуле (3.78), что его эффективный вес равен 17,12 кН и направлен вверх. Соответствующая ему распределенная нагрузка равна 1,14 кН/м. В узлах 2 и 5 действуют узловые силы по 8,56 кН, направленные вверх, и моменты, равные 21,7 кН·м (в узле 2 момент направлена против хода часовой стрелки, а в узле 5 — по ходу). В противоположность этому на элемент 3–6 силы поддержания не действуют, так как он не погружен в воду, и равномерно распределенная по его длине нагрузка от собственного веса (1,81 кН/м) эквивалентна узловым силам в узлах 3 и 6, равным по 13,78 кН и направленным вниз, а также моментом по 35 кН·м (в узле 3 по ходу часовой стрелки, в узле 6 — против хода).

Наконец, узловые нагрузки от эффективного веса элементов фронтальной к тыльной стороне сооружения подсчитываются в предположении, что эти веса передаются узлами на боковых сторонах перекрытия. Так, эффективный вес элементов 2–9 равен 10,18 кН и направлен вверх, так что его вклад в узловую силу узла 2 составляет 5,09 кН. Аналогично вклад элемента 2–8 в вертикальную узловую нагрузку в узле 2 равен 6,58 кН (вверх), а вклад в узловую нагрузку в узле 3 от элемента 3–9 составляет 13,78 кН (вниз). Наклонный и горизонтальный элементы тыльной стороны, присоединяющиеся к узлу 5, создают в этом узле нагрузку, равную 0,26 кН и направленную вниз, а горизонтальный элемент той же стороны, присоединенный к узлу 6, вызывает в этом узле вертикальную и направленную вниз нагрузку 13,78 кН.

Суммируя по узлам приведенные выше значения, получим узловые нагрузки, обусловленные собственным весом и силами поддержания, которые представлены в табл. 3.13.

3.8. Нагрузки от течения

Течения относятся к сравнительно постоянным по характеру движением масс воды, являющимся результатом приливных явлений, ветрового нагона, речного стока. Чаще всего течения, которые учитываются в расчетах морских гидротехнических сооружений, связаны с приливами и ветровым нагоном. Как в одном, так и в другом случае течения обычно захватывают горизонтальными по направлению и изменениями с увеличением глубины.

Величина и направление приливного течения на поверхности воды обычно определяются по измерениям в натуральных условиях в предполагаемом месте расположения сооружения. При этом направление течения

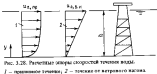


Рис. 3.26. Равноточные изобары скорости течения воды.

1 — прямолинейное течение; 2 — течение от ветрового нагона.

изменяется соответственно подъему или понижению уровня воды. В пропорциональность этому течению от ветрового нагона обычно оценивается расчетным путем, причем полагается, что скорость такого течения равно 1% скорости ветра за высоте 10 м над поверхностью воды. В некоторых расчетах часто полагают, что изменение скорости прямолинейного течения до глубины может быть одиночной зависимостью $U_{\text{сп}} = -U_{0, \text{сп}}(y/k)^{1/2}$, а изюра скоростей течения от ветрового нагона линейная [32] и отвечает зависимости $U_{0, \text{вн}} = U_{0, \text{вн}}(y/k)$, где все обозначения показаны на рис. 3.26.

В циркуляционных условиях течения существуют вместе с циркуляцией волны, обусловленные волнением. Направление прямолинейного течения может, конечно, не совпадать с направлением распространения волны. Однако направление течения от ветрового нагона всегда совпадает с направлением распространения волны.

Поверхностные волны, существующие вместе с течением, отличаются от волн при отсутствии течения. Можно сказать, что различие этих волн зависит от соотношения скорости течения и скорости распространения волны. Для равноточных волн, отвечающей условиям экстремального шторма, это соотношение объема достаточно мало, что позволяет преодолеть влияние течения на волнение. Таким образом, для расчетного регулярного волнения и пренебрегая изменяющимся с увеличением глубины течения определение нагрузок на сооружение обычно выполняется путем сложения горизонтальных скоростей воды, обусловленных волнением, с составляющей скорости течения в направлении распространения волны. По этой суммарной горизонтальной скорости, а также вертикальной скорости и двум составляющим ускорения частицы воды и определяется максимальная нагрузка на сооружение и узловые усилия по методике, изложенной в параграфах 3.6 и 3.7.

3.10. Дополнительные внешние нагрузки

Ледовые нагрузки могут играть существенную роль в отдаленных районах эксплуатации сооружений, а особенно в полярных районах, где ледовые поля имеют большую толщину и перемещаются вместе с приливами, ссыпаясь на опорные колонны сооружения значительное давление (рис. 3.29).

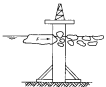


Рис. 3.29. Воздействие льда на опору.

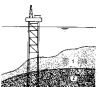


Рис. 3.30. Воздействие льда на опору.
1 — мягкие отложений; 2 — уплотненные отложения.

Усилие F , возникающее при разрушении льда сооружением, может быть определено по зависимости

$$F = C_f f_g A, \quad (3.79)$$

в которой f_g — прочность льда на раздробление; C — коэффициент пропорциональности; A — площадь контакта смыки с ледяным покровом. Типичные значения C лежат в пределах от 0,3 до 0,7, а для f_g они находятся в пределах от 1,4 до 3,5 МПа. При отсутствии необходимых экспериментальных данных значение Cf_g можно принять равным 2,5 МПа, что является экстремальным условием. Если толщина льда t_l , то диаметр спиральной колонны D_s то диаметр A может быть принят равной πD_s , что означает экстремальным условием. Поскольку приведенные кавычками связи никогда со значительно измененными уровнями спокойной воды, то при подаче ледовых нагрузок следует иметь в виду не только величину самой нагрузки, но и возможное место расположения ее к сооружению.

Нагрузки от камасов могут возникнуть в результате скопления камасов по подстилающим грунтам на месте эксплуатации сооружений, в особенностях в районах речных дельт, где мягкие грунты постоянно выносятся вместе с речным стоком (рис. 3.30).

Нагрузка на единицу длины спиральной колонны, прорезающей скользящий слой камасов, находится по формуле

$$f = N \tau D, \quad (3.80)$$

где N — коэффициент пропорциональности; τ — время прочности грунта на сдвиг; D — диаметр колонны. Типичные значения N лежат в пределах от 7 до 9. Прочность на сдвиг мягких отложений обычно устанавливается экспериментальным путем по испытаниям образцов, взятых на месте эксплуатации сооружения. Типичные его значения находятся в пределах от 5 до 10 МПа.

Так как слой камасов может быть достаточно мокрым, то нагрузки от них на опорные колонны обычно рассматриваются как распределенные. В этом смысле отличается от ледовых нагрузок, которые, как правило, имеют относительно небольшие толщины для считанных сопротивлений.

Задачи

1. Определить радиус действия R ледовой нагрузки на маки (рис. 3.31) в ее отношении к заданной верхней строительной скорости при расчетной опасной волне 10 м/с (с учетом варирования).

Верхняя строительная волна I имеет размеры 12 × 12 × 4,5 м, а диаметр 3 м в высоту 6 м.

Ответ: $R = 318$ м; $R = 2,73$ км.

2. Определить период волны Зре, имеющей длину 150 м и распространяющуюся со скоростью спокойной 30 м.

Ответ: $T = 10,6$ с.

3. Определить длину волны Зре, имеющей период 9 с и распространяющейся со скоростью спокойной 25 м.

Ответ: $\lambda = 112$ м.

4. Для волны, описанной в задаче 2, определить максимальную горизонтальную скорость частицы жидкости на гребне, волна имеет высоту волны H равной 6 м.

Ответ: $v_x = 2,32$ м/с.

5. Определить при условиях, заданных в задаче 2, скорость распространения волны c .

Ответ: $c = 13,68$ м/с.

6. Используя теорию Зре, определить горизонтальные составляющие скорости и ускорения (размахи частей волны при $x = 15$ м, $y = 6$ с, $\theta = 27$ м). Относительная волнистость поверхности волны принимается фиксированной (3,6), при этом $H = 6$ м; $c = 0,0593$ м/с; $\omega = 0,732$ ради/с.

Ответ: $v_x = -1,90$ м/с; $v_y = 0,529$ м/с.

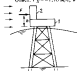


Рис. 3.31. К задаче 3.31.

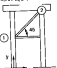


Рис. 3.32. К задаче 3.32.

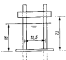


Рис. 3.33. К задаче 3.33.

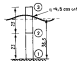


Рис. 3.34. К задаче 3.34.

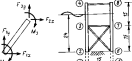


Рис. 3.35. К задаче 3.35. Рис. 3.36. К задаче 3.36.

7. Для условия задачи 6 определить вертикальные составляющие скорости и ускорения.

$$\text{Ответ: } u_y = 0,642 \text{ м/с; } a_y = 1,235 \text{ м}^2/\text{с}^2.$$

8. Используя теорию Стокса, определить волновые параметры пробки волны высотой $H = 18$ м, длиной $\lambda = 250$ м, распространяющейся из акватории глубиной 100 м. Ответ: 11,5 м.

9. Определить верхней волны Стокса, параметры которой заданы в задаче 8.

$$\text{Ответ: } T = 12,4 \text{ с.}$$

10. Для волны Стокса, описанной уравнением свободной поверхности в виде (3.18), определить горизонтальные составляющие скорости и ускорений движущих частиц волны при $x = 0$, $y = 15$ м, $z = 6,0$. Высота волны 10,7 м, длина 115 м и распространяется из акватории глубиной 23 м.

$$\text{Ответ: } u_x = 2,84 \text{ м/с; } a_x = 0,32 \text{ м}^2/\text{с}^2.$$

11. Для условий задачи 10 определить вертикальные составляющие скорости и ускорения.

$$\text{Ответ: } u_z = 0,68 \text{ м/с; } a_z = -1,26 \text{ м}^2/\text{с}^2.$$

12. Определить амплитуду горизонтальной волны высотой $H = 3$ м и длиной 100 м, распространяющейся из акватории глубиной 12 м.

$$\text{Ответ: } \eta = 1,8 \text{ м.}$$

13. Определить верхней волны, параметры которой заданы в задаче 12.

$$\text{Ответ: } T = 10,6 \text{ с.}$$

14. Определить максимальную нагрузку на палубу диаметром 1,22 м, которая распространяется от берегового щита до уровня, превышающего изолированную поверхность моря при воздействии волн Зре высотой 6 м и длиной 90 м. Глубина воды 14 м. Принять $C_{\text{эк}} = 1$; $C_{\text{шв}} = 2$. Ответ: 16 кН.

15. Определить максимальную горизонтальную нагрузку $x \times$ момент отката палубы окации на колонну диаметром 2,44 м, которая распространяется от берегового щита до уровня, превышающего изолированную поверхность моря при воздействии волн Зре высотой 6 м и длиной 230 м. Глубина воды Стокса высотой 21,5 м и длиной 230 м. Глубина воды 46 м. Принять $C_{\text{эк}} = 1$; $C_{\text{шв}} = 2$.

$$\text{Ответ: } 2,11 \text{ МН}; 22,1 \text{ МН} \cdot \text{м.}$$

16. Определить горизонтальную и вертикальную антизатопляемость погодной волнистой нагрузки на средней по длине части элемента 1–2 башенной стены спортивных яхт, изображенной на рис. 3.32. Диаметр элемента 0,65 м. Параметры плюсовых вод, обусловленного волнением: $u_y = 6,17 \text{ м/с}$; $u_x = 1,18 \text{ м/с}$; $a_x = 1,22 \text{ м}^2/\text{с}^2$; $a_y = -2,06 \text{ м}^2/\text{с}^2$. Принять $C_{\text{эк}} = 1$; $C_{\text{шв}} = 2$.

$$\text{Ответ: } f_x = -f_y = 1,9 \text{ кН/м.}$$

17. Определить составляющие f_x и f_y для элемента 1–2, рассматриваемого в предыдущей задаче с учетом циклическим и волновому воздействиям течения со средним 0,67 м/s.

$$\text{Ответ: } f_x = -f_y = 2,4 \text{ кН/м.}$$

18. Для спортивных с четырьмя палубами яхтами диаметром 0,91 м определить максимальную горизонтальную волновую нагрузку и момент ее выступления (кН). Все стороны спортивной единицы, одна из них изображена на рис. 3.33. Волны Зре имеют высоту 4,5 м и длину 67,2 м. Глубина воды 18 м. Принять $C_{\text{эк}} = 1$; $C_{\text{шв}} = 1$.

$$\text{Ответ: } F = 121 \text{ кН}; \eta = 5,6.$$

19. Определить уловые нагрузки на вертикальный элемент 1–2–3 диаметром 1,83 м (рис. 3.34) при воздействии волн Зре высотой 9 м, длиной 135 м при глубине воды 36 м. Принять $\eta = 0$; $\omega = 5,8$; $C_{\text{эк}} = 1$; $C_{\text{шв}} = 2$.

$$\text{Ответ: } F_{1,x} = 37 \text{ кН; } M_1 = 148 \text{ кН}\cdot\text{м; } F_{2,x} = 146 \text{ кН; } M_2 = 242 \text{ кН}\cdot\text{м; } F_{3,x} = 85 \text{ кН; } M_3 = 412 \text{ кН}\cdot\text{м.}$$

20. Горизонтальный элемент морского патрульно-пограничного сооружения в виде стальной брусы шириной диаметром 0,91 м и толщиной стены 12,7 см изолируется полностью под водой и во внутрене. Определить разрушающую горизонтальную нагрузку (от собственного веса и сил поддержания) на правую длину элемента. Удельный вес стали принять равным 76 кН/м³.

$$\text{Ответ: } 3,85 \text{ кН/м (шведка).}$$

21. Наклонный элемент сечениями в виде стальной трубы наружным и внутренним диаметрами, различными соответственно 0,61 и 0,58 м, в длине 215,5 м (рис. 3.35) находятся полностью в морской воде и во внутрене. Определить уловые нагрузки от собственного веса элемента и действующих на него сил поддержания.

$$\text{Ответ: } F_{1,y} = F_{2,y} = 0; F_{3,y} = F_{4,y} = 8,3 \text{ кН; } M_1 = -M_2 = 21,2 \text{ кН}\cdot\text{м.}$$

22. Двухстороннее ограждение спиралей на наливных парусах диаметром 4,5 м. Определить максимальную нагрузку на каждую колонну при прорыве со стороны вала толщиной 1,0 м. Предел прочности лада 2,0 МПа.

$$\text{Ответ: } 9 \text{ кН.}$$

23. Свайный пилон диаметром 6 м называемый за штык затянутых в грунт колоннами диаметром 1,2 м. Платформа предо просчитана за сдвиг у стыков решеток 10 кН/м. Определить суммарную нагрузку на колонны. Коэффициент пренебрежимости N принять равным 9.

$$\text{Ответ: } 3,89 \text{ МН.}$$

24. Определить максимальную линзовую горизонтальную нагрузку и соответствующий ей момент от, действующей на металлическое опорное ограждение обелиска Зре высотой 7,5 м и длиной 103 м. Все четыре опоры сооружения однаковые, одна из них показана на рис. 3.36. Вертикальные элементы имеют диаметр 1,22 м и стеки толщиной 3,61 см; горизонтальные и наклонные элементы имеют диаметр 0,61 м и стеки толщиной 1,27 см. Принять $C_{\text{эк}} = 1$; $C_{\text{шв}} = 2$.

25. Определить уловые нагрузки от волн при ухудшении, заданных в задаче 24.

26. Определить уловые нагрузки от собственного веса и сил поддержания для сооружения, рассмотренного в задаче 24, полагая горизонтальными и наклонными элементы изолированными водой.



Процесс погружения ферменного основания.



4. МЕТОДЫ СТАТИЧЕСКОГО РАСЧЕТА

В главе 3 излагались методы инженерного описание основных воздействий окружающей среды на гидротехнические сооружения континентального шельфа. Максимальные значения нагрузок от этих воздействий, соответствующие конкретным условиям в районе эксплуатации сооружений, могут быть использованы в расчетах методами строительной механики, описанными в главе 2, для определения способности проектируемого сооружения противостоять внешним воздействиям. Таким представлением о работе сооружения не учитывается инерционные силы, возникающие из-за ускорений элементов сооружения при общем изменении его во времени нагрузках; в связи с этим расчет сооружения называется статическим. Настоящая глава посвящена описание деталей этого вида расчета применительно к стальными и бетонным сооружениям. Рассматриваются также вопросы, связанные с Наружным давлением воды на цилиндрические элементы и с разрушением узловых соединений; они могут иметь особое значение при оценке эффекта от динамического характера воздействий.

4.1. Расчетные воздействия окружающей среды

Проектирование гидротехнических сооружений на континентальном шельфе находится в зависимости от разнообразных неблагоприятных воздействий окружающей среды. Для большинства сооружений наиболее опасные нагрузки возникают в условиях экстремального шторма в районе эксплуатации сооружения. Исключения возможны в полярных районах, где причиной разрушения сооружений могут стать обширные поля лежащего льда, или в сейсмически активных районах, где наибольшую опасность могут представлять землетрясения, но исключительно случаи наиболее неблагоприятных нагрузок возникают при штормовых условиях.

За расчетные обычно принимаются экстремальные штормовые условия, имеющие повторяемость один раз в 100 лет. Параметры расчетного шторма назначаются в соответствии с методами, приведенными в главе 3. Поверхностные волны, учитываемые в статических расчетах обычно характеризуются максимальной высотой и длиной регулярного волнения. Назначение этих параметров может быть учтено при более детальном

Таблица 4.1. Расчетные значения параметров шторма и возмущения платформы, принимаемые для отдаленных морских районов США [38]

Район	Высота волны, м	Длина волны, м	Возмущение платформы над водой, м	Скорость ветра, м/с
Мексиканский залив	21	250	14,5	45
Залив Кука (Аляска)	18	240	17,0	45
Пролив Св. Барбры (Калифорния)	16	220	11,5	34

изучения конкретных условий [1]. В табл. 4.1 приведены некоторые характеристики расчетного шторма, принятые для отдаленных прибрежных районов США.

Помимо назначения расчетных параметров ветрового и волнового воздействия необходимо учесть возмущения в районе эксплуатации сооружения морские приливы, возникающие как в результате шторма, так и под влиянием притяжения Луны. Это требуется для того, чтобы назначить такое возмущение верхнего строения над уровнем моря, при котором максимальное воздействие на него штормовых волн. Типичные возмущения платформы указаны в табл. 4.1 вместе с данными о высоте волн. Для Мексиканского залива указанное возмущение отличается от высоты уровня воды, отмечаемого при приливно-отливных явлениях, а для залива Кука и пролива Св. Барбры, где колебания уровня при приливах несет более сложный характер, — от уровня, находящегося ниже низкого уровня отлива.

Наконец, на основании изучения местных условий должны быть санкции расчетные скорости течения, которые следует добавлять к скоростям движения воды, вызванного волнистым движением. Особую роль могут играть дрейфовые течения, связанные с действием штормового ветра на волну поверхности. В некоторых районах могут иметь значение также течения, связанные с пристанями и речным стоком.

4.2. Расчеты стальных сооружений морского шельфа как рамных систем

Стальные сооружения морского шельфа обычно имеют сплошные основания пирамидальной формы, как это было показано в табл. 1. Характерный пример такого сооружения приведен на рис. 4.1. Оно представляет собой стальную опорную основание, которое собирается на берегу, бусируется к месту постановки на грунт, устанавливается в вертикальном положении и закрепляется в грунте с помощью трубчатых свай, забиваемых в грунт через плавные колонны спирального основания; перед тем как спиральное основание устанавливается готовое верхнее строение — платформа с оборудованием.

Опорное основание обычно собирается из цилиндрических стальных элементов, используемых как для вертикальных колонн, так и для

перекрестных связей. Опорные колонны обычно вертикальные за исключением расположенных по внешнему контуру, которые, как правило, изогнуты, с тем чтобы сопротивляться изгибу в нижней части спирального основания, способствующему сопротивляемости сооружения воздействию горизонтальных нагрузок. Обычно отклонение колонн от вертикали не велико, но более 10°, что не затрудняет установку опорного основания на морское дно. Использование свай предполагает две цели: во-первых, обеспечить передачу на грунт вертикальных нагрузок от верхнего строения и, во-вторых, придать сооружению устойчивость от воздействия горизонтальных нагрузок. В качестве свай обычно применяются стальные трубы диаметром от 1,2 м и более при общем стоке от 25 м и более. Для надежной передачи нагрузок на грунтовое основание сваи проникают за глубину в него на 60 м и более.

Для расчета проектируемого опорного основания с целью передачи его способности противостоять воздействиям окружающей среды сначала с помощью метода, изложенного в главе 3, оцениваются максимальные нагрузки от ветро-волнистых и других воздействий, затем эти нагрузки складываются с эксплуатационными и устанавливаются максимальные суммарные нагрузки на сооружение. Если учесть, что динамический характер многих воздействий не имеет существенного значения (см. параграф 4.10), эти нагрузки могут быть использованы в качестве расчетных при определении методами строительной механики, изложенным в главе 2, максимальных значений напряжения в отдельных элементах сооружения. Если размеры элементов назначены удовлетворительно, напряжения окажутся в допускаемых пределах.

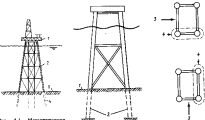


Рис. 4.1. Максимальная буровая платформа на морском основании фундаментного типа.

1 — верхняя строительная; 2 — опорное основание; 3 — море; 4 — уровень моря; 5 — сваи.

Рис. 4.2. К построению расчетной схемы опорного основания.

1 — море; 2 — эксплуатационные сваи; 3 — вертикальные движущие зоны; 4 — плавные рамы, применяемые для расчета.

Для оценки напряжений часто оказывается достаточно рассмотреть только два случая, в которых возможное воздействие направлено параллельно одной или другой плоскостей симметрии сооружения; при этом можно ограничиться двухмерными расчетными схемами в виде плоских рамочных систем (рис. 4.2). Элементы, оказавшиеся вне плоской системы, могут быть учтены путем включения в расчет равнодействующих от приложенных к ним распределенных нагрузок и упрощенного представления о закреплении их концов. Конечно, когда это практикуется геометрией сооружения или необходимости получения более точных результатов расчета, может быть рассмотрена трехмерная схема при любом направлении аэро-воздушного воздействия. Проведение таких расчетов возможно на микрокалькуляторах и при полной автоматизации подсчета нагрузок и определения реакций сооружения на эти нагрузки.

Нагрузки в элементах сооружения должны, как было показано выше, рассчитываться с учетом взаимодействия сооружения со стойками основаниями. Особенно важно это обстоятельство в случаях, когда сооружение опираются на мягкие грунты, и сажи на уровне поверхности грунта могут получать существенные смещения и повороты. В расчетной схеме (см. рис. 4.2) сажи могут быть представлены в виде экспериментальных саж — стоек, защищенных кожухом и имеющих жесткостные характеристики на уровне поверхности грунта, приблизительно одинаковые с теми, которыми обладают действительные сажи, погруженные в грунт. Включение этих структурных элементов в схему опорного основания позволяет проводить совместный расчет сооружения и стойки основания методами, изложенным в главе 2 (см. пример 2.4—3). Рекомендации по определению жесткостных характеристик эквивалентных саж содержатся в главе 5.

После определения размеров элементов, обеспечивающих сооружение способность противостоять воздействию окружающей среды в условиях эксплуатации, должны быть проведены расчеты на нагрузки, возникающие в процессе транспортировки и последующей постановки сооружения на морское дно. Опорное основание пирамидальной формы обычно собирают в положении лежа и затем перемещают по горизонтали с берега на баржу, на которой оно буксируется к месту постановки на дно, спускается с нее и устанавливается в вертикальном положении. В ходе этих операций сооружение испытывает различные виды нагрузок,

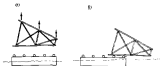


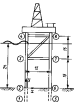
Рис. 4.5. Схемы нагружения опорного основания: а — при за-грузке на берегу; б — при спуске в воду.

из которых особо выделяются две: одна возникает при загрузке опорного основания на баржу, другая — при спуске его с баржи в воду. Нагрузки в ходе подъема из баржи зависят от способа и схемы подъема (рис. 4.3, д), а нагрузки при спуске в воду зависят от возникающих при этом узловых отверстий. Наиболее неблагоприятным оказывается момент, когда верхняя часть опорного основания наклоняется к воде, а в целом сооружение опирается только на один налок (рис. 4.3, в). В обоих случаях нагрузки зависят от веса сооружения, и для подсчета напряжений в элементах могут быть использованы методы, приведенные в главе 2. В определенных случаях могут иметь значение имерзционные силы, возникающие при спуске сооружения в воду, и их учет возможен с помощью методов, указанных в главе 6.

Если в отдельных элементах или группах элементов при установке опорного основания возникают большие напряжения, то размеры этих элементов следует увеличить, а затем должны быть сделаны проверки достаточности новых размеров для безопасной работы сооружения при изменяющихся нагрузках. Необходимость переработки сооружения на новые нагрузки от воздушной окружающей среды обусловливается тем, что увеличение размеров элементов влечет и увеличение самих нагрузок.

Вопросы расчета стальных опорных оснований рассматриваются здесь применительно к конструкциям, имеющим пирамидальную форму. Тем не менее основные элементы и рекомендации применимы и к стальным конструкциям других типов, таких как подстоечная или гравет-цивония, которые были описаны в главе 1. Конечно, такие сооружения отличаются от пирамидального основания по способу открытия на грунт, также как и во нагрузках, возникающих в процессе транспортировки и спуска сооружения на дно, но основные расчетные положения распространяются и на них. Общие указания и специфические рекомендации по расчету стальных опорных оснований буровых платформ даны в [34, 41].

Пример 4.2—1. Рассмотрим стальное основание буровой платформы (рис. 4.4) в определенных нагрузках в элементах 3—8. Расчетная волна имеет высоту 6,0 и длину 90 м, полагается, что направление распространения волны параллельно стороне сооружения, изображенной на рисунке. Глубина воды во время шторма 24 м. Все вертикальные элементы опорного основания имеют внешний диаметр 1,22 м и стеки толщиной 38 мм (здесь имеются в виду как открытым колесом, так и забитые через них сажи). Горизонтальные и наклонные элементы имеют внешний диаметр 0,61 м и стеки толщиной 12,7 мм. Все четыре стороны опорного основания однотипны, причем на фронтальной (по отношению к волне) и тыльной сторонах наклонные элементы присоединены к узлам 3 и 7. Верхнее строение весит 2224 кН, а действующих на него аэродинамическая нагрузка однотипна в 444 кН.



Как рекомендовалось ранее, действительные сваи, находящиеся ниже поверхности морского дна, заменяются эквивалентными — стойками, защищеннымными пленкой и имеющими жесткостные характеристики на уровне поверхности грунта, которые отвечают характеристикам действительных свай в грунте. В данной задаче эти характеристики принимаются (см. пример 5.6-2) равными:

$$[K]_{J-2} = 10^4 \begin{bmatrix} 70,2 & 0 & -143 \\ 0 & 68,8 & 0 \\ -143 & 0 & 388 \end{bmatrix}; \quad [K]_{5-6} = 10^4 \begin{bmatrix} 72,1 & 0 & -146 \\ 0 & 68,8 & 0 \\ -146 & 0 & 393 \end{bmatrix}.$$

(Значения коэффициентов жесткости в этих матрицах соответствуют размерности длии и узлов соответственно в метрах и килоньютонах.)

Отметим, что схема сооружения в расчетной зоне здесь также же, как и рассмотренные ранее примерах 3.7-1 и 3.8-1, где узловые нагрузки от ветрового воздействия, а также от сил веса и поддержания были получены для момента, когда общая величина нагрузки на сооружение

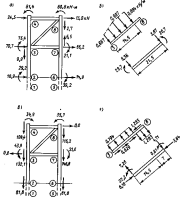


Рис. 4.5. Схемы нагрузок: а, б — от ветрового воздействия на опорное основание и опорный элемент J-B; в, г — от собственного веса, от поддержания в опорном основании и в элементе J-B.

достигает максимума. Это предположение, естественное при подсчете узловых усилий, и полученные ранее результаты можно использовать в настоящих расчетах (при этом узлы 1, 2, 3 и 4, 5, 6 здесь нумеруются выше — как 2, 3, 4 и 6, 7, 8, соответственно). Узловые нагрузки от ветрового воздействия показаны на рис. 4.5, а; загружка от сил веса и поддержания — на рис. 4.5, б. На рис. 4.5, в, г показаны нагрузки, приходящие на единственный элемент J-B.

Вес верхнего строения и действующие на него ветровые нагрузки передаются на опорное основание через верхние узлы (на рассматриваемой стороне рамы — через узлы 4 и 5). Появляется, что вес платформы (2224 кН) и ветровая нагрузка (444 кН) делятся поровну между обеими боковыми сторонами оборудования. Таким образом, на рассматриваемую боковую сторону действуют нагрузки от верхнего строения, изображенные на рис. 4.6. При этом предполагается также, что на каждую опору действуют одинаковые ветровые нагрузки, а моменты, которые могут возникнуть в узлах крепления верхнего строения к опорам, не учитываются. Жесткость узла, к которым приложены верхнее строение, и изгибающие моменты, которые могут возникнуть в них, здесь не приводятся во внимание.

Суммируя полученные результаты, можно найти узловые нагрузки на опорное основание от ветрового ветра, полы, собственного веса, от поддержания и веса верхнего строения (табл. 4.2).

Для расчета сооружения на заданные узловые нагрузки составляется матричное уравнение, связывающее эти нагрузки с известными узловыми перемещениями, в соответствии с положениями главы 2 (см. в частности, пример 2.4-3). Решение этого матричного уравнения представлено в табл. 4.3, где в, в' и в'' обозначают соответственно горизонтальное, вертикальное и угловое перемещение узла.

По найденным узловым перемещениям с помощью матриц жесткости отдельных элементов вычисляются внутренние усилия, действующие по концам элементов. В частности, для элемента J-B суммарные внутренние усилия, действующие по его концам, определяются из выражения $[f^{(x)}] = [K]_{J-B} [v]$.

Таблица 4.2. Узловые нагрузки

Узел	F_x , кН	F_y , кН	M , кН·м
2	10,9	-81,8	29,2
3	64,9	-142,0	31,5
4	135,5	-598,4	-46,5
6	14,9	-81,8	39,2
7	55,2	-140,3	41,7
8	124,8	-740,9	-96,5

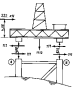


Рис. 4.6. Выгрузка от вертикального строения.

Таблица 4.3. Узловые перемещения

Узел	М.м.	φ , м	θ , рад.
2	$4,3 \cdot 10^3$	$-0,54 \cdot 10^{-3}$	$1,95 \cdot 10^{-3}$
3	$44,3 \cdot 10^3$	$-0,69 \cdot 10^{-3}$	$1,84 \cdot 10^{-3}$
4	$55,6 \cdot 10^3$	$-1,01 \cdot 10^{-3}$	$-0,22 \cdot 10^{-3}$
6	$4,1 \cdot 10^3$	$-1,05 \cdot 10^{-3}$	$1,91 \cdot 10^{-3}$
T	$43,8 \cdot 10^3$	$-1,34 \cdot 10^{-3}$	$1,85 \cdot 10^{-3}$
8	$59,9 \cdot 10^3$	$-3,36 \cdot 10^{-3}$	$-0,27 \cdot 10^{-3}$

Выполним операцию умножения матрицы, получим:

$$f_{3,3}^E = -433 \text{ кН}; \quad f_{3,4}^E = -437 \text{ кН}; \quad m_3^E = 50,8 \text{ кН}\cdot\text{м};$$

$$f_{4,3}^E = 433 \text{ кН}; \quad f_{4,4}^E = 437 \text{ кН}; \quad m_4^E = 50,8 \text{ кН}\cdot\text{м}.$$

Эти усилия являются суммой действительных и эквивалентных узловых усилий. Последние показаны на рис. 4.5. Далее, разложим суммарные усилия на составляющие: продольную и поперечную силы и вычтем из них усилия, полученные из элементов 3–8.

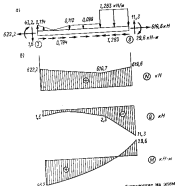


Рис. 4.5. Заштрихованные и внутренние усилия, действующие на элемент 3–8 (a), и эпюры внутренних усилий M , Q , N (б), θ (в)

иных соответствующие эквивалентные узловые усилия, получут действительные усилия, действующие по концам элемента (рис. 4.7). На рисунке изображены также внешние распределенные нагрузки от земли, собственного веса и сил поддержания, действующие на элемент, а кроме того эпюры внутренних усилий – продольной и поперечной силы, изгибающего момента.

Как видно, максимальные продольные силы и изгибающие моменты в элементе 3–8 возникают около узла 3. Соответствующие им нормальные напряжения

$$\sigma_N = \frac{N}{A} = \frac{622}{23,6 \cdot 10^{-3}} = 26,3 \text{ МПа};$$

$$\sigma_M = \pm \frac{MR}{I} = \pm \frac{43,2 \cdot 0,304}{1,05 \cdot 10^{-3}} = \pm 12,5 \text{ МПа}.$$

Максимальные (растягивающие) нормальные напряжения равны $26,3 + 12,5 = 38,8 \text{ МПа}$.

Пример 4.2–2. Определим максимальные нормальные напряжения, возникающие в горизонтальном элементе фронтальной стороны опорного ограждения, рассмотренного в предыдущем примере. Пусть этот элемент приходится к узлу 3 и обозначим, например, 3–11. Суммарные горизонтальные и вертикальные составляющие волнистой нагрузки на такой элемент были определены в примере 3.3–1 и равны соответственно $F_x = 14,14 \text{ кН}$ и $F_y = -3,82 \text{ кН}$. Редуцирующиеся от собственного веса и силы поддержания на этом элементе, определенные в примере 3.3–1, равны $F_y = 17,12 \text{ кН}$. Суммируя эти усилия, получим составляющие $F_x = 14,14 \text{ кН}$ и $F_y = 13,30 \text{ кН}$. Равнодействующая их $F = \sqrt{14,14^2 + 13,30^2} = 19,41 \text{ кН}$.

Поскольку нагрузки от земли и поддержания распределены по длине элемента равномерно, жесткость нагрузки $f = 19,41 / 15,2 = 1,277 \text{ кН/м}$.

Полагая, что элемент закреплен на концах только от поперечных смещений (т. е. шириной опера), нетрудно построить эпюры поперечной силы и изгибающего момента. Максимальный изгибающий момент действует посередине длины элемента и равен $36,9 \text{ кН}\cdot\text{м}$. При значениях внешнего радиуса и момента инерции поперечного сечения элемента, равных соответственно $R = 0,304 \text{ м}$ и $I = 1,05 \cdot 10^{-3} \text{ м}^4$, получим максимальное нормальное напряжение в элементе

$$\sigma_M = \frac{36,9 \cdot 0,304}{1,05 \cdot 10^{-3}} = 10,7 \text{ МПа}.$$

4.3. Увеличение напряжений, обусловленное предельным изгибом

Если элементы сооружений подвергаются изгибу и осевым нагрузкам (что обычно и происходит), нормальные напряжения от изгибающего момента, определенные на основании расчетов методами

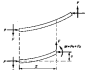


Рис. 4.8. Увеличение изгибающего момента при продольном изгибе.

При растягивающих продольных усилиях в элементе изгижение от изгиба, полученное в результате расчета, должно быть уменьшено на значение, связанное с продольным изгибом. Напротив, при сжимающих продольных усилиях продольный изгиб приводит к увеличению нормальных напряжений от изгиба. Если уменьшение напряжения при продольном изгибе можно пренебречь в засад прочности, то их увеличение должно быть учтено. Из механики твердого деформируемого тела известно, что указанное увеличение нормальных напряжений может быть оценено с помощью коэффициента $\alpha \geq 1$, определяемого по формуле

$$\alpha = \frac{C_m}{1 + (\sigma_N/\sigma_{kp})}, \quad \sigma_N \leq 0, \quad (4.1)$$

где σ_N — нормальное напряжение от продольной силы (при сжатии отрицательное); σ_{kp} — критическое значение нормального напряжения, при котором элемент теряет устойчивость вследствие продольного изгиба; C_m — коэффициент, зависящий от типа нагружения и изменяющийся в пределах от 0,4 до 1.

Значение C_m , рабочее значение, может быть принято для наиболее осторожных оценок. Точная оценка напряжений от продольного изгиба для элементов, присоединенных к жестким узлам, весьма затруднительна. Общая формула для напряжений, вызванных продольным изгибом, полученная в механике твердого деформируемого тела, имеет вид

$$\sigma_N = \frac{\pi^2 E}{(\beta I/r)^2}, \quad (4.2)$$

где E — модуль упругости (Юга); I — длина элемента; r — радиус инерции поперечного сечения элемента; β — коэффициент продольной или свободной длины элемента, значение которого зависит от условий закрепления его концов (табл. 4.4).

Для элементов с концами, закрепленными от скользко-избыточности связанных поперечных смещений, таких как, например, элемент 2–3 в стержневой системе на рис. 4.9, а, значение коэффициента β находится

Таблица 4.4. Значения коэффициента β приведений или свободной длины стержня

Характеристика типа изгибающего стержня	Номер схемы						
	I	II	III	IV	V	VI	VII
Форма изгиба упругости стержня при продольном изгибе (однократный изгиб).	$\frac{1}{2}$	$\frac{1}{3}$	$\frac{1}{4}$	$\frac{1}{5}$	$\frac{1}{6}$	$\frac{1}{7}$	$\frac{1}{8}$
Закрепление оставляет свободу для одновременного перемещения концов стержня	—	—	—	—	—	—	—
Геометрическое значение β	0,5	0,7	1,0	1,0	2,0	2,0	—

в пределах от 0,5 (схема I в табл. 4.4) и до 1,0 (схема IV) в зависимости от жесткости существующих узловых закреплений. Таким образом, значение β , рабочее значение, может быть всегда принято для осторожных оценок.

Если, однако, концы элемента не имеют закреплений, достаточных для исключения поперечных смещений, как, например, у элемента 2–3 в системе на рис. 4.9, б, значение коэффициента β лежит в пределах от 1 (схема III) до ∞ (схема VII) в зависимости от суммарного эффекта существующих закреплений в системе. Для оценки значения β в этом последнем случае можно воспользоваться рекомендациями [12] по определению напряжений при продольном изгибе элементов, имеющих упругие опорные связи по концам. Кроме того, можно обратиться к приближенному способу определения β по nomogramme на рис. 4.10.

Детальное описание nomogramмы приведено в [28]. Она построена в первую очередь на представлении, что основные связки элементы, такие как элемент 2–3 в системе на рис. 4.9, б, имеют одинаковые поперечные сечения и несут одинаковые симметричные нагрузки, а все другие элементы, присоединенные к узлу, имеют идентичные поперечные сечения. При таких представлениях значение β определяется по значению параметра

$$G = \frac{\Sigma I_a/I_c}{\Sigma I_b/I_b}, \quad (4.3)$$

отвечающим объему узлов скжатого элемента. Здесь I_a и I_b обозначают моменты инерции поперечных сечений и длины основных связок элементов,

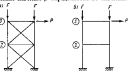


Рис. 4.9. Рамы: а — с раскосами для уменьшения горизонтальных перемещений; б — без раскосов.

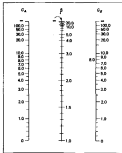


Рис. 4.10. Номограмма для определения коэффициентов продольной или свободной плоскости стержня.

нагрузки, которые выделены на основании расчетов, выполненных в матричной форме, могут быть скорректированы умножением на получившее значение коэффициента α .

Пример 4.3-1. Рассмотрим стальную конструкцию на рис. 4.11 и определим скорректированные значения нормальных напряжений от изгиба в элементах 1-2 и 2-3. Пусть все вертикальные элементы системы имеют характеристики $A = 0,139 \text{ м}^2$; $I = 24,8 \cdot 10^{-3} \text{ м}^4$; все остальные элементы имеют $A = 0,0236 \text{ м}^2$ и $I = 1,025 \cdot 10^{-3} \text{ м}^4$. Длина вертикальных элементов 15,2 м, горизонтальных 9,1 м, наклонных 17,6 м. Кроме того, пусть значения нагрузок P и F таковы, что в элементе 1-2 приложения от продольной силы и от изгибающего момента разны, соответственно $\sigma_N = -55,2 \text{ МПа}$, $\sigma_M = \pm 82,8 \text{ МПа}$; а в элементе 2-3 аналогичные напряжения имеют следующие значения: $\sigma_N = -55,2 \text{ МПа}$, $\sigma_M = \pm 55,2 \text{ МПа}$.

Элемент 1-2 склон и закреплен в узлах от горизонтальных смещений, поэтому в формуле (4.2) для него можно принять $\beta = 1$. Тогда при $E = 210 \text{ ГПа}$ и $r = \sqrt{24,8 \cdot 10^{-3}/0,139} = 0,422 \text{ м}$ получим для этого элемента

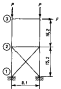


Рис. 4.11. Стальная конструкция к примеру 4.3-1.

присоединенных к рассматриваемому узлу, а I_b и I_d относятся ко всем остальным элементам, присоединенным к узлу. По известным значениям параметра G для концов A и B элемента значение β находится по nomogramme путем произведения прямой, соединяющей соответствующие значения G_A и G_B . Если прекрещение элемента в фундаменте включает возможность поворота, параметр G равен нулю; если же прекрещение оставляет свободу для поворота, значение G бесконечное.

После определения коэффициента β для скользящего элемента может быть подсчитан и коэффициент α по формуле (4.1). Затем нормальные напряже-

$$\alpha_{\text{экв}} = \frac{\pi^2 \cdot 210 \cdot 10^3}{(15,2/0,422)^2} = 1597 \text{ МПа.}$$

Напряжение от продольной силы равно равнику $-55,2 \text{ МПа}$, следовательно, $\sigma_N/\alpha_{\text{экв}} = -0,035$. Принимая в выражении (4.1) коэффициент C_1 равным единице, получим далее, что $\alpha = 1,04$. Так как нормальное напряжение от изгиба (без учета продольного изгиба) равно $\pm 82,8 \text{ МПа}$, его откорректированное значение $\sigma_M = 1,04(\pm 82,8) = \pm 86,2 \text{ МПа}$.

Элемент 2-3 также склон, но не имеет достаточных закреплений от горизонтальных смещений концов. Значение β можно определить по nomogramme на рис. 4.10, для чего сначала по формуле (4.3) вычисляются следующие параметры:

для узла 2

$$G_2 = \frac{24,8 \cdot 10^{-3}/15,2 + 24,8 \cdot 10^{-3}/15,2}{1,025 \cdot 10^{-3}/9,1 + 1,025 \cdot 10^{-3}/17,6} = 19,$$

для узла 3

$$G_3 = \frac{25 \cdot 10^{-3}/15,2}{1,025 \cdot 10^{-3}/9,1} = 15.$$

Принимая $G_2 = G_1$ и $G_3 = G_2$, по nomogramme получим $\beta = 3,8$, а затем по формуле (4.2) находим

$$\alpha_{\text{экв}} = \frac{\pi^2 \cdot 210 \cdot 10^3}{(3,8 \cdot 15,2/0,422)^2} = 110 \text{ МПа.}$$

По этому значению находим отношение $\sigma_N/\alpha_{\text{экв}} = -0,502$ и далее $\alpha = 2,0$. Откорректированное с учетом продольного изгиба значение нормального напряжения от изгиба равно в элементе 2-3: $\sigma_M = 2(\pm 55,2) = \pm 110,4 \text{ МПа}$.

4.4. Напряжения в стальных цилиндрических элементах от наружного давления

Всестороннее обхвате погруженных в воду полых цилиндрических элементов, не защищенных обоями, и вызванные этим напряжения в элементах не принимаются во внимание в предпоследнем изложении. Наружное давление может быть просто гидростатическим или являться суммой гидростатического и связанным с волнойми воздействием.

Свободный цилиндрический элемент

Рассмотрим сначала идеализированный случай незакрепленного цилиндрического элемента, подвергнутого результатирующему наружному давлению $P = P_R - P_r$, где P_R и P_r означают соответственно

интенсивности давления на наружной и внутренней сторонах цилиндра. Внутренний радиус цилиндра равен r , толщина стеки δ , а длина l (рис. 4.12, а).

Если рассечь цилиндр по диаметральной плоскости (рис. 4.12, б), то уравнение равновесия (проекция сил из вертикальной оси) записывается как

$$-2N_g - \frac{l}{\delta} \int_0^{\pi} p(r + \delta) \sin \theta d\theta dz = 0.$$

Полагая стенку тонкой, т. е. $\delta/r \ll 1$, получим $N_g = -lp$. Рассматривая полученные тангенциальные усилия на площадь сечения lb , получим значение нормального тангенциального (или окружного) напряжения

$$\sigma_\theta = -pr/\delta. \quad (4.4)$$

Бesimmo этого напряжения в кипицере возникают равномерно распределенное нормальное осевое напряжение σ_z от сжимающих усилий, обусловленных наружным давлением на днище пистолетического элемента. Так как сжимающая нагрузка, действующая в стеке изгиб осью цилиндра, равна pr^2 , а площадь поперечного сечения его $2\pi r^2$, получим

$$\sigma_z = \frac{pr^2}{2\pi r\delta} = \frac{pr}{2\delta}. \quad (4.5)$$

Из механики твердого деформируемого тела известны спиральные соотношения между деформациями и напряжениями:

$$\epsilon_z = (1/E)(\sigma_z - \nu\sigma_\theta); \quad \epsilon_\theta = (1/E)(\sigma_\theta - \nu\sigma_z), \quad (4.6)$$

где ϵ_z — деформации, или иные изменения длины, отнесенные к сжимающим давлениям z ; ϵ_θ — деформации в тангенциальном направлении;

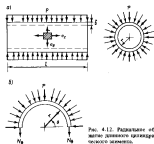


Рис. 4.12. Радиальное давление на цилиндрический элемент

E и ν — модуль упругости и коэффициент Пуассона материала соответственно. Если обозначить Δl изменение длины в направлении оси z , а α_r — радиальное перемещение стеки цилиндра, направленное наружу, то

$$\begin{aligned} \Delta l &= \frac{\alpha_r l}{E}; \quad \epsilon_\theta = \\ &= \frac{2\pi(r + \alpha_r) - 2\pi r}{2\pi r} = \frac{\alpha_r}{r}. \end{aligned} \quad (4.7)$$

По выражениям (4.4) — (4.7) получим следующие формулы для перемещений в осевом и радиальном направлениях стеки цилиндра:

$$\left. \begin{aligned} \Delta l &= -\frac{\rho r l}{E \delta} (0,5 - z); \\ \alpha_r &= -\frac{\rho v^2}{E \delta} (1 - 0,5 \nu). \end{aligned} \right\} \quad (4.8)$$

Пример 4.4-1. Определим напряжения, возникающие в не заполненном водой элементе $l = 2$ сооружения из рис. 4.13. Элемент имеет наружный диаметр 0,62 м и толщину стеки 12 мм.

Гидростатическое давление, действующее на наружную сторону пистолетического элемента, равно

$$p_g = \gamma h_0 + p_0,$$

где h — удельный вес воды; h_0 — заглубление элемента ниже поверхности воды; p_0 — атмосферное давление. Если в не заполненном водой элементе давление равно атмосферному, то результатирующее наружное давление имеет интенсивность $p = p_g - p_0 = \gamma h_0 = 0,6 \text{ МПа}$.

Используя выражения (4.4) и (4.5), получим при $r = 0,3 \text{ м}$, $\delta = 0,012 \text{ м}$ и $\rho = 0,6 \text{ МПа}$

$$\sigma_\theta = -\frac{0,6 \cdot 0,3}{0,012} = -15 \text{ МПа};$$

$$\sigma_z = -\frac{0,6 \cdot 0,3}{2 \cdot 0,012} = -7,5 \text{ МПа}.$$

Пример 4.4-2. Рассмотрим пример 4.4-1 при условии воздействия волны высотой 21 м и длиной 300 м.

Подставляя спрямленной теории волны Эри, найдем выражение давления на элемент по формуле (3.15)

$$p = \frac{\gamma H}{2} - \frac{\sin kH}{\sin kh} + \gamma(h - x),$$

где H — высота волны; k — волновое число; h — глубина воды; y — расстояние от морского дна до элемента; γ — удельный вес воды. Подставляя $k = 2\pi/\lambda = 2\pi/300$; $H = 21$ м; $y = 30$ м, $\gamma = 10$ кН/м³ и $h = 90$ м, найдем $p = 0,0375 + 0,6 = 0,6375$ МПа.

Далее по формулам (4.4) и (4.5) получим $\sigma_3 = -16$ МПа и $\sigma_2 = -8$ МПа.

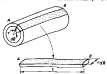
Экспериментальный цилиндрический элемент

Выше предполагалось, что радиальные перемещения постоянны по всей длине цилиндрического элемента. Именившись по концам элемента закрепления противоречат этому предположению. Чтобы оценить влияние закреплений цилиндрического элемента, необходимо рассмотреть изгиб полосы, выпнутой из-под его оси (рис. 4.14).

Будем рассматривать в частности точкообразный цилиндрический элемент радиусом r и толщиной стеки δ . Выделенная из него продольная полоса имеет ширину $r\delta\theta$. Представив полосу как балку, подверженную изгибу, найдем из теории изгиба балок, что продольные деформации ее равны

$$\epsilon_x = -y \frac{d^2 u_r}{dz^2}, \quad (4.9)$$

где y — расстояние, измеренное в радиальном направлении (вдоль радиуса z) в наружную сторону от средней поверхности; u_r — перемещение в том же направлении, соответствующее продольной координате z . Если полоса подвергнется кроме изгиба сжатию или растяжению в продольном направлении, то следует добавить к деформации, обусловленным изгибом, деформации от продольных сил ϵ_{xz} , т. е. полная деформация определяется как



$$\epsilon_x = -y \frac{d^2 u_r}{dz^2} + \epsilon_{xz}. \quad (4.10)$$

Рис. 4.14. Полоса, выпнутая из цилиндрического элемента.

Кроме деформации в продольном направлении, имеются, как

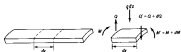


Рис. 4.15. Внутренние усилия в балке, выпнутой из цилиндрического элемента.

известно, тангенциальные деформации, определяемые в соответствии с (4.7) формулой

$$\epsilon_\theta = \omega_r / r. \quad (4.11)$$

Подставляя приведенные здесь выражения деформаций в соотношения (4.6) между деформациями и напряжениями, найдем нормальные тангенциальные и осевые напряжения в полосе

$$\sigma_y = \frac{E}{1-\nu^2} \left(\frac{u_r}{r} - \nu y \frac{d^2 u_r}{dz^2} + \nu \epsilon_{xz} \right); \quad (4.12)$$

$$\sigma_z = \frac{E}{1-\nu^2} \left(-y \frac{d^2 u_r}{dz^2} + \epsilon_{xz} + \nu \frac{u_r}{r} \right). \quad (4.13)$$

Осталось определить выражение для радиального перемещения u_r . Найдем сначала изгибающий момент, относенный к симметрическим шарнирам полосы. Используя правило знаков, показанное на рис. 4.15, будем иметь

$$M = - \int_{-L/2}^{L/2} y \sigma_y dy. \quad (4.14)$$

Подставив сюда выражение (4.12), найдем

$$B \frac{d^2 u_r}{dz^2} = M, \quad (4.15)$$

где

$$B = \frac{E\delta^3}{12(1-\nu^2)}.$$

Обозначив вертикальную нагрузку, приходящуюся на единицу площади полосы, получим из условий равновесия эпюмами отрезка полосы на рис. 4.15, что

$$\frac{dQ}{dz} = -q; \quad \frac{dM}{dz} = Q, \quad (4.16)$$

где Q — поперечная сила, относительная к единице ширины полосы.



Используя Q из последних двух уравнений и используя формулу (4.15), получим

$$D \frac{d^4 u_r}{dz^4} = -q. \quad (4.17)$$

Рис. 4.16. Участок, изображенный на элементарный участок колцевой зоны, выделенного из цилиндра.

то отрезка, выделенного из цилиндра по окружности (рис. 4.16) найдем, что

$$qr d\theta = pnd\theta + N_y d\theta \quad (4.18)$$

где

$$q = p + (1/r)N_y,$$

так

$$N_y = \int_{-\pi/2}^{\pi/2} \sigma_{y\theta} dy = -k/r.$$

Подставив сюда выражение (4.12), получим

$$N_y = \frac{E\delta}{1-\nu^2} \left(\frac{u_r}{r} - \tan \varphi \epsilon_r \right). \quad (4.19)$$

Кроме того, если $\sigma_{z\theta}$ означает нормальное осевое напряжение, определяемое по (4.5), то, полагая $u=0$ в выражении (4.13), найдем

$$\sigma_{z\theta} = \frac{1-\nu^2}{E} \sigma_{zz} - \nu \frac{u_r}{r}. \quad (4.20)$$

Теперь из выражений (4.17) – (4.20) получим уравнение для радиального перемещения вдоль оси цилиндра

$$D \frac{d^4 u_r}{dz^4} + \frac{E\delta}{r^2} u_r = -p'. \quad (4.21)$$

где $p' = p + \nu(\delta/r)\sigma_{zz}$.

Решение уравнения (4.21) при постоянном p' можно представить в виде

$$u_r = e^{-az} (C_1 \cos az + C_2 \sin az) + e^{az} (C_3 \cos az + C_4 \sin az) - \frac{p' r^2}{E\delta}, \quad (4.22)$$

где C_1, C_2, C_3 и C_4 – произвольные постоянные, а

$$a = \left(\frac{E\delta}{4\nu^2 D} \right)^{1/4} = \left[\frac{3(1-\nu^2)}{r^2 \delta^2} \right]^{1/4}. \quad (4.23)$$

Постоянные в выражении (4.23) определяются из условий закрепления концов динамического элемента. Если концы его закреплены от поперечных перемещений и поворота, то для них $u_r = du_r/dz = 0$.

Значительный интерес представляет случай некруглого цилиндрического элемента с закрепленным концом (рис. 4.17). Из условия однородности радиального перемещения при $z \rightarrow \infty$ найдем, что $C_3 = C_4 = 0$. Кроме того, из условия, что при $z = 0$ $u_r = du_r/dz = 0$, получим $C_1 = C_2 = -p'/E\delta$. Таким образом, радиальное перемещение

$$u_r = \frac{p' r^2}{E\delta} [1 - e^{-az} (\cos az + \sin az)], \quad (4.24)$$

где $p' = p + \nu(\delta/r)\sigma_{zz} = p(1 - 0,5\nu)$.

С увеличением значения az радиальное перемещение сближается с полученным из выражения (4.8), что указывает на возможность краевого эффекта. Если элемент достаточно плоский (скажем, при $l > b/a$), получившееся решение может быть использовано для нахождения перемещений в окрестности концов цилиндра, когда оба они закреплены.

После того как становится известными радиальные перемещения, могут быть вычислены напряжения с помощью формул (4.12), (4.13) и (4.20). Если иметь в виду только линейное и малое напряжение

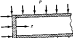


Рис. 4.17. Колцевая часть поперечного элемента.

($r = \pm \delta/2$), эти формулы можно представить следующим образом:

$$\left. \begin{aligned} \sigma_x &= -\frac{\rho r}{2\delta} + \frac{3\rho r(2-\nu)\kappa}{2\delta} e^{-\alpha x} (\cos \omega x - \sin \omega x); \\ \sigma_y &= -\frac{\rho r}{\delta} + \frac{\rho r(2-\nu)}{2\delta} e^{-\alpha x} [(1 \pm 3\nu\kappa) \cos \omega x + (1 \mp 3\nu\kappa) \sin \omega x] \end{aligned} \right\} \quad (4.25 \text{ a})$$

где $\kappa = [\frac{3}{2}(1-\nu^2)]^{1/2}$.

Кроме нормальных напряжений имеются также касательные напряжения, связанные с радиальной поперечной силой Q , определяемой по формулам (4.15), (4.16) и (4.24), как

$$Q = D \frac{d^2 w}{dx^2} = \frac{\rho(2-\nu)}{2\delta} e^{-\alpha x} \cos \omega x.$$

Если, как в теории изгиба балок, касательные напряжения считать распределенными по толщине стеки по параболическому закону, то максимальные значения этих напряжений должны находиться в средней поверхности, они равны $3Q/2\delta$. Таким образом, касательные, действующие в радиальном направлении, напряжения могут быть найдены по формуле

$$\tau = \frac{3}{4} \frac{\rho(2-\nu)}{\delta} e^{-\alpha x} \cos \omega x. \quad (4.25 \text{ b})$$

Положительные τ совпадают по направлению с усилием Q на рис. 4.15.

Использование полученных выше выражений показывает, что максимальные нормальные и касательные напряжения должны быть у закрепленных концов цилиндра: При этом максимальные нормальные напряжения появляются на внешней и внутренней поверхности цилиндра, где касательные напряжения отсутствуют, и, наоборот, максимальные касательные напряжения появляются в средней поверхности цилиндра, где нормальные осевые напряжения минимальны и соответствуют значению, определяемому по формуле (4.5). Максимальные нормальные осевые, касательные радиальные и нормальные тангенциальные напряжения можно вычислить по формулам

$$\left. \begin{aligned} \sigma_z &= -\frac{\rho r}{2\delta} \left[1 \mp \frac{\sqrt{3(2-\nu)}}{(1-\nu^2)^{1/2}} \right] \quad \text{при } x = \pm \frac{\delta}{2}; \\ \sigma_y &= \mu \sigma_x; \\ \tau &= \frac{3}{4} \frac{(2-\nu)\rho}{[3(1-\nu^2)]^{1/2}} \sqrt{\frac{r}{\delta}} \quad \text{при } y=0, \end{aligned} \right\} \quad (4.26)$$

Принимая $\nu=0,3$, что типично для стек, получим на внешней поверхности:

$$\sigma_z = 1,04(\rho r/5);$$

$$\sigma_y = 0,313(\rho r/5)$$

и для внутренней поверхности

$$\sigma_z = -2,04(\rho r/5);$$

$$\sigma_y = -0,612(\rho r/5).$$

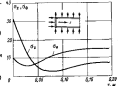


Рис. 4.18. Графики зависимостей σ_z и σ_y от x .

На достаточно уменьшении радиуса r краевые концы из выражений (4.25 а) спадут, что $\sigma_z = -(\rho r)/2\delta$; $\sigma_y = -(\rho r)/5$, в это полностью согласуется с выражениями (4.4) и (4.5).

Как и в теории изгиба балок, касательные с максимальными нормальными осевыми напряжениями могут не применяться во внимание при расчете стальных элементов.

Пример 4.4–3. Повторим расчеты напряжений для примера 4.4–1 при условии, что концы гиперболического элемента закреплены от линейных перемещений в поперечном.

Цилиндр имеет радиус $0,3$ м и толщину стенки $5 = 12$ мм; зарядовое давление равно $0,6$ МПа. Полагая материал выполненным из стали с $E = 210$ ГПа и $\nu = 0,3$, получим из выражения (4.23)

$$\varepsilon^4 = \frac{3(1-\nu^2)}{\rho^2 \delta^2} = 21,06 \cdot 10^4,$$

т. е. $\varepsilon = 21,4 \text{ м}^{-1}$. Формула (4.24) применима для элементов, имеющих длину $b/a > 0,28$ м, следовательно, она может быть использована и в данных условиях. По формулам (4.26) при $\rho r/5 = 0,6 \cdot 0,3/0,012 = 15$ МПа определим следующие значения нормальных напряжений:

на заряженной поверхности у закрепленного конца цилиндра $\sigma_z = 1,04 \cdot 15 = 15,6$ МПа; $\sigma_y = 0,313 \cdot 15 = 4,7$ МПа;

на внутренней поверхности $\sigma_z = -2,04 \cdot 15 = -30,6$ МПа; $\sigma_y = -0,612 \cdot 15 = -9,2$ МПа.

На удалении от концов $\sigma_z = -0,5 \cdot 15 = -7,5$ МПа; $\sigma_y = -15$ МПа.

Изменение напряжений σ_z и σ_y во длине элемента отражает выражение (4.25 а). Для внутренней поверхности элемента, где напряжения максимальные, максимальные σ_z и σ_y по длине элемента показано на графиках (рис. 4.18).

4.5. Критерий прочности для стальных элементов

Для сооружений континентального шельфа используются облегченные конструкционные стали. На рис. 4.19 показана типичная диаграмма деформации такой стали. Предел текучести конструкционной стали около 280 МПа или менее, а предел прочности около 420 МПа. Пока напряжения в элементах сооружения не превосходят предела текучести, сталь работает в упругой стадии, т. е. с исчезновением деформаций и тем не менее с напряжениями. Основная цель расчета состоит в определении размеров элементов, обеспечивающих соблюдение указанного положения при заданных условиях нагружения. В действительности используются коэффициенты запаса для назначения допускаемых напряжений (предел текучести, деленный на коэффициент запаса) и размеры элементов определяются из условия, что при всех расчетных нагрузках напряжения в них не превышают допускаемого значения.

Допускаемые уровни нормальных осевого σ_z и тангенциального σ_y напряжений в элементах сооружения континентального шельфа могут быть установлены с использованием критерия максимального касательного напряжения. Более детально этот вопрос освещен в [34]. Нормальные осевые напряжения определены, вообщем говоря, наружным давлением и работой элемента в составе рамной системы на нагрузки, соответствующие штормовым условиям. Нормальные тангенциальные напряжения возрастают линейно и связи с изменением наружного давления.

Если рассматривать нормальные осевые напряжения как сумму равномерно распределенных по сечению напряжений от продольной силы S_N и напряжений от изгибающего момента M_M , то согласно указанному критерию прочности расчетным условиям при $\sigma_z > 0$, $\sigma_y < 0$ (или при $\sigma_z < 0$, $\sigma_y > 0$) будет

$$\left| \frac{\sigma_N}{[\sigma_N]} + \frac{\sigma_M}{[\sigma_M]} - \frac{\sigma_y}{[\sigma_y]} \right| \leq 1, \quad (4.27)$$

а при $\sigma_z < 0$, $\sigma_y < 0$ (или при $\sigma_z > 0$, $\sigma_y > 0$)

$$\left| \frac{\sigma_N}{[\sigma_N]} + \frac{\sigma_M}{[\sigma_M]} \right| \leq 1; \quad \left| \frac{\sigma_y}{[\sigma_y]} \right| \leq 1. \quad (4.28)$$

где $[\sigma_N]$, $[\sigma_M]$ и $[\sigma_y]$ – допускаемые значения соответствующих нормальных напряжений в условиях, когда они действуют одновременно от осевых сил. Эти величины назначаются в соответствии с пределом текучести σ_t материала, значениями скользящего нормального осевого напряжения $\sigma_{t,y}$, при котором элемент теряет устойчивость (выступает), и скользящего нормального тангенциального напряжения $\sigma_{t,y}$, при котором элемент теряет свою цилиндрическую форму и сплющивается.

Нормальное осевое напряжение, при котором возможно выпучивание элемента от продольного сжатия, возникает в зоне изгибающей области и может быть определено приближенно по формуле

$$\sigma_{t,y} = 0,3E(B/r), \quad (4.29)$$

где E – модуль Юнга; B – толщина стеки; r – радиус цилиндрического элемента. Азимутальный угол θ для элементов, не вогнутых,

имеющих подкрепляющие колца, нормальное тангенциальное напряжение, при котором возможно сплющивание элемента, в зоне удаленной от концевых подкреплений может быть приближенно найдено по формуле

$$\sigma_{t,y} = 0,22E(B/r)^2. \quad (4.30)$$

При положительных (соответствующих растяжению) значениях σ_z и σ_y потеря устойчивости невозможна, и допускаемые напряжения $[\sigma_N]$, $[\sigma_M]$ и $[\sigma_y]$ зависят только от предела текучести материала σ_t . Они устанавливаются обычно с помощью коэффициентов запаса

$$[\sigma_N] = 0,6\sigma_t; \quad [\sigma_M] = 0,7\sigma_t; \quad [\sigma_y] = 0,5\sigma_t. \quad (4.31)$$

При отрицательных (сжимающих) значениях σ_z и σ_y соответствующие допускаемые напряжения должны назначаться с учетом возможности продольного изгиба. Рекомендемые значения этих величин можно получить по табл. 4.5. При $\sigma_z, \sigma_y/E > 0,010$ и $\sigma_z, \sigma_y/\sigma_t > 4$ следует пользоваться формулами (4.31).

Допускаемые значения напряжений $[\sigma_N]$, $[\sigma_M]$ и $[\sigma_y]$, приведенные выше, относятся к случаю, когда напряжения подавливаются без учета нагрузок от подводной окружающей среды. Если же в расчет включаются нормальные осевые напряжения, обусловленные работой элементов в составе рамной конструкций на внешние воздействия, и дополнительно к ним нормальные тангенциальные напряжения, связанные с увеличением наружного давления при всплытии, то обычно считают возможным увеличить значения допускаемых напряжений на одну треть.

Пример 4.5-1. Элемент 1–2 открытого основания буровой платформы (рис. 4.20) подвержен наружному гидростатическому давлению, равному на конце 1 12 МПа (это соответствует глубине воды 130 м). Элемент выполнен в виде стального цилиндра радиусом 0,3 м и толщиной стеки 12 мм. Проверим прочность этого элемента, полагая предел текучести материала равным 250 МПа.

Таблица 4.5. Допускаемые напряжения

Схематическое изображение сечений напряжений		Схематическое изображение погонажных напряжений		
$\sigma_x, \text{ кП}$	$\sigma_N, \text{ кП}$	$\sigma_x, \text{ кП}$	$\sigma_M, \text{ кП}$	
E	σ_t	σ_t	σ_t	
$> 0,010$	0,60	0,67	$> 4,0$	0,50
0,008	0,50	0,65	3,0	0,40
0,006	0,55	0,61	2,8	0,45
0,004	0,50	0,56	1,8	0,38
0,002	0,41	0,46	$< 0,5$	$0,5 (\sigma_N, \text{ кП}) / \sigma_t$

С помощью формул, полученных в параграфе 4.5, определим нормальные осевые и погонажные напряжения на внутренней стороне элемента около узла J : $\sigma_x = -61,2 \text{ МПа}$; $\sigma_y = -18,35 \text{ МПа}$. На внешней поверхности в том же сечении $\sigma_x = 31,2 \text{ МПа}$; $\sigma_y = 9,39 \text{ МПа}$, а за удалением от закрепленного конца элемента $\sigma_x = -15,0 \text{ МПа}$; $\sigma_y = -30,0 \text{ МПа}$.

Для сечения около подкрепленного конца из выражения (4.29) получим, что $\sigma_x, \text{ кП} / E = 0,012$, следовательно, местной потери устойчивости в виде выпучивания не будет и при схематическом напряжении σ_x (см. табл. 4.5). Возможность потери устойчивости формы поперечного сечения (сплюсывания полосы) уменьшается она и благодаря наличию лифтигрифов на конце элемента. Итак, с помощью формулы (4.31) можно установить следующие значения допускаемых напряжений для рассматриваемой зоны элемента: $[\sigma_N] = 150 \text{ МПа}$; $[\sigma_M] = 167 \text{ МПа}$; $[\sigma_y] = 125 \text{ МПа}$.

Заметим 'теперь, что нормативные осевые напряжения σ_x на конце элемента складываются из равномерно распределенного по площади сечения напряжения σ_N от прогонной силы и напряжения σ_M от изгибающего момента. Составляющая σ_N здесь такая же, как и в сечении, удаленным от конца, так что для внутренней поверхности получим $\sigma_N = -15,0 \text{ МПа}$; $\sigma_M = -46,2 \text{ МПа}$. Так как $\sigma_x = \sigma_N + \sigma_M < 0$ и $\sigma_y < 0$, нужно проверить условие (4.38)

$$\left| \frac{-15,0}{150} + \frac{-46,2}{167} \right| = 0,37;$$

$$\left| \frac{-18,35}{125} \right| = 0,15.$$

Как видно, поставленное условие узла

для внутренней поверхности элемента около узла J найдем по аналогии с предыдущим, что $\sigma_y = -15,0 \text{ МПа}$; $\sigma_M = 46,2 \text{ МПа}$.

Поскольку $\sigma_x = \sigma_N + \sigma_M > 0$ и $\sigma_y > 0$, схема должна проверяться условие (4.28)

$$\left| \frac{-15,0}{150} + \frac{46,2}{167} \right| = 0,17; \quad \left| \frac{9,39}{125} \right| = 0,07.$$

И оно это условие удовлетворяется.

Далее рассмотрим зону элемента, удаленную от закрепленного конца. Здесь из выражений (4.29) и (4.30) получим $\sigma_x, \text{ кП} / E = 0,012$, как и ранее и $\sigma_y, \text{ кП} / \sigma_t = 0,12$. Соответствующие этому допускаемые напряжения $[\sigma_N]$ и $[\sigma_M]$ оказываются такими же, как и полученные выше, а $[\sigma_y]$ в соответствии с табл. 4.5 равно $40,0 \text{ МПа}$. Таким образом, при $\sigma_N = -15,0 \text{ МПа}$; $\sigma_M = 0$ и $\sigma_y = -30,0 \text{ МПа}$ условие (4.28):

$$\left| \frac{-15,0}{150} \right| = 0,10; \quad \left| \frac{-30,0}{-40,0} \right| = 0,75$$

удовлетворяется.

Пример. 4.5-2. Рассмотрим предыдущий пример при условии, что в зоне $J-2$ в сечении около узла J действуют равномерно распределенные по сечению нормальные осевые напряжения от продольной силы 70 МПа и напряжения от изгиба 35 МПа , обусловленные ветровым воздействием на сооружение. Будем полагать, что напряжения от изгибающего момента откорректированы в соответствии с рекомендациями параграфа 4.3, а увеличение наружного давления на элемент при движении воды пренебрежимо мало.

Можно считать, что нормативные осевые напряжения от продольной силы и от изгибающего момента, обусловленные воздействием ветра и ветра, зависят не только у самого концевого закрепления (в узле J), но и на малом удалении от него, где показывают напряжения, возникшие изгибающим давлением. Это предположение вполне справедливо, так как осевые напряжения от продольной силы, обусловленной ветровым воздействием, постоянны по всей длине элемента, а соответствующие напряжения от изгибающего момента изменяются при удалении от закрепленного конца в меньшей степени, чем напряжения от наружного давления.

Рассмотрим сначала напряжения, возникающие у закрепленного конца J элемента. Допускаемые напряжения здесь такие же, как и в предыдущем примере. Однако, поскольку сейчас рассматриваются напряжения, обусловленные шарнирными условиями, то значения допускаемых напряжений можно увеличить на одну треть, т. е. $[\sigma_N] = 200 \text{ МПа}$; $[\sigma_M] = 222 \text{ МПа}$; $[\sigma_y] = 167 \text{ МПа}$.

На внутренней поверхности полиндра во результатом расчета в предыдущем примере $\sigma_N = -15,0 \text{ МПа}$; $\sigma_M = -46,2 \text{ МПа}$; $\sigma_y = -18,35 \text{ МПа}$. Кроме того, от вторичного воздействия заданы $\sigma_y = 70 \text{ МПа}$; $\sigma_M = \pm 35 \text{ МПа}$.

Для растянутой стороны элемента получим отождествление $\sigma_N = 55$ МПа; $\sigma_M = -11,2$ МПа, и, кроме этих напряжений, есть еще нормальные тангенциальные напряжения, указанные выше. Поскольку $\sigma_x = \sigma_N + \sigma_M > 0$ и $\sigma_y < 0$, должно проверяться условие (4.27)

$$\left| \frac{55}{200} - \frac{11,2}{222} + \frac{18,35}{167} \right| = 0,33,$$

что приемлемо.

Для сжатой стороны элемента получаем с учетом штормовых воздействий $\sigma_N = 55$ МПа; $\sigma_M = -81,2$ МПа. Так как здесь $\sigma_x = \sigma_N + \sigma_M < 0$ и $\sigma_y < 0$, должно проверяться условие (4.28)

$$\left| \frac{55}{200} - \frac{81,2}{222} \right| = 0,09; \quad \left| \frac{18,35}{167} \right| = 0,11,$$

что также приемлемо.

Рассмотрев напряжения на внешней поверхности растянутой и сжатой сторон элемента около узла J , найдем, что они тоже удовлетворяют условиям прочности.

Наконец, размотрим напряжения в сечении, удаленным от концевого закрепления. Из предыдущего примера $\sigma_N = -15,0$ МПа; $\sigma_M = 0$; $\sigma_y = -30,0$ МПа. Эти напряжения обусловлены изгибающим действием. Для растянутой стороны элемента при изгибающем воздействии имеем результатирующие напряжения $\sigma_N = 55$ МПа; $\sigma_M = 35$ МПа и кроме них тангенциальные напряжения σ_y , указанные выше. Так как $\sigma_x = \sigma_N + \sigma_M > 0$ и $\sigma_y < 0$, должно проверяться условие (4.27). Допускаемые напряжения $[\sigma_N]$ и $[\sigma_M]$ остаются без изменений, а $[\sigma_y]$ должны быть увеличены. В предыдущем примере они были равны 40,0 МПа, здесь же их можно принять на одну треть больше, т. е. $[\sigma_y] = 53,3$ МПа. Итак,

$$\left| \frac{55}{200} + \frac{35}{222} + \frac{30}{53,3} \right| = 0,99,$$

т. е. условие удовлетворяется. Аналогичная проверка для сжатой стороны элемента в сечении, удаленным от закрепленного конца, дает также удовлетворительный результат.

4.6. Кольцевые подкрепления

Из примеров параграфа 4.5 видно, что кратицкое сечение элемента, подвергненное изгибу, обычно связано с выпуклыми изгибом тангенциальными нормальными напряжениями, при которых происходит сдвигование цилиндра. В случаях, когда эти напряжения недостаточно велики по сравнению с тангенциальными

напряжениями, обусловленными изгибающим действием, элемент может быть подкреплен радиальными кольцами жесткости (рис. 4.21). Увеличение максимального тангенциального напряжения при изгибе, вызванного этим подкреплением, зависит от положения сечения b и радиуса плавкости r , а также от шага колец δ вдоль оси элемента. Из механизма изгиба известно, в частности, что тангенциальное нормальное напряжение $\sigma_{\theta, \text{кр}}$, при котором происходит сдвигование цилиндра, зависит только от отношения b/r и параметра

$$B = \frac{L}{r} \sqrt{\frac{r}{\delta}}. \quad (4.32)$$

График на рис. 4.22 позволяет получить значения $\sigma_{\theta, \text{кр}}$ при различных значениях b/r и B . Помимо этого графика можно воспользоваться более точными зависимостями $\sigma_{\theta, \text{кр}}, \text{МПа}$, приведенными в [34].

Расчет подкрепленных колец может быть основан на определении кратицкской радиальной нагрузки q (относитель к единице длины окружности), при которой син теряет устойчивость. Из механики твердого деформируемого тела

$$q = \frac{3EI}{R_0^2}, \quad (4.33)$$

где E — модуль Юнга материала кольца; R_0 — средний радиус кольца; I — момент инерции кольца относительно центрального сечения. Обозначим выраже-

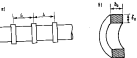


Рис. 4.21. Кольцевые подкрепления цилиндрического элемента от теории устойчивости в виде цилиндрических: а — размещение колец по длине элемента; б — поперечное сечение кольца.

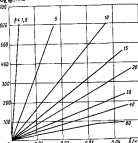


Рис. 4.22. К кривым кратицкого давления нормального тангенциального напряжения для поликратического цилиндрического элемента.

к вынуженному поперечному сечению колпца соответственно δ_0 и δ_0' , можно записать

$$\sigma_{\theta} = r + 0.5\delta_0; \quad I = (1/12)\delta_0\delta_0'^2. \quad (4.34)$$

Если считать, что наружное давление на цилиндрический элемент, действующее между двумя соседними колпцами, полностью воспринимается этими колпцами, то $q = pL$, где p – наружное давление на цилиндрический элемент. Принимая r в 1,5 раза большим критического наружного давления на цилиндр, т. е.

$$p = 1.5\sigma_{\theta, \text{кр}}(\delta/r), \quad (4.35)$$

из выражения (4.33) найдем минимально необходимый момент изгиба поперечного сечения колпца

$$I = \frac{5LR_0^3}{2rE} \sigma_{\theta, \text{кр}}. \quad (4.36)$$

Пример 4.6–1. Стальной цилиндрической имеет опорную основу на буровой платформе, имеющей радиус 0,3 м, толщину стены 12 мм и предел текучести 250 МПа, испытывает наружное давление интенсивности 2,5 МПа (что соответствует его заполнение на 250 м). Необходимо определить нормальные тангенциальные напряжения и определить необходимость колпцевого подкрепления для предотвращения возможной потери устойчивости формы в виде сплюсывания.

Напряжение в элементе на удалении от его концов находим по выражениям (4.4) и (4.5): $\sigma_{\theta} = -62,5$ МПа; $\sigma_{\theta}' = -31,2$ МПа, а критическое значение напряжений, при котором наступает потеря устойчивости цилиндрической формы, по формуле (4.30): $\sigma_{\theta, \text{кр}} = 74,0$ МПа.

Таким образом, здесь $\sigma_{\theta, \text{кр}}/\sigma_{\theta} = 0,296$, и по табл. 4.5 получаем $[\sigma_{\theta}] = 37,0$ МПа. Проверим далее условие (4.28)

$$\left| \frac{\sigma_{\theta}}{[\sigma_{\theta}]} \right| = \left| \frac{-62,5}{37,0} \right| = 1,69,$$

видим, что оно не удовлетворяется.

Чтобы увеличить критическое значение тангенциальных напряжений, предусмотреть установку колпцевых подкреплений и попытаемся для проверки, что они размещены по длине цилиндрического элемента через 2,5 м. По формуле (4.33) получим, что при $\delta/r = 0,046 = 42$. По графику на рис. 4.22 найдем при этих значениях, что $\sigma_{\theta, \text{кр}} = 150$ МПа. Таким образом, $\sigma_{\theta, \text{кр}}/\sigma_{\theta} = 0,60$. Допускаемое напряжение $[\sigma_{\theta}]$ получим по табл. 4.5 интерполяцией значений $[\sigma_{\theta}]/\sigma_{\theta}$, соответствующих отношениям $\sigma_{\theta}/\sigma_{\theta}$, равным 0,5 и 1. В результате найдем, что $[\sigma_{\theta}]/\sigma_{\theta} = 0,29$ и $[\sigma_{\theta}] = 70$ МПа.

Проверим условие (4.28) с учетом достигнутого увеличения критического тангенциального напряжения

$$\left| \frac{\sigma_{\theta}}{[\sigma_{\theta}]} \right| = \left| \frac{-62,5}{70,0} \right| = 0,89,$$

что допустимо.

Для определения размеров подкрепляющего колпца, положим для проверки, что его диаметр δ_0 равен 6 см, и определим соответствующую ширину B_0 по выражению (4.36). Получим (если колпцы выполнены из стали), что

$$I = \frac{0,012 \cdot 2,5 \cdot 0,33^3}{2 \cdot 0,3 \cdot 210 \cdot 10^9} \cdot 150 = 1,28 \cdot 10^{-8} \text{ м}^4,$$

и затем по выражению (4.34) для момента изгиба поперечного сечения колпца найдем

$$B_0 = \frac{12I}{\delta_0^3} = \frac{12 \cdot 1,28 \cdot 10^{-8}}{(0,06)^3} = 0,07 \text{ м.}$$

Таким образом, можно рекомендовать в данном случае использовать стальные подкрепляющие колпцы толщиной 60 мм, шириной 70 мм и внутренним диаметром 0,61 м.

4.7. Расчеты узловых соединений

Подкрепление. Узлы сооружений морского шельфа образуются в местах, где боковые спирки прикрепляются к оторванным колпцам. Рис. 4.23, а изображает основные детали типичного узлового соединения опорной колонны с боковыми элементами, в котором последние не перекрывают. При расчете на ветровые и волновые нагрузки считается, что усилия в боковых элементах передаются на стены опорной колонны. Таким образом, необходимо рассмотреть возможность предельных значений напряжений в стенах опорной колонны, если их толщина недостаточна.

Для приближенной оценки касательных напряжений, при которых возможно проскальзывание сечения опорной колонны при воздействии на нее боковым элементом, можно пронабрать краинской опорной колонны и схематизировать соединение, как пересечение эластичного цилиндрического элемента с пластинкой (рис. 4.23, б). Контур пересечения будет в таком случае иметь форму листика с большой и малой осью, равными соответственно $2R_B$ и $\delta = 2R_B$, где R_B – радиус бокового элемента, а δ – угол наклона бокового элемента относительно опорной колонны (см. рис. 4.23, б). Таким образом, есть обозначить f_B – нормальную (по отношению к колонне) составляющую усилия от бокового

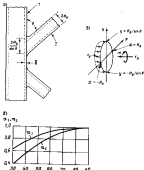


Рис. 4.23. К расчету узловых соединений: а — схема опорной колонны (1) с равнотягами (2); б — схема распространения напряжений; в — график зависимости коэффициентов α_1 , α_2 от угла δ .

элемента, то касательное напряжение в стенке колонны от нормальной силы

$$\tau_{\text{an}} = f_x / \mathcal{C}, \quad (4.37)$$

где \mathcal{C} — толщина стены колонны; C — длина контура пересечения колонны с боковым элементом. Аналогично, если обозначить θ элемент, передаваемый боковым элементом на колонну, то соответствующее ему касательное напряжение τ_{an} равно

$$\tau_{\text{an}} = \mu \nu / I_1; \quad I_1 = \int y^2 d\theta. \quad (4.38)$$

Здесь y измеряется от центра эллипса (рис. 4.23, б). Экспериментальные значения напряжений соответствуют $y = \pm R_B \sin \theta$. Сложив значения напряжений от продольной силы и от момента, передаваемых боковым элементом на колонну, получим предельное значение касательного напряжения, при котором может произойти продавливание (или вырыв) бокового элемента,

$$\tau_B = \alpha_1 \frac{|f_x|}{2\pi R_B} + \alpha_2 \frac{|\nu w|}{\pi R_B^2}. \quad (4.39)$$

где α_1 и α_2 — безразмерные коэффициенты, определяемые по формулам

$$\alpha_1 = -\frac{2\pi R_B}{C}; \quad \alpha_2 = \frac{\pi R_B^2}{\sin \theta} \frac{1}{I_1}. \quad (4.40)$$

Эти коэффициенты зависят только от угла δ наклона бокового элемента по отношению к опорной колонне x , следовательно, могут быть найдены из геометрических соотношений, показанных на рис. 4.23, б. Численные значения α_1 и α_2 можно получить и по графику из рис. 4.23, в.

Чтобы гарантировать устойчивое существование от продавливания, необходимо обеспечить значение I_1 меньше, чем допускаемое касательное напряжение для материала колонны, применяемого с учетом некоторого коэффициента запаса. Это значение может быть приближенно принято равным 0,4 от предела текучести при растяжении. Более точные рекомендации по этому вопросу, а также по расчету более сложных соединений можно найти в трудах Американского нефтяного института [34].

Пример 4.7-1. Для вертикальной колонны, показанной на рис. 4.24, определим максимальную допустимую толщину стены стеки, при которой не происходит ее продавливание раскосом $J-2$. Положим максимальное сопротивление стеки равным 100 МПа.

При угле наклона раскоса по отношению к колонне, равном 45° , по графику на рис. 4.23, в, получим, что $\alpha_1 = 0,82$ и $\alpha_2 = 0,56$. Подставив эти значения в формулу (4.39), получим

$$100 = 0,82 \frac{1,3}{2\pi 10,30} + 0,56 \frac{0,75}{\pi 10,30^2}.$$

откуда найдем $\delta = 0,02$ м, т. е. минимальную толщину стеки.

Усталостное разрушение. Разрушение узловых соединений может быть обусловлено не только продавливанием стены колонны, но и проникновением в результате усталости материала, проявляющейся в виде развития микротрещин под влиянием многоцикловых циклических изменений нагрузки при повторном воздействии. Усталостное разрушение может наступить даже тогда, когда напряжения в элементах не превосходят предела текучести. Чем выше эпилогическая минимальная напряжение, тем меньше число циклов требуется для разрушения. Из-за резкого изменения геометрии концов раскосов, проходящихших к углу, тол-

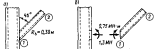


Рис. 4.24. К примеру 4.7-1: а — схема узла; б — расчетные усилия.

возрастает концентрация напряжений, поэтому усталостные разрушения, если они происходят, следуют ожидать прежде всего на концах раскосов или в материалах сарниного типа.

Усталостная характеристика материала обычно представляется в форме кривой усталости, показывающей число циклов N , необходимых для наступления усталостного разрушения при данной амплитуде напряжений σ (или линии изоциклов изменения напряжений 20).

На рис. 4.25 показана кривая усталости, типичная для сталей, обычно применяемых для сооружений континентального шельфа. Как видно, при амплитудах колебаний напряжений, меньших 7 МПа, усталостное разрушение не возникает, как бы ни было велико число циклов. Этот уровень напряжений принимается за предел усталостности.

График на рис. 4.25 определяет циклические нагрузки при фиксированной амплитуде напряжений σ . В сооружениях континентального шельфа элементы подвергаются за время эксплуатации переменным по амплитуде напряжениям, что связано с различными состояниями моря. В этом случае каждая амплитуда циклических напряжений приводит некоторое усталостное повреждение в элементе, и в конечном счете усталостное разрушение скапливается с накоплением усталостных повреждений при всех амплитудах напряжений. Простейшее представление о накоплении циклических повреждений, приводимое к усталостному разрушению, есть гипотеза о суммировании усталостных повреждений (Полиграфи - Майнер), согласно которой условие разрушения

$$\frac{N_1}{N_{i_1}} + \frac{N_2}{N_{i_2}} + \dots + \frac{N_m}{N_{i_m}} = 1, \quad (4.41)$$

где i_1 - число циклов изменения напряжений с амплитудой σ_1 ; N_i - число циклов с той же амплитудой, при котором наступает усталостное разрушение в т. д. Значения N_1, N_2, \dots, N_m определяются по кривой усталости.

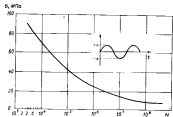


Рис. 4.25. Кривая усталости для конструкционной стали, взятой для сооружений в морской воде.

Для использования этого соотношения в расчетах на усталость элементов сооружения необходимо иметь представление об изменениях уровня напряжений в течение времени эксплуатации сооружения и коэффициентах наклона изменения напряжения, испытываемого элементом на каждом уровне. Для получения такой оценки и проведения последующих расчетов на усталость можно рекомендовать метод статистической теории [21]. Упрощенные расчеты могут бытьеные выполнены путем рассмотрения различных дискретных уровней напряжений, возможных в результате возможных воздействий за весь период существования сооружения, с одинаковой вероятностью относящими к этому периоду длительности работы сооружения при каждом уровне напряжений. Долговечность элемента может быть тогда оценена непосредственно по выражению (4.41). В частности, если обозначить T срок службы элемента до усталостного разрушения, а t_1, t_2, \dots части этого срока, при которых происходят циклические изменения напряжений с амплитудами $\sigma_1, \sigma_2, \dots$ соответственно, то связанные с ними значения N_1, N_2 в выражении (4.41) определяются просто

$$n_1 = \sigma_1 T / T_1; \quad n_2 = \sigma_2 T / T_2, \dots$$

где T_1, T_2, \dots - времена циклов изменения напряжений с амплитудами $\sigma_1, \sigma_2, \dots$. Подставив эти выражения в (4.41), получим условие усталостного разрушения в виде

$$\frac{e_1 T}{N_1 T_1} + \frac{e_2 T}{N_2 T_2} + \dots + \frac{e_m T}{N_m T_m} = 1. \quad (4.42)$$

Отсюда может быть определен срок службы элемента до усталостного разрушения.

При выполнении указанных расчетов необходимо задаться законом распределения высот и периодов волн, а также данными времени (из общего времени эксплуатации сооружения), в течение которого они действуют. Для каждой волны можно определить максимальные нормальные осевые напряжения (суммарные от продольной силы и изгибающего момента) на концах боковых элементов с помощью методов, приведенных в параграфе 4.2. Эти максимальные напряжения разны для амплитуд циклически изменяющихся напряжений, обусловленных волновой нагрузкой, в передней части разы периода соответствующей волны. Как отмечено выше, разное изменение геометрии в узловых соединениях приводит к местному увеличению напряжений.

Эти напряжения играют важную роль в расчетах на усталостную прочность, поскольку ускоряют развитие микротреции в рассматриваемой зоне. В таких расчетах напряжения принимаются увеличенными на коэффициент концентрации напряжений k_0 , т. е. вместо амплитуды циклического изменения напряжений в расчет вводится $k_0 \sigma_0$. Значение k_0 обычно принимается равным от 2 до 3. Напряжения, используемые в расчетах, могут быть увеличены не только с целью учсть концентрации

Таблица 4.6. Данные к расчету срока службы элемента

<i>H</i> , м	<i>T</i> , с	<i>c</i> , %	<i>a</i> , МПа
12–18	12	0,01	35
6–12	10	0,03	38
3–6	9	0,10	38
1,5–3	7	1,00	4
0–1,5	3	98,86	2,7

напряжений, но и в связи с динамичностью процесса взаимодействия, характерного для некоторых периодов волн. Приближенно этот фактор может быть учтен с помощью коэффициента динамичности, который будет получен далее в параграфе 4.10. По установленным амплитудам напряжений с помощью кривой усталости могут быть определены значения N_1, N_2, \dots , необходимые для подсчета срока службы элемента по условию (4.42).

Пример 4.7–2. Для различных уровней колебания в районе эксплуатации сооружения установлены высоты H и соответствующие периоды T волн, действующих в месте установки сооружения, которые условно разбиты на диапазоны, представленные в табл. 4.6. Там же приведены (в процентах от общего времени эксплуатации сооружения) интервалы времени, в течение которых действуют волны разных диапазонов. Кроме того, для рассматриваемого бокового элемента сооружения известны амплитуды напряжения a , соответствующие каждому диапазону волнения. Определим срок службы T удовлетворяющий, полагая коэффициент концентрации напряжений k_c равным 2,0. Эффект динамического характера внешнего воздействия здесь не учитывается.

Эффективное напряжение, отвечающее изометрической амплитуде $a_1 = 35$ МПа, равно $k_c a_1 = 70$ МПа. По кривой усталости на рис. 4.25 находим, что число циклов N_1 изменения напряжения с такой амплитудой, приводящее к разрушению, равно 10^4 . Как следует из табл. 4.6, первое колебание, при которой возникает рассматриваемый уровень напряжений, $T_1 = 12$ с, а для времени, в течение которого такое колебание может наблюдаться, $c_1 = 0,0001$. Аналогичные данные можно собрать и по остальным уровням колебаний и отвечающим им амплитудам напряжений. Из условия (4.42)

$$\left(\frac{0,0001}{10^6 \cdot 12} + \frac{0,003}{10^6 \cdot 10} + \frac{0,001}{10^6 \cdot 18} + \frac{0,01}{10^6 \cdot 35} \right) T = 1.$$

Заметим, что уровень напряжений 2,7 МПа соответствует эффективное напряжение 5,4 МПа, которое ниже предела прочности (см. рис. 4.25). Отношение $c_1 T / (N_1 T_1)$ для этого уровня напряжений равно нулю и, следовательно, не включается в условие (4.42). Из полученного решения находим, что $T = 6,78 \cdot 10^6$ с или 21,5 года.

4.8. Расчеты железобетонных сооружений морского шельфа

Примеры подобных сооружений даны в главе 1. Железобетонные буровые платформы относятся к оборудованию гравитационного типа, поскольку их устойчивость на склоновидении от горизонтальных нагрузок обеспечивается благодаря значительному собственному весу, передаваемому через поверхность грунтового основания на большую площадь опирания (рис. 4.26). Как показано на рисунке, такие сооружения обычно состоят из гранитного фундаментного блока и одной или нескольких, не соединенных друг с другом опорных колонн, поддерживающих верхнее строение (платформу). Фундаментный блок и колонны выполнены из железобетона, а платформа из стали. Основное назначение фундаментного блока – обеспечение надежного опирания и устойчивости всего сооружения. Большой член фундаментный блок и опорные колонны строятся из монолитной аксиальной глины в вертикальном положении. После монтизации верхнего строения сооружение буксируется в полуторагужевом состоянии к месту эксплуатации, где якорный фундамент заливается водой и опускается на морское дно.

Если не учитывать те особенности, которые порождены способом установки на место бурения, то оказывается, что проектовые и расчеты гравитационных сооружений имеют много общего с изложенным выше методами расчета для сооружений, выполненных из стали. Так, можно воспользоваться полученным ранее расчетными нагрузками от волнового и ветрового воздействий, записанными для предварительного назначения и последующего уточнения основных размеров элементов при choix конструктивной формы, обеспечивающей надлежащую прочность сооружения при действии расчетных нагрузок. Изложенные в главе 2 методы строительной механики для определения внутренних усилий в элементах сооружения спрашивались как для стальных, так и железобетонных конструкций. Однако, использование железобетона в качестве конструкционного материала приводит к необходимости проведения дополнительных расчетов, которые для стальных конструкций не выполняются.

Как конструкционный материал бетон обладает высокой прочностью при сжимающих нагрузках (общено от 20 до 40 МПа) и очень низкой при растяжении (менее 15 % от прочности при сжатии). Таким образом, в бетонных элементах, подвергшихся растяжению от предельной силы или же вследствие изгиба, необходимо предусмотреть дополнительные средства для восприятия растягивающих усилий.

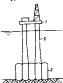


Рис. 4.26. Железобетонная гравитационная буровая платформа:

1 – каркас строения; 2 – железобетонные опорные колонны; 3 – железобетонный элемент платформы.

Одним из способов достижения этой цели является отрывка бетона вокруг стальных арматурных спиралей, вытянутых в направлении сжимаемых растягивающих усилий. При загружении элемента после отвердения бетона растягивающие усилия будут приносить на себя арматурный спираль. Недостатком железобетона как материала для сооружений морского шельфа является растрескивание бетона вокруг арматуры при растягивающих нагрузках и нарушение слоев, защищающих арматурную сталь от коррозионного действия морской воды.

Другой способ упрочнения бетона для восприятия растягивающих усилий заключается в том, что после отвердения бетона через оставленные в элементе узкие продольные каналы протягиваются высокопрочные стальные проволоки, пучки или спирали, которые сначала зачеканываются на одном конце, загибаются и занакорачиваются в бетоне на другом конце. Усилия на нихны стали передаются на бетон в виде сжимающей нагрузки. Присоединение к элементу растягивающей нагрузки к напряжению предварительного натяжения проявляется (при условии, что предварительное натяжение достаточно), как разгрузка бетона от его начального обобщенного состояния. В этих условиях бетон сам по себе при нагрузке не испытывает растягивающих напряжений и, следовательно, не растрескивается.

Если предварительное натяжение достаточно велико для предотвращения растрескивания бетона при растяжении, то для расчета предварительно натягиваемых элементов используются обычные теории изгиба балок.

В отличие от стали бетон не имеет хорошо выраженного предела напряжений, ниже которого диаграмма деформации оказывается линейной. Напротив, касательная к диаграмме деформации для бетона при сжатии имеет постепенное изменяющийся наклон, значение которого зависит не только от достигнутого уровня напряжений, но и от прочности конкретно рассматриваемого вида бетона. На рис. 4.27, а показаны диаграммы деформации для двух бетонов, имеющих разные пределы прочности σ_b^* . Наклон начальной, почти прямолинейной, части диаграммы используется обычно для определения модуля упругости бетона E_b в метапластиках, который может быть найден также по эмпирической формуле

$$E_b = 44\gamma_B^{2/3} \sqrt{\sigma_b^*},$$

где γ_B — удельный вес бетона, $\text{кН}/\text{м}^3$ (обычно около $23 \text{ кН}/\text{м}^3$); а σ_b^* выражается в метапластиках. Возможность расчетов в упругой стадии при определенном таким образом модуле упругости ограничена уровнем напряжений, находящимся не выше 45% от предела прочности бетона.

Однако, даже при указанном ограничении расчеты могут быть затруднены в связи с ползучестью бетона, релаксацией напряжений в арматурных пучках, проскальзыванием и анкеров и т. д. По этой причине при расчете железобетонных элементов в отличие от стальных общий коэффициент запаса назначается обычно по предельному значению

нагрузки, которую элемент может выдержать без разрушения, а не по уровню изгижений, возникающих в нем при расчетных нагрузках.

В типичных сооружениях морского шельфа, портобных изображенному на рис. 4.26, предварительное напряжение арматуры применяется обычно для предотвращения трещинообразования в бетонных опорных колоннах и линейных фундаментных блоках. Однако при расчете только на одно предварительное напряжение арматуры иссущую способность элементов может оказаться недостаточной по сравнению с расчетной нагрузкой, установленной с учетом общего коэффициента запаса (обычно принимаемого в диапазоне от 1,5 до 2,0) и учитывающего одновременно увеличение нагрузки и снижение несущей способности). В этом случае для повышения несущей способности по требуемому уровню к расчетной предварительной напряжению арматуре добавляется обвязка, т. е. накидные скобы. Характерные диаграммы деформации для бетона при сжатии: а — для бетона при сжатии; б — для краиногового пучка (У) пучки из высокопрочной стали к арматурному спиралю G2.

Рекомендации по проектированию железобетонных сооружений общего типа можно найти в [5], а с учетом специфики сооружений морского шельфа — в [13]. Общие положения расчета бетона изложены в работах [18, 49].

Чтобы проиллюстрировать основные принципы расчета предварительно напряженного бетона, рассмотрим элемент, имеющий один предварительно напряженный арматурный пучок, совпадающий с продольной осью элемента (рис. 4.28). По концам элемента приложены продольные силы N_1 и N_2 , изгибающие моменты M_1 и M_2 . Изменяя поперечное сечение арматурного пучка, сдвигается достаточно мало, так что напряжения в бетоне могут быть подсчитаны для сечения бруста. Если обозначить в расстояние от оси элемента по его внешней поверхности,

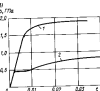
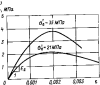


Рис. 4.27. Диаграммы деформации: а — для бетона при сжатии; б — для краиногового пучка (У) пучки из высокопрочной стали к арматурному спиралю G2.



Рис. 4.28. Предварительно напряженный железобетонный элемент.

1 — пучок высокопрочной стальной арматурной проволоки; 2 — бетон.

максимальное нормальное напряжение в бетоне при изгибе может быть определено по формуле

$$\sigma_{B, M} = \pm Ma/I, \quad (4.43)$$

где M – максимальный изгибющий момент; I – момент инерции поперечного сечения элемента. Аналогично, нормальные напряжения, связанные с продольной силой, определяются зависимостью

$$\sigma_{B, N} = -N/A, \quad (4.44)$$

где A – общая площадь поперечного сечения элемента. Усилие напряжений пучка передается на бетон как скиммающее и вызывает в нем предварительные напряжения

$$\sigma_{B, ap} = -\sigma_a A_s/A, \quad (4.45)$$

где σ_a – напряжение в натянутом арматурном пучке; A_s – площадь поперечного сечения арматуры.

Результирующее напряжение в бетоне получается суммированием полученных выражений:

$$\sigma_B = \pm \frac{Ma}{I} - \frac{N}{A} - \frac{\sigma_a A_s}{A}. \quad (4.46)$$

Условием отсутствия растягивающего напряжения в бетоне при изгибе будет равенство

$$0 = \pm \frac{Ma}{I} - \frac{N}{A} - \frac{\sigma_a A_s}{A}, \quad (4.47)$$

из которого определяется площадь поперечного сечения арматуры, если в ней задано предварительное напряжение σ_a . Соответствующее этому условию максимальное скиммающее напряжение в бетоне

$$\sigma_B = -\frac{Ma}{I} - \frac{N}{A} - \frac{\sigma_a A_s}{A}. \quad (4.48)$$

Поскольку для определения напряжений использовалась теория упругого изгиба балок, это скиммающее напряжение обычно ограничивается значением 45% предела прочности бетона на сжатие. В этих пределах, как отмечалось выше, бетон можно условно считать упругим. При заданных размерах сечения элемента это условие ограничивает значение изгибающего момента и продольной силы, которые могут быть приложены к элементу.

На основании теории упругого изгиба балок могут быть подсчитаны касательные напряжения в бетоне, а затем с учетом нормальных

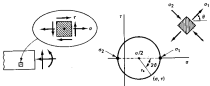


Рис. 4.19. Круг Нэра и главные напряжения в бетонном элементе (радиус круга $r = \sqrt{(a/2)^2 + r^2}$).

напряжений вычислено значение главного растягивающего напряжения. Это напряжение действует под углом к растягивающему нормальному напряжению, обусловленному изгибом. Если обозначить τ касательное, а σ нормальное напряжение в некоторой точке поперечного сечения элемента, то такое растягивающее напряжение σ_1 определяется с помощью круга Нэра (рис. 4.19), как

$$\sigma_1 = (\sigma/2) + \sqrt{(\sigma/2)^2 + \tau^2}, \quad (4.49)$$

а угол θ между направлением действия этого напряжения и осью зерна находится из выражения

$$\operatorname{tg} 2\theta = 2\tau/\sigma. \quad (4.50)$$

Критическое значение этого напряжения в мегапаскалях, соответствующее разрушению, обычно называется равным около $0,33\sqrt{\sigma'_B}$, где σ'_B – предел прочности бетона на сжатие, МПа. Условием отсутствия трещинобразования таким образом будет $\sigma_1 \leq 0,33\sqrt{\sigma'_B}$, где σ_1 – наибольшее значение растягивающего главного напряжения в элементе.

В относительно длинных элементах, где доминирует напряжение от изгиба, образование трещин от нормальных растягивающих напряжений, связанных с изгибом, следует ожидать появление трещин, обусловленных расхождением в диагональном направлении. Для того чтобы оценить значение изгибающего момента M_p , соответствующего началу трещинобразования, можно использовать формулу (4.46), в которой напряжение расхождения следует принять равным значению σ'_B , соответствующему образованию трещин. Это критическое напряжение обычно принимается равным (в МПа) $0,63\sqrt{\sigma'_B}$, где σ'_B – предел прочности бетона на сжатие, МПа. Таким образом, получим уравнение

$$\sigma'_B = \frac{M_p x}{I} - \frac{N}{A} - \frac{\sigma_a A_s}{A}, \quad (4.51)$$

из которого определяется изгибающий момент, соответствующий началу трещинобразования.

Полученные выше результаты основаны на представлении бетона как вязкоупругого материала. Уже отмечено ранее, что вкладение явлений плавучести, релаксации напряжений в предварительно армированых пучках результатов, полученных на основе метода допускаемых напряжений, содержит некоторую ошибку. Как правило в практике инженерных расчетов бетонных конструкций, общий коэффициент запаса устанавливается соответственно путем определения максимального значения момента, который элемент может воспринимать без разрушения. Эти расчеты выполняются с помощью метода разрушающих усилий.

Чтобы установить указанный момент, рассмотрим предельное состояние, в котором бетон в сжатой зоне блоки к расстяжению, а в растянутой зоне уже полностью расстянутся и не способны нести никакие растягивающие усилия. Деформации сжатия, вызывающие разрушение бетона, обычно равны 0,003. Изменение деформации по высоте поперечного сечения элемента полагается линейным (рис. 4.30, а) и может быть представлено в виде

$$\epsilon = -(0,003/e)\xi, \quad (4.52)$$

где ξ означает расстояние от нейтральной оси (поперечное, если направо вверх); e — расстояние от внешнего изгиба до нейтральной оси.

Поскольку диаграмма деформации при таком уровне деформации уже не является линейной, распределение сжимающих напряжений в бетоне должно быть таким, как изображено на рис. 4.30, б. Растягивающие напряжения в бетоне называются нутриями, т. е. при данном уровне деформации бетона из-за трения не способен нести растягивающие усилия.

Для упрощения расчетов распределение сжимающих напряжений сечению аппроксимируется равномерно распределенным (рис. 4.30, в), причем $\sigma_b = -0,65\sigma_s$, а коэффициент e принимается равным 0,85 при $\sigma_b \leq 28 \text{ МПа}$ и при увеличении σ_b сверх 28 МПа уменьшается на 0,05 на каждые 7 МПа.

По условию равновесия суммы сжимающих сил в бетоне и растягивающих усилий в арматурном пучке должна равняться продольной скжимающей силе N , т. е.

$$\sigma_b A_b - \sigma_s A_s = -N, \quad (4.53)$$

где A_b — площадь сжатой зоны сечения, в пределах которой действует напряжение σ_b . Поступившее равенство может быть использовано для

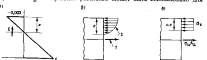


Рис. 4.30. Схемы к расчету предельного значения момента: а — изменение деформаций по высоте поперечного сечения элемента; б — усилия в арматуре (σ_s) и напряжения в бетоне (σ_b); в — упрощенная схема распределения напряжений в бетоне.

определения положения нейтральной (при изгибе) оси путем нахождения расстояния e . Напряжение σ_s определяется по диаграмме деформации арматурного стального пучка при деформации, равной сумме деформации, соответствующей предизгиблому напряжению, и деформации, определяемой по выражению (4.52). Так как эта деформация зависит от расстояния e , решение уравнения приходится получать путем последовательных приближений.

По найденному значению e может быть определен предельный изгибающий момент M_{sp} относительно центральной оси сечения как сумма моментов от сжимающих и растягивающих усилий. Так как в рассматриваемом случае арматурные пучки совпадают с нейтральной осью элемента, плюс растягивающего усилия равно нулю. Следовательно, предельный изгибающий момент определяется по следующему уравнению $\sigma_b A_b e$:

$$M_{sp} = \sigma_b A_b e, \quad (4.54)$$

где e — расстояние от центральной оси поперечного сечения до центра тяжести сжатой зоны этого сечения.

Если предельный изгибающий момент не отличается от расчетного по принятой коэффициенту запаса, он может быть повышен с помощью дополнительного армирования обычными (не предварительно) спиральюми, расположимыми вдоль оси элемента. Например, если единственный арматурный стержень с поперечным сечением A_f разделен на расстоянии f ниже центральной оси элемента, то напряжение σ_{sf} в этом стержне, определяемое по деформации из выражения (4.52) и диаграмме деформации арматурной стали, создает дополнительное усилие $\sigma_{sf} A_f$, которое должно быть включено в равенство (4.53), а в выражение (4.54) соответственно включется дополнительный момент, равный $\sigma_{sf} A_f e$.

В direction к обычному армированию, которое может потребоваться в связи с увеличением предельного значения момента в элементе, может оказаться необходимым армирование для предотвращения трещинообразования при совместном действии касательного и нормального напряжений, соответствующих предельным нагрузкам. Это обозначается тем, что необходимый уровень предельного изгибающего момента не может реализовываться из-за недостаточности потенциального бетона сопротивления имеющимся поперечным силам. В этой связи поперечные элементы устанавливаются арматурные стержни, называемые дужками, которые придают элементу способность сопротивляться сдвигу.

В качестве примера рассмотрим отдельную трещину в элементе с хомутами на рис. 4.31. Если Q_{sp} обозначает поперечную силу, отвечающую расчетному предельному моменту M_{sp} , а Q_d обозначает поперечную силу, которую бетон может нести до расстяжения, то разность усилий $Q_{sp} - Q_d$ должна быть сбалансирована усилиями в хомутах. Обозначим A_d общую площадь поперечного сечения хомутов в любом продольном сечении. Тогда максимальное усилие, возникающее в них, равно приближенно $\sigma_d A_d$, где σ_d — предел текучести материала хомутов. Основательно, если обозначить в проекции длины трещины на ось элемента, а s — шаг хомутов, то число хомутов, проходящихся на

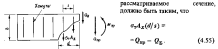


Рис. 4.31. К расчету поперечной арматуры. Поперечная сила Q_b объемно оценивается как наименьшая из поперечных сил, вызывающих появление трещин в центральной части элемента при косом растяжении или развитие трещин на внешней поверхности при изгибе. Первые из упомянутых трещин появляются, когда косое растяжение достигает напряжения $0,35 \sqrt{f_u}$ МПа, а вторые при осевом растяжении с напряжением около $0,83 \sqrt{f_u}$, где f_u — предел прочности бетона на сжатие, МПа. Проекция длины трещин b зависит от среднего зажима ее по отношению к оси элемента и глубины проникновения ее внутрь элемента. В инженерных расчётах последняя назначается равной 0,8 от высоты сечения элемента. При известных Q_b и b заданных значениях прочности и площади поперечного сечения хомутов уравнение (4.55) может быть решено относительно шага хомутов. Как правило, шаг хомутов должен быть не более $d/2$, чтобы они пересекались со всеми возможными трещинами. При $Q_b \geq Q_{sp}$ согласно уравнению (4.55) повторное армирование не требуется. Однако, даже когда это условие выполняется, в большинстве рекомендаций по проектированию железобетонных конструкций имеется предложение по размещению минимального количества поперечной арматуры (см. например [5]).

Пример 4.8-1. Рассмотрим опорное основание башенной платформы в виде массивного фундаментного блока с одиночной цилиндрической железобетонной колонны, поддерживающей верхнее строение платформы с оборудованием (рис. 4.32, а). Колонна имеет внешний диаметр 4,5 м, и внутренний диаметр 3,3 м. Верхнее строение с оборудованием весит 25 МН, в колонне — 4,2 МН. Поставив равнодействующую внешней и ветровой нагрузок равной 1,8 МН и действующей на уровне 19 м выше основания колонны, определим площадь поперечного сечения предварительно армированной арматуры, необходимой для предотвращения возникновения растягивающих напряжений в бетоне при условии, что арматурные пучки размещены на площади сечения колонны симметричного и предварительно напряженного до 1,05 ГПа. Кроме того необходимо оценить косое растяжение, обусловленное максимальными касательными



Рис. 4.32. К примеру 4.8-1.

напряжениями, и момент трещинобразования, при котором предел прочности бетона равен 35 МПа.

Внутренние усилия достигают максимальных значений в основании колонны (см. рис. 4.32, б). Момент изгиба I и площадь поперечного сечения (брутто) A колонны имеют следующие значения:

$$I = (\pi/64) (4,5^4 - 3,3^4) = 14,3 \text{ м}^4$$

$$A = (\pi/4) (4,5^2 - 3,3^2) = 7,35 \text{ м}^2.$$

Предварительное напряжение распределено равномерно по сечению колонны, так что равнодействующая его действует по центральной оси колонны. Из уравнения (4.47) при $a = R = 2,25$ м, $M = 34,2$ МНм и $N = 29,2$ МН получим

$$0 = \frac{34,2 \cdot 2,25}{14,3} - \frac{29,2}{7,35} - \frac{\sigma_b A_b}{7,35}.$$

Решая это уравнение относительно A_b , при заданном $\sigma_b = 1,05$ ГПа, найдем суммарную площадь поперечных сечений предварительно напряженных арматурных пучков A_b , равной $0,986 \cdot 10^{-2}$ м². Соответствующее этому максимальное скжимающее напряжение в бетоне:

$$\sigma_b = \frac{34,2 \cdot 2,25}{14,3} - \frac{29,2}{7,35} - \frac{1,05 \cdot 10^3 \cdot 0,986 \cdot 10^{-2}}{7,35} = -10,76 \text{ МПа.}$$

Оно может быть сопоставлено с максимальным допускаемым значением $0,45 f_u' = 0,45 \cdot 35 = 15,7$ МПа.

Из механики твердого деформируемого тела известно, что максимальное касательное напряжение возникает посередине высоты сечения и имеет значение и равно

$$\tau_m = Q_m S / I (25),$$

где Q_m — максимальная поперечная сила; I — момент изгиба поперечного сечения; S — геометрический момент поперечного сечения, который при заданных значениях внешнего и внутреннего радиусов сечения колонны, т. е. $R = 2,25$ м и $r = 1,05$ м, равен

$$S = \frac{2}{3} (R^3 - r^3) = \frac{2}{3} (2,25^3 - 1,05^3) = 4,60 \text{ м}^3.$$

При максимальном значении поперечной силы в колонне, равном 1,8 МН, максимальное касательное напряжение

$$\tau_m = \frac{1,8 \cdot 4,60}{14,3 \cdot 2,25} = 0,48 \text{ МПа.}$$

Нормальное напряжение в поперечном сечении колонны

$$\sigma = -\frac{29,2}{7,35} = \frac{1,05 \cdot 10^3 \cdot 0,986 \cdot 10^{-1}}{7,35} = -5,38 \text{ МПа.}$$

Максимальное (главное) растягивающее напряжение, вызванное совместным действием нормальных и касательных напряжений, определяется по формуле (5.49)

$$\sigma_1 = -\frac{5,38}{2} + \sqrt{\left(\frac{5,38}{2}\right)^2 + 0,48^2} = 0,04 \text{ МПа.}$$

Оно может быть сопоставлено с соответствующим разрушением критическим значением напряжения, равным $0,33 \sqrt{\sigma_B} = 0,33 \sqrt{35} = 1,96 \text{ МПа}$.

Момент трещинообразования, связанный с растягивающими нормальными напряжениями от изгиба, находится из уравнения (4.51) при $\sigma_B^t = 0,63 \sqrt{\sigma_B} = 0,63 \sqrt{35} = 3,68 \text{ МПа}$

$$3,68 \frac{M_B - 2,25}{14,3} = \frac{29,2}{7,35} = \frac{1,05 \cdot 10^3 \cdot 0,986 \cdot 10^{-1}}{7,35},$$

отсюда $M_B = 57,6 \text{ МН} \cdot \text{м}$, что примерно в 1,7 раза больше промежуточного момента.

Пример 4.8-2. Определить для условий предыдущего примера предельное значение изгибающего момента в колонне, полагая что предварительно напрягаемая арматура с площадью поперечного сечения пучка, равной 24 см^2 , струнирована в виде четырех пучков в поперечном сечении колонны (рис. 4.33) на окружности радиуса 1,95 м.

Положение распределения деформаций в сечении отвечающим трещинообразованию в бетоне, т. е. $\epsilon = -0,003$ (см. рис. 4.33, а). Выражение для распределения деформаций по высоте сечения может быть записано как

$$\epsilon = -(0,003/\xi),$$

где ξ – расстояние от нейтральной оси до точки сечения; ϵ – расстояние от нейтральной оси до нижней поверхности. Сумма сжимающего усилия в бетоне и растягивающего усилия в арматуре определяет сжимающую предельную силу в сечении. Таким образом, по аналогии с уравнением (4.53) должно быть $F_a - F_B = N = -29,2 \text{ МН}$. Это уравнение решается относительно ϵ путем последовательных приближений.

В качестве приближения полагается, что напряжения в стали линейно связаны с деформацией при ее заужении, меньших предела текучести, а при деформации, превышающей это значение, напряжения размыкают текучесть. Модуль упругости высоконапорной стали арматурных пучков принимается равным 186 ГПа, а предел текучести 1,45 ГПа. Деформация, отвечающая пределу текучести, равна $1,45/186 = 0,0078$.

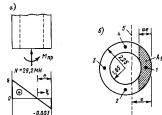


Рис. 4.33. К примеру 4.8-2.

1 – 4 – пучки квадратного плюскограненного армирования (площадь поперечного сечения пучка 24 см^2); 3 – ядро бетона.

Предварительное напряжение в стали установлено на уровне 1,05 ГПа, т. е. начальная деформация растяжения в арматурных пучках равна $1,05/186 = 0,0056$. Распределение сжимающего напряжения в бетоне аппроксимируется прямолинейной линией (см. рис. 4.30, а).

В первом приближении положим $\epsilon = 0,90$ м. Для арматурного пучка 1 получим $E = 1,95 - (2,25 - 0,90) = 0,60$ м. Деформация при соответствующем этому случаю изгибе элемента равна

$$\epsilon = -(0,003/0,60)0,60 = -0,002.$$

Добавив полученную величину к начальной деформации от предварительного напряжения, т. е. к 0,0056, получим деформацию, равную 0,0063, и соответствующее напряжение в стали $186 \cdot 0,0063 = 0,67 \text{ ГПа}$. Рассмотрев оставшиеся арматурные пучки 2, 3 и 4, найдем, что результатирующие деформации у них превосходят деформацию, соответствующую пределу текучести, но меньше той, что соответствует разрыву (обычно от 0,030 и более). Следовательно, напряжения в этих пучках равны пределу текучести. Так как площадь каждого пучка равна 24 см^2 , общее усилие в арматуре находится как $F_a = (0,67 - 0,0024 + 3 \cdot 1,45 - 0,0024) \cdot 10^3 = 12,05 \text{ МН}$.

Полная предел прочности бетона на сжатие равна $\sigma_B^t = 35 \text{ МПа}$, предел сжимающих напряжений в бетоне, как произведение $\sigma_B A_B$, где $\sigma_B = 0,85 \cdot 35 = 29,7 \text{ МПа}$; A_B – площадь запрятанной. На рис. 4.33, б части поперечного сечения колонны, которая может быть вырвана через внутренний ($r = 1,65 \text{ м}$) и внешний ($R = 1,95 \text{ м}$) радиусы колонного поперечного сечения.

$$A_B = A_R; \quad \text{если } r \leq R - r; \quad A_B = A_R - A_r; \quad \text{если } R - r < r$$

при A_R и A_F , определяемых соотношением при $\rho=R$ и $\rho=r$ по формуле

$$A_B = \frac{1}{2} \rho^2 (2\theta - \sin 2\theta);$$

$$\cos \delta = (R - \rho)/\rho.$$

При $\epsilon = 0,90$ м, $\pi = 0,8$ получим $A_B = 1,526 \text{ м}^2$ и склоняющее усилие в бетоне $F_B = 29,7 - 1,526 = 45,3 \text{ МН}$. Общее усилие в сечении колонны равно $F_A = F_B = 33,1 \text{ МН}$, что превышает фактическое склоняющее усилие $(-29,2 \text{ МН})$. Повторные расчеты, при $\epsilon = 0,80$ м найдем $F_A = 11,93 \text{ МН}$ и $F_B = -44,45 \text{ МН}$. Их сумма дает $F_A - F_B = -29,52 \text{ МН}$, что всего на 1% отличается от фактического значения усилия.

По найденному значению ϵ можно подсчитать склоняющий момент предельного момента M_{B0} относительно центральной оси сечения. Усилие в арматурных пучках 2 и 4 не создает момента относительно этой оси, поскольку оно имеет пулевые плоскости. Усилие в арматурных пучках 1 равно 1,50 МН и имеет плечо 1,95 м. Усилие в пучке 3 равно 3,48 МН и имеет плечо 1,95 м. Результирующий момент от усилий в арматурных пучках равен $-1,50 \cdot 1,95 + 3,48 \cdot 1,95 = 3,86 \text{ МН}\cdot\text{м}$. Склоняющее усилие в бетоне, как уже установлено, равно 44,45 МН. Положение центра тяжести площадки сечения A_B , на которой распределено это усилие, находится с помощью выражений

$$\bar{x} = x_R; \quad \text{если } \rho \leq R - r;$$

$$\bar{x} = \frac{A_R x_R - A_F x_F}{A_B}, \quad \text{если } \rho > R - r,$$

где x_R и x_F определяются соответственно при $\rho=R$ и $\rho=r$ по формуле

$$x_p = \frac{2}{3} \rho \frac{\sin^2 \theta}{\delta - \cos \theta \tan \theta}.$$

Здесь A_R , A_F и δ те же, что и ранее. Для $\epsilon = 0,80$ м имеем $A_R = 1,384 \text{ м}^2$, $A_F = 0,019 \text{ м}^2$, $x_R = 1,87 \text{ м}$, $\delta = 1,371 \text{ м}$ и $\bar{x} = 1,88 \text{ м}$. Момент от склоняющей, воспринимаемой бетоном, равен $44,45 \cdot 1,88 = 83,40 \text{ МН}\cdot\text{м}$. Предельное значение момента подсчитывается как сумма момента от усилий в бетоне и арматурных пучках $M_{B0}' = 3,86 + 83,40 = 87,26 \text{ МН}\cdot\text{м}$.

При расчетном значении изгибающего момента 29,2 МН·м, установленном в предыдущем примере, с общим коэффициентом залога, равным, скажем, 1,8, необходимо, чтобы предельный момент составлял 52,56 МН·м, так что исходная способность колонны более, чем достаточна.

Чтобы проверить необходимость в поперечном армировании при требуемом значении предельного момента 52,56 МН·м, можно

использоваться равенством (4.55). Так как максимальный изгибающий момент (в основании колонны) возникает от результатирующей нагрузки, приложенной на 19 м выше основания (см. рис. 4.31), соответствующий этому моменту поперечная сила равна $52,56/19 = 2,77 \text{ МН}$. Поперечная сила Q_B , которую может воспринять нерастянутый бетон при данном предельном уровне сдвиговых напряжений, определяется как наименьшая из тех, что являются показателем расположения трещин в центре поперечного сечения при расхождении либо возникновении трещин, направленных от края к центральной оси, при растяжении от изгиба.

Для косых трещин, образующихся от растяжения, принимается, что главные растягивающие напряжения достигают предельного значения, сказанного с пределом прочности бетона на сжатие $\sigma_c = 35 \text{ МПа}$ сопоставленном с $\sigma_1 = 0,33 \sqrt{\sigma_c} = 1,96 \text{ МПа}$. По формуле (4.49) находим (при $\alpha = -5,38 \text{ МПа}$, как определено в предыдущем примере):

$$1,96 = -\frac{5,38}{2} + \sqrt{\left(\frac{5,38}{2}\right)^2 + \tau^2}.$$

Отсюда $\tau = 3,79 \text{ МПа}$. Соответствующему этому напряжению поперечная сила определяется из выражения (см. введение и предыдущий пример):

$$\tau = \frac{QS}{I(O)} , \text{ т. е. } \frac{Q \cdot 4,60}{14,3 \cdot 1,2} = 3,79 \text{ МПа}.$$

Таким образом, $Q = 14,14 \text{ МН}$.

Для образования трещин от растяжения при изгибе критическое значение расстояния от нормального напряжения должно быть равно $0,5 \sqrt{\sigma_c} = 4,91 \text{ МПа}$. Используя уравнение (4.46), получим

$$4,91 = \frac{M_B' \cdot 2,25}{14,3} = \frac{29,2}{2,35} = \frac{1,05 \cdot 10^3 \cdot 0,986 \cdot 10^{-2}}{7,35},$$

где M_B' означает изгибающий момент, вызывающий развитие трещин. Решив уравнение, получим $M_B' = 65,40 \text{ МН}\cdot\text{м}$. Соответствующий этому изгибающему моменту поперечная сила Q при условии, что момент вызван нагрузкой, приложенной на уровне 19 м над основанием колонны, равна $65,40/19 = 3,44 \text{ МН}$.

Так как $3,44 < 14,14$, в уравнение (4.55) подставляем $Q_B = 3,44 \text{ МН}$. Заметим, что это значение превышает поперечную силу $Q_B = 2,77 \text{ МН}$, поэтому вывод об отсутствии необходимости в поперечном армировании.

Пример 4.8–3. Пусть фундаментальная часть башенной платформы, рассмотренной в примере 4.8–1, состоит из продолжения колонны и четырех цилиндрических бетонных элементов, расположенных вокруг колонны, как показано на рис. 4.34. По заданным состояниям оперной реакции определим необходимость предварительного напряжения

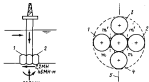


Рис. 4.34. К примеру 4.8-3.

1–4 – центроидные наибольшие сечения фундамента; 5 – ось колонны.

элементов фундамента, видимо, что наружные эллиптические ячейки его имеют внешний радиус 2,25 м и толщину стены 0,30 м. Отредактируем кроме того момент трещинобразования и максимальное косое растяжение в фундаменте.

Фундамент в целом рассматриваем как деревне балки. Ветровые и аварийные нагрузки попагаются действующими в направлениях от элемента 1 к элементу 2, а ось – в, вокруг которой происходит изгиб, проходит через центр элементов 3–4 (рис. 4.34, б). При заданном направлении нагрузок наибольшие раскликавшие напряжения должны быть на внешней поверхности элемента 1, а наибольшее сжимающие напряжения – на внешней поверхности элемента 2. Эти экстремальные напряжения определяются из выражения

$$\sigma_{B,\Phi} = \pm M R'/I'$$

в котором R' означает расстояние от нейтральной оси до внешнего радиуса рассматриваемых элементов; M – максимальный момент внешних нагрузок; I' – момент инерции поперечного сечения фундамента относительно нейтральной оси. Из исходных данных примера $R' = 6,75$ м, $M = 46,0$ МН·м. Момент инерции сечения фундамента в целом может быть подсчитан по его значениям для каждого элемента в отдельности. Момент инерции основания опорной колонны относительно его собственной центральной оси, совпадающей с нейтральной осью фундамента в целом, равен $14,3$ м⁴, а каждый из четырех окружающих опорной колонну элементов имеет момент инерции относительно его собственной центральной оси, равный $8,8$ м⁴. Чтобы определить суммарный момент инерции относительно нейтральной оси сечения в целом воспользуемся теорией о моментах инерций относительно параллельных осей. Так как центры тяжести опорной колонны и элементов 3, 4 лежат на нейтральной оси фундамента, их вклад в общий момент инерции равен $14,3 + 2 \cdot 8,8 = 31,9$ м⁴. Оставшиеся элементы 1 и 2 имеют центры тяжести, удаленные от нейтральной оси на 4,5 м. Площади поперечных сечений этих

элементов равны $3,95$ м², следовательно, их вклады в общий момент инерции равны $8,8 + 4,5^2 \cdot 3,95 = 88,8$ м⁴. Итак, момент инерции сечения фундамента в целом равен $I' = 31,9 + 2 \cdot 88,8 = 208,5$ м⁴.

Теперь можно определить экстремальные напряжения в элементах 1 и 2, называемые изгибом.

$$\sigma_{B,\Phi} = \pm \frac{46,0 \cdot 6,75}{208,5} = \pm 1,2 \text{ МПа.}$$

Чтобы исключить растяжение, вызванное изгибом, необходимо создать в бетоне предварительные напряжения 1,2 МПа (пренебрегая скжимающими напряжениями от собственного веса элементов и от гидростатического давления). Поскольку ветровые и аварийные воздействия могут иметь любое направление, предварительное напряжение необходимо для всех четырех внешних изгибов. Если напряжение от предварительного напряжения в арматурных пучках принять равным 1,05 МПа, то суммарная площадь поперечных сечений пучков на одном краинце при симметричном расположении их по окружности

$$A_p = \frac{1,2 \cdot 3,95}{1,05 \cdot 10^3} = 4,52 \cdot 10^{-3} \text{ м}^2.$$

При таком предварительном напряжении и условии направления действующих нагрузок от элемента 1 к элементу 2 максимальное растягивающее напряжение (в элементе 1) уменьшается до нуля, а максимальное скжимающее напряжение (в элементе 2) уменьшается до $-0,4$ МПа.

Момент трещинобразования M_B подсчитываем в предположении, что максимальное растягивающее напряжение в фундаменте равно $0,67 \sqrt{\sigma_B} = 3,68$ МПа, как и в примере 4.8-1. Рассмотрев напряжения, вычисленные изгибом, совместно с предварительным напряжением, получим уравнение

$$3,68 - \frac{M_B \cdot 6,75}{208,5} = \frac{4,52 \cdot 10^{-3} \cdot 1,05 \cdot 10^3}{3,95},$$

из которого найдем $M_B = 151$ МН·м. Это значение в 3,3 раза больше предположенного момента.

Касательные напряжения в фундаменте находят по формуле

$$\tau = Q S' / I' b,$$

где Q – поперечная сила; S' – статический момент сечения относительно нейтральной оси фундамента; I' – момент инерции, определяемый ранее; b – ширина бетона в сечении, параллельном нейтральной оси фундамента, где определяется значение касательного напряжения.

Из геометрии поперечного сечения фундамента, показанного на рис. 4.34, б, можно заключить, что максимальное касательное

напряжения τ_m должно лежать в сопряжении элементов I и J с опорной колонкой, если ширину перемычки (измеряя по линии $m-m'$) ограничить. Положив ширину перемычки, равной 0,3 м, получим при $S' = 3,95 - 4,5 = 17,75 \text{ м}^2$; $Q = 2,2 \text{ МН}$; $I' = 208,5 \text{ м}^4$ и $b' = 0,3 \text{ м}$

$$\tau_m = \frac{2,2 - 17,75}{208,5 - 0,3} = 0,62 \text{ МПа.}$$

Будем считать, что схема распределения напряжения от предварительного напряжения арматурных пучков в перемычке в цилиндрических элементах одинакова. Распределяющее нормальное напряжение от изгиба, возникающее в перемычке между опорной колонной и элементом I , определено по использованной выше формуле при $R = 2,25 \text{ м}$, равно 0,40 МПа. Суммарное напряжение σ в перемычке равно $-1,20 + 0,40 = -0,80 \text{ МПа}$. Главное распределение напряжения, обусловленное действием нормальных сжимающих и касательных напряжений, определяется по формуле (4.49)

$$\sigma_1 = -\frac{0,80}{2} + \sqrt{\left(-\frac{0,80}{2}\right)^2 + 0,62^2} = 0,38 \text{ МПа.}$$

Если принять коэффициент запаса 1,8, то следует задать нагрузки, действующие на фундамент, равными $M_{\text{оп}} = 1,8 \cdot 46 = 82,8 \text{ МН}$ и $Q_{\text{оп}} = 1,8 \cdot 2,2 = 4,8 \text{ МН}$. Поскольку момент трещинообразования не превышен, по этим усилиям можно, как и ранее, определить касательные и главные распределяющие напряжения. В результате получим $\tau_m = 1,12 \text{ МПа}$, $\sigma_1 = 0,91 \text{ МПа}$. Это меньше значений предельного главного распределяющего напряжения, при котором возникает трещина ($0,33\sqrt{f_b} = 1,96 \text{ МПа}$), практически вдвое. Поэтому рассматриваемые предельные нагрузки не вызывают в фундаменте косого раскрытия трещин.

4.9. Напряжения в бетонных сооружениях от наружного давления

Напряжения, возникающие в погруженных в воду цилиндрических элементах бетонных сооружений, могут быть определены по основным законам, аналогичным полученным в параграфе 4.4 для стальных конструкций. Как было выяснено, эффект воздействия наружного давления проявляется в цилиндрических элементах в виде нормальных осевых и тангенциальных напряжений. На удалении от концов элемента эти напряжения определяются по формулам

$$\sigma_x = -pr/25; \quad \sigma_y = -pr/5, \quad (4.56)$$

где r — наружное давление; r — радиус поперечного сечения элемента; z — толщина стенки, которая полагается малой по сравнению с радиусом.

Нормальные осевые напряжения должны суммироваться с напряжениями, обусловленными изгибом воздействия, чтобы получить общие осевые напряжения в элементе, действующие вместе с тангенциальными напряжениями, вызванными наружным давлением. Из-за относительно низкого уровня напряжения, допускаемых в бетонных элементах, возможность разрушения вследствие потери устойчивости колцевой формы поперечного сечения под действием тангенциальных напряжений обычно не принимается во внимание. Более того испытания бетона при плавном напряжении показали, что слабое взаимодействие между двумя составляющими напряжений, чтобы оно влияло на разрушение; таким образом при проведении расчетов необходимо обеспечить, чтобы максимальные значения каждой из компонент — суммарного осевого и тангенциального сжимающего напряжений — не превосходили допустимого уровня для сжимающих напряжений. Этот уровень определяется обычно 45 % предела прочности бетона на сжатие. В связи с низкой прочностью бетона на растяжение должны быть разработаны, отработаны и занесены распределения напряжений, как определено в параграфе 4.8.

Влияние закреплений концов

Влияние концевого закрепления цилиндрического бетонного элемента, подвергнутого действию наружного давления, может быть значительно и варьируется в виде местного увеличения нормальных осевых и связанных с ними касательных напряжений. Если дно цилиндра плоское, то экстремальные напряжения можно определить с помощью relation, приведенных в параграфе 4.4. В частности, если значение коэффициента Пуассона для бетона $\nu = 0,13$, из выражений (4.26) получим для наружной поверхности у закрепленного конца

$$\sigma_2 = 1,12(pr/8); \quad \sigma_3 = 0,17(pr/8), \quad (4.57 \text{ a})$$

и для внутренней поверхности

$$\sigma_2 = -2,12(pr/8); \quad \sigma_3 = -0,32(pr/8). \quad (4.57 \text{ b})$$

Радиальные касательные напряжения равны нулю на внешней и внутренней поверхности и достигают максимального значения в средней поверхности, для которой можно записать следующие выражения:

$$\tau = -1,06\sqrt{r/\delta}; \quad \sigma_2 = -pr/25; \quad \sigma_3 = -0,08(pr/8). \quad (4.57 \text{ a})$$

Как и ранее, касательные напряжения направлены извне цилиндра, в поперечном сечении, внешняя нормаль которого направлена к сторону закрепленного конца.

Пример 4.9-1. Рассмотрим бетонный цилиндрический элемент $ABCD$ функционального блока гравитационного сооружения, показанного

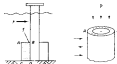


Рис. 4.35. К примеру 4.9–1.

срединной поверхности той же стороны равно $0,40 \text{ МПа}$. Определим по дополнительные нормальные осевые и касательные напряжения, обусловленные наружным давлением, интенсивностью $0,55 \text{ МПа}$, и уточним значения изобретенного предварительного напряжения конструкции. Элементы имеют наружный радиус $3,0 \text{ м}$, толщину стены $0,30 \text{ м}$.

По формулам (4.57а) и (4.57б) получим у закрепленных концов цилиндрического элемента из наружной его поверхности $\sigma_1 = 6,16 \text{ МПа}$; $\sigma_2 = -0,93 \text{ МПа}$, а за внутренней поверхности $\sigma_1 = -11,65 \text{ МПа}$; $\sigma_2 = -2,76 \text{ МПа}$.

На стороне A элемента нормальное напряжение от изгиба под действием ветровых и волновых нагрузок равно по условиям примера $2,0 \text{ МПа}$, так что, полагая это напряжение практически постоянным по толщине слоями, найдем экстремальные значения нормальных осевых напряжений $\sigma_1 = 8,16 \text{ МПа}$ и $\sigma_2 = -9,65 \text{ МПа}$.

Изак, чтобы исключить расщепление в цилиндре, требуется создать предварительное нормальное напряжение интенсивностью $-8,16 \text{ МПа}$, в результате которого напряжения изменяются до следующих значений: $\sigma_1 = 0$, $\sigma_2 = -17,81 \text{ МПа}$.

Отметим, что если направление ветро-волнистой нагрузки изменится на противоположное, то экстремальные нормальные осевые напряжения будут равны $-2,0 \text{ МПа}$ и в результате суммарные напряжения будут тогда такими: $\sigma_1 = -4,00 \text{ МПа}$; $\sigma_2 = -21,81 \text{ МПа}$.

При максимальных допустимых значениях сжимающих напряжений, принимаемых на уровне 45% предела прочности бетона из сжатия, необходимо использовать для конструкции бетон, имеющий прочность около 50 МПа .

Далее определим суммарные касательные напряжения. От изгиба под действием ветро-волнистой нагрузки максимальные касательные напряжения, возникающие в срединной поверхности на стороне B цилиндра, равны по условиям примера $0,40 \text{ МПа}$. Горизонтальная составляющая этого касательного напряжения действует в направлении изгиба конструкции (см. рис. 4.35). От наружного давления касательное напряжение, которое получается по формуле (4.57), равно $\tau_{\text{вн}} = 1,64 \text{ МПа}$. Горизонтальная компонента этого напряжения действует в радиальном направлении изгиба. Таким образом, на стороне B в цилиндрическом элементе действуют два касательных напряжения, совпадающие по направлению и имеющие в сумме напряжение $\tau = 2,24 \text{ МПа}$. От предварительного

напряжения, равного $-8,16 \text{ МПа}$, и изгиба под действием ветро-волнистой нагрузки, создающего на стороне B нормальное напряжение $0,67 \text{ МПа}$, в срединной поверхности (где наружное давление называет максимальным по значению касательные напряжения, а такое нормальное осевое напряжение, равное в соответствии с формулой (4.57) $-\Delta = -2,75 \text{ МПа}$) действует суммарное сжимающее нормальное напряжение $\sigma = -10,24 \text{ МПа}$. Таким образом, главное рассматриваемое напряжение

$$\sigma_1 = \frac{\sigma}{2} + \sqrt{\left(\frac{\sigma}{2}\right)^2 + \tau^2} = 0,47 \text{ МПа}.$$

При прочности бетона на сжатие $\sigma_b = 50 \text{ МПа}$ прочность на растяжение равна приблизительно $0,33 \sqrt{\sigma_b} = 2,33 \text{ МПа}$, следовательно, образование якорей трещин в бетоне не предвидится. Аналогичный вывод можно сделать и в случае, когда направление ветро-волнистого воздействия изменяется на противоположное. В этом случае максимальное касательное напряжение получается равным $1,84 - 0,40 = 1,44 \text{ МПа}$, а суммарное сжимающее нормальное напряжение $12,99 \text{ МПа}$.

И наконец, отметим, что значение максимального сжимающего главного напряжения σ_1 в цилиндре, определяемое по формуле (4.56), равно $5,59 \text{ МПа}$, что существенно меньше допустимого уровня, равного $0,45 \cdot 50 = 22,5 \text{ МПа}$. Кроме того, максимальное рассматриваемое касательное напряжение, возникающее на внешней поверхности цилиндра около закрепленного конца, равно $0,93 \text{ МПа}$ и не превосходит уровня $0,63 \sqrt{\sigma_b} = 4,40 \text{ МПа}$, при котором может образовываться трещины расположения.

Сферическая линия цилиндра

На примере 4.9–1 можно сплести вывод, что эпюры уве-личенно расчлененных напряжений в цилиндре вблизи закрепленного конца приводят к необходимости увеличения уровня предварительного напряжения арматуры и использования высокопрочного бетона. Этот неблагоприятный эффект может быть понижен, если вместо плоских линий использовать сферические (или почти сферические). Более гибкие сферические линии способствуют концентрации напряжений в цилиндре.

Для выяснения напряженного состояния оконечной части цилиндра в этих новых условиях рассмотрим цилиндрический элемент, показанный на рис. 4.36, а. При отсутствии линии радиальных перемещений цилиндр описывается формулой (см. зависимость (4.8))

$$z = -(r\theta^2/2E\delta) (2 - r). \quad (4.58)$$

Можно записать также формулу для радиального перемещения сферического купола, не прикрепленного к цилинду:

$$z = -(r\theta^2/2E\delta) (1 - r). \quad (4.59)$$

Здесь r – радиус цилиндра и сферы; δ – толщина стенок цилиндра и сферы; E и ν – модуль Юнга и коэффициент Пуассона материала-

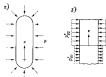


Рис. 4.36. Цилиндрический элемент со сферическими диссимами.

ния. Действительный цилиндр подвергается наружному давлению $p_{\text{н}}$, а узловый — давлению $p_{\text{вн}}$, подобранных так, чтобы радиальные перемещения, определяемые формулами (4.58) и (4.59), соответствовали условию изодромии.

Согласно (4.21) уравнение для радиальных перемещений u_1 в действительном цилиндре имеет вид

$$D \frac{d^4 u_1}{dr^4} + \frac{E\delta}{r^2} u_1 = -P \left(1 - \frac{\nu}{2}\right), \quad (4.60)$$

а уравнение для радиальных перемещений u_2 в условном цилиндре записывается как

$$D \frac{d^4 u_2}{dr^4} + \frac{E\delta}{r^2} u_2 = \frac{P}{2} (1 - \nu). \quad (4.61)$$

Границные условия при $r = 0$:

$$u_1 = u_2; \quad \frac{du_1}{dr} = \frac{du_2}{dr} = 0;$$

$$M_1 = M_2; \quad Q_1 = Q_2.$$

где M и Q обозначают изгибающий момент в поперечном сечении, определяемый зависимостями (4.15) и (4.16).

С учетом граничных условий уравнения (4.60) и (4.61) получают следующие решения:

$$u_1 = -\frac{pr^2}{2E\delta} \left[(2 - \nu) - \frac{1}{2} e^{-\alpha r} \cos \alpha r \right]; \quad (4.62)$$

$$u_2 = \frac{pr^2}{2E\delta} \left[(1 - \nu) + \frac{1}{2} e^{-\alpha r} \cos \alpha r \right], \quad (4.63)$$

где параметр α определяется также выражением (4.23).

Поскольку эффект закрепления торца цилиндра имеет локальный характер (убывающий по экспоненциальному при удалении от места сопряжения цилиндра со сферой), сферическую поверхность в окрестности сечения $x = 0$ можно рассматривать как цилиндрическую. Рассмотрим тогда для цилиндра, соединенного вместе так, как показано на рис. 4.36, б. Верхний цилиндр представляет собой действительный цилиндр, а нижний — сферическую оболочку в окрестности сопряжения с цилиндром.

Рассмотрим также изгибающий момент в сечении $x = 0$ и тангенциальное напряжение σ_3 в сечении $x = 0$. Тангенциальное напряжение определяется выражением

С помощью полученных решений напряжение определяется точно так же, как и в случае полного закрепления торца цилиндра.

В цилиндре, где напряженное состояние имеет однородные, нормальные осевые σ_1 и тангенциальные σ_3 напряжения из внешней и внутренней сторон (соответственно при $\pm E/2$) могут быть определены по формулам

$$\left. \begin{aligned} \sigma_1 &= -\frac{pr}{8} \pm \frac{3pr}{48} (Be^{-\alpha r} \sin \alpha r); \\ \sigma_3 &= -\frac{pr}{8} + \frac{pr}{48} e^{-\alpha r} (\cos \alpha r \pm 3\beta \sin \alpha r), \end{aligned} \right\} \quad (4.64)$$

где $B = [3(1 - \nu^2)]^{1/2}$.

Радиальные касательные напряжения в средней поверхности находятся по формуле

$$\tau = \frac{3p}{16\delta\beta} e^{-\alpha r} (\cos \alpha r - \sin \alpha r). \quad (4.64)$$

Экстремальное нормальное осевое напряжение σ_1 возникает в цилиндре на расстоянии $\alpha r = 0.8$ от сопряжения со сферой. Это напряжение и экстремальное нормальное напряжение σ_3 при $\nu = 0.15$ получают на внешней поверхности значения

$$\sigma_1 = -0.64(pr/5); \quad \sigma_3 = -3.01(pr/5), \quad (4.65)$$

а на внутренней поверхности

$$\sigma_1 = -0.36(pr/5); \quad \sigma_3 = -0.84(pr/5). \quad (4.65)$$

Здесь в отличие от случая, когда цилиндр имеет простое сечение, нет расположения напряжений, позволяющих воспользоваться закреплением торца, и при этом напряжения, определяющие напряженное состояние, являются на внешней стороне цилиндра. Радиальное касательное напряжение τ равно нулю на внутренней и внешней сторонах и достигает наибольшего значения на средней поверхности. Максимум этих величин приходится на сопряжение цилиндра со сферой, где при $\nu = 0.15$ получаем

$$\tau = -0.14p\sqrt{r/5}; \quad \sigma_1 = -pr/16; \quad \sigma_3 = (-3/4)(pr/5). \quad (4.65)$$

Полученные здесь результаты применимы не только к сферическим цилиндром, но и к днищам и конусам эллипсоидов вращения с основанием радиуса r и высотой h , отсчитываемой от горизонтального сечения цилиндра.

Вместо выражения (4.65 а) для касательных скжимающих напряжений следует использовать следующие:

$$\left. \begin{aligned} \sigma_x &= -\left(1 + 0,28 \frac{r^2}{b^2} \right) \frac{pr}{2b}; \\ \sigma_y &= -\left(1 + 0,01 \frac{r^2}{b^2} \right) \frac{pr}{5}; \end{aligned} \right\} \quad (4.66 \text{ а})$$

и выражения (4.65 б) заменяются на

$$\left. \begin{aligned} \sigma_x &= -\left(1 - 0,28 \frac{r^2}{b^2} \right) \frac{pr}{2b}; \\ \sigma_y &= -\left(1 - 0,16 \frac{r^2}{b^2} \right) \frac{pr}{5}. \end{aligned} \right\} \quad (4.66 \text{ б})$$

Заметим, что напряжения могут оказаться положительными (растягивающими) при достаточно большом значении r/b . Выражение (4.65 в) для радиальных касательных, в таких нормальных осевых и сдвиговых напряжениях получают здесь вид,

$$\left. \begin{aligned} \tau &= -0,14 \frac{r^2}{b^2} p - \sqrt{\frac{r}{b}}; \\ \sigma_x &= \frac{pr}{2b}; \\ \sigma_y &= -\left(1 - 0,25 \frac{r^2}{b^2} \right) \frac{pr}{5}. \end{aligned} \right\} \quad (4.66 \text{ в})$$

Касательные напряжения в центре, получаемые по выражениям (4.65 в) и (4.66 в), направлены так же, как и в случае плоских листов, т. е. по радиусу изнутри в сечении, которое имеет векторами нормаль, обращенную в сторону места сопротивления сдвигом.

Пример 4.9-2. Повторим расчеты, приведенные в примере 4.9-1, при условии, что плита центрира имеет форму эллипса с отношением высоты к радиусу основания $b/r = 2/3$.

Нормальные осевые напряжения, найденные по формулам (4.66 а) и (4.66 б) равны $\sigma_x = -4,49$ МПа; $\sigma_y = -1,02$ МПа. С учетом дополнительных напряжений 0,2 МПа, возникших при изгибе от ветро-волнистого воздействия, получим $\sigma_x = -2,48$ МПа; $\sigma_y = 0,98$ МПа.

Таким образом, чтобы избежать растяжения, достаточно создать предварительное напряжение горизонтка $-0,98$ МПа, в результате которого напряжения приобретут следующие значения: $\sigma_x = -3,46$ МПа; $\sigma_y = 0$.

Если направление ветро-волнистого воздействия изменится на противоположное, то наибольшие напряжения будут такими: $\sigma_x = -7,46$ МПа; $\sigma_y = -4,00$ МПа.

Максимальные касательные напряжения в месте сопротивления цемента с плитой, определяемые по формуле (4.66 в), равно 0,55 МПа. Суммируя это с касательным напряжением 0,40 МПа от ветро-волнистых воздействий, получим $\tau = 0,95$ МПа. Суммарное скжимающее нормальное напряжение складывается из предварительного напряжения $-0,98$ МПа, напряжения 0,67 МПа от ветро-волнистого воздействия и напряжения, обусловленного наружным давлением $-2,75$ МПа, т. е. в итоге $\sigma = -3,73$ МПа. Главное растягивающее напряжение

$$\sigma_1 = \sigma/2 + \sqrt{(\sigma/2)^2 + \tau^2} = 0,23 \text{ МПа}.$$

Сопоставление полученных здесь результатов с соответствующими результатами в примере 4.9-1, показывает, что использование антидиффузной обложки вместо плоского днища значительно снижает расчетные значения напряжений и необходимый уровень предварительного напряжения бетона.

4.10. Оценка влияния динамического характера воздействий

В начале этой главы подчеркивалось, что в расчетах проектируемого сооружения континентального шельфа на узловые нагрузки, обусловленные экстремальными условиями окружающей среды, при использовании метода, изложенного в главе 2, приходится пренебрегать динамическим эффектом периодического движения сооружения, обусловленного волновым полем, ветром и т. д. Статический расчет сооружения может быть применен лишь при условии малости динамических нагрузок по сравнению с экстремальными статическими.

Для иллюстрации динамической реакции сооружения на волновые воздействия и вывода простейшей зависимости, позволяющей спрогнозировать предварительную оценку значимости динамического эффекта, рассмотрим приближенную схему расчета плавящей буровой платформы, показанной на рис. 4.37. Полагается, что сооружение подвержено воздействию регулярной спирально-цилиндрической волны. Это воздействие приводит к сопротивлению силе, приставленной к верхнему строению буровой установки.

$$F = F_0 \sin \omega t, \quad (4.67)$$

где ω — круговая частота волны; t — время; F_0 — амплитуда приведенной волновой нагрузки, определяемая из условия, что она вызывает такое же перемещение верхнего строения, что и статически приложенные распределенные волнистые нагрузки.

В качестве дальнейшего приближения полагается, что постоянны массы опорного основания и пренебрежимо малое верхнее строение, т. е. пренебрежима масса платформы.

$$\omega = \omega_0 + (1/2)\omega_0, \quad (4.68)$$

где ω_0 — масса верхнего строения; ω_0 — масса опорного основания

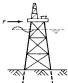


Рис. 4.37. Схема сооружения континентального моста с равномерной волновой нагрузкой, приложенной к уровню пропускных платформ к опорам основания.

Суммарная горизонтальная сила F^E , приложенная к верхнему строению, складывается из волевой нагрузки F , силы инерции $-m\ddot{x}$ и силы сопротивления $-ck$, где c – коэффициент сопротивления, а точка означает производные по времени. Таким образом,

$$F^E = F - m\ddot{x} - ck. \quad (4.69)$$

На основании методов главы 2 суммарное усилие F^E может быть связано с горизонтальным перемещением в верхнем строении сооружения

$$F^E = km, \quad (4.70)$$

где k – означает жесткость сооружения.

Изъятие F^E из двух последних равенств и подстановка выражения (4.67) для волевой нагрузки, получим следующее дифференциальное уравнение для перемещения платформы:

$$m\ddot{x} + c\dot{x} + kx = F_0 \sin \omega t. \quad (4.71)$$

Вводя параметры

$$c = 0,5 \text{ с}/\text{м}; \quad \delta = \sqrt{k/m}, \quad (4.72)$$

и полагая загущение колебаний слабым, т. е. таким, что $c^2 \ll \delta^2$, решение уравнения (4.71) можно представить в виде

$$x = e^{-\delta t} (C_1 \cos \delta t + C_2 \sin \delta t) + \frac{F_0 / m}{\sqrt{(\delta^2 - \omega^2)^2 + (2c\omega)^2}} \sin (\omega t - \varphi); \quad (4.73)$$

сдвиг фазы колебаний определяется по формуле

$$\varphi = (2c\omega)/(\delta^2 - \omega^2); \quad 0 \leq \varphi \leq \pi. \quad (4.74)$$

а постоянные C_1 и C_2 находятся из начальных условий $x = 0$:

$$C_1 = -\frac{F_0/m}{\sqrt{(\delta^2 - \omega^2)^2 + (2c\omega)^2}} \cos \varphi; \quad (4.75)$$

$$C_2 = -\frac{F_0/m}{\sqrt{(\delta^2 - \omega^2)^2 + (2c\omega)^2}} \left(\frac{\omega}{\delta} \sin \varphi + \frac{c}{\delta} \cos \varphi \right). \quad (4.76)$$

Изучение полученного решения для перемещений показывает, что первая его часть соответствует загущению колебаний, которое со временем прекращается, а вторая часть отражает установившиеся колебания, которые система совершает после прекращения загущения колебаний. Таким образом, спустя достаточно пустой промежуток времени с момента начала движения, платформа начинает совершать гармонические колебания с частотой ω в сдвигом во фазе φ , причем амплитуда перемещений может быть выражена через максимальное значение перемещения, соответствующее статическому приложению нагрузки, т. е. через

$$\frac{x_0}{m} = \frac{1}{\sqrt{\left[1 - \left(\frac{4\omega}{\delta} \right)^2 \right]^2 + \left(\frac{2c}{\delta} \frac{\omega}{\delta} \right)^2}}. \quad (4.77)$$

График, приведенный на рис. 4.38, показывает зависимость отношения x_0/m от ω/δ при различных уровнях демпфирования. При резонансной частоте $\omega = \delta$ амплитуда колебаний достигает максимального значения или близка к нему, причем значение это тем выше, чем ниже демпфирование. Вспомним, получаемая из выражения (4.72),

$$\delta = \sqrt{k/m}, \quad (4.78)$$

является важнейшей характеристической реальной системы. Она называется основной или собственной частотой идеализированной системы и, как видно, зависит только от свойств сооружения.

Коэффициент загущения c/δ у сооружений морского шельфа изменяется обычно в пределах от 0,05 до 0,10, т. е. составляет примерно 5–10% от критического загущения, при котором принимается $c/\delta = 1$.

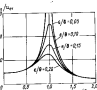


Рис. 4.38. График коэффициента дampedирования для системы с одной степенью свободы.

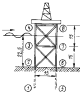


Рис. 4.39.

К примеру 4.10-1. Рисунок 4.39, перемещение платформы (а здания, и изгижение в опорах основания) могут быть во много раз больше определенных в статическом расчете ($\omega = 0$), если частота возмущения воздействия близка к собственной частоте сооружения. Это явление можно назвать динамическим эффектом. Для возможности проектирования сооружения на основе только статических расчетов на воздействие расчетной регулярной волны необходимо, чтобы частота волны была достаточно мала по сравнению с собственной частотой сооружения и колебанием динамичности α_0/α_1 , в выражении (4.77) отличаясь от единицы не более, чем на 5–10%.

Пример 4.10-1. Рассмотрим стальной опорный основание буровой платформы, изображенное на рис. 4.39, и определим приемлемость статических расчетов ее, выполненных для расчетной волны высотой 12 м и периодом 9 с. Все четыре стороны сооружения идентичны. Вертикальные элементы имеют внешний диаметр 1,20 м и толщину стены 40 мм. Горизонтальные и наклонные элементы имеют внешний диаметр 0,60 м и толщину стены 12 мм. Матрица жесткости эквивалентных связей на уровне морского дна имеет следующий вид:

$$[K] = 10^4 \begin{bmatrix} 0,142 & 0 & -25,4 \\ 0 & 68,6 & 0 \\ -25,4 & 0 & 606 \end{bmatrix}$$

Значение элементов этой матрицы, полученной на основе статических расчетов, даны в килоньютонах и метрах.

Для того чтобы воспользоваться выражениями (4.77) и (4.78), сначала определим жесткость K сооружения, ссылающую горизонтальную силу и перемещение сооружения на уровне платформы. Рассматривая одну сторону опорного основания и погоды, что на узлы 4 и 5 действуют горизонтальные силы по 450 кН, найдем с помощью методов связи 2 горизонтальных перемещения, равные 0,115 м. Таким образом, жесткость рамы равна $2 \cdot 450 / 0,115 = 7,83$ МН/м. Такую же жесткость имеет рама с противоположной стороны, следовательно, жесткость опорного основания как трехмерной системы равна $K = 2 \cdot 7,83 = 15,66$ МН/м.

Далее определим массу платформы и опорного основания. Платформа весит 2,25 МН. Разделив этот вес на ускорение свободного падения ($9,81 \text{ м/с}^2$), получим $m_p = 230 \text{ т}$. Всю опорную основу можно представить как сумму весов отдельных элементов и окажываются равными 2,15 МН, что соответствует массе 220 т. Полагая в дальнейшем, что вертикальные колонны защищены водой до уровня спокойной поверхности воды, найдем, что ее масса равна 96 т. Общая масса опорного основания, таким образом, равна $220 + 96 = 316 \text{ т}$.

Присоединенными массы зерна, связанные с движением сооружения в воде, подсчитываются как сумма присоединенных масс, соответствующих однотипным элементам. Из выражения (3.63) следует, что масса, приходящаяся на единицу длины вертикальных колонн, имеющих диаметр D , равна $\rho(C_{\infty} - 1)\pi D^2 / 4$, где ρ – плотность воды, а C_{∞} – инерционный коэффициент. Принимая $C_{\infty} = 2$ и умножая давшее здесь выражение на длину L элемента, будем иметь $\rho \pi D^2 L / 4$, т. е. присоединенная масса воды вдоль стороны равна массе воды, вытесненной зерном.

Для двух вертикальных колонн из стороны опорного основания, изображенной на рис. 4.39, получим

$$2 \cdot 1,003 \frac{\pi \cdot 1,2^2}{4} \cdot 23,5 = 51,04 \text{ т},$$

для двух наклонных раскосов, которые можно рассматривать как вертикальные высотой 15 м,

$$2 \cdot 1,003 \frac{\pi \cdot 0,6^2}{4} \cdot 15 = 8,50 \text{ т}$$

для двух горизонтальных раскосов, которые по аналогии работают по объему вертикальным элементам высотой 7,5 м,

$$2 \cdot 1,003 \frac{\pi \cdot 0,6^2}{4} \cdot 7,5 = 4,25 \text{ т}.$$

Отсюда, для стороны сооружения, изображенной на рисунке, присоединенная масса равна $51,04 + 8,50 + 4,25 = 63,79 \text{ т}$. Удвоим это значение, имея в виду противоположную боковую сторону опорного основания, получим 127,58 т. Кроме того, на фронтальной стороне получим для верхних раскосов

$$2 \cdot 1,003 \frac{\pi \cdot 0,6^2}{4} \cdot 10,6 = 6,01 \text{ т}$$

и для нижних раскосов

$$2 \cdot 1,003 \frac{\pi \cdot 0,6^2}{4} \cdot 21,2 = 12,02 \text{ т}.$$

Для горизонтальной связи засорение высоты сооружения получим

$$1,003 \frac{\pi \cdot 0,6^2}{4} \cdot 15 = 4,25 \text{ т}.$$

Удвоив эти три последние присоединенные массы с учетом тяговой стороны и суммируя их с исключенным ранее массами для боковых сторон, найдем, что общая присоединенная масса ведущей якорь 172 т.

Теперь определим по (4.68) присоединенную массу

$$m = m_0 + \frac{1}{2} m_b = 239 + \frac{1}{2} (316 + 172) = 474 \text{ т.}$$

Собственная частота θ колебаний сооружения согласно выражению (4.78) равна

$$\theta = \sqrt{\frac{k}{m}} = \sqrt{\frac{15,6 \cdot 10^6}{474 \cdot 10^3}} = 5,75 \text{ 1/c.}$$

Из known, частота колебаний ω , определенная по заданному ее периоду, равна $2\pi/\theta = 0,698 \text{ 1/c.}$ Полагая $\omega/\theta = 0,08$ при $\omega/\theta = 0,121$, вычисляем по (4.77) коэффициент динамичности $k_d/k_{st} = 1,02$. Коэффициент динамичности всегда на 2 % больше единицы, следовательно, для этого сооружения вполне достаточно такого статического расчета.

Пример 4.10-2. Для гравитационной конструкции, представленной на рис. 4.40, необходимо установить последовательность одного статического расчета на изолированную нагрузку с периодом 3 с. Сооружение состоит из железобетонной колонны с наружным диаметром 4,6 м, внутренним диаметром 3,35 м и высотой 24 м, установленной на фундаментном блоке высотой 6,1 м, к верхнему сечению, имеющему вес 9 МН. Модуль упругости бетона приемлем равным 28 ГПа.

Жесткость этого простого сооружения A , т. е. отношение между горизонтальной силой и соответствующим ей перемещением верха колонны, может быть легко определена, если принять вспомогательные в изолированной колонне, по формуле $A = 3EI/L^3$, где E — модуль Юнга материала колонны; L — длина колонны; I — момент инерции ее поперечного сечения. Отсюда при $E = 28 \text{ ГПа}$, $I = 14,3 \text{ м}^4$, $L = 24 \text{ м}$ получим $A = 87 \text{ МН/м}$.

Весу платформы 9 МН соответствует масса $m_p = 919 \text{ т}$. Полагая удельный вес бетона равным 23 кН/м³, найдем, что вес опорной колонны равен 4,05 МН. Соответствующему этому весу масса 413 т. Присоединенная масса ведущей якорь для колонны

$$\frac{\rho \pi D^3 L}{4} = \frac{1,003 \cdot \pi \cdot 4,5^3 \cdot 24}{4} = 383 \text{ т.}$$

Применив выражение (4.68), получим теперь присоединенную массу $m = 919 + 1/2(413 + 383) = 1317 \text{ т}$, Рис. 4.40. К примеру 4.10-2.

1 — платформа с оборудованием, ведущий якорь 9 МН; 2 — железобетонная колонна ($D=4,6 \text{ м}$; $d=3,3 \text{ м}$; $E=28 \text{ ГПа}$).

Собственная частота колебаний сооружения, определенная по (4.78), равна

$$\theta = \sqrt{k/m} = \sqrt{87 \cdot 10^6 / (1317 \cdot 10^3)} = 8,1 \text{ 1/c.}$$

Частота колебаний $2\pi/\theta = 0,785 \text{ 1/c.}$, т. е. $\omega/\theta = 0,097$. Приняв $\omega/0 = 0,06$, из выражения (4.77), найдем коэффициент динамичности $k_d/k_{st} = 1,01$, определяющийся от единицы всего на 1 %. Таким образом, для данного сооружения достаточно проводить только статических расчетов.

Задачи

1. Опорное основание башенной платформы (рис. 4.41) состоит из четырех стальных колонн, имеющих внешний диаметр 1,22 м и степень толщины 25 мм. Колонны скреплены между четырьмя горизонтальными элементами винтовым диаметром 8,61 м и толщиной стены 12,5 мм и поперечными швеллерами диаметром 16,7 и 10,2. Составьте методика расчета колонн и определите коэффициент динамичности k_d/k_{st} для этого сооружения, используя методы, приведенные в главе 2.

$\frac{w_i}{w_0} = 10^{-4}$	9136	154,6	Симметрично	$F_{1,x}$
	66,22	154,6		$F_{1,y}$
	3385	4,348	350,5	$M_{1,x}$
	91190	66,22	3179 91364	$P_{2,x}$
	-66,22	0,1186	-4,346 -46,2 154,6	$P_{2,y}$
	3379	4,346	1466 3787 -4,346 350,5	$M_{2,y}$

Здесь w_i и w_0 в метрах, F в килоньютонах, M в килоньютона-метрах.

А. Используя методы главы 3, определите максимальное значение горизонтальной разовой нагрузки и соответствующий ей параметр w при воздействии на сооружение или транспортерную систему, если Энергия б/м и длины 10 м. Глубину заложения в месте стыковки башенной платформы принять равной 24 м, а коэффициенты C_{st} для соответствующих раммок 1 и 2.

Ответ: 287 кН, $w = 5,8$.

Б. Используя методы главы 3, определите умывалочную нагрузку от колоннового воздействия, считанного в п. А, при значении w , соответствующем максимальной горизонтальной нагрузке.

В. Определите наибольшее значение нормальных напряжений (с учетом продольной силы и изгибающего момента), возникающие в элементах 1—3, 3—4, 2—4, при условии, что помимо колонновой нагрузки боковые стороны опорного основания

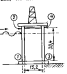


Рис. 4.41. К задаче 1.

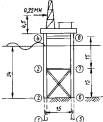


Рис. 4.42. К задаче 2.



Возведение опор гранитопиленной платформы «Коцци».

5. РАСЧЕТ ОСНОВАНИЙ И ФУНДАМЕНТОВ

В главе 4 внимание было сконцентрировано за расчете конструкций морских гидротехнических сооружений, было показано, как при заданных воздействиях окружающей среды можно определить напряженное состояние отдельных элементов конструкции. В данной главе рассматриваются методы расчета, позволяющие учесть взаимодействие сооружения с грунтовыми основаниями. Задачей расчета сооружений ферменного типа является оценка имеющей способности грунтового основания и определение условий ее связей. В случае рассмотрения сооружений гравитационного типа в расчет включается оценка изноской способности основания и условий, действующих на фундамент сооружения.

5.1. Характеристики грунтов

Грунты, составляющие морское дно, относятся к осадочным породам и состоят в основном из частиц, зерен или обломков скелета с возможным включением материалов органического происхождения, различных по гранулометрическому составу. Они могут быть отнесены к самым разным классификационным категориям в зависимости от размеров частиц и их пластичности или вязкости при насыщении водой, т. е. способности или неподобности к формированию без трещин и расслоения. Основные две категории грунта – это пески и глины. Пески, с одной стороны, характеризуются как вязкие грунты с частицами размерами от 0,075 до 0,002 мм. С другой стороны, глины характеризуются как шарнирные группы с частицами менее 0,075 мм. К третьей категории грунтов, с которыми приходится иметь дело в морских установках, относятся алы – относительно вязкие грунты с частицами размером менее 0,075 мм. Данные отложения представляют собой смесь грунтов указанных трех категорий. Однако для инженерных целей они должны быть классифицированы более грубо: как глины или как песок в зависимости от их пластичного или непластичного поведения.

Грунты у поверхности морского дна и ниже подстилаются обычно водонасыщенным, т. е. все пустоты (поры) между частицами грунта полностью заполнены водой. Объем наполнение в любой точке такого водонасыщенного грунта может рассматриваться как сумма напряжений в скелете грунта и первового давления.

Когда образцы грунта подвергаются равномерному и постепенно увеличивающемуся давлению, то погоду ох ведет себя упруго, а затем, при достижении некоторого критического уровня напряжений, разрушается от сдвига, т. е. получает значительные смещения. За разрушением приходит обычно такое значение обжатия грунта, при котором касательные напряжения достигают критического уровня, определяемого по эмпирической формуле Купона.

$$S = c + \sigma_{\text{нн}} \operatorname{tg} \varphi, \quad (5.1)$$

где c и φ — постоянные, характерные для данного вида грунта, а $\sigma_{\text{нн}}$ означает эффективное напряжение — нормальное по отношению к плоскости сдвига напряжение в скелете грунта. Используя данное определение эффективного напряжения, формулу Купона (5.1) можно изразить через внешнее давление, нормальное к плоскости сдвига грунта. При этом возможны два крайних случая: внешнее давление полностью воспринимается поровой водой и внешнее давление полностью воспринимается скелетом грунта. В первом случае эффективное напряжение равно нулю, а во втором оно равно внешнему давлению (это зависит от типа грунта и продолжительности нагружения).

Вначале рассмотрим песчаные грунты. Они обладают высокой водопроницаемостью, вследствие чего внешнее давление не воспринимается поровой водой, которая сразу же выталкивается из грунтовой массы. Эффективное напряжение может быть в этом случае приложено равным внешнему давлению. Более того, экспериментально установлено, что сопротивление сдвигу у песков прямо пропорционально эффективному напряжению, т. е. формула Купона (5.1) упрощается здесь до вида

$$S = \sigma_{\text{нн}} \operatorname{tg} \varphi, \quad (5.2)$$

где $\sigma_{\text{нн}}$ — обусловленное внешним давлением напряжение, нормальное к плоскости сдвига; φ — угол трения песка, определяемый по результатам испытаний образцов грунта в лабораторных условиях. Значения угла трения изменяются в зависимости от плотности песка, но обычно лежат в пределах от 30 до 35°.

Рассмотрим теперь глинистые грунты. В пропилюзкость песчаным эти грунты обладают никакой водопроницаемостью, поэтому в них часть внешнего давления в течение определенного интервала времени воспринимается поровой водой, и лишь после отвода поровой воды внешнее давление полностью передается на скелет грунта, как эффективное напряжение. Исследование того что поровая вода практически неподвижна, в начальный момент загружения внешнее давление почти полностью воспринимается поровой водой.

Таким образом, оба предложенных случая, о которых говорилось выше — это недренированное состояние, при котором эффективное напряжение равно нулю, и дренированное состояние, при котором эффективное напряжение равно внешнему давлению. В последнем случае, как показывают эксперименты, сопротивление сдвигу можно считать прямо

пропорциональным напряжению $\sigma_{\text{нн}}$, обусловленному ветрянием и нормальным к плоскости сдвига давлением. Формула Купона (5.1) для глинистых грунтов в недренированном состоянии получает вид

$$S = c, \quad (5.3)$$

а дренированному состоянию соответствует формула

$$S = \sigma_{\text{нн}} \operatorname{tg} \varphi_0, \quad (5.4)$$

где c и φ_0 означают соответственно сцепление и эффективный угол трения глины.

Значения c и φ_0 могут быть установлены по результатам стандартных лабораторных испытаний образцов грунта, изученных с разной глубиной. Сцепление образца грунта, исследуемого в условиях недренированной деформации, зависит от количества воды, содержащейся в грунте, т. е. от степени влажной компрессии и пренапряженности или консолидации грунта до опыта. Сцепление может принимать значения от близких к нулю до 200 кН/м и больше. Ниже приведены значения сцепления в глинистых грунтах различной консистенции:

	Сцепление, кН/м
Очень мокрые	< 12
Мокрые	12 — 25
Сухие	25 — 50
Жесткие	50 — 100
Очень жесткие	100 — 200
Твердые	> 200

Значения эффективного угла трения φ_0 изменяются в зависимости от степени пластичности глины, но обычно лежат в пределах от 20 до 40°.

Если в естественных отложениях грунта происходит его полное уплотнение, обусловленное действием собственного веса лежащих выше слоев, то такой грунт считают нормально уплотненным. Если грунт относится к сравнительно новым отложений, он может оказаться недостаточно скелетом грунта, необходимо отжать всю воду. Наконец, если поверхность нормально уплотненного грунтового отложения была подвергнута землянке или грунт был предварительно обжат, его плотность будет больше той, что отвечает обжатию под действием собственного веса, и в этом случае грунт считается переуплотненным.

5.2. Связи для сооружений ферменного типа

Сооружения ферменного типа удерживаются в основном из стальных трубчатых связей, забираемых в грунт через овальные ковшики. Они предназначены для передачи нагрузок от вертикальных стрингеров к обеспечению устойчивости сооружения в целом в штормовых условиях.

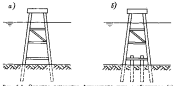


Рис. 5.1. Опорные элементы ферменного типа с обычными (а) и дополнительными связями (б) сваями.

Свай обладают ограниченной несущей способностью и могут противостоять сжимающим нагрузкам, приложенным к головке, искривляющим действиям вертикальных сил трения по боковой поверхности, возникающих при взаимодействии с окружающим грунтом, и вертикальным усилиям со стороны грунта на нижней конус свая. В большинстве случаев несущая способность свай определяется в погонном сантиметре трения по боковой поверхности, и, так как эти сваи выдерживают с увеличением боковой поверхности, для возможности сопротивления значительных нагрузок от верхнего строения необходимы сваи глубокого заложения.

Диаметры свай и глубина их заложения определяются, конечно, различными для разных сооружений и зависят от общего числа свай в сооружении, распределенной нагрузки и грунтовых условий. Однако, обычно применяются сваи наружным диаметром от 0,6 до 1,5 м и толщиной стены от 12 до 25 мм, а глубина их забивки — от 60 м и более. В некоторых случаях, когда грунты в основании слишком мягки, в конструкции используются дополнительные стяживающие сваи. Эти сваи, забитые за контур сооружения и соединенные с ним, обеспечивают необходимую износостойкость свайного фундамента. Схемы сооружений с обычными и скрепленными сваями показаны на рис. 5.1.

Сваи работают на усилия, возникающие от нагрузок на расположение выше сооружения (рис. 5.2). Сжимающие усилия, возникающие в расчетных условиях, показанных на этом рисунке, часто превышают 5 МН. Из-за значительных оправдывающих моментов под воздействием ветра и волн в сваях могут возникнуть и раскалывающие усилия того же порядка. Ветровые и волновые нагрузки создают также значительныеопережимающие силы и моменты в сваях, действующие в сечениях на уровне поверхности грунта значений 0,5 МН и 1,5 МН·м, соответственно, и даже больших.

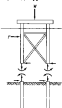


Рис. 5.2. Нагрузки на сваю от внешнего воздействия на некоторую часть сооружения.

Они в свою очередь обуславливают существенные перемещения как свай на уровне поверхности грунта, так и сопрягающегося на них сооружения. В связи с изложимыми особенностями работы свайного фундамента в составе сооружений ферменного типа выделим три основных вопроса, связанных с их расчетом:

1. Определение несущей способности сваи, забитой из заданной глубины и испытывающей под действием осевой нагрузки.
2. Определение упругой реакции сваи на осевую нагрузку, не приводящую к поглощению способности.
3. Определение упругой реакции сваи на горизонтальную нагрузку в момент, приложенного к ей на уровне поверхности грунта.

Первая задача имеет важное значение при определении глубины забивки сваи в грунт, достаточной для восприятия осевой нагрузки от сооружения. Ее решают исходя из условия и при рассмотрении вопросов, связанных с последующей эксплуатацией сооружения на месте заложения. Наконец, решение этой задачи требуется при сдаче предполагаемого конструктивного решения. Может получиться так, что требуемая по расчету глубина забивки превысит ту, достижение которой возможно с помощью имеющегося в распоряжении свайного оборудования. В этом случае потребуется изменение проектного решения с целью увеличения числа свай и уменьшения глубины их заложения. Вторая и третья задачи дают решения об упругих перемещениях сваи на уровне поверхности грунта при нагрузках, передаваемых ею от сооружений. Эти решения необходимы для оценки жесткостных характеристик, износостойкости и свободы стояния свай, заменяющих действительные сваи в расчетной схеме сооружения, как это было показано в главе 4. Последняя задача важна и для расчета сечек свай, так как горизонтальные нагрузки обычно вызывают в них значительные напряжения от изгиба, достигающие максимума на некоторой глубине ниже поверхности морского дна.

Расстояния между сваями в морских тидозонтических сооружениях ферменного типа обычно достаточно велики (более 5–10 диаметров свай), поэтому можно пренебречь взаимодействием свай через грунт. Таким образом, при определении упругой реакции каждой сваи может рассматриваться изолированной от других. Можно пренебречь также осадкой свай, связанной с общим грунтом, частично из-за того, что усилия от обжатия грунта большей части, если не всегда, на один или несколько первых мелких узлов, обусловлены экстремальными внешними воздействиями на сооружение. Кроме того, сваи глубокого заложения передают нагрузку на грунт в основном в виде вертикальных касательных усилий, распределенных по боковой поверхности, а эти усилия не вызывают обжатие грунта.

5.3. Определение несущей способности сваи при действии осевых нагрузок

Сопротивление жесткой цилиндрической сваи при действии осевой сжимающей нагрузки значительному перемещению обычно является результатом совместного погашения касательных усилий,

распределенных по боковой поверхности сваи, и нормальных усилий на ее нижнем конце. Это положение распространяется и на трубчатые сваи с открытым нижним концом, в которых при забивке образуется плотный грунтовый сердечник, обладающий значительно большим сопротивлением за перемещение при статическом нагружении, чем грунт в окрестности сваи. Таким образом, для трубчатых сваи с открытым нижним концом, применяемым главным образом в строительстве на морском шельфе, исходная способность Φ в предположении о нескомканности сваи может быть представлена формулой:

$$\Phi = \Phi_y + \Phi_o, \quad (5.5)$$

где, как показано на рис. 5.3, Φ_y – сопротивление грунта по боковой поверхности сваи, а Φ_o – сопротивление грунта под нижним концом сваи.

Определим сопротивление грунта по боковой поверхности сваи. Обозначим z – сопротивление грунта, относительное к единице площади боковой поверхности, и проинтегрируем эту величину по всей боковой поверхности сваи, контактирующей с грунтом. Полагая в общем случае, что z изменяется с увеличением глубины, получим

$$\Phi_y = q \int_0^L z \, dy, \quad (5.6)$$

где D – наружный диаметр сваи; L – глубина погружения сваи в грунт.

Обозначим q – относительное к единице площади сопротивление грунта под нижним концом сваи, тогда

$$\Phi_o = q (\pi D^2 / 4), \quad (5.7)$$

где q может, вообще говоря, зависеть от глубины L погружения сваи.

Означательно, если обозначить F – предельную осевую нагрузку на сваю, приложенную за уровень поверхности грунта, а w_{ts} – погонный вес сваи с грунтовым сердечником с учетом изменяющегося действия грунтовой воды, то

$$\Phi = F + w_{ts} L. \quad (5.8)$$

На основании формул (5.5)–(5.8) можно теперь получить выражение для предельной скомканной нагрузки на сваю

$$F_{sk} = \pi D \int_0^L z \, dy + q \frac{\pi D^3}{4} = w_{ts} L, \quad (5.9)$$

Рис. 5.3. Схема, действующие на сваю.

1 – сваи сваи; 2 – грунтовый сердечник.

насущая способность сваи на растягивающие нагрузки определяется как

$$F_{st} = \pi D \int_0^L z \, dy + w_{ts} L, \quad (5.10)$$

Условие отсутствия проскальзывания грунтового сердечника, при котором были выведены приведенные выше формулы,

$$q \frac{\pi D^2}{4} < \pi D \int_0^L z \, dy + w_{tp} L, \quad (5.11)$$

где d – наружный диаметр сваи, а w_{tp} – погонный вес грунтового сердечника с учетом изымающего действия грунтовой воды.

Для возможности использования полученных здесь выражений необходимо установить связь величин z и q с характеристиками грунта. Если грунт глинистый, упомянутые величины связаны с некоторыми значениями давления (или прочности на сдвиг) в недрепрессивном состоянии) соотношениями

$$z = a \varepsilon; \quad q = N_c c, \quad (5.12)$$

где a и N_c – безразмерные коэффициенты. Для песчаных грунтов величины z и q определяются весом песка выше стока грунта и углом трения δ по контакту сваи с грунтом

$$f = K_{Tp} \tan \delta; \quad q = N_q t_{Tp} L, \quad (5.13)$$

где t_{Tp} – удельный вес грунта с учетом изымающего действия грунтовой воды; K и N_q – безразмерные коэффициенты.

Параметры грунта, определяющие насыщую способность сваи [25, 34]

Песок	Глина
$a=1.0; \quad 0 < c < 25 \text{ кН/м}^2;$	$\delta=30^\circ; \quad t_{Tp}=6.5 \pm 11 \text{ кН/м}^3;$
$a=1.25; \quad 0.01c; \quad 25 < c < 75 \text{ кН/м}^2;$	$K=0.3; \quad t_{\max}=100 \text{ кН/м};$
$a=0.5; \quad c > 75 \text{ кН/м}^2;$	$N_q=40; \quad q_{\max}=10 \text{ МПа}$
для сваи Ø800 $N_c=9$.	

Заметим, что для песка по формулам (5.13) находятся предельные значения величин z и q .

Пример 5.3–1. Определим глубину забивки стальной сваи диаметром 1,22 м со стеккой толщиной 25 мм, соответствующую насыщенной способности на скользящую нагрузку, равной 9 МН (рис. 5.4). Глинистый грунт, в который забивается свая, имеет недрепрессивное состояние прочность на сдвиг, превышающую линию на уровне поверхности грунта и возраставшую линейно с увеличением глубины до 180 кН/м на отметке 120 м ниже поверхности. Удельный вес сваи (в воздухе) равен 76 кН/м³, а грунта 15,5 кН/м³.

Итак, сопротивление грунту на глубине $z = \bar{a}y$; $\bar{a} = 1,5 \text{ кН/м}^2$.

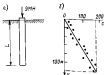


Рис. 5.4. Схема нагружения свай (а) и изменение схемы трубы по глубине (б) по данным экспериментальных исследований (точки на графике).

муте $w_{\text{св}} = \gamma_{\text{ст}} A_{\text{ст}} + \gamma_{\text{гр}} A_{\text{гр}}$, где $\gamma_{\text{ст}}$ и $\gamma_{\text{гр}}$ означают соответственно удельные веса стали и грунта с учетом изымающего действия воды, а $A_{\text{ст}}$ и $A_{\text{гр}}$ – площади поперечных сечений сваи и грунтового сердечника. Удельные веса стали и грунта в воде получаются вычитанием удельного веса воды из соответствующих удельных весов в воздухе, т. е. $\gamma_{\text{ст}} = 76 - 10 = 66 \text{ кН/m}^3$; $\gamma_{\text{гр}} = 15,5 - 10 = 5,5 \text{ кН/m}^3$. Таким образом, $w_{\text{св}} = 66(\pi/4)(1,12^2 - 1,17^2) + 5,5(\pi/4)1,17^2 = 12,5 \text{ кН/m}$.

Получив забивки сваи с определением с помощью выражения (5.9). Попытаемся, что $L > 50$ м, найти, приказав внимание полученные выше выражения для s , что

$$\int_0^L s \, dy = \int_0^{16,7} s_1 \, dy + \int_{16,7}^6 s_2 \, dy + \int_6^L s_3 \, dy,$$

откуда

$$\int_0^L s \, dy = 450 + 0,375L^2.$$

Подставив этот результат в выражение (5.9) и используя $\varphi = 9e = 13,5^\circ$, получим при $F_{\text{св}} = 9 \text{ МН}$ и $w_{\text{св}} = 12,1 \text{ кН/m}$ уравнение $1,437L^2 + 3,681L - 7275 = 0$, решив которое найдем $L = 60,9 \text{ м}$.

Если в решение задачи нести коэффициент запаса, равный, скажем, 1,5, то это будет означать снижение нагрузки, полученной по выражению (5.5), в 1,5 раза. Из выражения (5.8) видно также, что это эквивалентно увеличению в 1,5 раза значений F и $w_{\text{св}}$ в формуле (5.9). Решив задачу заново при $F_{\text{св}} = 13,5 \text{ МН}$, получим $9,2 \times 90 \text{ м}$.

Отметим, что этот результат, как и предыдущий, уловывает приятию аналогии законочения, что $L > 50$ м. Если бы это условие не подтверждалось, то следовало бы решить задачу еще раз, полагая $16,7 < L < 50 \text{ м}$, и в качестве подынтегральной функции в (5.9) принимать только первые две из полученных выше зависимостей для s : $s = s_1$ и $s = s_2$. При этом интеграл от s_1 имел бы пределы от 0 до $16,7 \text{ м}$, а интеграл от s_2 – от $16,7$ до L . Если же L в результате решения этой задачи получится

$L < 16,7 \text{ м}$, то придется повторить решение, используя только первую зависимость для s , т. е. $s = s_1$ и вычисляя интеграл в (5.9) в пределах от 0 до L .

Несрудно убедиться, что условие (5.11) об отсутствии проскальзывания грунтового сердечника сваи удовлетворяется. Действительно, при $L = 90 \text{ м}$

$$q(\text{мд}^2/4) = 1306 \text{ кН}; \frac{99}{4} \int_0^9 s \, dy = 12824 \text{ кН};$$

$$w_{\text{ср}}L = 121 \text{ кН и } 1306 < 12824 + 121.$$

Пример 5.3–2. Для сооружения, схема которого и условия нагружения показаны на рис. 5.5, сбрасываем избыту забивки свай с наружным диаметром 1,82 м и толщиной стенки 25 мм в грунт, характеристики которого заданы в примере 5.3–1. Несущие, обозначенные на схеме, имеют следующие значения: $F_M = 13 \text{ МН}$, $F_Y = 9 \text{ МН}$, $b = 45 \text{ м}$, $d = 20 \text{ м}$. Отметим, что избыточные условия для работы свай создаются, когда ветровые и волновые нагрузки совпадают по направлению и действуют под углом 45° к фронтальной плоскости сооружения (см. рис. 5.5, б). Упрощенная схема распределения нагрузок на сваи показана на рис. 5.5, б.

По условиям равновесия вертикальных сил $4W = F_Y$, а из условия равенства моментов сил относительно левой сваи $d(W + F) = bF_H + dF_V$.

Решив эти два уравнения, получим

$$W = F_Y/4; F = bF_H/3d.$$

Подставив численные значения величин, найдем $W = 2,25 \text{ МН}$, $F = 14,62 \text{ МН}$. Максимальная сжимающая нагрузка на сваи (расположенную спереди) $F_{\text{св}} = W + F = 16,87 \text{ МН}$, а максимальная растягивающая нагрузка на сваи (расположенную сзади) $F_2 = W - F = -12,37 \text{ МН}$. Расчетами сваи на максимальную сжимающую нагрузку с учетом

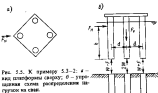


Рис. 5.5. К примеру 5.3–2: а – вид планформы сварки; б – упрощенная схема распределения нагрузок на сваи.

коэффициента запаса, равного 1,5, получим по способу, примененному в предыдущем примере, что свай должны быть забиты на глубину 101,4 м. По формуле (5.10) найдем, что при таком заглублении несущая способность свай на растягивающую нагрузку равна 25,88 МН, чему соответствует коэффициент запаса, равный $25,88/12,37 = 2,1$.

5.4. Упругая реакция свай на осевую нагрузку

В предыдущем параграфе рассмотрен вопрос о несущей способности свай при осевой нагрузке. Если внешними воздействиями являются, что несущая способность свай не изменилась, то вертикальные перемещения свай скользят в основном упругим сопротивлением грунта сквозь их боковую поверхность свай. Естественно, некоторую роль в сопротивлении свай перемещениям играют и нормальные напряжения, возникающие под нижним концом свай. Однако, поскольку боковая поверхность глубоко заложенных свай по площади значительно превосходит плоский торец, вследствие действующих по контакту с ним напряжений в грунте относительно невелик и может не учитываться.

Ниже рассматривается в упрощенной постановке упругая реакция свай на осевую скользящую или растягивающую нагрузку. В более точной постановке этот вопрос рассмотрен в [8].

Свайки с определением упругой реакции свай показана на рис. 5.6. Полагается, что нагрузка F_0 , приложенная к свае на уровне поверхности грунта, не превосходит несущую способность свай. Упругое сопротивление грунта сваю x_g , отнесенное к единице площади поверхности сваи, также, что не происходит движение сваи. Предположим, что эта величина зависит от наружного диаметра сваи D , продольного смещения v и упругой характеристики грунта k_g , имеющей размерность силы, деленной на площадь. Представив линейно-упругую реакцию грунта в безразмерной форме, получим $x_g/k_g = v/D$, или после умножения обеих частей равенства на k_g

$$x_g = k_g v / D, \quad (5.14)$$

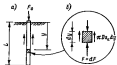


Рис. 5.6. Усики, действующие на сваю (a) и ее элементарный участок (b) при осевой скользящей нагрузке.

где сопротивление x_g считается положительным, если направлено вверх, и продольное смещение v положительным, если оно направлено вниз.

Уравнение равновесия элементарного отрезка сваи (рис. 5.6, б) легко может быть получено в виде

$$\frac{dF}{dy} = -k_g F_g, \quad (5.15)$$

где F означает продольную силу (положительную, если соответствует сжатию) в свае в расстоянии y ниже поверхности грунта. Если A – площадь поперечного сечения трубы, несущий элемент нагрузку, а $v = -dy/dy$ – продольная деформация сваи (положительная при сжатии), то по закону Гука имеем

$$F = EAv = -EA \frac{dv}{dy}. \quad (5.16)$$

Складывая выражения (5.15)–(5.16), получим дифференциальное уравнение для осевых перемещений сваи

$$\frac{d^2v}{dy^2} + \frac{k_g}{EA} v = 0. \quad (5.17)$$

Решение этого уравнения имеет вид

$$v = C_1 \cosh y + C_2 \sinh y, \quad (5.18)$$

где

$$a = \sqrt{\frac{k_g}{EA}}; \quad (5.19)$$

C_1 и C_2 – произвольные постоянные. Они могут быть определены из условий $F = F_0$ при $y = 0$; $F = 0$ при $y = L$.

Использовав выражение (5.16), найдем по этим условиям, что $C_1 = (F_0/EAa) \cosh aL$; $C_2 = -F_0/EAa$.

Поставив выражение постоянных в уравнение (5.18), получим формулу для продольного смещения сечения сваи на уровне y ниже поверхности грунта

$$v = (F_0/EAa) (\cosh aL \sinh ay - \sinh aL \cosh ay). \quad (5.20)$$

Наибольший интерес здесь представляет соотношение между нагрузкой и перемещением за уровне поверхности грунта. Полагая в (5.20) $y = 0$, найдем

$$F_0 = K_0 F,$$

(5.21)

110

$$K_0 = E A \theta / a.$$

(5.22)

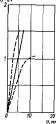
— эффективная жесткость свай при продольном перемещении ее головы от осевой нагрузки.

Для возможности использования последнего выражения необходимо знать упругую характеристику грунта k_g . Она может быть определена путем применения формул (5.19) и (5.22) к результатам испытаний свай в полевых условиях. В частности, значение K_0 может быть определено непосредственно по приложенной к свае нагрузке и замеренной осадке головы сваи, а затем при известных размерах поперечного сечения сваи и глубине ее погружения с помощью выражений (5.19) и (5.22) определится значение k_g .

Значение k_g за пределом погружения [1, 35]:

	Грунт	k_g , МПа
Глина		7,5
Весок		9,0

a) F_0 , МН



b) F_0 , МН



Рис. 5.7. Свайные между осадкой головы сваи и осевой силой зависимость: а — сваи с жесткостью $E_A = 2,14$ МН, загруженные на глубину $L = 15,2$ м в глинистый грунт; б — сваи с жесткостью $E_A = 3,71$ МН, загруженные на глубину $L = 21$ м в песчаный грунт.

— — линии линейки изотропной (I.17) для глинистых грунтов, [35] или линии (сплошные); — — расчет по уравнению (5.17).

5.5. Реакция свай на циклическую горизонтальную нагрузку

Циклические горизонтальные силы и моменты, действующие на сваю на уровне поверхности грунта и возникающие под влиянием ветрового воздействия на сооружение морского шельфа, вызывают горизонтальные смещения грунтового массива к свае грунта, которые, начинаясь с увеличением глубины так же, как и отпор грунта, достигают максимальных значений близких поверхности грунта и убывают с увеличением глубины, как показано на рис. 5.8. Для определения реакции свай на такие нагрузки необходимо представить в аналитической форме отпор грунта так, чтобы учесть и работу верхних слоев, где могут происходить значительные смещения грунта в пластические деформации, и работу нижних слоев грунта, находящегося в упругой области.

Начертается упрощенное представление отпора грунта с целью получения решения о перемещениях сваи под действием горизонтальной нагрузки и момента. Более детальное изложение этого вопроса дано в работах [34, 35, 36].

Примем, что отпор грунта μ , отвечающий к единице длины сваи, зависит в общем случае от диаметра сваи D , горизонтального смещения и изгиба параметров α и k , характеризующих прочность и упругие свойства грунта, соответственно, и имеющих размерность напряжений. Соотношение между этими величинами может быть представлено в безразмерной форме как

$$\mu/kD = f(\alpha/D, \alpha/k), \quad (5.23)$$

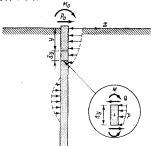


Рис. 5.8. Свай, подвергнутые действиям горизонтальной нагрузки и момента.

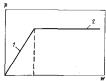


Рис. 5.9. Упрощенное представление зависимости отпора грунта от прогиба сваи.

1 – упругая стадия; 2 – пластическая стадия.

$$\beta = N\eta/k = u^2/D. \quad (5.25)$$

Здесь u^2 – прогиб сваи, соответствующий переходу от линейно изменяющегося (в упругой стадии) отпора грунта к постоянному (в пластической стадии).

В приведенных выше зависимостях допускается, как это обычно и делается в отношении грунтовых отложений, что прочность грунта, характеризуемая параметром σ , изменяется с увеличением глубины. Однако далее для упрощения задачи полагается, что характеристика упругости E грунта постоянна для достаточно однородных отложений грунта.

Отличиавшаяся пока только случаями глинистых грунтов, примем, что прочность их может быть полностью охарактеризована сцеплением c . Для зернистых грунтов (при возможных значительных горизонтальных смещениях сваи) можно полагать, что прочность изменяется линейно с увеличением глубины, т. е.

$$a = c = a + bu, \quad (5.26)$$

где a и b – постоянные для данного грунта. Подставим эту формулу в (5.24) и (5.25), получим выражения для реакции грунта, отнесенной к единице длины сваи,

$$\left. \begin{aligned} P &= ND(a + bu) \text{ при } u/D > \beta; \\ P &= ku \text{ при } u/D \leq \beta, \end{aligned} \right\} \quad (5.27)$$

т.е.

$$\beta = [N(a + bu)]/k = u^2/D. \quad (5.28)$$

Теперь рассмотрим песчаные грунты. Примем в этом случае, что напряжения на глубине u по контакту с боковой поверхностью сваи, возникающие при ее горизонтальном перемещении, являются гипотетическими напряжениями, при этом прочность грунта может быть представлена в виде

$$\sigma = K_p \tau_{tr} u, \quad (5.29)$$

где τ_{tr} – удельный вес грунта с учетом вовлекающего действия воды, а K_p выражается через угол трения песка

$$K_p = \frac{1 + \sin \varphi}{1 - \sin \varphi}. \quad (5.30)$$

Подставив (5.29) в выражения (5.24) и (5.25), получим окончательный вид зависимости для реакции песчаного грунта

$$\left. \begin{aligned} P &= NDK_p \tau_{tr} u \text{ при } u/D > \beta; \\ P &= ku \text{ при } u/D \leq \beta, \end{aligned} \right\} \quad (5.31)$$

где

$$\beta = NK_p \tau_{tr} u/k = u^2/D. \quad (5.32)$$

Для определения реакции сваи на циклическую горизонтальную нагрузку рассмотрим, используя полученные выше зависимости, систему свая–грунт под действием горизонтального усилия и момента, приложенных со стороны части огорта, расположенной над грунтом (рис. 5.8). Положим для обобщенности, что верхний слой грунта до глубины L_1 находится в пластическом состоянии. Прогиб сваи определяется по известному уравнению изгиба балки

$$EI \frac{d^4 u}{dy^4} = -p, \quad (5.33)$$

где EI – изгибная жесткость сваи; u – прогиб, который считается положительным вправо; p – отпор грунта, который положителен, если соответствует положительному прогибу.

Для пластичной зоны ($y < L_1$) примем как для глины, так и для песка

$$EI \frac{d^4 u}{dy^4} = -P_1 - P_2 u, \quad (5.34)$$

так для силикатных грунтов

$$P_1 = NDe; P_2 = ND\theta, \quad (5.35)$$

а для песчаных грунтов

$$P_1 = 0; P_2 = NDK_p \tau_{tr} u. \quad (5.36)$$

Пронтегрировав уравнение (5.34) и используя граничные условия при $y=0$

$$EI \frac{d^4 u}{dy^4} = M_0; EI \frac{d^3 u}{dy^3} = P_0, \quad (5.37)$$

где M_0 и P_0 — максимальные изгибающий момент и горизонтальная сила, приложенные к свае на уровне поверхности грунта, получим при $EI = \text{const}$, что

$$EIu = -\frac{P_1 y^4}{24} - \frac{P_3 y^3}{120} + \frac{P_0 y^3}{6} + \frac{M_0 y^3}{2} + C_1 y + C_3, \quad (5.38)$$

здесь C_1 и C_3 — произвольные постоянные.

Далее рассмотрим упругую зону ($y \geq L_1$). Как для глины, так и для песка имеем уравнение

$$EI \frac{d^4 u}{dy^4} + k u = 0, \quad (5.39)$$

решение которого для глубоко погруженных свай может быть записано в виде

$$EIu = e^{-ky'} (C_1 \cos ky' + C_2 \sin ky'), \quad (5.40)$$

где $y' = y - L_1$ — расстояние от отметки $y = L_1$, являющейся границей между пластической и упругой зонами;

$$a = (k/EI)^{1/4}, \quad (5.41)$$

Предположение о большой глубине погружения сваи означает, что

$$L - L_1 \geq 3/a, \quad (5.42)$$

где L — общая длина сваи.

В полученном решении остаются неопределенными пять постоянных: C_1 , C_2 , C_3 , C_4 и L . Их можно найти с помощью выражения (5.28) для глинистых грунтов или (5.32) для песчаных грунтов вместе с условиями непрерывности на прогиб, поворот, изгибающий момент и изолированную силу в сечении $y = L_1$, относящимися к пластической зоне, или $y = 0$ в упругой зоне.

Замечая, что изгибающий момент M и изолированная сила Q определяются соотношениями

$$EI \frac{d^3 u}{dy^3} = M; EI \frac{d^2 u}{dy^2} = -Q, \quad (5.43)$$

можно легко получить из решения, справедливого для пластической зоны, момент M^* и изолированную силу Q^* в сечении $y = L_1$:

$$M^* = -\frac{P_1 L_1^3}{2} - \frac{P_3 L_1^3}{6} + P_0 L_1 + M_0; \quad (5.44)$$

$$Q^* = P_1 L_1 + \frac{P_3 L_1^2}{2} - P_0. \quad (5.45)$$

Приравняв эти решения к полученным для упругой зоны при $y' = 0$, находим

$$C_3 = (aM^* - Q^*)/2a^3; \quad (5.46)$$

$$C_4 = -M^*/(2a^2). \quad (5.47)$$

Далее, используя выражения (5.28) или (5.32), получим с помощью формул (5.40) и (5.41) уравнение

$$2(P_1 + P_3 L_1) = M^* a^2 - Q^* a, \quad (5.48)$$

которое решается относительно L_1 , совместно с уравнениями (5.44) и (5.45) способом последовательных приближений. Очевидно, если уравнение (5.48) удовлетворяет значение L_1 , меньшее или равное нулю, то пластической зоны не существует, и реакции сваи в целом могут быть определены с помощью решения, полученного для упругой стадии работы грунта, т. е. при $L_1 = 0$.

Если $L_1 > 0$, то оставшиеся две постоянные C_1 и C_2 определяются по условию, что прогиб и поворот в сечении $y = L_1$ пластической зоны равны соответствующим значениям, полученным в сечении $y' = 0$ упругой зоны. Выразив эти постоянные через величины M^* и Q^* , определим по (5.44) и (5.45), найдем

$$C_1 = \frac{Q^* - 2aM^*}{2a^3} + \frac{P_1 L_1^3}{6} + \frac{P_3 L_1^4}{24} - \frac{P_0 L_1^2}{2} - M_0 L_1; \quad (5.49)$$

$$C_2 = \frac{(1+2aL_1) M^*}{2a^2} - \frac{(1+aL_1) Q^*}{2a^3} - \frac{P_1 L_1^4}{8} -$$

$$-\frac{P_3 L_1^5}{30} + \frac{P_0 L_1^3}{3} + \frac{M_0 L_1^2}{2}. \quad (5.50)$$

Итак, все постоянные аналитического решения задачи получены как для глины, так и для песка для пластичной и упругой зон в грунтовом основании.

Однако значений коэффициента N на упругую характеристику δ грунта, входящих в приведенные выше выражения, может быть получено по результатам полевых испытаний свай, в процессе которых измерялись смещения свай на уровне поверхности грунта и изменения изгибающего момента по длине свай при различных значениях горизонтальной силы и момента, приложенных к головке свая.

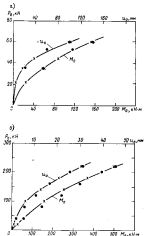


Рис. 5.10. Зависимость горизонтального перемещения u_x свай на уровне поверхности грунта и максимального изгибающего момента M_b в свае от максимальной горизонтальной нагрузки P_x : а — для глинистой зоны [34]; б — для песка [35].

... как головные изыскания; ... расчет.

Значения характеристик трая при циклических горизонтальных нагрузках по данным полевых испытаний [34, 35]

	N , кН	A , м 2
Мягкие глины	3,5	22
Песок	1,8	8,9

На рис. 5.10 результаты полевых испытаний свай сопоставляются с расчетами, в которых использовались рекомендации, приведенные выше.

Пример 5.5—1. Рассмотрим трубчатую стальную сваю, характерную для сооружений морского шельфа (рис. 5.11). Свай диаметром 1,22 м и толщиной стекки 25 мм погружены под углом 8° на глубину 76 м. Циклические волновые нагрузки на сооружение являются причиной возникновения в свае на уровне поверхности грунта циклической горизонтальной силы P_x , достигающей максимального значения 0,67 МН, и циклического момента M_b с максимальным значением 2,70 МНм. Направление усилий, соответствующие тому положению, когда волновая нагрузка на сооружение действует слева направо, показаны на рисунке. Сваи забетонированы в глинистый грунт, прочность которого прекращается на уровне поверхности и возрастает с увеличением глубины по закону $c = bu$, где $b = 1,37 \text{ кН}/\text{м}^2$. Определим простой угол поворота сваи на уровне поверхности грунта, а также возникающие в ней максимальные напряжения.

Поскольку настой свая невелик ($\cos 8^\circ = 0,9903$), будем рассчитывать ее как вертикальную. Будем использовать практические вышеуказанные рекомендации для глинистых грунтов. Тогда по формулам (5.35)

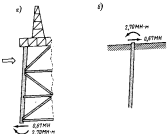


Рис. 5.11. К примеру 5.5—1: а — схема приложения усилий к участку сооружения, расположенному под траяком; б — схема, приставленная к свае на уровне грунта.

найдем, что $P_1 = 0$, $P_2 = 5,85 \text{ МПа}$, и при $ET = 35,20 \text{ МН}/\text{м}^2$ по выражению (5.41) найдем $c = 0,281 \text{ кН}/\text{м}$.

Считая определен глубину L_1 пластической зоны, сдвиговой с усечением нагрузки. Решив уравнение (5.46) способом последовательных приближений, найдем $L_1 = 18 \text{ м}$. Соответствующие этой глубине изгибающий момент и поверхность сдвига, вычисляемые по формулам (5.44) и (5.45) при $P_2 = 0,67 \text{ МН}$ и $M_0 = 2,70 \text{ МН}\cdot\text{м}$, равны $M^* = 3,62 \text{ МН}\cdot\text{м}$, $Q^* = 0,28 \text{ МН}$.

Далее по (5.46) и (5.47) вычисляются значения постоянных C_3 и C_4 , соответствующие упругой зоне: $C_3 = 16,62 \text{ МН}\cdot\text{м}^2$; $C_4 = -22,8 \text{ МН}\cdot\text{м}^2$.

Аналогично по (5.49) и (5.50) вычисляются постоянные C_1 и C_2 , соответствующие пластической зоне: $C_1 = -44,5 \text{ МН}\cdot\text{м}^2$; $C_2 = -705,6 \text{ МН}\cdot\text{м}^2$.

Зная постоянные, по выражению (5.38) найдем при $y = 0$, т. е. на уровне поверхности грунта прогиб ω_0 и повернут $\theta = -dy/dy$ сдвиг $\omega_0 = 0,20 \text{ м}$; $\theta_0 = 0,0128 \text{ радиан}$.

Использовав первое из уравнений (5.43) вместе с (5.38) для $y < L_1$ или с (5.40) для $y > L_1$, получим выражение для изгибающего момента в свае. Исследуя это выражение на экстремум, можем получить, что максимальный изгибающий момент равен $4,0 \text{ МН}\cdot\text{м}$ и действует в сечении на глубине $12,2 \text{ м}$.

Максимальное напряжение в свае от изгиба:

$$\sigma = \frac{MR}{I} = \frac{4,0 \cdot 0,61}{1,68 \cdot 10^{-3}} = 145 \text{ МПа}.$$

Чтобы убедиться в безопасности полученного решения с принятым значением допущения о достаточно большой глубине погружения сваи, проверим выполнение ли условие (5.42). Нетрудно убедиться, что это условие удовлетворяется, так как $L - L_1 = 76 - 18 = 58 \text{ м}$, а $S/\sigma = 10,7 \text{ м}$.

5.6. Жесткостные характеристики эквивалентных свай

Расчет опорной конструкции с учетом взаимодействия со святым основанием может быть выполнен с помощью замены действительных, т. е. погружаемых в грунт, свай эквивалентными – в виде замкнутых пакетов колонн, имеющих на уровне поверхности грунта такие же жесткостные характеристики, как и действительные сваи. Эти характеристики могут быть определены с использованием методов, изложенных в двух предшествующих параграфах.

В расчетной схеме на рис. 5.12, а действительные сваи у сооружения заменимы эквивалентными (их концы обозначены 1 и 2).

На основании результатов, полученных в главе 2, внутренние усилия f_{1x} , f_{1y} , m_1 и f_{2x} , f_{2y} , m_2 , действующие по концам 1 и 2 сваи (рис. 5.12, б), могут быть связаны с ее перемещениями ω_1 , ω_2

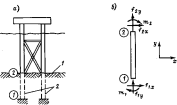


Рис. 5.12. К определению характеристик эквивалентной сваи: а – расчетная схема сооружения, в которой действительные сваи замены поверхности грунта (1) заменены эквивалентными сваями (2); б – усилия, действующие на элемент – эквивалентную сваю.

и ω_2 на уровне поверхности грунта следующим соотношением:

$$\begin{Bmatrix} f_{1x} \\ f_{1y} \\ m_1 \end{Bmatrix} = \begin{Bmatrix} -k_1 & 0 & k_4 \\ 0 & k_3 & 0 \\ -k_4 & 0 & \frac{1}{2}k_3 \end{Bmatrix} \begin{Bmatrix} \omega_1 \\ \omega_2 \\ F_{1z} \end{Bmatrix}, \quad (5.51)$$

$$\begin{Bmatrix} f_{2x} \\ f_{2y} \\ m_2 \end{Bmatrix} = \begin{Bmatrix} k_1 & 0 & -k_4 \\ 0 & k_2 & 0 \\ -k_4 & 0 & k_3 \end{Bmatrix} \begin{Bmatrix} \omega_2 \\ \omega_1 \\ F_{2z} \end{Bmatrix}.$$

где k_1 , k_2 , k_3 и k_4 обозначают характеристики жесткости. Задача состоит в определении этих характеристик для любых заданных видов конструкций, нагрузок и сдвиговых оснований.

Из соотношения (5.51) может быть легко получено выражение для усилий в сечении 2 сваи

$$\begin{Bmatrix} f_{2x} \\ f_{2y} \\ m_2 \end{Bmatrix} = \begin{Bmatrix} k_1 & 0 & -k_4 \\ 0 & k_2 & 0 \\ -k_4 & 0 & k_3 \end{Bmatrix} \begin{Bmatrix} \omega_2 \\ \omega_1 \\ F_{2z} \end{Bmatrix}. \quad (5.52)$$

При известных характеристиках жесткости это соотношение вместе с аналогичными ему для остальных свай могут быть включены в матричное уравнение, отвечающее расположению выше части сооружения, и последние можно быть затем рассчитаны так, как показано в главе 2 (см. пример 2.4–3).

Нетрудно убедиться, что коэффициент жесткости k_3 , связывающей осевые усилия и перемещение, получается непосредственно из выражения (5.22). Определение остальных коэффициентов оказывается, однако, не столь же простым, поскольку в отличие от осевой реакции задача

о боковом давлении грунта на сваю в действительности является неизменной из-за текучести (пластичности) грунта, как это было показано в предыдущем параграфе. Нелинейность приводит к тому, что коэффициенты жесткости k_1 , k_3 и k_4 оказываются в общем случае зависимыми от значения горизонтальной нагрузки и момента, действующих на уровне поверхности грунта.

Перед тем, как вывести уравнения для определения этих коэффициентов, заметим, поскольку результаты, полученные в главе 2, то они выражаются через плуту I и изгибную жесткость эквивалентной сваи следующим образом:

$$k_1 = 12EI/l^3; \quad k_3 = 4EI/l; \quad k_4 = 6EI/l^3, \quad (5.53)$$

т.е.

$$k_3 = (l^2/3)k_1; \quad k_4 = (l/2)k_1. \quad (5.54)$$

Из матричного соотношения (5.52) следует, что

$$f_{1x} = k_1 u_2 - k_1 (l/2) \theta_2; \quad (5.55)$$

$$m_2 = -k_1 (l/2) u_2 + k_1 (l^2/3) \theta_2. \quad (5.56)$$

Исключив k_1 из этих двух уравнений, найдем

$$I^2 = \frac{3}{2} \left(\frac{u_2}{\theta_2} - \frac{m_2}{f_{1x}} \right) l - \frac{3m_2}{f_{1x}} \frac{u_2}{\theta_2} = 0,$$

так что решение относительно I может быть представлено в виде

$$I = \frac{3}{4} \left(\frac{u_2}{\theta_2} - \frac{m_2}{f_{1x}} \right) + \sqrt{\frac{9}{16} \left(\frac{u_2}{\theta_2} - \frac{m_2}{f_{1x}} \right)^2 + 3 \frac{m_2}{f_{1x}} \frac{u_2}{\theta_2}}. \quad (5.57)$$

Соответствующее решение для k_1 получается из (5.55) в виде

$$k_1 = \frac{f_{1x}}{u_2 - 0.5I\theta_2}. \quad (5.58)$$

По известным k_1 и I с помощью выражений (5.54) находятся k_3 и k_4 .

При выводе этих зависимостей полагалось, что сила f_{1x} и момент m_2 на уровне поверхности грунта известны. Если это действительно так, то прогиб u_2 и поворот θ_2 сваи на уровне поверхности грунта могут быть определены по формулам, полученным в параграфе 5.5, а затем использованы непосредственно для нахождения коэффициентов жесткости эквивалентной сваи. Чаще, однако, внутренние усилия в свае на уровне поверхности грунта напрочь неизвестны и должны быть определены одновременно

с неизвестными характеристиками из расчета вертикального сечения и реального сдвигового фундамента.

Показаны процедуры расчета сваи для случая, когда сила f_{1x} и m_2 заданы, а затем когда она измеряется изогнутостью.

Пример 5.6-1. Для сваи и нагрузки, рассмотренных в примере 5.5-1, определить коэффициенты жесткости на горизонтальные смещения и поворот, соответствующие эквивалентной сваи в виде колонны с защемленным нижним концом.

Из примера 5.5-1 $f_{1x} = 0,67$ МН, $u_2 = 2,70$ МН·м и $\theta_2 = 0,20$ м, $\theta_2 = 0,0128$ рад. Подставляя это в выражение (5.57), получим $I = 20,15$ м², а по формулам (5.54) и (5.58) найдем $k_1 = 9,36$ МН/м, $k_3 = 1,352 \cdot 10^3$ (МН·м)/рад, $k_4 = 3,06 \cdot 10^3$ МН/рад.

Пример 5.6-2. Рассмотрим стальную оперную конструкцию сооружения морского нефтехранилища (рис. 5.13) при нагрузках, определенных в примере 4.2-1, и определить жесткостные характеристики эквивалентной сваи. Действительные сваи имеют внешний диаметр 1,22 м и стенку толщиной 25 мм и заглублены в грунт на 60 м. Предположим, что грунт представляет собой монотоногипилический грунт с упругим сопротивлением, увеличивающимся линейно с увеличением глубины. Коэффициент проникновенности, характеризующий изменение удельного сопротивления грунта, равен 1,37 кН/м. Значения узловых нагрузок приведены в табл. 5.1.

Коэффициент жесткости при перемещении головы эквивалентной сваи вдоль ее оси обращается с использованием способа, показанного в параграфе 5.4. Было получено (см. пример 5.4-1), что $k_1 = 688$ МН/м.

Чтобы определить коэффициент жесткости эквивалентной сваи при горизонтальном перемещении и повороте ее головы, применим способ последовательных приближений. Сначала зададим значения внутренних усилий в верхнем сечении каждой сваи и определим коэффициенты жесткости по перемещениям действительных сваи, как это было сделано в предыдущем примере. Эти коэффициенты жесткости включаются в общую матрицу жесткости сооружения, и затем при нагрузках, указанных в табл. 5.1, вычисляемые перемещения узлов 2 и 6. С помощью матричного выражения (5.52) по найденным здесь перемещениям головы свай

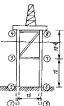


Рис. 5.13. К примеру 5.6-2.

Таблица 5.1. Узловые нагрузки

Узел	F_x , кН	F_y , кН	M_y , кН·м
2	10,9	-81,8	29,2
3	69,3	-142,0	31,5
4	135,3	-298,4	46,5
6	14,9	-81,8	39,2
7	55,2	-140,1	42,7
8	124,8	-240,9	96,5

Таблица 5.2. Значения внутренних усилий в верхнем сечении свай

Приближен- ение	Сечение	$f_{1,0}$, кН	m_1 , МН·м	$f_{4,0}$, кН	m_4 , МН·м
1	Прямоуголь-	205,6	1,70	205,6	1,70
	Вытянуто-	205,9	1,53	204,3	1,50
2	Прямоуголь-	205,9	1,53	204,3	1,50
	Вытянуто-	206,0	1,48	205,2	1,48
...
8	Прямоуголь-	206,5	1,48	204,7	1,46
	Вытянуто-	206,5	1,48	204,7	1,46

вычисляются внутренние усилия в верхнем сечении каждой сваи. Эти значения внутренних усилий используются в следующем приближении для определения новых значений коэффициентов жесткости, и этот процесс продолжается до тех пор, пока вычисленные значения внутренних усилий не совпадут с принятыми для определения коэффициентов жесткости.

В первом приближении можно принять, что суммарная горизонтальная нагрузка на раму (см. рис. 5.13) распределяется поровну между двумя сваями. Суммарная горизонтальная нагрузка в нашем случае равна 411,2 кН, следовательно можно принять, что горизонтальные внутренние усилия, действующие в верхнем сечении каждой сваи, равны по 205,6 кН.

Итак, в первом приближении принимаем, что $f_{1,0} = f_{4,0} = 205,6$ кН, а значения изгибающих моментов заданы произвольно: $m_1 = m_4 = 2,7$ кН·м. Результаты итерационного процесса отражены в табл. 5.2.

Сопоставление полученных и вычисляемых значений внутренних усилий показало, что здесь достаточно восемь итераций. Соответствующие значения коэффициентов жесткости эквивалентных свай приведены ниже:

Элемент 1 – 2 Элемент 3 – 4	
k_1 , МН/м	70,2
k_2 , МН·м	365
k_4 , МН	143
	146

5.7. Фундаменты гравитационных сооружений морского шельфа

Фундаменты – опорные элементы, необходимые для распределения нагрузок от сооружения на площади, достаточной для

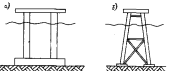


Рис. 5.14. Фундаменты портовых морских шельфа: а – наземный; б – в виде стальных опорных блоков.

превращения разрушения грунтового основания. В гидроакустическом строительстве на морском шельфе сейн в первую очередь проникаются в конструкциях сооружений гравитационного типа, находящихся непосредственно на грунте. Иногда такие элементы проникаются и в конструкциях ферменного типа, расположенных на очень мягких грунтах, с тем чтобы создать сопротивление за то время, пока через опорные колонны в грунт не будут забиты сваи, обеспечивающие устойчивость сооружения. Примеры функциональных показаний на рис. 5.14. Они могут быть сплошными, т. е. устраиваемыми на всей площади под сооружением, или в виде отверстий балластом под отдельными опорными колоннами.

5.8. Несущая способность фундаментов

При испытательном нагружении фундамента вертикальной силой возникает выпор грунта под пологими фундаментами (рис. 5.15). Когда зона выпора грунта охватывает обширную область основания, оно теряет устойчивость. Это состояние наступает при достижении касательных напряжений в грунте критических значений, установленных в параграфе 5.1. Согласно общему условию потери устойчивости грунтового основания [см. формулу (5.11)] предельное давление под подножкой фундамента может быть выражено определено по известной формуле механики грунтов

$$q_{sp} = N_c c + (1/2)N_q \gamma_b B, \quad (5.59)$$

где c – сцепление; γ_b – удельный вес грунта, определяемый с учетом автоклавного действия воды; B – характерный размер фундамента в плане; N_c и N_q – коэффициенты, значения которых зависят от угла внутреннего трения грунта. Для фундамента квадратной формы B принимается равным двум сторонам, для прямоугольного фундамента – длине короткой стороны, для кругового фундамента – радиусу. Типичные значения коэффициентов N_c и N_q приведены в табл. 5.3.

Как отмечалось в параграфе 5.1, для пясчистых грунтов характерно $c = 0$, т. е. вместо (5.59)

$$q_{sp} = (1/2)N_q \gamma_b B. \quad (5.60)$$

Для супесчаных грунтов можно принять $\varphi = 0$, $N_c = 5,1$, $N_q = 0$ в начальном испаренном состоянии и $c = 0$ в состоянии, отвечающем длительному пренагрузению, т. е. формула (5.59) упрощается до вида

$$q_{sp} = 5,1 c \quad (5.61 \text{ а})$$

для непрекращенного состояния и

$$q_{sp} = 0,5N_q \gamma_b B \quad (5.61 \text{ б})$$



Рис. 5.15. Выпор грунта жестким центрально нагруженным фундаментом.

Таблица 5.3. Значения коэффициента N_c и N_T

Ч. ряд	N_c	N_T	Ч. ряд	N_c	N_T
0	5,1	0	25	20,3	10,9
5	6,6	0,5	30	30,1	22,4
10	8,3	1,2	35	46,1	48,9
15	11,0	2,7	40	75,3	109,4
20	14,8	5,4	45	133,9	271,7

или дренированного состояния.

Обычно недренированное состояние характерно для завершающей стадии строительства сооружений морского шельфа, когда они не прошло достаточно времени для снижения горизонтального давления в результате оттока воды из грунтовой массы.

Дренированное же состояние отвечает длительной несущей способности грунтового основания, которая создается уже после отвода горизонтальной воды.

Значение предельной несущей способности основания, установленное по формулам (5.60) или (5.61), обычно умножается в расчетах на коэффициент запаса, принимаемый равным от 2,5 до 3,0.

Пример 5.8–1. Рассмотрим круглый в плане фундамент радиусом 6,0 м и определим предельную несущую способность основания, представленного глинистым нормально уплотненным грунтом. Грунт имеет в недренированном состоянии прочность на сдвиг (сцепление) c , изменяющуюся плавно с увеличением глубины y ниже поверхности грунта, т. е. в соответствии с выражением $c = cy_0$, $c = 2 \text{ кН/м}$. Эффективный угол внутреннего трения глины $\phi_0 = 20^\circ$, а объемный вес с учетом взвешивающего действия воды равен $6,2 \text{ кН/м}^3$.

Для начального недренированного состояния оценим сцепление, приравняв значение c на глубине 3 м, т. е. разной $B/2$ в формуле (5.59). Таким образом, $c = 6 \text{ кН/м}$, и по выражению (5.61 а) получим $\varphi_{\text{пр}} = 5,1 - 6 = -30,6 \text{ кН/м}$.

Для состояния, наступающего после длительного дренирования грунта, из табл. 5.3 найдем, что $N_c = 5,4$, и по выражению (5.61 б) получим $\varphi_{\text{пр}} = 0,5 + 5,4 - 6,2 \cdot 6 = 104,4 \text{ кН/м}$.

Как видно, несущая способность грунтового основания возрастает в процессе компрессии грунта. В расчетах допускается использовать меньшие значения несущей способности (соответствующее недренированному состоянию) с учетом, конечно, соответствующего коэффициента запаса.

Пример 5.8–2. Рассмотрим пример 5.8–1 при условии, что грунт представляет перегуашенный глинт, имеющий в недренированном состоянии на глубине 3 м прочность на сдвиг, равную 24 кН/м.

Для начального недренированного состояния получим $\varphi_{\text{пр}} = 5,1 \cdot 24 = -122,4 \text{ кН/м}$, а для состояния, отвечающего длительному дренированию, как и ранее, $\varphi_{\text{пр}} = 104,4 \text{ кН/м}$.

Таким образом, для этого грунта погребенная несущая способность оказывается меньше начальной, и это должно быть учтено в расчетах.

5.9. Сопротивление фундамента скольжению

Относительность скольжения фундамента под действием горизонтальных нагрузок возникает, если запирание фундамента относительно мало, а горизонтальные нагрузки достаточно велики. Чтобы оценить текущую способность основания $f_{\text{пр}}$ при горизонтальном загружении (в расчете на единицу площади подошвы) для фундамента монолитного заливания, можно обратиться непосредственно к формуле Кулона (5.1). Полагая, что скольжение наступает из-за сдвига грунта плоскости, совпадающей с поверхностью морского дна, получим

$$f_{\text{пр}} = c + (F_p/A) \operatorname{tg} \phi, \quad (5.62)$$

где A – площадь подошвы фундамента; F_p – вертикальная нагрузка. Если фундамент опирается на песок, то $c = 0$; в случае глинистого основания необходимо рассмотреть оба случая: $\phi = 0$ (недренированное состояние) и $c = 0$ (дренированное состояние) и принять в расчет минимальные значения. Значение коэффициента запаса сковы принимаются в пределах от 2,5 до 3,0.

5.10. Расчет фундаментов на нагрузки общего вида

При центральном загружении фундамента вертикальной силой давление, передаваемое на грунт, можно считать равномерно распределенным по подошве фундамента и использовать рекомендации, данные в § 5.8. В частности, если это является менее допустимого значений несущей способности основания, то размеры фундамента можно считать приемлемыми, в противном случае они неприемлемы.

Однако объем фундаменты сооружений морского шельфа подвергаются действию не только вертикальных нагрузок от веса сооружения, но также горизонтальных сил и моментов от воздействия ветра и волн на верхнее строение сооружения. Горизонтальные силы вызывают в грунте под подошвой фундамента касательные напряжения, тогда как вертикальные силы и моменты приводят к изогнутым меридианам распределения давления на грунт. По условиям устойчивости проектируемого фундамента значения касательных напряжений от горизонтальной нагрузки должны быть ниже несущей способности основания из-за сдвига, определяемой по формуле (5.62). Для проверки достаточности несущей способности основания можно принять в расчет, что максимальное по значению давление на грунт действует в виде распределенной нагрузки по всей площаи подошвы фундамента. Для обеспечения устойчивости фундамента это давление должно быть ниже допустимого значения, определяемого из основы выражений (5.62) или (5.61).

Максимальное давление на грунт, действующее по подошве фундамента, может быть оценено в предположении о плавном изменении давления вдоль фундамента (рис. 5.16, а). Из условий равновесия, состоящих в равенстве суммы проекций сил на вертикальную ось к сумме

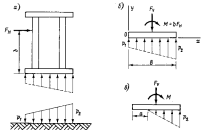


Рис. 5.16. Упрощенные схемы распределения давления по площади фундамента, нагруженного силой и моментом.

моментов относительно левого края подошвы фундамента, следует, что

$$\int p dA = F_F; \frac{1}{A} \int p dA = \left(\frac{B}{2} \right) F_F + M F_H, \quad (5.63)$$

где A – площадь подошвы фундамента. Рассматривая фундамент прямоугольной формы, шириной B и длиной L , и полагая давление действующим в пределах всей подошвы фундамента (рис. 5.16, б), легко найдем

$$p_1 = \frac{F_F}{BL} - \frac{F_H b B}{2L}; \quad p_2 = \frac{F_F}{BL} + \frac{F_H b B}{2L}, \quad (5.64)$$

где $I = LB^3/12$; b – плечо горизонтальной силы.

Если минимальное значение p_1 , определяемое по первой из этих двух формул, не отрицательно, то максимальное значение давления p_2 может быть подсчитано непосредственно по второй формуле. При достаточно большой горизонтальной нагрузке может получиться отрицательное значение минимального давления p_1 , и тогда предельные values решения становятся интегральными, так как фундамент не может передавать на грунт растягивающие напряжения. В этом случае должна быть использована новая решинка, соответствующие распределению давления, показанному на рис. 5.16, в. Использовав равенства (5.63), найдем в этом случае, что

$$p_1 = \frac{4}{3L} \frac{F_F}{F_F B - 2M F_H}; \quad (5.65)$$

$$p_2 = \frac{3M F_H}{F_F} - \frac{B}{2b}. \quad (5.66)$$

Концентрация давления за правым краем фундамента соответствует условию опрокидывания сооружения. Полагая в выражении (5.66) $a = B$, найдем горизонтальную нагрузку $F_M = F_F B / 2b$, при которой происходит опрокидывание. Из выражения (5.65) видим в этом случае, что давление p_1 достигает бесконечно большого значения. Таким образом, если p_2 не превосходит несущей способности основания, то нет необходимости в проверке устойчивости сооружения на опрокидывание под воздействием ветра и всплытия.

Формулы (5.64)–(5.66) получены для фундаментов прямоугольной или квадратной формы. Аналогичные, но более сложные выражения могут быть выведены для круглого фундамента. В приближенных расчетах круглый фундамент можно заменить равносильным по площади подошвы квадратным фундаментом и использовать полученные для него формулы. При более сложной геометрии фундамента максимальное значение давления может быть сведенено путем замены реального фундамента набором прямоугольных участков и применения к ним выражений (5.63) в зависимости от расположения притягивающему к линии распределения давления. В некоторых задачах целесообразно сохранять геометрию подошвы фундамента, но эквивалентировать распределение по линейному закону давления (пример 5.10-2). Другим возможным способом расчета несущей способности различных по очертанию в плане и условиям нагружения является использование выражения (5.59), в котором находятся эмпирические коэффициенты, зависящие от формы подошвы фундамента и вида нагрузки [34].

Пример 5.10-1. Гравитационного типа сооружение морского шельфа (рис. 5.17) имеет круглую в плане фундамент диаметром 13,5 м, установленный на песчаном основании ($\varphi = 35^\circ$; $\gamma_b = 9,42 \text{ кН}/\text{м}^3$). Общий вес сооружения с фундаментом с учетом изгибающего действия ветра составляет 22,5 МН. Определим, соответствует ли фундамент заданным нагрузкам и грунтовым условиям.

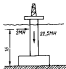
Сначала из первой из формул (5.64) определим минимальное давление на грунт. По площади ($143,1 \text{ м}^2$) круглый фундамент эквивалентен квадратному со стороной, равной приблизительно 12 м. Тогда при $I = 12^4/12 = 1728 \text{ м}^4$

$$p_1 = \frac{22,5 \cdot 10^3}{12^2} = \frac{2 \cdot 10^3 \cdot 16 \cdot 12}{2 \cdot 1728} = \\ = 45,1 \text{ кПа.}$$

Так как эта величина положительна, минимальное значение давления можно находить по второй из формул (5.64)

$$p_2 = 267,4 \text{ кПа.}$$

Несущую способность песчаного основания определим по выражению (5.60). Рис. 5.17 К примеру 5.10-1.



При $\varphi = 35^\circ$ найдем из табл. 5.3, что $N_y = 48$. Отсюда

$$q_{ap} = (1/2)48 \cdot 9,42 \cdot 6,75 = 1526 \text{ кПа.}$$

Приняв коэффициент запаса равным 2,5, получим несущую способность основания $1526/2,5 = 610 \text{ кН/м}$. Так как это значение существенно превышает максимальное давление, передаваемое грунтом, можно заключить, что размеры фундамента более чем достаточны с точки зрения несущей способности.

Чтобы проверить устойчивость фундамента на сдвиг, воспользуемся формулой (5.62)

$$f_{ap} = \frac{22,5 \cdot 10^3}{143,1} \operatorname{tg} 30^\circ = 90,8 \text{ кПа.}$$

Горизонтальная нагрузка, относимая к единице площади, равна $2 \cdot 10^3 / 143,1 = 14,0 \text{ кПа}$, т. е. размеры фундамента обеспечивают устойчивость сооружения на сдвиг.

Пример 5.10-2. Рассмотрим еще раз сооружение из примера 5.10-1, полагая на этот раз, что фундамент выполнен в виде цилиндрических ячеек диаметром 4,5 м (рис. 5.18). Линейное распределение давления по подошве фундамента аппроксимируем кусочно-постоянным. Если обозначить A площадь подошвы каждой цилиндрической ячейки фундамента, то из условия равновесия (суммы проекций всех сил на вертикальную ось) получим

$$p_2 A + \frac{p_1 + p_2}{2} \cdot 3A + p_1 A = F_Y,$$

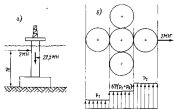


Рис. 5.18. К примеру 5.10-2: а — схема приложения нагрузки на грунт; б — схема распределения напряжений под фундаментами цилиндрических ячеек.

где F_Y — вертикальная нагрузка на фундамент. Аналогично, если R — радиус ячеек фундамента, то сумма моментов всех сил относительно левого края фундамента даст

$$6Rp_2A + 4R \left(\frac{p_1 + p_2}{2} \right) 3A + Rp_1A = M,$$

где M — момент от всех внешних нагрузок относительно левого края фундамента. Пусть F_H — горизонтальная нагрузка, а δ — ее угол относительного подошвы фундамента, тогда

$$M = M_F_H + 3RF_Y.$$

Из решения двух уравнений равновесия получим

$$p_1 = \frac{2F_Y - F_H\delta}{10A} ; p_2 = \frac{2F_Y + F_H\delta}{10A}.$$

Подставляя $F_Y = 22,5 \text{ МН}$, $F_H = 2,0 \text{ МН}$, $\delta = 16 \text{ м}$, $R = 2,25 \text{ м}$, $A = 15,0 \text{ м}^2$, найдем, что $p_1 = 59,4$, $p_2 = 506,6 \text{ кН/м}$.

Поскольку p_1 получилась положительным, обосновано и применение здесь решения для p_1 . Рассмотрев правую ячейку фундамента, в пределах которой действует это давление, найдем для нее по формуле (5.60), что предельная несущая способность основания

$$q_{ap} = (1/2)48 \cdot 9,42 \cdot 2,25 = 508,7 \text{ кПа.}$$

Это значение чуть больше максимального давления, следовательно, рассматриваемый здесь фундамент не гарантирует устойчивость основания, поскольку не обеспечен необходимый коэффициент запаса. Одним из возможных способов обеспечения устойчивости в данном случае является присоединение цилиндрических элементов к крупной плитке радиуса 13,5 м, рассчитанной в примере 5.10-1.

5.11. Упругая реакция основания

Пока застеколированый должным образом фундамент испытывает нагрузки, не превышающие расчетные значения, грунтовое основание под подошвой фундамента работает как упругая среда. Чтобы учесть упругую реакцию основания в расчете сооружения, в расчетной схеме действительное основание можно представить упругим фундаментом, расположенным на поверхности трунгового созинания, рассматриваемого как недеформируемая среда (рис. 5.19). По жесткости упругий фундамент эквивалентен действительному, опрятому на упругое грунтовое основание.

Соотношение между усилиями и перемещениями эквивалентного упругого фундамента можно представить в виде

$$\begin{bmatrix} f_{1x} \\ f_{1y} \\ m_1 \end{bmatrix} = \begin{bmatrix} k_1 & 0 & 0 \\ 0 & k_2 & 0 \\ 0 & 0 & k_3 \end{bmatrix} \begin{bmatrix} u_1 \\ u_2 \\ u_3 \end{bmatrix}, \quad (5.67)$$

где f_{1x} , f_{1y} , m_1 — усилия, приложенные к верху фундамента; u_1 , u_2 , u_3 — соответствующие этим усилиям перемещения. Для жесткого круглого в плане фундамента, расположенного на однородном упругом грунтовом основании [11]

$$k_1 = \frac{32(1-\nu)GR}{7-8\nu}; \quad k_3 = \frac{4GR}{1-\nu}; \quad k_2 = \frac{8GR^3}{3(1-\nu)}, \quad (5.68)$$

где R — радиус пологи фундамента; G и ν — модуль сдвига и коэффициент Пуассона грунтового основания. Коэффициент Пуассона для птических грунтов может быть принят равным 0,5, а для песчаных грунтов — 0,25. Значение модуля сдвига грунта может быть установлено по избирательным испытаниям образцов грунта, взятых на месте установки сооружения. Поскольку модуль сдвига изменяется в широких пределах, расчетное его значение принимается равным среднему по глубине порядка двух трех диаметров фундамента.

Хотя формулы (5.68) рассчитаны для круглого в плане фундамента, они могут быть использованы для приближенного расчета равновесных по площади квадратных фундаментов.

Пример 5.11-1. Определить горизонтальное перемещение верхнего строения сооружения морского шельфа, показанного на рис. 5.20, от горизонтальной нагрузки F , равной 450 кН. Опорная колонна имеет высоту $I = 24,5$ м, изогнутое сечение с моментом инерции $J = 15,2$ м⁴ и выполнено из железобетона с модулем упругости $E = 28$ ГПа. Фундамент сооружения имеет в плане форму круга радиусом $R = 6,75$ м. Модуль сдвига G грунтового основания равен 50 МПа.

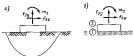


Рис. 5.19. Задача жесткого фундамента на упругом основании (a) эквивалентным по жесткости упругим фундаментом на неоднородном основании (b).

$$\begin{bmatrix} F_{1x} \\ M_1 \\ F_{1x} \\ M_3 \end{bmatrix} = \begin{bmatrix} (a+k_1) & b & -a & b \\ b & (2a+k_2) & -b & c \\ -a & -b & a-b & b \\ b & c & -b & 2c \end{bmatrix} \begin{bmatrix} u_1 \\ u_2 \\ u_3 \\ u_4 \end{bmatrix}$$

Здесь F_{1x} , M_1 , F_{1x} и M_3 — горизонтальные силы и моменты, приложенные к узлу 2 и 3; u_1 , u_2 , u_3 и u_4 — горизонтальные перемещения и повороты узлов;

Рис. 5.10. К примеру 5.11-1.

$$a = 1287/\nu^2; \quad b = 6E/\nu^2; \quad c = 2E/\nu;$$

k_1 и k_3 — составляющие матрицы жесткости в выражении (5.68). Границные условия: $F_{1x} = M_2 = M_3 = 0$; $F_{1x} = 450$ кН.

Подставив числовые значения величин в реальную матрическое выражение, получим $u_2 = 0,25 \cdot 10^{-2}$ м, $u_3 = 0,13 \cdot 10^{-2}$ рад; $u_4 = 8,6 \cdot 10^{-3}$ м; $u_1 = 0,45 \cdot 10^{-2}$ рад.

Горизонтальное перемещение верхнего строения, равное $8,6 \cdot 10^{-3}$ м, можно согласовать со значением $5,1 \cdot 10^{-3}$ м, полученным в предположении, что сам фундамент и грунтовое основание под ним абсолютно жесткие.

Пример 5.11-2. Построить матрицу жесткости фундамента колонны, показанной на рис. 5.21, а, состоящего из пяти цилиндрических ячеек радиусом R .

Представим реакцию основания эквивалентной реакцией упругих пружин, имеющих жесткости k_1 и k_2 (рис. 5.21, б), значения которых находятся по формулам (5.68). Соотношение между горизонтальным усилием f_{1x} и перемещением u_1 узла 2 получает в этом случае вид $f_{1x} = 5k_1u_2$.

Аналогично, соотношение между вертикальной силой f_{1y} и перемещением u_2 можно записать как $f_{1y} = 5k_2u_2$.

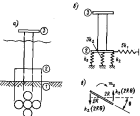


Рис. 5.21. К примеру 5.11-2.

Наконец по уступаму разнономерных фундамента (рис. 5.31, б) можно найти соотношение между моментом и поворотом фундамента $\theta_1 = 4Rk_1\delta_1$.

Таким образом, матричное соотношение между усилиями, приложенными к фундаменту, и его перемещениями можно представить в виде

$$\begin{Bmatrix} f_{1,1} \\ f_{1,2} \\ \vdots \\ f_{1,n} \end{Bmatrix} = \begin{bmatrix} sk_1 & 0 & 0 \\ 0 & sk_2 & 0 \\ \vdots & \vdots & \vdots \\ 0 & 0 & 4Rk_1 \end{bmatrix} \begin{Bmatrix} \delta_1 \\ \delta_2 \\ \vdots \\ \delta_n \end{Bmatrix}.$$

Как в предыдущем примере, получим из здесь матрица жесткости фундамента может быть использована для расчета сооружения на внешние воздействия.

5.12. Осадка фундамента

Фундаменты сооружений морского шельфа получают осадки вследствие уплотнения грунта под воздействием веса сооружения. Разнономерная осадка фундамента обычно не приводит к вреду фундаменту или расположенному на нем сооружению, но неравномерная осадка может вызвать недопустимые напряжения в фундаменте или в сооружении. Неравномерные осадки, которые могут быть допущены, конечно, различны для разных сооружений и оснований. Однако, как правило, относительная осадка более 25 мм считается недопустимой.

Если фундамент круглой и квадратной формы в плане расположен на относительно мокром слое песка (толщина слоя не менее трех-четырех диаметров или ширины стороны фундамента), то максимальная осадка обычно невелика и может быть оценена с использованием решений, полученных в предыдущем параграфе. Так, если δF означает осадку, то из выражения (5.67) при $\nu = 0,25$ получим

$$\Delta F = W/k_2 = 3W/16GR, \quad (5.69)$$

где R — радиус круглого в плане фундамента или полуквадратного фундамента; W — вертикальная нагрузка; G — модуль сдвига песка. Значение, получаемое по этой формуле, дает максимальную сжимаемую разнономерную осадку. Если фундамент состоит из нескольких блоков, испытывающих различные нагрузки, относительная осадка может быть определена как разность осадок, получаемых по формуле (5.69), применяемой к каждому фундаментному блоку в отдельности. Для сплошного фундамента значение относительной осадки может быть оценено в предположении, что по формуле (5.69) получается средняя осадка, а максимальная осадка в центре фундамента вдвое больше осадки по краям фундамента. В этом случае осадка в центре фундамента оказывается на одну треть больше средней осадки, а осадка по краю фундамента на треть меньше. Относительная осадка, таким образом, равна двум третям от значения средней осадки.

Для фундаментов, расположенных на относительно мокром слое глины, расчет осадок более сложен, поскольку необходимо учесть как начальное деформированное состояние глины, так и длительный процесс ее физико-химического уплотнения. Как отмечалось в параграфе 5.1, в песчаных группах отставание поровой воды под влиянием скользящих нагрузок происходит очень быстро, поэтому в данном случае указанные проблемы не возникают при расчете осадок фундамента. В глинистых группах при расчете осадок фундамента имеет существенное значение явление коагуляции.

Осадка фундаментов на глинистых основаниях обычно определяется на основе компрессионных кривых, полученных для образцов грунта. Компрессионные испытания (исследование коагуляции) проводятся в лабораториях при вывертывании грунта на каждой ступени нагружения до полного завершения деформаций.

На рис. 5.22 показаны результаты таких исследований, проведенных на образцах, взятых из зоны нормально уплотненной и переуплотненной глины (см. параграф 5.1). Обычно график зависимости деформации от динамического погоняжения приложенного к грунту имеет вид прямой или ломкой (из двух участков) линии. Значение σ_0 на графиках означает то напряжение, которому был подвержен испытуемый грунт под воздействием веса расположенных выше выше грунта (это разница уплотненного веса грунта с учетом взаимодействия действия воды, умноженному на глубину, на которой был отобран образец грунта). Для нормально уплотненного грунта это напряжение является максимальным из тех, которым грунт когда-либо не было подвергнут на той глубине, где был взят образец. В некоторой нагрузке переуплотненного грунта было такое же состояние, когда он испытывал напряжение σ_m , большее, чем σ_0 , и это произошло при компрессионных испытаниях в виде излома на диаграмме деформации в точке, соответствующей напряжению σ_m .

Поскольку полагается, что образец грунта характеризует свойства грунта на любой глубине, то деформации в связана с напряжением σ (различие σ для данной глубины и разница приложенного напряжения $\Delta\sigma$) в случае нормально уплотненного глинистого грунта зависимостью

$$\epsilon = C_c (\lg \sigma - \lg \sigma_0), \quad (5.70)$$

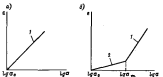


Рис. 5.22. Диаграммы деформации нормально уплотненной (а) и переуплотненной (б) глины.

Г — линия C_c ; 2 — линия C_c .

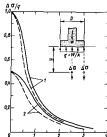


Рис. 5.23. Изменение напряжения с учетом изменения глубины (по Буссинеску) в центре (1) и под краем (2) центрально-нагруженного фундамента.

— квадратные в плане формы фундамента; — круглая форма,

ту диаметром или шириной B , обычно применяется теоретическое решение Буссинеска, т. е. грунт рассматривается как однородная упругая среда. График на рис. 5.23ает представление о характере изменения напряжений с увеличением глубины под центром и краем фундамента, имеющего форму круга или квадрата. Значения напряжений на графике приведены в единицах от средней интенсивности действия $\sigma = W/A$, передаваемого фундаментом на поверхность основания. Значения глубины там относят к диаметру или ширине фундамента.

Модель упругой однородной среды может быть использована и для определения осадок в центре или за краем фундамента. Оптическая осадка

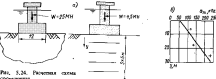


Рис. 5.24. Ракетная схема сооружения.

Рис. 5.25. Ракетная схема сооружения и характеристика пропорций гравий.

где C_0 характеризует наклон прямой на графике (см. рис. 5.22, а). Аналогично для переуплотненной глины при $e \leq e_m$

$$\sigma = C_1(\lg \sigma - \lg \sigma_m), \quad (5.71 \text{ а})$$

и при $\sigma > \sigma_m$

$$\sigma = C_1(\lg \sigma_m - \lg \sigma_0) + C_2(\lg \sigma - \lg \sigma_m), \quad (5.71 \text{ б})$$

где C_1 и C_2 характеризуют наклоны участков графика на рис. 5.22, б.

Заметим, что напряжение σ может изменяться с увеличением глубины, и для выяснения характера этого изменения компрессионные испытания должны быть проведены для образцов, извлеченные из грунта под центром и под краем фундамента.

Для определения напряжения $\Delta \sigma$ в грунте от вертикальной нагрузки W , приложенной к круглому или квадратному фундамен-

Таблица 5.4. Напряжение и деформации в грунтовом массиве под фундаментом

Глубина $z, \text{ м}$	Напряжение, кПа			Деформация ϵ
	σ_0	$\Delta \sigma$	ϵ	
Под центром фундамента				
3	18,9	36,0	54,9	$78,0 \cdot 10^{-3}$
9	56,7	16,8	73,5	$114,0 \cdot 10^{-3}$
15	94,5	9,0	103,5	$150,0 \cdot 10^{-3}$
21	132,3	5,1	137,5	$186,0 \cdot 10^{-3}$
27	170,1	3,2	173,3	$222,0 \cdot 10^{-3}$
Под краем фундамента				
3	18,9	18,0	36,9	$58,0 \cdot 10^{-3}$
9	56,7	10,4	67,1	$114,0 \cdot 10^{-3}$
15	94,5	5,8	106,3	$158,0 \cdot 10^{-3}$
21	132,3	4,0	136,3	$186,0 \cdot 10^{-3}$
27	170,1	2,4	172,5	$222,0 \cdot 10^{-3}$

нескольких отдельных фундаментов может быть найдена как разность оценок осадок этих фундаментов. Для сплошного фундамента относительная осадка получается как разность осадок в центре и под краем.

Пример 5.12-1. Определим осадку круглого фундамента, показанного на рис. 5.24. Грунтовое основание сложено засыпкой с модулем сдвига $G = 50 \text{ МПа}$. Вес сооружения в фундаменте W с учетом возникающего действия воды равен 25 МН. Диаметр подошвы фундамента 12 м.

По формуле (5.69) определим среднюю осадку фундамента: $\Delta H = (3 \cdot 25) / (16 \cdot 50) = 0,0156 \text{ м}$.

Оптическая осадка оценивается как $0,67 \cdot 0,0156 = 0,0105 \text{ м}$.

Пример 5.12-2. Определим максимальное значение относительной осадки фундамента, показанного на рис. 5.25, а. Основание под фундаментом сложено переуплотненной глиной с параметрами $C_0 = 0,02$; $C_1 = 0,18$ и $\sigma_m = 100 \text{ кПа}$ (жесткоглинистый), изменяющимися с увеличением глубины по закону $\sigma_m = 60 + bu$ (рис. 5.25, б). Удельный вес глины с учетом возникающего действия воды равен $6,3 \text{ кН}/\text{м}^3$. Вес сооружения в фундаменте с учетом возникающего действия воды равен 4,5 МН. Диаметр подошвы фундамента 12 м.

Для определения осадок используем выражение (5.71). Выделим в грунтовом массиве под фундаментом зону горизонтальных слоев толщиной по 6 м. Определим в каждом слое последовательно его толщину напряжения $\sigma_0 = \tau_{xy,y}$, и по графику на рис. 5.25 напряжение $\Delta \sigma$ от нагрузки, передаваемой на грунт фундаментом при $\epsilon = W/A = 4500/113 \approx 40 \text{ кПа}$. Деформация, соответствующая избыточному напряжению, определена по выражением (5.71). Результаты вычислений приведены в табл. 5.4.

Осадка фундамента ΔM перечислена по деформациям:

$$\Delta M = \int \epsilon d\sigma = H \Sigma \epsilon_i,$$

где H — толщина слоя; ϵ_0 — деформация i -го слоя. Суммируя значения деформаций, произведенных в табличке, получим их значения под центром и по краю фундамента, равные соответственно $12,79 \cdot 10^{-3}$ и $8,16 \cdot 10^{-3}$. Таким образом, осадка основания под центром фундамента равна $6 \cdot 12,79 \cdot 10^{-3} = 76,7 \cdot 10^{-3}$ м, а под краем фундамента — $6 \cdot 8,16 \cdot 10^{-3} = 49,0 \cdot 10^{-3}$ м. Соответственно максимальное значение относительной осадки равно $(76,7 - 49,0) \cdot 10^{-3} = 27,7 \cdot 10^{-3}$ м.

Задачи

1. Грунтовый грунт имеет в инженерном состоянии прочность на сдвиг (коэффициент c , изменяющийся по глубине) у так, как показано на рис. 5.26. При этом $c_0 = 21,5$ кН/м, $c_0 = 1,41$ кН/м². Определить заглубление L стальной сваи диаметром 1,82 м и толщиной стены 20 мм при склонении головы нагрузки, равной 9 МН. Использовать значения параметров грунта, определяющих индуцированную способность сваи [25, 34] и принять упругий вид связи в виде равных 66 кН/м², а коэффициент заноса — 1,5.

Ответ: $L = 83$ м.

2. Несущий грунт имеет идеальный вид с учетом влияния действия воды, равный 3,8 кН/м². Определить заглубление L стальной сваи диаметром 1,22 м и толщиной стены 20 мм при склонении головы нагрузки, равной 9 МН. Использовать значения параметров грунта, определяющих индуцированную способность сваи [25, 34] и принять упругий вид связи в виде равных 66 кН/м², а коэффициент заноса — 1,5.

Ответ: $L = 26$ м.

3. Опорные основания сооружения, одна из сторон которого изображена на рис. 5.27, включают стальные колонны, закрепленные в суглинистом и супесчаном грунте, размежеванных через 15 м. Определить вертикальную нагрузку на отдельные сваи, полагая, что усилия распределены в пределах фундамента по некоторому закону.

Ответ: $P_1 = -6$; $P_2 = 2$; $P_3 = 10$; $P_4 = 26$ МН.

4. Решить задачу 3 при условии отсутствия склоняющихся свай.

Ответ: $P_1 = -1,35$; $P_2 = 25,35$ МН.

5. Определить предложенную жесткость стальной сваи диаметром 1,82 м, толщиной стены 25 мм, забетонированной и покрытой глиной на глубину 75 м.

Ответ: $A_s = 816$ МН/м.

6. Для стальной сваи диаметром 0,62 м, толщиной стены 12,5 мм, забетонированной и покрытой глиной на глубину 60 м, определить противодействие F_1 зоны пластических деформаций грунта, горизонтальную перемещение и возврат δ на уровне повторения сваи от горизонтальной нагрузки $F = 6,83$ кН, приложенной к сваренному кольцу

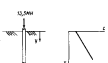


Рис. 5.26. К задаче 1.

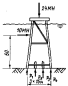


Рис. 5.27. К задаче 3.

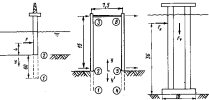


Рис. 5.28. К задаче 6.

Рис. 5.29. К задаче 9.

Рис. 5.30. К задаче 10.

(рис. 5.28) на уровне 3,25 м над морским дном, при условии, что прочность связы на сдвиг (коэффициент c) изменяется с увеличением глубины по закону $c = b/y$, где $b = 1,37$ кН/м².

Ответ: $L = 39$ м; $c = 5,2 \cdot 10^{-3}$ кН; $\delta = 0,9 \cdot 10^{-3}$ рад.

7. При условиях, указанных в задаче 6, определить максимальный момент в свае, глубину, на которой он возникает, и направление от изгиба.

Ответ: $L = 46,3$ м; $y = 2,1$ м; $\alpha_p = 13,2$ МПа.

8. При условиях, указанных в задаче 6, определить жесткостные характеристики зонирования сваи.

Ответ: $A_1 = 36$ кН/м; $A_2 = 34,4$ кН/м²; $A_3 = 230$ кН/м²; $A_4 = 77$ кН/м².

9. Настижение по конструкции изображено (рис. 5.29) и выше стальной рамы воспринимает вертикальные силы диаметром 1,22 м, толщиной стены 25 мм, расположенные в матовую ткань на глубину до 60 м, и горизонтальную связь на высоте 15 м над поверхностью морского дна в виде стальной трубы диаметром 1,22 м и толщиной стены 12,5 мм. Прочность связы на сдвиг (коэффициент c) изменяется по глубине по закону $c = b/y$, где $b = 0,74$ кН/м². Внешнее усилие на свае: $P_{1,2} = P_{1,3} = 22,5$ кН; $P_{2,2} = P_{2,3} = 125$ кН. Определить жесткостные характеристики склоняющихся свай 1–2 и 2–3.

10. Определить начальную и долговременную индуцированную способность основания под фундаментом квадратной формы из рис. 5.30, полагая, что грунтовый грунт имеет следующие характеристики: $c = 48$ кН; $\phi_d = 20^\circ$; $\gamma_s = 6,3$ кН/м². Коэффициент заноса принять равным 2,5.

11. Определить несущую способность основания, полагая во внимание условий задачи 10, что фундамент опирается на песок с характеристиками $\phi = 30^\circ$; $\gamma_s = 18,4$ кН/м².

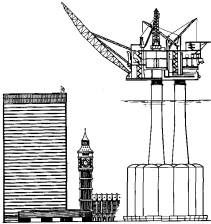
Ответ: 0,77 МПа.

12. Для сооружения, изображенного в задаче 10, определить максимальное и максимальное значение нагрузки F_y , соответствующее индуцированной способности основания, установленной в задаче 11, полагая, что горизонтальная нагрузка $F_H = 2,25$ МН.

Ответ: 230 МН; 9,3 МН.

13. По характеристикам грунтового основания, указанным в примере 5.11–2, определить максимальное значение относительной осадки круглого фундамента диаметром 18 м под вертикальной нагрузкой 10 МН.

Ответ: 32 мм.



Сталелитая буровая платформа Худу компании Эссо, установленная на глубине 259 м в проливе Санта-Барбара (Калифорния).

6. ДИНАМИКА СООРУЖЕНИЙ МОРСКОГО ШЕЛЬФА

Под влиянием периодического волнового воздействия сооружение континентального шельфа совершает гармонические перемещения той же частоты, что и частота волновой нагрузки. Вызванные ими переменные во направлении ускорения создают в сооружении инерционные силы. Эффект этих сил обычно проявляется в виде увеличения перемещений, связанных с волновым воздействием. Упрощенный способ учета инерционных сил был показан в главе 4. Если собственная частота колебаний сооружения значительно выше частоты волновой нагрузки, то, как показывают расчеты, увеличение перемешений вследствие динамического характера нагрузки неизвестно. Это характерно для относительно немощёных и жестких сооружений континентального шельфа, используемых на глубинах 90 м и менее. Расчеты сооружений при таких условиях могут быть выполнены при статической постановке задачи (см. главу 4).

У высоких сооружений или сооружений, имеющих значительную гибкость, вследствие каких-либо особенностей их формы, собственная частота колебаний может оказаться близкой по значению к частоте волновой нагрузки, и это приведет в виде заметного увеличения перемещений сооружением по сравнению с получаемыми от статически пропоненных нагрузок. В этих условиях сооружения, рассчитанные в статических постановках задачи, должны быть подвергнуты проверке на случай возможного увеличения напряжений, вызванного динамическим характером вибрации воздействий. Настоящая глава посвящена описание основ метода динамического расчета. Этот же метод применяется и при необходимости расчета сооружений на нагрузки, связанные с землетрясениями, если они усугубляются в объемистике активном районе. Краткое изложение этого вопроса также содержится в данной главе.

6.1. Применение волнового воздействия к узловым нагрузкам

При изложении в главе 4 статического метода расчета сооружений континентального шельфа рассматривались узловые нагрузки, обусловленные волновыми воздействиями в соответствии с тему моменту, при котором общая горизонтальная составляющая волнового воздействия достигает максимального значения. Такое предположение

операцию, когда инерционные силы пренебрежимо малы и общая реакция сооружения изменяется пропорционально действующей волновой нагрузке. В этом случае максимальная реакция сооружения соответствует по времени моменту достижения максимума радиодействующей волновой нагрузки. Однако, это соответствие нарушается, когда эффект динамического характера воздействий становится существенным, поскольку масса сооружения не может немедленно отреагировать на приложенную нагрузку. Поэтому при выполнении динамических расчетов сооружения узловые нагрузки должны рассматриваться во все моменты волновой воздействия, а не только для тех моментов, когда волновое воздействие достигает максимума.

Ниже упомянутые расчеты в этих случаях предполагают прибегать к более приближенному представлению волновых нагрузок, чем при выполнении статических расчетов. В этом представлении фактические площади и объемы отдельных элементов приводятся к узловым, после чего горизонтальные волновые нагрузки подсчитываются для тех, сопредоточенных в узлах и имеющих приведенные площади и объемы. Кроме того в целях упрощения расчета при определении волновых нагрузок обычно применяется линейная теория волн (Эри).

Рассмотрим для примера сооружение, показанное на рис. 6.1, а. Для подсчета узловых нагрузок от воздействия воздействия на сооружение приведем фактические площади и объемы отдельных гиперэлементов к узловым площадям A_0 , $A_{1,0}$, ..., и объемам V_0 , $V_{1,0}$, ... (рис. 6.1, б). Фактические площади и объемы отдельных элементов подсчитываются по значениям внешних диаметров и проекций длии элементов на нормаль к направлению распространения волн, при этом рассматриваются только те элементы, или их отрезки, которые находятся выше уровня спокойной воды. Так, примененная к узлу 2 площадь A_0 включает площади фактических поперечий элементов 1-2, 2-3, 2-5 и 2-7 на боковой стороне сооружения, изображенной на рисунке, и аналогичные площади на фронтальной (по отношению к волне) стороне от элементов, примыкающих к узлу 2. Аналогичные операции производятся с объемами элементов (при этом учитываются их наружные диаметры и длии проекции). В результате

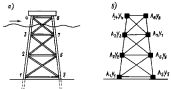


Рис. 6.1. Опорное основание башней платформы (а) и его схема с приведением к узловым площадкам и объемам элементов (б).

находится приведенный объем V_0 . Заметим, что горизонтальный элемент 2-6 создает волновой вихрь и приведенные площадки и объемы, поскольку его проекция на нормаль к направлению движения волны пренебрежимо мала. Это вполне согласуется с более точным представлением волновых нагрузок, которое было изложено ранее.

По найденным таким образом, приведенным к узлам площадям и объемам элементов с помощью формулы Морисона (учитывающей эффект откликанного движения) можно определить волновую нагрузку F_i , приложенную к i -му узлу

$$F_i = 0,5\rho C_{\text{ск}} A_i |v'_{x,i}| v'_{z,i} + \rho C_{\text{ин}} V_i a_{i,x} - \rho (C_{\text{ин}} - 1) V_i \ddot{a}_i, \quad (6.1)$$

где $v'_{x,i}$ — горизонтальная составляющая скорости движения воды относительно i -го узла, разница разности горизонтальных составляющих скорости воды $v_{x,i}$ и узла \ddot{a}_i , т. е.

$$v'_{x,i} = v_{x,i} - \ddot{a}_i; \quad (6.2)$$

$a_{i,x}$ — горизонтальная составляющая ускорения воды; \ddot{a}_i — ускорение движения узла; ρ — плотность воды; $C_{\text{ск}}$ и $C_{\text{ин}}$ — коэффициенты скоростного и инерционного сопротивлений.

Полагая в дальнейшем скорость смещения узла сооружения малой в сравнении со скоростью движения воды, получим приближение, что $|v'_{x,i}| v'_{z,i} = |v_{x,i}| v_{z,i} - |v_{x,i}| \ddot{a}_i$.

В качестве дополнительного допущения заменим $|v_{x,i}|$ соответствующим средним значением $v_{x,i}$, независимым от времени. Тогда выражение для узловой нагрузки от волнового воздействия получает вид

$$F_i = 0,5C_{\text{ск}} A_i \ddot{a}_i \ddot{v}_{z,i} + \rho C_{\text{ин}} V_i a_{i,x} - \rho C_{\text{ин}} A_i \ddot{v}_{z,i} \ddot{a}_i - \rho C_{\text{ск}} A_i \ddot{v}_{z,i} \ddot{a}_i - \rho (C_{\text{ин}} - 1) V_i \ddot{a}_i. \quad (6.3)$$

По теории волн Эри для волны, имеющей высоту H , круговую частоту ω и волновое число k , а также при глубине воды, равной b , получим следующие выражения горизонтальной проекции скорости и ускорения в районе узла i :

$$v_{x,i} = E_i \cos (kx_i - \omega t); \quad (6.4)$$

$$v_{z,i} = \omega E_i \sin (kx_i - \omega t), \quad (6.5)$$

тогда

$$E_i = \frac{\omega H}{2} \frac{\sin kx_i}{\sin kb}, \quad (6.6)$$

а x_i и y_i — координаты x и y узла i , причем начало координат находится

на уровне морского дна. Отметим, что для нахождения приложенных нагрузок в узлах с координатами $u > h$ при начальном колебании воздейстия на загруженные части элементов можно приблизенно полагать в полученных выше формулах $u = h$. Подставив последние выражения в формулу для узловой нагрузки, получим

$$F_1 = F_{01} \sin(kx_1 - \omega t + \varphi_1) = \rho C_{\text{ин}} A_1 \hat{v}_1 \hat{u}_1 = \\ - \rho (C_{\text{ин}} - 1) V_F \hat{u}_1, \quad (6.7)$$

т.е.

$$F_{01} = V_F \left[(0,5 \rho C_{\text{ин}} A_1 \hat{v}_{\text{sl}})^2 + (\rho C_{\text{ин}} V_F \omega)^2 \right]^{1/2}, \quad (6.8)$$

$$\tan \varphi_1 = \frac{C_{\text{ин}} A_1 \hat{v}_{\text{sl}}}{2 C_{\text{ин}} V_F \omega}, \quad 0 \leq \varphi_1 \leq \frac{\pi}{2}. \quad (6.9)$$

Осталось определить приближенное значение \hat{v}_{sl} . Для регулярных волн Эри значение \hat{v}_{sl} назначается так, чтобы разница между $|v_{\text{sl}}|/x_{\text{sl}}$ и $|v_{\text{sl}}|/x_F$ была минимизирована в смысле наименьших квадратов, т. е. при минимальном интеграла

$$J = \int_0^{2\pi} (|v_{\text{sl}}|/x_{\text{sl}} - \hat{v}_{\text{sl}}/x_{\text{sl}})^2 dx, \quad (6.10)$$

Используя выражение (6.4), получим

$$\hat{v}_{\text{sl}} = \frac{8}{3\pi} E_I = 0,849 E_I. \quad (6.11)$$

Пример 6.1-1. Определим выражение волновой нагрузки на узлы 2 сооружения (рис. 6.2) при условии, что волна имеет высоту 6 м и длину 90 м. Глубина воды в месте расположения буровой платформы равна 22,5 м. Вертикальные элементы опорного основания имеют внешний диаметр 1,20 м, а горизонтальные и наклонные 0,6 м. Все четыре стороны опорного основания одинаковые. Праведенная к узлу 2 площадка A_0 складывается из шести отдельных элементов, присоединенных к этому узлу.

Для элементов 1–2 и 2–3 площадки, подверженные действию волн, разны (часть площади элемента 2–3, находящаяся выше уровня воды, не учтывается) $A_{0-2} = 1,2 \cdot 15 = 18 \text{ м}^2$; $A_{0-3} = 1,2 \cdot 7,5 = 9 \text{ м}^2$.

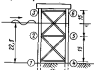


Рис. 6.2. К примеру 6.1-1.

Для наивысшего элемента 2–6, который можно представить как эквивалентный ему вертикальный цилиндр высотой 15 м, получим $A_{0-4} = 0,6 \cdot 15 = 9,0 \text{ м}^2$.

Для горизонтального элемента 2–5 получим $A_{0-5} = 0$, так как длина проекции этого элемента на нормаль к направлению движения волны равна нулю.

Для наивысшего элемента 2–6, который можно принять эквивалентным вертикальному элементу высотой 7,5 м, получим $A_{0-4} = 0,6 \cdot 7,5 = 4,5 \text{ м}^2$.

Для наивысшего элемента на фронтальной стороне, присоединенного к узлу 2 и обозначенного, например, как 2–7, площадь равна $A_{0-7} = 0,6 \cdot 21,2 = 12,7 \text{ м}^2$.

Для горизонтального элемента на фронтальной стороне, обозначенного, скажем, как 2–8, получим $A_{0-8} = 0,6 \cdot 15 = 9,0 \text{ м}^2$.

И, наконец, для верхнего наивысшего элемента на фронтальной стороне, также присоединенного к узлу 2 и обозначенного, допустим, как 2–9, найдем $A_{0-9} = 0,6 \cdot 10,6 = 6,4 \text{ м}^2$.

Сложив площадки от всех полученных выше площадей, найдем, что $A_0 = 34,2 \text{ м}^2$.

Аналогичным образом определяются приведенный к узлу 2 объем V_F . Сначала найдем фактические объемы элементов как произведение длины волны:

$$V_{1-2} = 1/4 \cdot 15\pi \cdot 1,2^2 = 16,96 \text{ м}^3;$$

$$V_{1-3} = 1/4 \cdot 7,5\pi \cdot 1,2^2 = 8,48 \text{ м}^3;$$

$$V_{1-4} = 1/4 \cdot 15\pi \cdot 0,6^2 = 4,24 \text{ м}^3;$$

$$V_{2-5} = 0;$$

$$V_{2-6} = 1/4 \cdot 7,5\pi \cdot 0,6^2 = 4,24 \text{ м}^3;$$

$$V_{3-7} = 1/4 \cdot 21,2\pi \cdot 0,6^2 = 6,00 \text{ м}^3;$$

$$V_{2-8} = 1/4 \cdot 15\pi \cdot 0,6^2 = 4,24 \text{ м}^3;$$

$$V_{2-9} = 1/4 \cdot 10,6\pi \cdot 0,6^2 = 3,00 \text{ м}^3.$$

Сложив полученные объемы, найдем $V_F = 22,5 \text{ м}^3$.

Для волны Эри, имеющей длину 90 м, при глубине воды 22,5 м характерны следующие значения волнового числа и крутовой частоты: $k = 0,0687 \text{ 1/m}$; $\omega = 0,786 \text{ 1/c}$.

Нагрузку F_1 определим по выражению (6.7). Для этого по (6.6) при $u_F = 15$ м найдем амплитуду скорости движения воды $E_I = 1,67 \text{ м/c}$. По формуле (6.11) вычислим $F_{01} = 1,42 \text{ м/c}$.

Амплитуду F_{01} волновой нагрузки, действующей на узлы 2, и угол сдвига фазы φ_1 определим по выражениям (6.8) и (6.9), примем $\rho = 10^3 \text{ кг/м}^3$, $C_{\text{ин}} = 1$ и $C_{\text{ин}} = 2$:

$$F_{02} = 71,65 \text{ кН}; \rho_2 = 0,601 \text{ рад} = 34,6^\circ.$$

Если начало координат выбрать так, чтобы $x_1 = 0$, то выражение второй нагрузки (в координатах) на узел 2 получает следующий вид:

$$F_2 = 71,65 \sin(-\omega t + 0,601) - 48,56 \dot{x}_1 - 22,5 \ddot{x}_1,$$

где \dot{x} и \ddot{x} выражаются в метрах на секунду и в метрах на секунду в квадрате соответственно, а $\omega = 0,786 \text{ с}^{-1}$, как определено выше.

6.2. Уравнения динамики

В качестве подсистемы при выводе уравнений движений сооружения морского шельфа под воздействием динамических нагрузок рассмотрим рамную систему, находящуюся боковой стороной симметрии по простому по конструкции спиральному основанию буровой платформы (рис. 6.3). Важные усилия, действующие на каждый узел рамы, считаются измеренными горизонтально. Они определяются по формуле (6.7) с учетом вклада от элементов фронтальной стороны, примыкающих к рассматриваемому узлу. Можно полагать, что при таких нагрузках рама совершает движение в основном в горизонтальном направлении. Рассматривая перемещения системы на уровнях 2–6, 3–7 и 4–8, заметим, что вследствие симметричности большой жесткости горизонтальных связей каждый пояс будет перемещаться как твердое целое, т. е. горизонтальные перемещения узлов в пределах одного пояса практически одинаковы.

Для определения движения твердого типа можно знать радиальную, действующую горизонтальных нагрузок, чем их распределение по тому. Таким образом, для описания движения каждого пояса системы, рассматриваемого как твердое целое, достаточно знать только сумму вложенных нагрузок, действующих на все узлы этого пояса. Обозначим F_i суммарную вложенную нагрузку, действующую на пояс $i-j$; например, F_2 представляет собой сумму сил, действующих на узлы 2 и 6.

Из выражения (6.7) получим при $\varphi_1 = 0$:

$$\begin{aligned} \tilde{F}_i &= F_{0i} \sin(kx_i - \omega t + \psi_i) + \\ &+ F_{ei} \sin(kx_i + kL_i - \omega t + \psi_i) - \\ &- \rho C_{ek} \hat{v}_{xi} \tilde{A}_i \dot{\tilde{x}}_i - \rho(C_{ek} - 1) \tilde{V}_i \ddot{\tilde{x}}_i, \end{aligned} \quad (6.12)$$

где $L_i = x_j - x_i$ обозначает расстояние по горизонтали между узлами i и j , а

$$\tilde{A}_i = A_i + A_j; \quad \tilde{V}_i = V_i + V_j. \quad (6.13)$$

Выражение (6.12) может быть записано короче при использовании тригонометрических тождеств

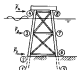


Рис. 6.3. Боковая сторона спирального основания с вложенными нагрузками, действующими на подвижные пояса.

$$\begin{aligned} \tilde{F}_i &= F_{0i}^S \sin(kx_i - \omega t + \psi_i^S) - \rho C_{ek} \hat{v}_{xi} \tilde{A}_i \dot{\tilde{x}}_i - \\ &- \rho(C_{ek} - 1) \tilde{V}_i \ddot{\tilde{x}}_i, \end{aligned} \quad (6.14)$$

где

$$\tan \psi_i^S = \frac{F_{0i} \sin \psi_i + F_{ei} \sin(\psi_i + kL_i)}{F_{0i} \cos \psi_i + F_{ei} \cos(\psi_i + kL_i)}; \quad (6.15)$$

$$F_{0i}^S = \frac{F_{0i} \cos \psi_i + F_{ei} \cos(\psi_i + kL_i)}{\cos \psi_i^S}. \quad (6.16)$$

Помимо вложенных нагрузок на каждый пояс системы будут действовать инерционные силы, связанные с ускорением масс этого пояса. Для определения линий инерционных сил приведем массы элементов, соединяющихся в узле (в том числе вклады от элементов на фронтальной и тыльной сторонах сооружения), с соответствующими в самых узлах, причем в узлах i и j определяются также и массы от вертикальных стрелочных сооружений. Суммарные массы \tilde{m} пояса $i-j$ состоят из соответствующих масс в узлах i и j , а инерционная сила, действующая на этот пояс, равна $-\tilde{m}\ddot{\tilde{x}}$ (точки над переменной означают производные по времени).

Наконец, чтобы приближенно учесть силы сопротивления, как спереди внутреннего трения в системе, представим их для пояса $i-j$ в виде $-C_i \dot{\tilde{x}}$, где C_i — коэффициент сопротивления.

Сложив вместе полученные результаты, получим выражение суммарной нагрузки, действующей на пояс $i-j$ системы,

$$\tilde{F}_i^E = \tilde{F}_i - \tilde{m} \ddot{\tilde{x}} - C_i \dot{\tilde{x}}. \quad (6.17)$$

Полагая систему закрепленной за узлы $i-j$, суммарные нагрузки, действующие на три других пояса, можно представить в матричной форме:

$$\begin{Bmatrix} \tilde{F}_2 \\ \tilde{F}_3 \\ \tilde{F}_4 \end{Bmatrix} = \begin{Bmatrix} \tilde{F}_i^E \\ \tilde{F}_j^E \\ \tilde{F}_k^E \end{Bmatrix} - (\tilde{m}) \begin{Bmatrix} \ddot{\tilde{x}} \\ \ddot{\tilde{x}} \\ \ddot{\tilde{x}} \end{Bmatrix} - (\tilde{C}) \begin{Bmatrix} \dot{\tilde{x}} \\ \dot{\tilde{x}} \\ \dot{\tilde{x}} \end{Bmatrix}, \quad (6.18)$$

где

$$\begin{Bmatrix} \tilde{F}_2 \\ \tilde{F}_3 \\ \tilde{F}_4 \end{Bmatrix} = \begin{Bmatrix} \tilde{F}_2^E \\ \tilde{F}_3^E \\ \tilde{F}_4^E \end{Bmatrix}; \quad \begin{Bmatrix} \tilde{F}_i^E \\ \tilde{F}_j^E \\ \tilde{F}_k^E \end{Bmatrix} = \begin{Bmatrix} \tilde{F}_i \\ \tilde{F}_j \\ \tilde{F}_k \end{Bmatrix}; \quad \begin{Bmatrix} \ddot{\tilde{x}} \\ \ddot{\tilde{x}} \\ \ddot{\tilde{x}} \end{Bmatrix} = \begin{Bmatrix} \ddot{x}_2 \\ \ddot{x}_3 \\ \ddot{x}_4 \end{Bmatrix}; \quad \begin{Bmatrix} \dot{\tilde{x}} \\ \dot{\tilde{x}} \\ \dot{\tilde{x}} \end{Bmatrix} = \begin{Bmatrix} \dot{x}_2 \\ \dot{x}_3 \\ \dot{x}_4 \end{Bmatrix};$$

$$\begin{Bmatrix} \tilde{m} \\ \tilde{C} \end{Bmatrix} = \begin{Bmatrix} \tilde{m}_2 & 0 & 0 \\ 0 & \tilde{m}_3 & 0 \\ 0 & 0 & \tilde{m}_4 \end{Bmatrix}; \quad \begin{Bmatrix} \tilde{C} \\ \tilde{C}_1 \\ \tilde{C}_2 \\ \tilde{C}_3 \\ \tilde{C}_4 \end{Bmatrix} = \begin{Bmatrix} \tilde{C}_1 & 0 & 0 \\ 0 & \tilde{C}_2 & 0 \\ 0 & 0 & \tilde{C}_4 \end{Bmatrix},$$

а $\begin{Bmatrix} \tilde{x} \\ \tilde{x} \end{Bmatrix}$ и $\begin{Bmatrix} \tilde{x} \\ \tilde{x} \end{Bmatrix}$ формируются из первых и вторых соответственно производных от компонент вектора $\begin{Bmatrix} x \\ x \end{Bmatrix}$.

Полученные выше силы можно связать с горизонтальными перемещениями \bar{u}_2 , \bar{u}_3 , \bar{u}_4 поясов 2–6, 3–7 и 4–8, используя методы, изложенные в главе 2. Как и в статических расчетах, показанных в главе 4, действующие в зеркале в группах сил заменяются эквивалентными в виде сток, которые записаны вышеуказанным и имеют жесткостные характеристики на уровне поверхности грунта, отвечающие действительным связям.

В частности, если будет сформирована матрическая уравнение, связывающее силы и перемещения в узлах 2, 3, 4 и 6, 7, 8 стороны сооружения, изображенной на рис. 6.3, то можно определить осредненные перемещения \bar{u}_2 , \bar{u}_3 и \bar{u}_4 , которые являются суммами горизонтальных силами $F_2 + F_3$, $F_3 + F_4$, $F_4 + F_6$, приложенных к рассматриваемой стороне сооружения. Этую связь можно представить в виде

$$\bar{u} = [K]^{-1} \begin{bmatrix} \bar{F}^E \end{bmatrix}. \quad (6.19)$$

Первый столбец матрицы $[K]^{-1}$ получается при условии, что $F_2 = F_4 = 0,5$, т. е. $F_2^E = 1$, а все остальные узловые усилия равны нулю. Определенные при этом условии осредненные перемещения поясов 2–6, 3–7 и 4–8 составят первый столбец матрицы $[K]^{-1}$. Аналогично получаются оставшиеся два столбца матрицы. Образовав полученный таким образом матрицу $[K]^{-1}$ находим матрицу жесткости, связывающую горизонтальные силы и перемещения боковой стороны сооружения

$$\begin{bmatrix} \bar{F}^E \end{bmatrix} = [K] \begin{bmatrix} u \end{bmatrix}. \quad (6.20)$$

Избавив из формул (6.18) и (6.20) $\begin{bmatrix} \bar{F}^E \end{bmatrix}$ и используя (6.14) при $C_{\text{ск}} = 1$, $C_{\text{ак}} = 2$, получим уравнение движения системы в виде

$$[m^E] \begin{bmatrix} \ddot{u} \end{bmatrix} + [C^E] \begin{bmatrix} \dot{u} \end{bmatrix} + [K] \begin{bmatrix} u \end{bmatrix} = \begin{bmatrix} F^E \end{bmatrix}, \quad (6.21)$$

где

$$[m^E] = \begin{bmatrix} m_2 + \rho \tilde{V}_1 & 0 & 0 \\ 0 & \tilde{m}_3 + \rho \tilde{V}_2 & 0 \\ 0 & 0 & m_4 + \rho \tilde{V}_4 \end{bmatrix}; \quad (6.22)$$

$$[C^E] = \begin{bmatrix} \tilde{C}_1 + \rho \tilde{A}_1 \tilde{F}_{22} & 0 & 0 \\ 0 & \tilde{C}_3 + \rho \tilde{A}_3 \tilde{F}_{33} & 0 \\ 0 & 0 & \tilde{C}_4 + \rho \tilde{A}_4 \tilde{F}_{44} \end{bmatrix}; \quad (6.23)$$

$$\begin{bmatrix} F^E \end{bmatrix} = \begin{bmatrix} \tilde{F}_{22} \sin(\bar{k}x_2 - \omega t + \psi_1^E) \\ \tilde{F}_{33} \sin(\bar{k}x_3 - \omega t + \psi_2^E) \\ \tilde{F}_{44} \sin(\bar{k}x_4 - \omega t + \psi_3^E) \end{bmatrix}. \quad (6.24)$$

Так как точки над переменными \bar{u}_2 , \bar{u}_3 и \bar{u}_4 обозначают здесь производные по времени, матрическое векторное уравнение (6.21) можно представить как три скалярных дифференциальных уравнения, из решения которых находятся горизонтальные перемещения сооружения, изображенного

на рис. 6.3, на уровнях 2–6, 3–7 и 4–8. Замечая, что матрица жесткости $[K]$ обычно содержит ненулевые побочные коэффициенты, можно сделать вывод о взаимосвязи уравнений, т. е. дифференциальных уравнений, например, для \bar{u}_2 содержат не только \bar{u}_2 , но и \bar{u}_3 и \bar{u}_4 .

Кроме того, отметим, что однотипные коэффициенты сопротивления \tilde{C}_1 , \tilde{C}_3 и \tilde{C}_4 , входящие в матрицу $[C^E]$, обычно известны, поэтому, чтобы избежать установления каждого коэффициента в отдельности, используется спаривание. Рассмотрим жесткое здание, при котором постоянны таковы, что $[C^E]$ пропорционально $[m^E]$ или $[K]$, либо является их линейной комбинацией. В нашем случае матрица $[C^E]$ диагональная, и будем полагать, что ее диагональные элементы, т. е. \tilde{C}_1 , \tilde{C}_3 и \tilde{C}_4 , пропорциональны соответствующим диагональным элементам матрицы $[m^E]$. Это можно записать в виде

$$[C^E] = 2s \begin{bmatrix} m^E \end{bmatrix}, \quad (6.25)$$

где s обозначает единственный коэффициент, который должен быть задан — постоянную загрузки.

Пример 6.2–1. Определим матрицу волновых нагрузок, действующих на пояса 2–6, 3–7 и 4–8 сооружения, показанного на рис. 6.4, если расчетная волна имеет высоту 12 м и длину 180 м. Все четыре стороны сооружения одинаковы, вертикальные элементы имеют внешний диаметр 1,22 м, внутренний 1,14 м; горизонтальные и наклонные элементы имеют внешний диаметр 0,61 м и внутренний диаметр 0,58 м. Значения амплитуды F_A и углов сдвига фаз величинных нагрузок, действующих на отдельные узлы и подсчитанных по формулам параграфа 6.1, сведены в табл. 6.1.

Компоненты матрицы $\begin{bmatrix} F^E \end{bmatrix}$ соответствуют первому слагаемому в выражении (6.14), т. е. $F_j^E = F_A^j \sin(\omega t - \omega t + \psi_j^E)$, где ψ_j^E и F_A^j определяются по (6.15) и (6.16). Отсчитав координату x от опорной колонны 2–3–4, будем иметь $x_1 = x_2 = x_3 = 0$ и на основании данных табл. 6.1 получим

$$\begin{bmatrix} F^E \end{bmatrix} = \begin{bmatrix} 44,9 \sin(-\omega t + 1,07) \\ 208,6 \sin(-\omega t + 1,40) \\ -362,5 \sin(-\omega t - 1,28) \end{bmatrix}.$$

Пример 6.2–2. Вновь рассмотрим сооружение из предыдущего примера и построим матрицу m^E , связанную с динамической реакцией поясов 2–6, 3–7 и 4–8. Вес первого строения положим равным 6,5 МН.

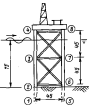


Рис. 6.4. К примеру 6.2–1.

Таблица 6.1. Составление волокнистых нагрузок на узлы

Узлы	A_f , м 2	V_f , м 3	γ_f , м	F_f , мс	x_{Mf} , м/с	F_{Mf} , кН	a_f , раз.
2; 6	75,44	49,35	0	5318	6,399	21,7	0,281
3; 7	116,4	78,13	45	1300	1,103	147,6	0,618
4; 8	49,97	28,57	75	3,560	2,993	256,3	1,081

Неизвестные диагональные компоненты матриц m_1^2 , m_2^2 и m_3^2 матрицы масс выражаются согласно (6.22) через сопротивления массы \tilde{m}_2 , \tilde{m}_3 , \tilde{m}_4 и приведенные объемы \tilde{V}_2 , \tilde{V}_3 , \tilde{V}_4 из трех уровнях:

$$m_1^2 = \tilde{m}_2 + \rho \tilde{V}_2; \quad m_2^2 = \tilde{m}_3 + \rho \tilde{V}_3; \quad m_3^2 = \tilde{m}_4 + \rho \tilde{V}_4,$$

где ρ – плотность воды.

Для подсчета приведенных масс определим скважину массы вертикальных, горизонтальных и наклонных элементов. Для элементов, выполненных из стали, плотность равна 7,75 т/м 3 . Нижние элементы заполнены водой полностью, а верхне – до уровня спокойной воды. Результаты подсчета масс отдельных элементов сведены в табл. 6.2.

Чтобы определить массу \tilde{m}_2 , надо найти полусумму масс всех элементов, соединяющихся в узлах 2 и 6. Для элементов на боковой стороне, соединяющихся в узле 2, получим $0,5 \cdot 90,9 + 0,5 \cdot 21,0 + 0,5 \cdot 29,8 = 70,0$ т.

Для элементов фронтальной стороны: $0,5 \cdot 21,0 + 0,5 \cdot 29,8 = 25,4$ т.

Отсюда, сопротивления в узле 2 массы (если не принимать во внимание погоду от погруженной в грунт скважин) равны 95,4 т. Такая же масса сопротивления в узле 6, следовательно, $m_2 = 2 \cdot 95,4 = 190,8$ т.

Аналогичным образом для узлов 3 и 7 найдем $m_3 = 2 \cdot 161,1 = 322,2$ т.

И аналогично, рассмотрев узлы 4 и 8, найдем что сопротивления в них массы элементов в сумме равны 146,5 т. К этой массе необходимо добавить половину общей массы верхнего строения, т. е.

$$\frac{1}{2} \cdot \frac{6,5 \cdot 10^3}{9,81} =$$

= 331,3 т. Таким образом,

$$\tilde{m}_4 = 146,5 + 331,3 = 477,8 \text{ т.}$$

Далее подсчитаем приведенные объемы элементов для каждого из трех поясов сооружения. Они равны сумме объемов, соответствующих каждому отдельному узлу пояса. По результатам, полученным в примере 6.2–1,

$$\tilde{V}_2 = V_2 + V_6 = 95,10 \text{ м}^3;$$

$$\tilde{V}_3 = V_3 + V_7 = 156,26 \text{ м}^3;$$

$$\tilde{V}_4 = V_4 + V_8 = 57,15 \text{ м}^3,$$

Таблица 6.2. Массы отдельных элементов сооружения в узлах

Элемент	Местоположение элемента	
	внутрь	внешт
Вертикальный	98,9	82,1
Горизонтальный	35,0	8,4
Наклонный	29,8	23,8

Таблица 6.3. Данные к построению матрицы жесткости системы

F_{11}^X , кН	F_{21}^X , кН	F_{31}^X , кН	u_1 , мм	u_2 , мм	u_3 , мм
1	0	0	0,2058	0,2000	0,2091
0	1	0	0,2090	0,2186	0,2332
0	0	1	0,2091	0,2351	0,2573

Согласно полученные выше результаты, находим

$$m_1^2 = 190,8 + 1,025 \cdot 99,10 = 292,4 \text{ т};$$

$$m_2^2 = 322,2 + 1,025 \cdot 156,26 = 482,4 \text{ т};$$

$$m_3^2 = 477,8 + 1,025 \cdot 57,14 = 536,4 \text{ т.}$$

Остается матрица масс (в тоннах)

$$[m^2] = \begin{bmatrix} 292,4 & 0 & 0 \\ 0 & 482,4 & 0 \\ 0 & 0 & 536,4 \end{bmatrix}.$$

Пример 6.2–3. По результатам статических расчетов сооружения, (пример 6.2–1), проведенных для единичных нагрузок $F_1^X = F_2^X + F_4^X$ и других, получены средние значения горизонтальных перемещений u_1 , u_2 и u_3 поясов 2–6, 3–7 и 4–8, которые представлена в табл. 6.3. По этим данным требуется построить матрицу жесткости $[K]$, используемую для определения линейческих перемещений трех поясов сооружения.

Соотношения между перемещениями и загружениями предстает в виде

$$\begin{cases} u_1 \\ u_2 \\ u_3 \end{cases} = 10^{-3} \begin{bmatrix} 0,2058 & 0,2090 & 0,2091 \\ 0,2090 & 0,2286 & 0,2332 \\ 0,2091 & 0,2332 & 0,2573 \end{bmatrix} \begin{cases} F_1^X \\ F_2^X \\ F_4^X \end{cases}.$$

Образная это матрическое уравнение, находим матрицу жесткости в единицах на метр, связывающую нагрузки F_1^X , F_2^X и F_4^X с перемещениями u_1 , u_2 и u_3 :

$$[K] = \begin{bmatrix} 71,10 & -79,86 & 14,60 \\ -79,86 & 147,0 & -68,47 \\ 14,60 & -68,47 & 54,02 \end{bmatrix}.$$

6.3. Разложение по формам собственных колебаний

Матрическое уравнение (6.21) выведено для случая, когда сооружение может быть представлено системой с тремя подвижными поясами. В общем случае, когда число таких поясов равно k , выполнение сказанных выше процедур приведет к аналогичному матричному уравнению, в котором матрицы $[m^2]$, $[u]$ и другие имеют просто большие

размеры соответствованию числу дополнительных полос. Таким образом, матричное уравнение, отражающее перемещения системы в приведении, что демонстрирует может быть записано выражением (6.25), записано в виде

$$[\omega^2] \{ \ddot{u} \} + 2\omega [\omega^2] \{ \dot{u} \} + [K] \{ u \} = \{ F^* \}. \quad (6.26)$$

Для решения системы дифференциальных уравнений, представленной в форме последнего матричного уравнения, можно прибегнуть к разложению по формам собственных колебаний, которое позволяет получить систему не связанных между собой уравнений, решаемых независимо друг от друга, причем положение вместе с результатами решения этих уравнений дает решение первоначальной системы связанных уравнений. В качестве иллюстрации снова ограничимся случаем, когда уравнение (6.26) относится к системе, имеющей только три постоянных полос.

Для начала рассмотрим частный вид уравнения (6.26), определяющего взаимодействие свободных колебаний системы,

$$[\omega^2] \{ \ddot{u} \} + [K] \{ u \} = 0. \quad (6.27)$$

Это матричное векторное уравнение включает три скалярных уравнения, решения которых можно представить в виде

$$\{ \ddot{u} \} = \{ u_0 \} \sin \omega t, \quad (6.28)$$

где $\{ u_0 \}$ — матрица-столбец, состоящая из компонент u_{01} , u_{02} , u_{03} . Подставив такое решение в уравнение (6.27), найдем

$$-\omega^2 [\omega^2] \{ u_0 \} + [K] \{ u_0 \} = 0. \quad (6.29)$$

Это матричное уравнение представляет собой систему из трех однородных алгебраических уравнений относительно перемещений u_{01} , u_{02} и u_{03} :

$$\begin{aligned} (k_{11} - m_1^2 \omega^2) u_{01} + k_{12} u_{02} + k_{14} u_{04} &= 0; \\ k_{33} u_{03} + (k_{33} - m_3^2 \omega^2) u_{03} + k_{34} u_{04} &= 0; \\ k_{42} u_{02} + k_{43} u_{03} + (k_{44} - m_4^2 \omega^2) u_{04} &= 0. \end{aligned} \quad (6.30)$$

Для существования непустого решения этой системы необходимо, чтобы определитель из коэффициентов перед неизвестными u_{01} , u_{03} , u_{04} был равен нулю. Раскрытия определителя по правилу Крамера, получаем кубическое уравнение относительно ω^2 с корнями λ_1 , λ_3 и λ_4 , таким что

$$\lambda_1 = \omega_1^2; \quad \lambda_2 = \omega_2^2; \quad \lambda_3 = \omega_3^2, \quad (6.31)$$

причем $\lambda_1 \leq \lambda_2 \leq \lambda_3$. Соответствующие им положительные значения ω_1 , ω_2 и ω_3 являются круговыми частотами так называемых первой, второй

и третьей форм колебаний системы. Для получения любого из этих решений можно использовать любые два из трех уравнений, что позволяет найти отношения u_{01}/u_{04} , u_{03}/u_{04} . Полагая $u_{04} = 1$, можно u_{02} , u_{03} , соответствующие каждому из полученных корней λ . Они определяют формы колебаний, соответствующие корням λ_1 , λ_3 и λ_4 .

Используя выражение (6.27) и симметричность матриц $[\omega^2]$ и $[K]$, можно получить соотношения между формами свободных колебаний, отвечающих $\lambda = \lambda_2$ и $\lambda = \lambda_3$:

$$\left. \begin{aligned} \{ u_0(\lambda_2) \}^\top [\omega^2] \{ u_0(\lambda_2) \} &= 0; \\ \{ u_0(\lambda_3) \}^\top [K] \{ u_0(\lambda_3) \} &= 0, \end{aligned} \right\} \quad (6.32)$$

при этом $\lambda_2 \neq \lambda_3$.

Составим матрицу относительных перемещений, соответствующих формам колебаний,

$$\{ P \} = \begin{bmatrix} u_{02}(\lambda_1) & u_{02}(\lambda_3) & u_{02}(\lambda_4) \\ u_{03}(\lambda_1) & u_{03}(\lambda_3) & u_{03}(\lambda_4) \\ u_{04}(\lambda_1) & u_{04}(\lambda_3) & u_{04}(\lambda_4) \end{bmatrix}, \quad (6.33)$$

тогда согласно (6.32)

$$\left. \begin{aligned} \{ P \}^\top [\omega^2] \{ P \} &= [\omega^2]; \\ \{ P \}^\top [K] \{ P \} &= [K'], \end{aligned} \right\} \quad (6.34)$$

где $[\omega^2]$ и $[K']$ — диагональные матрицы, причем

$$[K'] = [\omega^2] \{ \lambda \}. \quad (6.35)$$

Здесь $\{ \lambda \}$ является диагональной матрицей, у которой диагональные компоненты равны λ_1 , λ_3 , λ_4 .

Использовав матрицу $\{ P \}$, введем новые переменные, составляющие матрицу $\{ Y \}$, так чтобы

$$\{ Y \} = \{ P \}^{-1} \{ x \}; \quad \{ x \} = \{ P \} \{ y \}. \quad (6.36)$$

Матрица $\{ Y \}$ представляет собой столбец из компонент Y_1 , Y_2 и Y_3 . Подставив последнее равенство в (6.26), найдем

$$[\omega^2] \{ P \} \{ \ddot{Y} \} + 2\omega [\omega^2] \{ P \} \{ \dot{Y} \} + [K] \{ P \} \{ Y \} = \{ F^* \}.$$

Умножая обе части этого уравнения слева на $\{ P \}^\top$ и используя обозначения (6.34), будем иметь

$$[\omega^2] \{ \ddot{Y} \} + 2\omega [\omega^2] \{ \dot{Y} \} + [K'] \{ Y \} = \{ F^* \}. \quad (6.37)$$

Поскольку матрицы $[m^2] \times [K']$ диагональные, то, как нетрудно убедиться, последнее матричное уравнение представляет собой три независимых между собой уравнения:

$$\left. \begin{aligned} m_1' Y_1 + 2m_1' \ddot{Y}_1 + k_{11}' Y_1 &= F_1'; \\ m_2' \ddot{Y}_2 + 2m_2' \ddot{Y}_2 + k_{22}' Y_2 &= F_2'; \\ m_3' \ddot{Y}_3 + 2m_3' \ddot{Y}_3 + k_{33}' Y_3 &= F_3'. \end{aligned} \right\} \quad (6.38)$$

где $m_1', k_{11}', F_1', \dots$ обозначают компоненты матриц $[m^2]$, $[K']$ и $\{F'\}^T$, $\{F''\}$. Используя выражение (6.35), последние уравнения можно записать также:

$$\left. \begin{aligned} \ddot{Y}_1 + 2e\ddot{Y}_1 + \lambda_1 Y_1 &= F_1'/m_1'; \\ \ddot{Y}_2 + 2e\ddot{Y}_2 + \lambda_2 Y_2 &= F_2'/m_2'; \\ \ddot{Y}_3 + 2e\ddot{Y}_3 + \lambda_3 Y_3 &= F_3'/m_3'. \end{aligned} \right\} \quad (6.39)$$

Компоненты F_1' , F_2' и F_3' являются известными функциями времени, связанными с волновыми параметрами как $\{F'\}^T$, $\{F''\}$. Выполнив последнюю операцию и используя формулы для тригонометрических функций суммы углов, получим выражения для составляющих сил:

$$\left. \begin{aligned} F_1' &= F_{01} \sin(-\omega t + \varphi_1'); \\ F_2' &= F_{02} \sin(-\omega t + \varphi_2'); \\ F_3' &= F_{03} \sin(-\omega t + \varphi_3'). \end{aligned} \right\} \quad (6.40)$$

и установившееся решение для Y_1 , Y_2 , Y_3 в форме

$$\left. \begin{aligned} Y_1 &= Y_{01} \sin(-\omega t + \varphi_1' + \varphi_1''); \\ Y_2 &= Y_{02} \sin(-\omega t + \varphi_2' + \varphi_2''); \\ Y_3 &= Y_{03} \sin(-\omega t + \varphi_3' + \varphi_3''). \end{aligned} \right\} \quad (6.41)$$

так $\varphi_1'', \varphi_2'', \varphi_3''$ в Y_{01} , Y_{02} , Y_{03} получается из формулы

$$\operatorname{tg} \varphi_n'' = \frac{2\omega_0}{\lambda_n - \omega^2}; \quad (6.42)$$

$$Y_{0n} = \frac{F_{0n}/m_n'}{(\lambda_n - \omega^2) \cos \varphi_n' + 2\omega_0 \sin \varphi_n'} \quad (6.43)$$

при $n = 1, 2, 3$, соответственно.

По найденным значениям Y_1 , Y_2 и Y_3 с помощью второго равенства (6.38) определяются перемещения u_1 , u_2 и u_3 :

$$\left. \begin{aligned} u_2 &= u_{02}(\lambda_2) Y_1 + u_{02}(\lambda_2) Y_2 + u_{02}(\lambda_2) Y_3; \\ u_3 &= u_{03}(\lambda_3) Y_1 + u_{03}(\lambda_3) Y_2 + u_{03}(\lambda_3) Y_3; \\ u_4 &= u_{04}(\lambda_4) Y_1 + u_{04}(\lambda_4) Y_2 + u_{04}(\lambda_4) Y_3. \end{aligned} \right\} \quad (6.44)$$

Последние уравнения показывают, что решения для динамических относений на каждом уровне сооружения могут рассматриваться как линейная сумма решений Y_1 , Y_2 , Y_3 , причем в качестве веса используются собственные формы $u_{02}(\lambda_2)$, $u_{03}(\lambda_3)$ и т. д. Использование относительного вклада в значение перемещений от каждой одиночной формы колебаний показывает, что, как правило, наиболее существенную роль играет первая форма колебаний, и достаточно хорошее представление о перемещениях можно получить, даже пренебрегая колебаниями второй и третьей форм, что позволяет упростить выражения (6.44) до вида

$$\left. \begin{aligned} u_2 &= u_{02}(\lambda_2) Y_1; \\ u_3 &= u_{03}(\lambda_3) Y_1; \\ u_4 &= u_{04}(\lambda_4) Y_1. \end{aligned} \right\} \quad (6.45)$$

Безусловно, еще лучшее приближение к точному решению можно получить, рассматривая только две первые формы колебаний и пренебрегая третьей.

В рассматриваемой здесь в качестве иллюстрации системе возбуждаются только три формы колебаний, поскольку в ее расчетной схеме есть лишь три подвижных якоря. В более общем случае, когда число якорей равно k , процедура расчета аналогична изложенной здесь, но число форм колебаний увеличивается до k . В большинстве случаев спрятаны выходы о вполне различных формах колебаний, и достаточно хорошее представление о перемещениях можно получить, рассматривая только первые две или три формы колебаний.

Частота (отвечающая первой форме колебаний) частота ω_1 представляет собой основную частоту колебаний сооружения и приближенно соответствует собственной частоте δ , найденной по упрощенной схеме в параграфе 4.10. Добавим к ранее данным представлениям, что коэффициент демпфирования ζ может приниматься как определенная доли от основной круговой частоты ω_1 обычно в пределах от 0,05 до 0,10, т. е. от 5 до 10 % критического демпфирования основной формы колебаний.

Пример 6.3-1. Определим горизонтальные перемещения трех якорей основания буровой платформы, изображенного на рис. 6.5. Исходные данные для расчета:

матрица приведенных масс в тоннах

$$[m^2] = \begin{bmatrix} 437,7 & 0 & 0 \\ 0 & 729,5 & 0 \\ 0 & 0 & 875,4 \end{bmatrix};$$

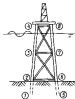


Рис. 6.1. К примеру 6.1–1.

матрица жесткости

$$[K] = 10^4 \begin{bmatrix} 146 & -146 & -29,2 \\ -146 & 292 & -116,8 \\ -29,2 & -116,8 & 87,6 \end{bmatrix}, \text{kH/m}.$$

матрица волновых нагрузок

$$\{F^*\} = \begin{Bmatrix} 0 \\ 38,9\omega_1 - \omega t + 1,0 \\ 266,9(-\omega t + 1,5) \end{Bmatrix}, \text{kH}$$

и круговая частота волны $\omega = 0,785 \text{ рад/c.}$

Сначала с помощью выражения (6.30) определим частоты собственных колебаний системы. Обозначим $\lambda = \omega^2$ и приведем к краю определитель из коэффициентов при m_{11} , m_{22} и m_{33} (при этом $m_1^2 = 437,7 \text{ кг}$, $k_{11} = 146 \text{ кН/m}$ и т.д.), получим следующее кубическое уравнение: $\lambda^3 - 83,3\lambda^2 + 1164\lambda - 2222 = 0$. Корни этого уравнения: $\lambda_1 = 2,27$; $\lambda_2 = 14,8$; $\lambda_3 = 66,2$ позволяют определить круговые частоты колебаний $\omega_1 = \sqrt{\lambda_1}$ и т.д.: $\omega_1 = 1,51 \text{ рад/c.}$; $\omega_2 = 3,85 \text{ рад/c.}$; $\omega_3 = 8,14 \text{ радиан/с.}$

Далее определим формы колебаний для каждого λ , используя любые два из трех уравнений (6.30). Результаты расчетов сведены в табл. 6.4. Полученные результаты дают возможность сформировать матрицу $[P]$ (6.33) в численном виде:

$$[P] = \begin{bmatrix} 0,559 & -1,832 & 3,530 \\ 0,720 & -0,819 & -3,293 \\ 1,000 & 1,000 & 1,000 \end{bmatrix}.$$

Теперь можно установить элементы матриц масс $[m']$ и упругих $\{F'\}$ по выражениям

$$[m'] = [P]^T [m^*] [P];$$

$$\{F'\} = [P]^T \{F^*\}.$$

Выполним операции умножения матриц, найдем $m'_1 = 1390 \text{ кг}$, $m'_2 = 2830 \text{ кг}$, $m'_3 = 14240 \text{ кг}$ в единицах тонн

$$F'_1 = 64,05 \sin(-\omega t + 1) + 266,9 \sin(-\omega t + 1,5);$$

$$F'_2 = -72,95 \sin(-\omega t + 1) + 266,9 \sin(-\omega t + 1,5);$$

$$F'_3 = -293,1 \sin(-\omega t + 1) + 266,9 \sin(-\omega t + 1,5).$$

Из тригонометрии имеем тождество

$$\text{Asin}(\pi + \beta) + \text{Bsin}(\pi + \gamma) = \text{Csin}(\alpha + \beta),$$

Таблица 6.4. Формы колебаний

λ	m_{11}	m_{22}	m_{33}
2,27	0,559	0,720	1,00
14,8	-1,832	-0,819	1,00
66,3	3,530	-3,293	1,00

т.е.

$$\text{tg } \beta = \frac{\text{Asin } \pi + \text{Bsin } \eta}{\text{Acos } \pi + \text{Bcos } \eta};$$

$$C = \frac{\text{Acos } \pi + \text{Bcos } \eta}{\text{cos } \beta}.$$

Используя эти тождества, запишем выражения для F'_1 , F'_2 и F'_3 более компактно:

$$F'_1 = F'_{11} \sin(-\omega t + 1,41);$$

$$F'_2 = F'_{21} \sin(-\omega t + 1,47);$$

$$F'_3 = F'_{31} \sin(-\omega t - 0,14),$$

$$\text{где } F'_{11} = 324,7 \text{ кН}, F'_{21} = -205,5 \text{ кН}, F'_{31} = -140,6 \text{ кН}.$$

Подставляя найденные здесь компоненты матриц масс и упругих в выражения (6.41)–(6.43) и полагая $\epsilon = 0,06\omega_1 = 0,121$, получим выражения переменных Y_1 , Y_2 и Y_3 :

$$Y_1 = Y_{11} \sin(-\omega t + 1,52);$$

$$Y_2 = Y_{21} \sin(-\omega t + 1,46);$$

$$Y_3 = Y_{31} \sin(-\omega t - 0,14),$$

$$\text{где } Y_{11} = 0,140 \text{ м}, Y_{21} = -0,512 \cdot 10^{-3} \text{ м}, Y_{31} = -0,150 \cdot 10^{-3} \text{ м}.$$

И, наконец, выражим через Y_1 , Y_2 и Y_3 перемещения a_1 , a_2 , a_3 полевой системы в соответствии с выражением (6.44). Выразим от Y_3 , очевидно, преобразуем наше, следующим образом,

$$a_2 = 0,559Y_3 - 1,83Y_1;$$

$$a_3 = 0,720Y_3 - 0,819Y_2;$$

$$a_1 = Y_1 + Y_2.$$

Подставив значения Y_1 , Y_2 и Y_3 и использовав приведенные выше тригонометрические тождества, получим в матрицах

$$a_1 = 0,097 \sin(-\omega t + 1,50); \quad a_2 = 0,097 \sin(-\omega t + 1,51);$$

$$a_3 = 0,145 \sin(-\omega t + 1,53).$$

Интересно сравнить максимальное перемещение, полученное равным 0,145 м на основе приведенного здесь динамического расчета, с тем значением, которое соответствует случаю пренебрежения силами инерции и демпфирования. Подставив значения узловых волновых нагрузок $\{F^*\}$ в уравнение (6.26), которое в результате пренебрежения силами инерции и демпфированием получает вид

$$\{x\} = [K]^{-1} \{F^*\},$$

найдем, что максимальное перемещение спорного основания на уровне верхнего строения $a_0 = 0,106$ м. Как видно, учет динамического характера внешнего воздействия дает увеличение перемещения примерно на 35 %.

6.4. Итерационный метод определения форм колебаний

В рассмотренном выше методе решения уравнений динамики сооружений частоты и формы собственных колебаний определялись непосредственно из (6.29) путем приведения к краю определителя, составленного из коэффициентов этого уравнения. Для сооружений, имеющих два или три подвижных пояса, такой способ решения вполне приемлем, поскольку он опирается на выполнение сравнительно небольшого объема алгебраических операций. Однако, у большей части сооружений конструктивного шаблона таких подвижных поясов, а значит частот и форм колебаний, достаточно много. Алгебраический способ определения частот и форм колебаний в этом случае становится трудоемким, а прямые расчеты получают численные и, в частности, итерационные методы.

Рассмотрим для иллюстрации метод системой с k подвижными поясами. Матричное уравнение, с помощью которого могут быть определены частоты и формы колебаний, имеет тот же вид (6.29), при этом под $\{u_0\}$ теперь понимается матрица-столбец с k компонентами, а $\{m^*\}$ и $[K]$ — квадратные матрицы это порядка S . С целью прояснения итераций представим это уравнение в виде

$$\{u_0\} = \omega^2 [K]^{-1} \{m^*\} \{a_0\}. \quad (6.46)$$

Если теперь пренести компоненты матрицы $\{a_0\}$ произвольные значения, причем если последний из них считать единичным, то подставив эти значения в правую часть уравнения (6.46), можно найти новые значения компонент (a доли от ω). Новые значения $\{a_0\}$ могут быть нормализованы путем выражения в качестве множителей последнего элемента $a_{0k}\omega^2$, и эти значения вновь подставляются в (6.46) для определения значений $\{a_0\}$ в k -следующем шаге итерационного процесса. Полученные значения вновь

нормируются соответственно значению последнего компонента $a_{0k}\omega^2$. Если полученная после нормализации матрица $\{a_0\}$ совпадает с использованной в этой итерации, форма колебаний может считаться установленной, а соответствующая ей частота находиться из условия $a_{0k}\omega^2 = 1$. Если совпадение матрицы $\{a_0\}$ не достигнуто, итерационный процесс продолжается до получения стабильности.

Общей характеристикой итерационного процесса подобного типа является стремление решения к значениям, соответствующим наивысшей частоте ω и максимальному оскаровой формой колебаний. Когда это решение получено, необходимо выразить из уравнение (6.46), чтобы получить вторую форму колебаний.

С этой целью воспользуемся первым матричным уравнением (6.32), которое можно записать (в предположении, что на уровне I системы зафиксировано от перемещений) следующим образом:

$$a_{02}(\lambda_I) a_{02}(\lambda_I) m_2^* + a_{03}(\lambda_I) a_{03}(\lambda_I) m_3^* + \dots = 0, \quad \lambda_I \neq \lambda_J, \quad (6.47)$$

где $a_{02}(\lambda_I)$ означает перемещение пояса 2 при свободных колебаниях системы во форме $\lambda_I = \omega_I^2$; $a_{03}(\lambda_I)$ означает то же перемещение при колебаниях системы во форме $\lambda_2 = \omega_2^2$ и т. д. Если теперь принять $\lambda_I = \lambda_2$ и обозначить $m_{02} = a_{02}(\lambda_I)$, $m_{03} = a_{03}(\lambda_I)$, ..., то для системы, имеющей, например, четыре пояса, получим

$$a_{02} = a_{03} m_{02} + a_{04} m_{03} + a_{05} m_{04}, \quad (6.48)$$

где

$$a_2 = -\frac{a_{03}(\lambda_2) m_2^*}{a_{02}(\lambda_2) m_2^*}; \quad a_3 = -\frac{a_{04}(\lambda_2) m_3^*}{a_{02}(\lambda_2) m_2^*}; \quad a_4 = -\frac{a_{05}(\lambda_2) m_4^*}{a_{02}(\lambda_2) m_2^*}.$$

С учетом тождества $a_{02} = a_{03}$, $a_{04} = a_{05}$ и $a_{02} = a_{05}$ можно написать выражение для матрицы $\{u_0\}$, исключив эти компоненты,

$$\{u_0\} = [S] \{u_0\}, \quad (6.49)$$

где

$$[S] = \begin{bmatrix} 0 & a_2 & a_3 & a_4 \\ 0 & 1 & 0 & 0 \\ 0 & 0 & 1 & 0 \\ 0 & 0 & 0 & 1 \end{bmatrix}.$$

Из уравнения (6.47) следует, что если компоненты матрицы $\{u_0\}$ в правой части равенства (6.49) не относятся к первой форме колебаний, она становится просто тождеством. Однако, если компоненты $\{u_0\}$ соответствуют первой форме колебаний, правая часть равенства не будет приводить к тождественным значениям, так как уравнение (6.47) не применимо к случаю $\lambda_I = \lambda_2$.

Представим матричное уравнение (6.46) в виде

$$\{u_0\} = \omega^2 [K]^{-1} [m^2] \{S\} \{u_0\}. \quad (6.50)$$

Тогда итерационный процесс, описанный выше, приводит к нижней форме колебаний, которая в этом случае соответствует уже второй форме. Первая форма колебаний исключена из рассмотрения перемещений $\{u_0\}$ в правой части равенства (6.50). Матрица $[S]$ заменяется матрицей исключений.

После определения второй формы колебаний может быть построена новая матрица $[S]$, исключающая первую и вторую форму колебаний.

Решение матричного уравнения (6.50) с этой новой матрицей $[S]$, воспользовавшись итерационным методом, приводит к определению третьей формы колебаний. Этот процесс может повторяться соответствующее количество раз.

Для построения матрицы $[S]$, исключающей первую и вторую формы, предложим уравнение (6.47) в виде

$$a_{03} = \beta_3 u_{03} + \beta_4 u_{04} + \beta_5 u_{05}, \quad (6.51)$$

где

$$\beta_3 = -\frac{a_{03}(\lambda_2) m_3^2}{a_{02}(\lambda_2) m_3^2}; \quad \beta_4 = -\frac{a_{04}(\lambda_2) m_4^2}{a_{02}(\lambda_2) m_4^2}; \quad \beta_5 = -\frac{a_{05}(\lambda_2) m_5^2}{a_{02}(\lambda_2) m_5^2}.$$

Объединяя последнее уравнение с (6.48), можно выразить u_{03} и u_{05} через u_{04} и u_{06} :

$$u_{03} = T_1 u_{04} + T_2 u_{06};$$

$$u_{05} = T_3 u_{04} + T_4 u_{06},$$

где T_1, T_2 и т. д. – постоянные. В этом случае матрица исключений имеет вид

$$[S] = \begin{bmatrix} 0 & 0 & T_1 & T_2 \\ 0 & 0 & T_3 & T_4 \\ 0 & 0 & 1 & 0 \\ 0 & 0 & 0 & 1 \end{bmatrix}.$$

Уместно отметить, что вычисления, связанные с определением высших форм колебаний, могут проводиться и без помощи матрицы исключений. Это объясняется тем, что уравнение (6.46) после обращения получает вид

$$\{u_0\} = (1/\omega^2) [m^2]^{-1} [K] \{u_0\}. \quad (6.52)$$

Итерационный процесс, применяемый для решения этого уравнения, будет сводиться к наименьшим значениям $1/\omega^2$, т. е. к высшим частотам.

Пример 6.4–1. Определим, применяя итерационный метод, круговые частоты и формы собственных колебаний системы, рассмотренной в примере 6.3–1.

Подставив полученные в примере 6.3–1 матрицы $[K]$ и $[m^2]$ в уравнение (6.46), будем иметь

$$\begin{bmatrix} u_{01} \\ u_{02} \\ u_{03} \\ u_{04} \end{bmatrix} = \omega^2 \begin{bmatrix} 0,084 & 0,110 & 0,120 \\ 0,066 & 0,140 & 0,180 \\ 0,060 & 0,150 & 0,300 \end{bmatrix} \begin{bmatrix} u_{01} \\ u_{02} \\ u_{03} \end{bmatrix}.$$

Полагая единичными значения u_{01}, u_{03} и u_{04} в правой части этого матричного уравнения, получаем

$$\begin{bmatrix} u_{01} \\ u_{02} \\ u_{03} \end{bmatrix} = \omega^2 \begin{bmatrix} 0,084 & 0,110 & 0,120 \\ 0,066 & 0,140 & 0,180 \\ 0,060 & 0,150 & 0,300 \end{bmatrix} \begin{bmatrix} 1 \\ 1 \\ 1 \end{bmatrix} = 0,510\omega^2 \begin{bmatrix} 0,616 \\ 0,757 \\ 1,000 \end{bmatrix}.$$

Повторяя вычисления при новых значениях компонент $\{u_0\}$, найдем

$$\begin{bmatrix} u_{01} \\ u_{02} \\ u_{03} \end{bmatrix} = \omega^2 \begin{bmatrix} 0,084 & 0,110 & 0,120 \\ 0,066 & 0,140 & 0,180 \\ 0,060 & 0,150 & 0,300 \end{bmatrix} \begin{bmatrix} 0,616 \\ 0,757 \\ 1,000 \end{bmatrix} = 0,451\omega^2 \begin{bmatrix} 0,565 \\ 0,725 \\ 1,000 \end{bmatrix}.$$

Повторяя такую операцию еще несколько раз, получим

$$\begin{bmatrix} u_{01} \\ u_{02} \\ u_{03} \end{bmatrix} = \omega^2 \begin{bmatrix} 0,084 & 0,110 & 0,120 \\ 0,066 & 0,140 & 0,180 \\ 0,060 & 0,150 & 0,300 \end{bmatrix} \begin{bmatrix} 0,558 \\ 0,719 \\ 1,000 \end{bmatrix} = 0,441\omega^2 \begin{bmatrix} 0,558 \\ 0,719 \\ 1,000 \end{bmatrix}.$$

Значения величин, полученные в правой части матричного равенства, разы задаются в левой части. Круговая частота, соответствующая первой форме колебаний, находится из условия $0,441\omega^2 = 1$, таким образом, первая форма колебаний описывается следующими параметрами: $\omega_1 = 1,51$ рад/с; $a_{01} = 0,558$; $a_{02} = 0,719$; $a_{03} = 1,000$.

Для вычисления характеристик второй формы колебаний используем матрицу исключений $[S]$, формируемую с помощью выражения (6.48)

$$[S] = \begin{bmatrix} 0 & -2,168 & -3,584 \\ 0 & 1 & 0 \\ 0 & 0 & 1 \end{bmatrix}.$$

Уравнение (6.50) получает такой вид:

$$\begin{bmatrix} u_{01} \\ u_{02} \\ u_{03} \\ u_{04} \end{bmatrix} = \omega^2 \begin{bmatrix} 0 & -0,0704 & -0,1811 \\ 0 & -0,0018 & -0,0565 \\ 0 & 0,0211 & 0,0850 \end{bmatrix} \begin{bmatrix} u_{01} \\ u_{02} \\ u_{03} \end{bmatrix}.$$

Полагая компоненты матрицы $\{u_0\}$ в правой части этого матричного равенства различными единицами, получим

$$\begin{bmatrix} u_{01} \\ u_{02} \\ u_{03} \\ u_{04} \end{bmatrix} = \omega^2 \begin{bmatrix} 0 & -0,0704 & -0,1811 \\ 0 & -0,0018 & -0,0565 \\ 0 & 0,0211 & 0,0850 \end{bmatrix} \begin{bmatrix} 1 \\ 1 \\ 1 \end{bmatrix} = 0,1061\omega^2 \begin{bmatrix} -2,370 \\ -0,549 \\ 1,000 \end{bmatrix}.$$

Проделав такую операцию еще несколько раз, найдем

$$\begin{bmatrix} u_{01} \\ u_{02} \\ u_{03} \\ u_{04} \end{bmatrix} = \omega^2 \begin{bmatrix} 0 & -0,0704 & -0,1811 \\ 0 & -0,0018 & -0,0565 \\ 0 & 0,0211 & 0,0850 \end{bmatrix} \begin{bmatrix} -1,830 \\ -0,809 \\ 1,000 \end{bmatrix} = 0,0680\omega^2 \begin{bmatrix} -1,830 \\ -0,809 \\ 1,000 \end{bmatrix},$$

т. е. $\omega_1 = 3,83$ рад/с; $u_{01} = -1,830$; $u_{02} = -0,809$; $u_{03} = 1,000$.

Наконец, для определения характеристик третьей формы колебаний рассмотрим уравнение (6.48) и (6.51) в форме

$$u_{01} = -2,148u_{03} - 3,584u_{04};$$

$$u_{02} = -0,737u_{03} + 1,093u_{04}.$$

Решив эти уравнения, получим $u_{03} = 3,57u_{04}$; $u_{03} = -3,315u_{04}$. Таким образом, матрица $[S]$ получает вид

$$[S] = \begin{bmatrix} 0 & 0 & 3,57 \\ 0 & 0 & -3,315 \\ 0 & 0 & 1 \end{bmatrix}.$$

Подставив это в уравнение (6.50), найдем

$$\begin{bmatrix} u_{01} \\ u_{02} \\ u_{03} \\ u_{04} \end{bmatrix} = \omega^2 \begin{bmatrix} 0 & 0 & 0,0525 \\ 0 & 0 & -0,0507 \\ 0 & 0 & 0,0150 \end{bmatrix} \begin{bmatrix} u_{01} \\ u_{02} \\ u_{03} \\ u_{04} \end{bmatrix}.$$

Выполню итерации, аналогичные показанным ранее, получим

$$\begin{bmatrix} u_{01} \\ u_{02} \\ u_{03} \\ u_{04} \end{bmatrix} = \omega^2 \begin{bmatrix} 0 & 0 & 0,0525 \\ 0 & 0 & -0,0507 \\ 0 & 0 & 0,0150 \end{bmatrix} \begin{bmatrix} 3,50 \\ -3,38 \\ 1,00 \end{bmatrix} = 0,0150\omega^2 \begin{bmatrix} 3,50 \\ -3,38 \\ 1,00 \end{bmatrix},$$

т. е. $\omega_2 = 8,16$ рад/с; $u_{01} = 3,50$; $u_{02} = -3,38$; $u_{03} = 1,00$.

Как видно, эти результаты согласуются с учетом вспренностей скругления с полученными в примере 6.3–1.

6.5. Расчеты напряжений

После того, как горизонтальные перемещения каждого яруса сооружения определены, они могут быть использованы для нахождения напряжений в каждом отдельном элементе. Для этого сначала требуются

установить вертикальные перемещения и углы поворота концов элементов, связанные с горизонтальными перемещениями. Рассмотрим для примера здание 2–3 сооружения, показанного на рис. 6.3. Обозначим $\{v\}$ матрицу столбец, элементами которой являются вертикальные перемещения v_z и углы поворота θ_z в узле 2 и вертикальное перемещение v_z и угол поворота θ_z в узле 3. Тогда соотношение между этой матрицей и матрицей столбцов $\{F^z\}$, составляющих горизонтальных нагрузок можно записать в виде

$$\{v\} = [D] \{F^z\}, \quad (6.53)$$

где $[D]$ обозначает соответствующую матрицу преобразования.

Однотипные компоненты матрицы $[D]$ могут быть определены из статического расчета системы на горизонтальные узловые усилия. Так, если привести к узлам 2–6 горизонтальные усилия $F_2 = F_4 = 0,5$, т. е. $F_2^z = 1$, и положить равными нулю все остальные силы и моменты, то вертикальные перемещения v_z , θ_z и v_z , θ_z составят первый столбец матрицы $[D]$. Аналогичным образом могут быть получены два других столбца этой матрицы.

Нагрузки $\{F^z\}$ связаны с горизонтальными перемещениями $\{u\}$ посредством матрицы $[K]$ соотношением (6.20), следовательно, связь вертикальных перемещений и углов поворота в узлах с горизонтальными перемещениями может быть представлена в виде

$$\{v\} = [D] [K] \{u\}. \quad (6.54)$$

Вертикальные перемещения и углы поворота концов элемента, соответствующие любому моменту времени, могут быть определены по известным горизонтальным перемещениям u_x , u_y , u_z на основании зависимости (6.54). Далее с помощью матрицы жесткости элемента можно выполнить внутренние усилия, действующие по концам элемента. Затем с помощью формул, приведенных в главе 2, можно подсчитать напряжения в элементах от соответствующих предельных сил и изгибающих моментов.

Определенные по описанной выше методике внутренние усилия, действующие на фундаментную часть сооружения, необходимы не только для подсчета напряжений, но и для определения жесткостных характеристик зданий – свай – защемленных концами стоеч, замковых или заглубленных в грунт свай. Способ определения этих жесткостных характеристик подобен применяемому в статических расчетах (см. главу 4). В частности, найденные максимальные значения внутренних горизонтальных сил и изгибающих моментов, действующих на фундаментную часть сооружения (головы свай), используются для определения жесткостных характеристик свай в соответствии с методикой, изложенной в главе 5. Полученные жесткостные характеристики используются далее для расчета максимальных горизонтальных сил и моментов, действующих на фундаментную часть сооружения. Этот итерационный процесс продолжается до тех пор, пока не будет достигнуто сопostавление между предполагаемыми и полученными

в результате расчета значениями максимальных усилений в моментах, действующих на фундаментную часть сооружения.

Напряжения в элементах, определяемые на основании описываемых здесь методов расчета, обусловлены только ветровой нагрузкой. Тем самым якости нагрузки от ветра, течения и веса полагается преобразованные в сравнении с напряжениями от волновой нагрузки. Для выяснения возможности перенапряжения конструкции вследствие динамических эффектов следует проверять возможными сценарии влияния этих воздействий в напряженное состояние, с тем чтобы либо убедиться в их действительном преобразовании якости, либо обесценить в нагрузку, которая может вызвать перенапряжение.

Награждение от статически присоединенных ветровых нагрузок начиная могут быть снятыми по горизонтальным перемещениям поясов сооружения, определенным с помощью матричного уравнения (6.20), в котором все компоненты суммарной нагрузки, кроме той, что приводится к самому верхнему поясу к вызванной ветровой нагрузкой и штатформу, привращаются в нуль. Считая ветровые нагрузки доминирующими в формировании напряженно-деформированного состояния сооружения, жесткостные характеристики эпизодических сдвигов, необходимые для расчета на ветровые нагрузки, можно принимать одинаковыми с теми, что были установлены в ходе динамического расчета. Но изначально горизонтальными перемещениями поясов сооружения напряжения, обусловленные ветровой нагрузкой, могут быть определены точно так же, как и в случае волновых воздействий.

Аналогичным образом могут быть подсчитаны напряжения от статически приложенных нагрузок, вызванных течением, а предположения ма- лости скорости течения по сравнению со средней скоростью движения воды в выражении (6.11). В этих условиях сдвиги, действующие на узлы различных поясов сооружения, можно определить по первому сплюснутому в правой части выражению (6.3) при замене скорости v_{st} на скорость течения v_t . Суммарные нагрузки в уравнении (6.20) получатся сложением узловых нагрузок, присоединенных к отдельным поясам сооружения.

Вслед за весом и поддержками в напряженное состояние элементов можно снимать методами статического расчета, изложенным в главе 4, приемами для упрощения взаимодействующей поверхности моря за сплошной.

Наконец, следует заметить, что непрочность в определении напряжений при динамическом расчете заключена в упрощении представления волновых и неоднородных сдвигов, как определяемых по поясам сооружения. Для получения более точных результатов в сооружении могут быть образованы дополнительные (фактические) зоны. Если в результате повторного динамического расчета будут получены напряжения, существенно отличающиеся от вычисленных ранее, потребуется последующее увеличение числа расчетных поясов, и так процесс будет продолжаться до тех пор, пока разница в результатах, соответствующих двум последовательным приближениям, не станет преобразованием малой.

Пример 6.5-1. Определим напряжения в сечении 2 элемента 2-3 стального сооружения, показанного на рис. 6.6, обозначенное наиболее в результате динамического расчета перемещением $\psi_2 = 0,15$ м,

$\psi_3 = 0,18$ м и $\psi_4 = 0,30$ м. Матрица жесткости в метрических единицах, которая была использована в динамическом расчете, имеет следующий вид:

$$[K] = \begin{bmatrix} 71,1 & -79,9 & 14,6 \\ -79,9 & 147,0 & -68,5 \\ 14,6 & -68,5 & 54,0 \end{bmatrix}.$$

Элемент 2-3 имеет такие характеристики: радиус $R = 1,22$ м; $I = 0,0246 \text{ м}^4$ и $A = 0,142 \text{ м}^2$. Результаты статического расчета на единичные горизонтальные нагрузки F_2^E , F_3^E и F_4^E позволяют получить значения вертикальных перемещений узлов 2 и 3, которые сведены в табл. 6.5.

Соотношение [выраженное в форме (6.53)] между вертикальными перемещениями и углами поворота узлов 2 и 3 с одной стороны и горизонтальными нагрузками, приложенными к поясам, получает в данном случае следующий вид:

$$\begin{Bmatrix} \psi_2 \\ \psi_3 \\ \psi_4 \end{Bmatrix} = 10^{-3} \begin{bmatrix} 0,240 & 1,590 & 2,960 \\ 9,218 & 9,667 & 9,667 \\ 0,315 & 2,467 & 5,393 \\ -2,518 & -2,248 & -1,978 \end{bmatrix} \begin{Bmatrix} F_2^E \\ F_3^E \\ F_4^E \end{Bmatrix}.$$

Здесь матрица $[D]$ построена по данным табл. 6.5, а узлы F_i^E должны задаваться в метрических единицах. Далее, подставив подчиненную матрицу $[D]$ и заданную выше матрицу $[K]$ в выражение (6.54), получим

$$\begin{Bmatrix} \psi_2 \\ \psi_3 \\ \psi_4 \end{Bmatrix} = 10^{-3} \begin{bmatrix} 0,240 & 1,590 & 2,960 & 71,1 & -79,9 & 14,6 \\ 9,218 & 9,667 & 9,667 & 0 & 0 & 0 \\ 0,315 & 2,467 & 5,393 & -79,9 & 147,0 & -68,5 \\ -2,518 & -2,248 & -1,978 & 14,6 & -68,5 & 54,0 \end{bmatrix} \begin{Bmatrix} \psi_2 \\ \psi_3 \\ \psi_4 \end{Bmatrix},$$

или

$$\begin{Bmatrix} \psi_2 \\ \psi_3 \\ \psi_4 \end{Bmatrix} = 10^{-3} \begin{bmatrix} -66,7 & 11,8 & 54,4 \\ 24,1 & 22,3 & -5,4 \\ -95,9 & -31,9 & 126,8 \\ -28,3 & 6,2 & 10,4 \end{bmatrix} \begin{Bmatrix} \psi_2 \\ \psi_3 \\ \psi_4 \end{Bmatrix}.$$

Таблица 6.5. Перемещения узлов

$F_2^E, \text{МН}$	$F_3^E, \text{МН}$	$F_4^E, \text{МН}$	$\psi_2, \text{мм}$	$\psi_3, 10^3 \text{ рад}$	$\psi_4, \text{мм}$	$\psi_3, 10^3 \text{ рад}$
1	0	0	0,240	9,218	0,315	-2,218
0	1	0	1,590	9,667	2,467	-2,248
0	0	1	2,960	9,667	5,393	-1,978

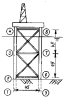


Рис. 6.6. К примеру 6.5-1.

Подставив заданные значения перемещений ν_1 , ν_2 и ν_3 , соответствующих динамическому воздействию, найдем

$$\nu_1 = 8,44 \cdot 10^{-3} \text{ м}; \delta_1 = 6,01 \cdot 10^{-3} \text{ рад};$$

$$\nu_2 = 17,91 \cdot 10^{-3} \text{ м}; \theta_3 = -0,01 \cdot 10^{-3} \text{ рад}.$$

С помощью матрицы жесткости элемента 2–3 определим внутренние усилия, действующие в сечении 2

$$f_{2,3} = \frac{EA}{l} (\nu_1 - \nu_3) = -6,23 \text{ МН};$$

$$m_2 = \frac{6EI}{l^2} (\nu_1 - \nu_3) + \frac{2EI}{l} (\Omega_1 - \theta_3) = 2,30 \text{ МН} \cdot \text{м}.$$

Найденное значение усилия $f_{2,3}$ соответствует по направлению растяжению элемента 2–3; таким образом, напряжение от продольной силы $\sigma_N = f_{2,3}/A = 44,18 \text{ МПа}$.

Напряжение от изгибающего момента (на аксиальной поверхности элемента):

$$\sigma_M = \pm m_2 R/l = \pm 57,03 \text{ МПа}.$$

6.6. Динамическая реакция на нерегулярные волны

Изложенный выше динамический расчет сооружения классических случаев, когда волнистое воздействие упрощено представлением синусоидальными волнами, если этот расчет указывает на существенное влияние динамического характера воздействия, то вопрос о точности предпринятого расчетного моделирования приобретает особое значение, поскольку коэффициент динамичности очень чувствителен к точности задания расчетных характеристик волнистого состояния в нетто нерегулярные волны. В этих условиях следует продолжать динамический расчет, включая в него нерегулярные (случайные) волны, которые лучше отражают состояние изомерности моря в нормальных условиях.

В расчетах сооружений нерегулярные волны представляются в виде бесконечной суммы волн, различных по амплитудам и случайных по фазе, движущихся в одном и том же направлении x . Отношение к волновому параметру волны от скажемого уровня выражается в таком случае следующим образом:

$$\eta = \sum_n A_n \cos(k_n x - \omega_n t + \epsilon_n), \quad (6.55)$$

где A_n , k_n , ω_n и ϵ_n обозначают соответственно амплитуду (разную для разных видов волн), волновую частоту, круговую частоту и фазу n -й волны. Волновое число k и круговая частота волны связаны между собой соотношением

$$\omega_n = g k_n \sinh k_n h, \quad (6.56)$$

где g – ускорение свободного падения; h – глубина воды.

Узлы фаз ϵ_n полагаются распределенными равномерно в интервале от 0 до 2π , т. е. так, что значение любого ее значения равномерно. Амплитуда A_n , связанные с частотой волны, в малом интервале $\Delta\omega$ имеют значения ω_n в дальнейшем принимаются соответствующей выражению

$$0,5A_n^2 = S_n d\omega, \quad (6.57)$$

в котором S_n зависит от частоты и выступает как амплитудный или энергетический спектр.

Этот спектр определяется на основании наблюдений и измерений параметров волн. Наиболее распространены на практике в настоящие времена являются спектры Бретцнейдера [3], Лирсона и Москвитина [33], выраженные в форме

$$S_n = (A/\omega^4) \exp(-B\omega^{-4}), \quad (6.58)$$

в котором A и B – параметры спектра. Согласно Бретцнейдеру

$$A = 1,819 B_j^2 (2\pi/T_s)^4; \quad B = 0,675 (2\pi/T_s)^4, \quad (6.59)$$

где B_j – выход звуковых волн (в метрах), равная среднему значению высот одних из наиболее крупных волн; T_s – соответствующий период звуковых волн, с. Параметры звуковых волн (высота и период) могут быть приблизенно сведены со средними значениями высоты H и периода T : $B_j = 1,6H$; $T_s = 1,1T$.

На рис. 6.7 показаны спектры Бретцнейдера, соответствующие различным периодам и одинаковым высотам звуковых волн.

Горизонтальные составляющие скорости и ускорения воды, соответствующие каждому спектру в выражении (6.55), могут быть определены на основании теории Эри. Полагая движение всех волн происходящим в одном направлении, можно получить следующими формулами для горизонтальных составляющих скорости v и ускорения a в направлении движения волн, соответствующие отстоящему от поверхности морского dna уровню z :

$$v_x = \sum_n A_n \cos(k_n x - \omega_n t + \epsilon_n); \quad (6.60)$$

$$a_x = \sum_n A_n \sin(k_n x - \omega_n t + \epsilon_n). \quad (6.61)$$

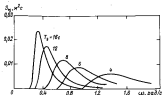


Рис. 6.7. Спектры Брэгга для линейных волн единичной высоты.

также

$$T_F = \omega_0 \frac{\sin k_0 F}{\sin k_F F}; \quad T_B = -\omega_0^2 \frac{\sin k_0 F}{\sin k_B F}. \quad (6.62)$$

Важным моментом в данном выражении представления отклонения поверхности воды от спокойного уровня, а также скорости и ускорения частиц воды, является то, что осредненные во времени квадраты этих величин в любом положении x выражены через амплитуды спектра. Рассмотрим для примера квадрат величины отклонения поверхности η . Он может быть получен из выражения (6.55) при значении k , произвольно принятом равным нулю,

$$\bar{\eta}^2 = \sum_n A_{nn} A_{nn} \cos(\omega_{nn} t - \phi_{nn}) \cos(\omega_{nn} t - \phi_n).$$

Прополи осреднение во времени обеих частей этого равенства и учитывая, что в силу случайного характера фазы среднее значение произведения коэффициентов при $n \neq n'$ равно нулю, а при $n = n$ равно 0,5, с учетом выражения (6.57) получим

$$\bar{\eta}^2 = \sum_n 0,5 A_{nn}^2 = \sum_n A_{nn},$$

где черта над η^2 означает осреднение по времени. В предположении, что S_x непрерывно распределено по частоте ω , последнее выражение может быть представлено в интегральной форме

$$\bar{\eta}^2 = \int_{-\infty}^{\infty} S_x d\omega, \quad (6.63)$$

Подобным образом получим

$$\bar{v}_x^2 = \int_{-\infty}^{\infty} S_v d\omega, \quad \bar{v}_x^2 = \int_{-\infty}^{\infty} S_v d\omega, \quad (6.64)$$

также

$$S_{xx} = T_F^2 S_{\eta\eta}; \quad S_{vv} = T_B^2 S_{\eta\eta}. \quad (6.65)$$

Полученные выше квадраты осредненных величин имеют видов значение, поскольку квадратные корни из них дают средневыквадратические характеристики величин, и потому, что они могут быть использованы для оценки средних значений максимальных, которые могут иметь место в указанной временной интервале. В частности, если обозначить ξ величину, такую как отклонение изолированной поверхности от спокойного уровня η , скорость воды v или ускорение a , то $\bar{\eta}$, \bar{v} , \bar{a} обозначать квадрат средних значений величинами, то средние от их максимальных значений за интервал времени T_0 выражаются по Лонг-Хитгинсу [19], как

$$\bar{\eta}_{\max}^2 = [2\pi\eta_0 \ln(T_0/T_1)]^{1/2}, \quad (6.66)$$

при этом полагается, что отношение T_0/T_1 достаточно велико, например более 100.

Полученные результаты могут быть использованы для определения динамической реакции сооружения морского причала на случайное волнение. Будем полагать, что как скорости и ускорения воды, так и перемещения η и направления ω в рассматриваемом сооружении плавно связаны с амплитудой волны. Под воздействием случайного волнения они получают следующие значения:

$$\eta = \sum_n A_{nn} T_n(\omega) \sin(\omega_n t + \phi_n); \quad (6.67)$$

$$v = \sum_n A_{nn} T_n(\omega) \sin(\omega_n t + \phi'_n), \quad (6.68)$$

где ϕ_n и ϕ'_n — случайные углы сдвига по фазе. Спектры перемещений и направлений $S_{\eta\eta}$ и S_{vv} могут быть выражены через спектр амплитуд

$$S_{\eta\eta} = T_F^2 S_{\eta\eta}; \quad S_{vv} = T_B^2 S_{\eta\eta}. \quad (6.69)$$

а осредненные квадраты значений перемещений и направлений в сооружении

$$\bar{\eta}^2 = \int_{-\infty}^{\infty} S_{\eta\eta} d\omega, \quad \bar{v}^2 = \int_{-\infty}^{\infty} S_{vv} d\omega. \quad (6.70)$$

Состоит из определения функций T_d и T_{d1} , входящих в полученные выше выражения. Они могут быть, в сущности, получены численно для любого сооружения с помощью расчетов, проведенных ранее для случая регулярных волн, при условии, что зависимость (6.11), используемая при определении τ_{d1} , будет заменена другой, не зависящей от амплитуды волны. В этом случае волнистая нагрузка на сооружение будет линейно связана с амплитудой волны, а свою очередь и перемещения платформы и любых напряжений в сооружении будут также линейной функцией от амплитуды волны, что соответствует выражениям (6.67) и (6.68).

Использованное уравнение (6.60) для случайной волны, Бортман [2] показал, что соответствующие значения $\bar{\tau}_{d1}$ выражаются через среднее квадратичное значение скорости $v_{a,c,m}$:

$$\bar{\tau}_{d1} = \sqrt{\frac{8}{\pi}} v_{a,c,m} = 1,60 v_{a,c,m}, \quad (6.71)$$

где $v_{a,c,m}$ находится для $u = u_m$ по формуле (6.64).

Теперь можно попробовать волны с единичной амплитудой и частотой ω так, что отклонение волновой поверхности от уровня спокойной воды будет описываться формулой

$$v = \cos(\omega t - \varphi_0). \quad (6.72)$$

Приведенным ранее способом расчета сооружения на регулярные волны можно определить далее соответствующие перемещения и напряжения и пропустить результаты в виде

$$\begin{aligned} u &= v_0 \sin(\omega t + \varphi_0); \\ a &= v_0 \sin(\omega t + \varphi_0). \end{aligned} \quad (6.73)$$

Если теперь в выражении (6.72) вместо случайный угол сдвига по фазе ϵ , то такой же угол должен быть добавлен к углам v_0 и φ_0 , после чего эти случайные углы фазы приведут значениям равные, скажем, ϵ' и ϵ'' соответственно. Сравнив это с оптимальными составляющими в выражениях (6.67) и (6.68), можно увидеть, что при любой частоте ω с соответствующими значениями T_d и T_{d1} получаются как амплитуды v_0 и v_0 в выражениях (6.73). Пронделив изменения при различных значениях частоты в диапазоне, которому отвечает существование отличий от нуля спектр амплитуд, можно установить функции T_d , T_{d1} и использовать их затем в выражениях (6.69) для определения параметров отклонений волновой поверхности и напряжений. Далее по выражениям (6.70) находятся средние квадратичные величины, а по ним с помощью формулы (6.66) определяются средние значения максимальных величин, возможные за рассматриваемый временной интервал.

В расчетах сооружений на сейсмом основании с использованием описанных здесь процедур необходимо, как и в случае статических или

динамических расчетов на регулярное волнение, заменять фактические погружения в группах сейсмическими в виде свободных от контакта с группами стоеч, имеющих на уровне поверхности морского дна жесткостные характеристики, которые соответствуют фактическим сдвигам и определяются изложенным в главе 5 способом. Эти характеристики обычно зависят от горизонтальной силы и изгибающего момента, которые действуют на уровне морского дна и при нерегулярном волнении изменяются с каждой новой волной. Поэтому требуются какие-то приближенные оценки жесткостей сдвиг. Одни из способов приближенной оценки жесткостей характеристик сдвигов строятся на замене высоты и периода регулярной волны параметрами эпизодических волн, полученных по формуле (6.71) и жесткостей сдвиг, соответствующих перегулируемому волнению.

Пример 6.6-1. Максимальная горизонтальное перемещение и (в метрах) платформы (рис. 6.8), которое вызвано регулярной волной, имеющей высоту H (в метрах) и круговую частоту ω (в радианах на секунду), может быть приближенно описано как

$$M = \frac{0,3H\omega^3}{1 - \frac{\omega^2}{\omega_1^2} + \frac{2\epsilon}{\omega_1} \frac{\omega^2}{\omega_1^2 - 1/4}}. \quad (6.74)$$

Таблица 6.6. Результаты вычислений

$\omega, \text{рад/с}$	$M, \text{м}$	$S_1, \text{м}^2/\text{с}$	$S_2, \text{м}^2/\text{с}$
0,40	0,144	0,369	0,009
0,50	0,208	0,633	0,343
0,55	0,244	1,180	1,096
0,60	0,276	1,537	3,335
0,65	0,328	2,221	12,188
0,70	0,390	4,542	39,270
0,75	1,048	1,783	12,914
0,80	1,136	1,075	4,255
0,90	0,732	1,979	1,659
1,00	0,572	1,272	0,418
1,20	0,444	0,557	0,111
1,40	0,392	0,369	0,093
1,60	0,364	0,130	0,008



Рис. 6.8. К примеру 6.6-1.

Пряжим $\omega_1 = 0,7$ рад/с; $\delta/\omega_1 = 0,05$, двухмерное случайное волнение с параметрами $H_0 = 6$ и $T_s = 9$ с, образует среднее квадратичное значение перемещений платформы в средней максимуме эпоки занеской за период 6 ч.

Отклонение волновой поверхности от уровня спокойной воды описывается выражением $\eta = 0,5H\cos(\lambda x - \omega t)$. Рассмотрим регулярное волнение с единичной амплитудой ($H/2 = 1$) при различных частотах и различными максимальными значениями перемещения погруженной платформы S_{\max} , максимального по формуле (6.69) при $\eta = \frac{H}{2}$. Численное интегрирование S_{\max} в интервале значительных величин дает $\bar{S}^2 = 3,98 \text{ м}^2$, т. е. $\eta_{\max} = 1,99 \text{ м}$. Далее из выражения (6.66) при $T_s/T_1 = 2400$, $\eta_0 = 3,98 \text{ м}^2$ получаем

$$\bar{\eta}_{\max} = [2 \cdot 3,98 \ln 2400]^{1/2} \approx 7,87 \text{ м.}$$

6.7. Ревизия сооружения на сейсмические воздействия

Сооружения морского шельфа, предназначенные для эксплуатации в сейсмически активном районе, должны быть рассчитаны на возможную в нем реакцию, обусловленную движением грунтового основания во время землетрясения. Эти расчеты могут быть выполнены с использованием тех же основ позиционных сооружений, которые изложены в параграфах 6.2–6.5, при условии замены волновых нагрузок на нагрузками, обусловленными ускорениями земной поверхности.

Рассмотрим для примера простейшие по конструкции сооружения морского шельфа (рис. 6.9). Как и ранее, заменим погруженные в грунт стаки экипажных стойками, жесткостные характеристики которых могут быть установлены в результате проведения инженерного процесса, описанного для установки стеллажей в главе 5. Движение грунта в области закрепленных концов экипажных стой (на уровнях узлов 1 и 5) обычно выражается через две горизонтальные и одну вертикальную составляющие ускорения земной поверхности. Реакция сооружения на все три составляющие ускорения может быть определена как сумма реакций на каждую составляющую в отдельности. Поскольку расчет за каждую составляющую ускорения выполняется с помощью одних и тех же процедур, ограниченных рассмотрением одного случая, когда движение грунта происходит

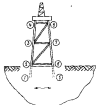


Рис. 6.9. Движение грунтового основания (показано стрелками), возбужденное землетрясением.

в направлении, указанном на рисунке, т. е. параллельно боковой стороне сооружения.

В динамическом расчете сооружениям стоят, как и в случае возникновения нагрузок, рассматриваются три подземных зоны 2–6, 3–7 и 4–8. Силы сопротивления, связанные с движением сооружения в воде, не учитываются. Чтобы проиллюстрировать основные положения расчета на сейсмических воздействиях, оставляем начальную из упрощенной схемы, в которой сопротивления массы и силы на уровнях 2–6 и 3–7 пренебрегаемыми мало по сравнению с имеющимися на уровнях 4–8. Сопротивления массы на этом якоре обозначаются m_4^* , как и оставляемые в матрице масс (6.22). Она включает массы верхнего строения и части опорной конструкции m_4 , а также преодолеваемую массу воды ρV_4 , возникшую в результате ускоренного движения сооружения в воде. Горизонтальные перемещения якорей 1–5 и 4–6 обозначим соответственно u_1 и u_4 .

Реализующую горизонтальную силу F_4 , действующую на верхнюю часть сооружения, назовем составной из внутренней силы $-m_4^*$ и силы сопротивления, обусловленной акселерацией трансверсалю сооружения. Поступая сила состоит из пропорциональной разности $u_4 - u_1$ скорости верхнего и нижнего якорей сооружения. Таким образом,

$$F_4 = -m_4^* \ddot{u}_4 - C(u_4 - u_1), \quad (6.74)$$

где C – коэффициент сопротивления. На основании статических методов расчета (см. табл. 2) усилке F_4 можно связать с относительным перемещением $u_4 - u_1$ верхнего и нижнего якорей сооружения

$$F_4 = k(u_4 - u_1), \quad (6.75)$$

где k – соответствующий коэффициент жесткости. Исключив F_4 из уравнений (6.74) и (6.75), получаем уравнение движения верхнего якоря сооружения

$$m_4^* \ddot{u}_4 + C(u_4 - u_1) + k(u_4 - u_1) = 0. \quad (6.76)$$

Обозначим относительное перемещение $u_4 - u_1$ как v и подставим это в уравнение (6.76), получим

$$\ddot{u} + 2\zeta\dot{u} + \theta^2 u = -\ddot{u}_1, \quad (6.77)$$

где постоянная затухания ζ и собственная круговая частота колебаний сооружения θ находятся из выражений

$$\zeta = C/2m_4^*, \quad \theta^2 = k/m_4^*. \quad (6.78)$$

где \ddot{u}_1 называет ускорение движущей земной поверхности при землетрясении.

Полагая нулевыми начальные значения относительного перемещения и скорости, а затухание слабым, т. е. таким, что $\zeta^2 \ll \theta^2$, решение уравнения (6.77) можно получить в виде

$$u = -\frac{1}{\theta} \int_0^t \ddot{u}_1(\tau) e^{-i(t-\tau)} \sin \theta(r-\tau) d\tau. \quad (6.79)$$

Если теперь задать закон изменения во времени ускорения \ddot{u}_1 , грунто-воткое основание в районе расположения сооружения, то можно проинтегрировать получившее выражение и определить времена действия перемещений u . Вертикальные перемещения и углы поворота верхних узлов, также как горизонтальные, вертикальные и угловые перемещения всех остальных узлов сооружения, могут быть связаны с этими горизонтальными перемещениями с помощью методов, аналогичных изложенным в параграфе 6.5, а затем могут быть вычислены напряжения в отдельных элементах. Такой подход к определению реакции сооружения на сейсмическое воздействие никогда не относится к расчету по акселерограммам.

Одним из простейших путей установления расчетного ускорения поверхности земли в районе эксплуатации сооружения является использование акселерограммы (рис. 6.10) постепенного землетрясения данной магнитуды, которая была зафиксирована в окрестности заданного района. В примере, приведенном на рисунке, максимальное ускорение земной поверхности достигло 30 % от ускорения свободного падения.

К сожалению, число имеющихся акселерограмм сильных землетрясений ограничено, и опыт показывает, что акселерограммы землетрясений одинаковой магнитуды могут очень сильно отличаться при переходе с одного места на другое даже при одинаковой удаленности их от очага землетрясения. Поэтому труда оправдывает характеристики расчетных акселерограмм в случаях, когда отсутствуют записи реальных сильных землетрясений для района, находящегося в непосредственной близости к предполагаемому месту расположения сооружения.

Чтобы разрешить эту проблему, обычно интересуются только максимальной реакцией сооружения на землетрясение, что дает возможность

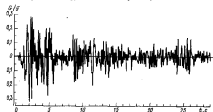


Рис. 6.10. Пример акселерограммы землетрясения, произошедшего 18.5.1946 г. в Калифорнии.

получить обобщенное описание сейсмического воздействия. Это обобщение базируется на построении спектра реакций, определяющего реакцию сооружения на землетрясение.

Из уравнения (6.79) следует, в частности, что максимальное относительное перемещение платформы

$$u_{\max} = (1/\theta) S_p, \quad (6.80)$$

где S_p — скорость спектр реакции сооружения

$$S_p = \left(\int_0^\infty \ddot{u}_1(\tau) e^{-i(t-\tau)} \sin \theta(r-\tau) d\tau \right)_{\max}. \quad (6.81)$$

Заметим, что этот спектр зависит при любом заданном законе изменения во времени ускорения земной поверхности только от собственной частоты θ (или от соответствующего периода $T = 2\pi/\theta$) колебаний сооружения и от постоянной затухания ζ . Отметим также, что теперь требуется иметь дело не с самим законом изменения ускорения во времени, а с максимальным значением интеграла от функции, в которую этот закон входит в виде множителя. В результате достигается уменьшение эффекта, связанный с различием, существующим между действительными акселерограммами землетрясения одинаковой интенсивности, и это дает возможность получать с некоторой уверенностью расчетные спектры реакции сооружений, связанные с меньшинством очага землетрясения, или общирных географических районов.

Обычно в качестве расчетного критерия принимается скорость спектр реакции или же спектр ускорений сооружения S_p , связанные между собой выражением

$$S_p = \theta S_r. \quad (6.82)$$

Типичный расчетный спектр ускорений сооружения при $\zeta/0 = 0,05$ показан на рис. 6.11. Эффективное ускорение поверхности земли G на графике дано в долях от ускорения свободного падения.

Значки действительного ускорения земной поверхности G при землетрясениях в районах морского штата США

	$G, \text{m/s}^2$
Монтерейский залив	0
Зона Кука (Аляска)	4
Против Сент-Баубера (Калифорния)	15

Более подробные сведения о спектрах ускорений сооружения и соответствующих им значениях действительного ускорения земной поверхности при землетрясениях приведены в [34].

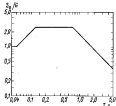


Рис. 6.11. Спектр ускорения, возбуждаемый в сооружении при затухании, равном 5% от критического значения [34].

Если известен период T собственных колебаний сооружения, то отношение S_d/G может быть получено непосредственно по спектру ускорений, подобному изображенному на рис. 6.11. Подставляя соответствующее значение ускорения G , можно определить значение S_d , а затем с помощью выражений (6.82) и (6.83) максимальное перемещение верхнего строения сооружения

$$\begin{aligned} u_{\max} &= (4\pi^2)S_d = \\ &= (T^2/4\pi^2) S_g. \end{aligned} \quad (6.83)$$

После изложенного упрощенного расчета можно вернуться к сооружению, показанному на рис. 6.9, и рассмотреть более тщательную расчетную схему, в которой сосредоточенные массы и силы отнесены не только к поясам 4–5, но и к поясам 2–6 и 3–7. Если обозначить m_1 , m_2 и m_4 горизонтальные перемещения этих поясов относительно нижнего пояса (имеющего абсолютное перемещение u_1), уравнения движений по аналогии с (6.76) могут быть записаны в виде

$$\left. \begin{aligned} m_1 \ddot{u}_1 + c_1 \dot{u}_1 + k_{12} u_2 + k_{13} u_3 + k_{14} u_4 &= F_1, \\ m_2 \ddot{u}_2 + c_2 \dot{u}_2 + k_{21} u_1 + k_{23} u_3 + k_{24} u_4 &= F_2, \\ m_4 \ddot{u}_4 + c_4 \dot{u}_4 + k_{43} u_3 + k_{42} u_2 + k_{41} u_1 &= F_4, \end{aligned} \right\} \quad (6.84)$$

где m^* – сосредоточенные массы соответствующих поясов сооружения; c – коэффициенты затухания; k – коэффициенты жесткости, в сосредоточенных узлах.

$$F_1 = -m_1 \ddot{u}_1; \quad F_2 = -m_2 \ddot{u}_2; \quad F_4 = -m_4 \ddot{u}_4. \quad (6.85)$$

Как и в параграфе 6.2, будем полагать далее, что коэффициенты сопротивления пропорциональны соответствующим сосредоточенным массам, и записав полученные выше уравнения в матричной форме

$$[m^*] \{ \ddot{u} \} + 2c [m^*] \{ \dot{u} \} + [K] \{ u \} = \{ F \}. \quad (6.86)$$

Эти уравнения могут быть решены методом разложения перемещений по собственным формам колебаний, изложенным в параграфе 6.3. В частности, используя выражение (6.29), сначала можно определить собственные круговые частоты ω_1 , ω_2 , ω_3 колебаний сооружения в виде $\lambda_1 = \omega_1^2$, $\lambda_2 = \omega_2^2$ и $\lambda_3 = \omega_3^2$ вместе с соответствующими им формами $u_{\alpha i}$ (α_1),

$u_{\alpha 2}$ (λ_2) и т. д. Далее формируется матрица форм $[P]$ в соответствии с (6.33) и вводятся новые переменные Y_1 , Y_2 , Y_3 , такие, что

$$\{ u \} = [P] \{ Y \}. \quad (6.87)$$

Теперь уравнение (6.86) можно представить ниже:

$$[m^*] \{ \ddot{Y} \} + 2c [m^*] \{ \dot{Y} \} + [K'] \{ Y \} = \{ F' \}, \quad (6.88)$$

где $[m^*]$ и $[K']$ – диагональные матрицы, заданные выражениями

$$[m^*] = [P]^T [m^*] [P]; \quad (6.89)$$

$$[K'] = [P]^T [K] [P] = [m^*] [\lambda]; \quad (6.90)$$

$[\lambda]$ – диагональная матрица, ненулевые компоненты которой равны λ_1 , λ_2 , λ_3 ;

$$\{ F' \} = [P]^T \{ F \}. \quad (6.91)$$

Матричное уравнение (6.88) может быть представлено в виде трех линейных уравнений относительно Y_1 , Y_2 и Y_3 . Решения этих уравнений записываются аналогично (6.79)

$$Y_n = \frac{1}{m_n \omega_n} \int F'_n(\tau) e^{-i(\tau-t)} \sin \omega_n(\tau-t) d\tau \quad (6.92)$$

при $n = 1, 2, 3$ соответственно. Подставляя выражения (6.85) соответствующих матриц $\{ F \}$ в равенство (6.91), можно выразить последние результаты через ускорение земной поверхности

$$Y_n = -\frac{a_0}{m_n \omega_n} \int \ddot{u}_1(\tau) e^{-i(\tau-t)} \sin \omega_n(\tau-t) d\tau, \quad (6.93)$$

$$a_0 = u_{01}(\lambda_n) m_1^2 + u_{02}(\lambda_n) m_2^2 + u_{04}(\lambda_n) m_4^2. \quad (6.94)$$

Если зависимость \ddot{u}_1 от времени известна или принята, решения для Y_1 , Y_2 , Y_3 могут быть получены из уравнений (6.93), а горизонтальные перемещения отдельных поясов определены по формуле (6.87).

Альтернативный этому методу является построение спектра реакций и определение максимальных значений Y_1 , Y_2 и Y_3 по расчетному спектру ускорений сооружения, подобному изображенному на рис. 6.11. Сопоставляя формулы (6.93) и (6.79) и используя (6.83), можно получить в частности

$$Y_{n, \max} = \frac{a_0}{m_n \omega_n^2} S_{\sigma, n} \quad (6.95)$$

где S_{4k} — ускорение сооружения, соответствующее частоте ω_4 . Максимальные возможные значения горизонтальных перемещений различных поясов сооружения могут быть определены из выражения (6.87), если предположить, что все максимальные значения Y_1 , Y_2 и Y_3 могут быть отмечены в один и тот же момент времени. Так, перемещения верхнего пояса

$$u_4 = u_{04}(\lambda_1) Y_1 + u_{04}(\lambda_2) Y_2 + u_{04}(\lambda_3) Y_3. \quad (6.96)$$

Воспользуемся в общем случае максимумом значений Y_1 , Y_2 и Y_3 и можем написать одновременно, что ионгда перемещения выражаются как корень квадратный из суммы квадратов вкладов от отдельных ферм колебаний. В этом случае вместо (6.96) получаемое равенство выглядит

$$u_4 = \left\{ [u_{04}(\lambda_1) Y_1]^2 + [u_{04}(\lambda_2) Y_2]^2 + [u_{04}(\lambda_3) Y_3]^2 \right\}^{1/2}. \quad (6.97)$$

По максимальным значениям горизонтальных перемещений отдельных звеньев сооружения можно определить соответствующие им максимальные значения вертикальных перемещений и углов поворота всех узлов (см. параграф 6.5) и по ним вычислить максимальные напряжения в отдельных элементах. Эти напряженные показы суммируются с напряжениями, обусловленными горизонтальным ускорением земной поверхности в направлениях, перпендикулярных к уже рассмотренному, а также с напряжениями, вызываемыми вертикальным ускорением. В результате будут получены максимальные напряжения в сооружении от сейсмического воздействия. Разумеется, к этим выраженным значениям быть добавлены напряжения от нагрузок, связанных с собственным весом сооружения, и полученные результаты необходимо сопоставить с допускаемыми значениями. В расчетной практике не практикуется суммировать напряжения, обусловленные землетрясением, с напряжениями от штормового волнения, поскольку расчет сооружения одновременно на сейсмическое и волновое воздействие был бы весьма неэкономичным из-за очень малой вероятности совпадения этих двух неблагоприятных условий.

Пример 6.7-1. Рассмотрим стальное сооружение (рис. 6.12) и испытуем его реакцию на движение земной поверхности при землетрясении, используя спектр ускорений, примененный на рисунке, при заданных значениях: $G = 2,5 \text{ м/с}^2$. Матрицы, определяющие массы $[m^2]$ (в тоннах) и жесткости $[K]$ (в метрамах на метр) системы имеют следующий вид:



Рис. 6.12. К примеру 6.7-1.

$$[m^2] = \begin{bmatrix} 210 & 0 & 0 \\ 0 & 420 & 0 \\ 0 & 0 & 630 \end{bmatrix};$$

$$[K] = \begin{bmatrix} 244 & -239 & 51 \\ -239 & 445 & -207 \\ 51 & -207 & 156 \end{bmatrix}.$$

По заданным матрицам масс и жесткости системы из уравнений (6.29) находится следующие

значения собственных частот и отличающие им формы колебаний:

$$\omega_1 = 5,45 \text{ рад/с}; u_{01} = 0,604; u_{02} = 0,813; u_{03} = 1,00;$$

$$\omega_2 = 20,9 \text{ рад/с}; u_{01} = -2,05; u_{02} = -1,09; u_{03} = 1,00;$$

$$\omega_3 = 44,7 \text{ рад/с}; u_{01} = 5,62; u_{02} = -3,95; u_{03} = 1,00.$$

Отсюда получаем матрицу форм

$$[P] = \begin{bmatrix} 0,60 & -2,05 & 5,62 \\ 0,81 & -1,09 & -3,95 \\ 1,00 & 1,00 & 1,00 \end{bmatrix}$$

и матрицу $[m^2]$ в выражении (6.89), диагональные элементы которой $m_1^2 = 961,2 \text{ т}; m_2^2 = 2011,5 \text{ т}; m_3^2 = 13816 \text{ т}$.

Далее по формулам (6.94) вычислим коэффициенты a_1 , a_2 и a_3 :

$$a_1 = 0,60 \cdot 210 + 0,81 \cdot 420 + 630 = 1096,2 \text{ т};$$

$$a_2 = -2,05 \cdot 210 - 1,09 \cdot 420 + 630 = -258,3 \text{ т};$$

$$a_3 = 5,62 \cdot 210 - 3,95 \cdot 420 + 630 = 151,2 \text{ т}.$$

По значениям периодов, соответствующих частотам ω_1 , ω_2 , ω_3 , равных соответственно 1,15, 0,300 и 0,140 с, по графику из рис. 6.11 при $G = 2,5 \text{ м/с}^2$ получим ускорения сооружения землетрясения землетрясением: $S_{x1} = 4,39$; $S_{x2} = 6,10$; $S_{x3} = 6,10 \text{ м/c}$. Соответствующие им максимальные значения Y_1 , Y_2 и Y_3 находятся по формуле (6.95)

$$Y_1 = \frac{1096,2 \cdot 4,39}{981,2 \cdot 29,7} = 165 \cdot 10^{-3} \text{ м};$$

$$Y_2 = \frac{258,3 \cdot 6,10}{2011,5 \cdot 436} = 1,8 \cdot 10^{-3} \text{ м};$$

$$Y_3 = \frac{151,2 \cdot 6,10}{13816 \cdot 1998} = 0,33 \cdot 10^{-3} \text{ м}.$$

И, наконец, определим по выражению (6.87) максимальные горизонтальные перемещения звеньев 2, 3 и 4, полагая, что Y_1 , Y_2 и Y_3 достигают максимальных значений одновременно: $u_1 = 0,097 \text{ м}$; $u_2 = 0,130 \text{ м}$; $u_3 = 0,167 \text{ м}$.

Задачи

1. Все четыре стороны любой стальной конструкции освобождены буровой платформы одинаковы. На рис. 6.13 изображены базовые стороны квадрата. Вертикальные элементы имеют внешний диаметр 1,22 м, а горизонтальные – 0,61 м. Построить матрицу внешних нагрузок (в килоньютонах) на полосы 2–5 и 3–6, соответствующую волне высотой 12 м в зеркале 9 с.

Ответ:

$$\begin{Bmatrix} F_x^* \\ F_y^* \end{Bmatrix} = \begin{Bmatrix} 145 \sin(-\omega t + 1,34) \\ 161 \sin(-\omega t + 1,71) \end{Bmatrix}$$

2. Построить матрицу масс $[m^*]$ (в тоннах), спреджиточенных на полосах 2–5 и 3–6 сооружения, рассмотренного в задаче 1, при условии, что все верхние строения равны 6,9 МН. Толщина стекол вертикальных элементов равна 48 мм, а горизонтальных – 12 мм. Нижние вертикальные и горизонтальные элементы защищены водой полностью, а верхние элементы – только до уровня сплошной воды.

Ответ:

$$[m^*] = \begin{bmatrix} 213 & 0 \\ 0 & 538 \end{bmatrix}$$

3. По результатам статического расчета сооружения, рассмотренного в задаче 1, при нагрузке $F_{1,2}^* = 1$ кН в разности нулю всех осталых узлов, определены перемещения на полосах 2–5 и 3–6 равны соответственно $\nu_2 = 9,11 \cdot 10^{-3}$ м; $\nu_6 = -12,33 \cdot 10^{-3}$ м.

Аналогично при $F_{1,2}^* = 1$ кН в разности нулю всех осталых узлов $\nu_6 = 12,33 \cdot 10^{-3}$ м; $\nu_2 = -36,45 \cdot 10^{-3}$ м.

Несмотря на эти данные, построить матрицу жесткости (в килоньютонах, на метр² поглощем, симметричную горизонтальным нагрузкам) на полосы 2–5 и 3–6 с горизонтальными переносчиками этих же полос.

Ответ:

$$[K] = \begin{bmatrix} 5,31 & -1,79 \\ -1,79 & 0,85 \end{bmatrix}$$

4. Определить с помощью уравнений (6.29) частоты свободных колебаний и спектрные кривые формы колебаний сооружения, рассмотренного в задаче 1, используя результаты решения задач 2 и 3.

Ответ: $\omega_1 = 0,693$ ради/с; $\omega_2/\omega_1 = 0,343$; $\omega_3 = 5,11$ ради/с; $\omega_4/\omega_1 = -7,60$.

5. Определить выражение для горизонтальных перемещений ν_1 , из полос 2–5 и 3–6 сооружения, рассмотренного в задаче 1, используя результаты решения задач 1–4 и полосы $\nu/\omega_1 = 0,68$.

Ответ: $\nu_1 = 1,64 \sin(-\omega t - 3,0)$ м; $\nu_6 = 4,13 \sin(-\omega t - 3,0)$ м.

6. Статические расчеты сооружения, рассмотренного в задаче 1, дают следующие значения перемещений узла 2: при $F_{1,2}^* = 1$ кН в разности нулю всех осталых нагрузок $\nu_2 = 0,121 \cdot 10^{-3}$ м; $\nu_6 = -24,5 \cdot 10^{-3}$ рад.

Аналогично при $F_{1,2}^* = 1$ кН в разности нулю всех осталых нагрузок $\nu_6 = -0,423 \cdot 10^{-3}$ м; $\nu_2 = -65,5 \cdot 10^{-3}$ рад.

Несмотря на результаты решения задачи 5, построить матрицу, симметричную горизонтальным и узлам извергта узла 2 с горизонтальными перемещениями в полосах 2–5 и 3–6.

Ответ:

$$\begin{Bmatrix} \nu_2 \\ \nu_6 \end{Bmatrix} = 10^3 \begin{bmatrix} -0,115 & 0,154 \\ 12,67 & 13,55 \end{bmatrix} \begin{Bmatrix} \nu_1 \\ \nu_6 \end{Bmatrix}$$

7. Определить максимальное напряжение от избыточного момента в узле 1 зеркала 2–2 сооружения, рассмотренного в задаче 1, используя решения задач 5 и 6.

Ответ: $\sigma = 0,64$ ГПа.

8. Подсчитать максимальные перемещения ν_1 , ст. II ν_2 , ст. I сооружения, рассмотренного в задаче 1, в условиях статического нагружения, т. е. в предположении о том, что в сооружении и в кинематике матричное уравнение $[K]\{\nu\}_1 = \{F^*\}$, в котором значения нагрузок также соответствуют условиям задачи 1.

9. Определить коэффициент демпфирования для максимума верхнего прогона сооружения, рассмотренного в задаче 1, используя результаты решения задач 5 и 6.

Ответ: $\nu_0/\omega_1 = -6,2$.

10. Сравнить результат решения задач 9 с результатами, которые получены другими способом, означенным в параграфе 4.10. Использовать исходные данные из задачи 3.

Ответ: $\nu_0/\omega_1, \nu_1 = 5,8$ (по результатам задачи 4).

11. Определить максимальные значения напряжений от изгиба в узле 2 зеркала 2–2 сооружения, рассмотренного в задаче 1, в условиях статического нагружения.

Ответ: $\sigma = 0,116$ ГПа.

12. Сумма сопротивления в виде симметричной конуски, загруженной в группу (рис. 6.10), соответствует следующим напряжениям жесткости $[K]$ (в килоньютонах на метр²) и масс $[m^*]$ (в тоннах):

$$[K] = \begin{bmatrix} 35,12 & -13,88 & 3,31 \\ -13,88 & 16,71 & -3,74 \\ 3,31 & -3,74 & 1,29 \end{bmatrix};$$

$$[m^*] = \begin{bmatrix} 2,86 & 0 & 0 \\ 0 & 5,11 & 0 \\ 0 & 0 & 13,64 \end{bmatrix}$$

Определить круговые частоты в формах свободных колебаний системы.

Ответ:

$\omega_1 = 3,14$ ради/с; $\omega_2/\omega_1 = -0,0918$; $\omega_3/\omega_1 = 0,470$;

$\omega_4 = 38,7$ ради/с; $\omega_5/\omega_4 = -2,38$; $\omega_6/\omega_4 = -4,96$;

$\omega_7 = 117$ ради/с; $\omega_8/\omega_7 = 32,91$; $\omega_9/\omega_7 = 7,73$.

13. Получить частоты и формы свободных колебаний в задаче 4 с измененными параметрами.

14. Определить круговые частоты и формы свободных колебаний системы в примере 6.7–1 с измененными параметрами.

15. Определить среднее квадратичное значение отклонения зеркальной поверхности от уровня сплошной воды при случайном одномерном волнении, которое соответствует спектру Брешильдера, при $H_s = 6$ м и $T_0 = 8$ с.

Ответ: $\nu_{\text{ср}} = 1,5$ м.

16. При параметрах волнения, указанных в задаче 15, и глубине воды 220 м определить среднее квадратичное значение горизонтальной скорости на уровне сплошной воды. (Использовать схему (8) $K_{12}/M = 1$ и интегрировать выражение (6.64) восьмиступенчатым методом.)

Ответ: $v_{\text{ср}} = 1,44$ м/с.

17. При параметрах волнения, указанных в задаче 15, определить средний максимум отклонения морской поверхности за 12 с.

Ответ: Число = 6,31.

18. Максимальное напряжение от изгиба в сечении 1 зеркала 2–2 сооружения, показанного на рис. 6.15, приближенно определить через параметры регулярного волнения – высоту H (в метрах) и круговую частоту ω (в радианах за секунду) с помощью выражения

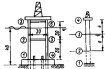


Рис. 6.14. К задаче 1.
для 12.

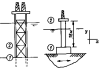


Рис. 6.15. К №-
для 18.

Рис. 6.16. К задаче 25.
для 18.

$$\sigma = \left\{ \left[1 - \left(\frac{\omega}{\omega_1} \right)^2 \right]^2 + \left(\frac{2x}{L_1} - \frac{\omega}{\omega_1} \right)^2 \right\}^{1/2}$$

где x — в метрах.

Положение $\omega_1 = 1,25$ ради/с, $2x/L_1 = 0,1$, определить среднее квадратичное значение сдвига передупругим возбуждением с параметрами $H_0 = 10,5$ м и $\frac{T}{T_0} = 10$ с, используя метод Бретцелльстера.

19. Исследовать средние квадратичные значения напряжения, найденные из решения задачи 16, подавая средний максимальный напряженность на 12 %.

20. Определить средние квадратичные значения напряжения от изгиба в сечении 1 элемента 1–2 сооружения, рассмотренного в задаче 1, при единичном ступенчатом возбуждении с параметрами $H_0 = 6$ м и $\xi = 9$. Принять значения $L_1 = 10$ м, а времена 2–5 и уровне изгиба ω_1 между различными соответственны 0,6 и 1,8 ради/с.

21. Исследовать решения задачи 20, определить средний максимальный значение напряжений за 6 ч.

Ответ: $\bar{\sigma}_{1,2} = 264$ МПа.

22. Выходы в первом расчетной регулируемой колонне, как правило, подвергаются различиям $M_{1,2}$ и T_0 , где M_1 и T_0 — параметры максимальных изогнутых волн в изогнуемых узлах. Их же в виду, сопоставить результаты решения задач 21 и 7 и обнаружить, почему при регулировании колонн получены большие значения напряжений.

23. Движение грунтового основания, связанное с землетрясением, приближенно описывается выражением $\tilde{u}_t = 3 \sin 12t$.

Несимметрическим или чистоным интегрированием выражения (6.79) определить максимальные перемещения первого срокаов сооружения, имеющего собственную частоту колебаний $\delta = 3,0$ ради/с.

24. Определить максимальные смещения первых срокаов сооружения из задачи 23, используя спектр решений, приведенный на рис. 6.11, при $G = 4$ м/с². Ответ: $u_{max} = 1,40$ м.

25. Бетонное гравитационное сооружение, показанное на рис. 6.16, имеет верхнюю обрешетку массой 220 т. Масса колонн вместо с промежуточными насосами составляет 360 т. Полная собственная частота колебаний сооружения, соответствующая выражению $\omega^2 = 3E/J_0M_0$ (где $E = 27,5$ ГПа и $J = 93,4$ м⁴), определить:

а) максимальные перемещения верхнего строения в направлении X при землетрясении ($G = 4$ м/с²), используя спектр решений на рис. 6.11;

б) максимальные напряжения в основании колонн, связанные с изгибом.

26. Определить горизонтальные перемещения поверхий 2–3 и 3–6 сооружения, рассмотренного в задаче 1 при землетрясении ($G = 4$ м/с²), используя спектр решений на рис. 6.11.

Приложение

МАТРИЧНАЯ АЛГЕБРА

1. Определители

Определители это порядок записываются в виде матрицы чисел, называемых элементами, или строк и столбцов

$$D = \begin{vmatrix} a_{11} & a_{12} & \dots & a_{1n} \\ a_{21} & a_{22} & \dots & a_{2n} \\ \vdots & \vdots & \ddots & \vdots \\ a_{n1} & a_{n2} & \dots & a_{nn} \end{vmatrix}$$

Определитель имеет алгебраическое значение, которое выражается как алгебраическая сумма всех возможных произведений из n элементов:

1) каждое слагаемое содержит в качестве семивекторной только по одному элементу из каждой строки и каждого столбца;

2) каждое слагаемое имеет знак плюс или минус в зависимости от четности или нечетности соответствующего числа инверций (буквами число соответствует инверции) в ряду первых инверций, получаемого после записи семивекторной в порядке возрастания первых инверций.

На первом условии следует, что общее число слагаемых равно $(n-1)!$ (и -1 — -1), а знак каждого из них определяется по второму условию.

Рассмотрим для примера определитель второго порядка

$$D = \begin{vmatrix} a_{11} & a_{12} \\ a_{21} & a_{22} \end{vmatrix} =$$

Значение определителя складывается из $2 \times 1 = 2$ слагаемых. Запишем их так, чтобы вторые элементы (соответствующие номерам столбцов) расположились в порядке возрастания: $a_{1,1}a_{2,2} - a_{1,2}a_{2,1}$. В первом шаге мы поменяем местами (соответствующие строки) местами в порядке возрастания, т. е. здесь инверсия нет. Но эти два слагаемых первых инверций стоят в выражении $1,1$, т. е. имеют один инвертифик. Таким образом, значение определителя находится как

$$D = a_{1,1}a_{2,2} - a_{1,2}a_{2,1}.$$

Рассмотрим теперь определитель третьего порядка

$$D = \begin{vmatrix} a_{11} & a_{12} & a_{13} \\ a_{21} & a_{22} & a_{23} \\ a_{31} & a_{32} & a_{33} \end{vmatrix} =$$

Здесь значение определителя складывается из $3 \times 2 \times 1 = 6$ слагаемых. Следует записать определитель такими, чтобы вторые инверции расположились в порядке возрастания их:

$$a_{1,1}a_{2,2}a_{3,3}, \quad a_{1,1}a_{2,3}a_{3,2}, \quad a_{1,2}a_{2,1}a_{3,3}$$

$$a_{1,2}a_{2,3}a_{3,1}, \quad a_{1,3}a_{2,1}a_{3,2}, \quad a_{1,3}a_{2,2}a_{3,1}$$

Число ненулевых в ряду первых коэффициентов равно 0, 2, 2, 3, 1, 1 соответственно. Таким образом, $D = a_{11}a_{22}a_{33} + a_{12}a_{23}a_{31} + a_{13}a_{21}a_{32} - a_{11}a_{23}a_{32} - a_{11}a_{32}a_{23} - a_{12}a_{31}a_{23}$.

Алгебраическое дополнение c_{ij} элемента a_{ij} определителя выражается как $c_{ij} = (-1)^{i+j} \cdot D_{ij}$, где D_{ij} – минор элемента a_{ij} , определенный собой определителем $(n-1)$ -го порядка, полученный вычеркиванием из i -й строки и j -го столбца из определителя n -го порядка. Следовательно, что определитель n -го порядка можно выразить через алгебраическое дополнение:

$$D = \sum_{j=1}^n a_{1j}c_{1j} = \sum_{j=1}^n a_{2j}c_{2j}$$

так i в первой суммме, j во второй могут иметь любые значения от 1 до n .

Пример. Для определителя

$$D = \begin{vmatrix} 2 & 1 & 3 \\ 1 & 2 & 2 \\ 0 & 1 & 4 \end{vmatrix}$$

Используя первую сумму в приведенном выше выражении, получим при $i = 1$

$$D = a_{11}c_{11} + a_{12}c_{12} + a_{13}c_{13},$$

т.е.

$$c_{11} = (-1)^{1+1} \begin{vmatrix} 3 & 2 \\ 1 & 4 \end{vmatrix} = + (12 - 2) = 10;$$

$$c_{12} = (-1)^{1+2} \begin{vmatrix} 1 & 3 \\ 0 & 4 \end{vmatrix} = - (4 - 0) = -4;$$

$$c_{13} = (-1)^{1+3} \begin{vmatrix} 2 & 3 \\ 0 & 1 \end{vmatrix} = + (2 - 0) = 1.$$

Таким образом, $D = 2(10) + 2(-4) + 3(1) = 15$.

2. Матрицы

Прямоугольная таблица чисел, расположенных в виде m строк и n столбцов, называется матрицей размера $m \times n$. Например,

$$\begin{bmatrix} a_{11} & a_{12} & a_{13} & a_{14} \\ a_{21} & a_{22} & a_{23} & a_{24} \\ a_{31} & a_{32} & a_{33} & a_{34} \end{bmatrix}$$

называется матрицей размера 3×4 . В отличие от определителя матрица не имеет конкретного значения. Это есть просто таблица чисел или схема для какого-то вида вычислений.

Матрица называется квадратной, если у нее число строк равно числу столбцов. Она может изображаться как матрица размера $k \times k$ или как матрица n -го порядка. Квадратные матрицы называются симметричными, если элементы из верхней и правой половин матрицы могут быть получены поворотом матрицы вокруг главной диагонали, например

$$\begin{bmatrix} 1 & 1 & 3 \\ 1 & 5 & 0 \\ 3 & 0 & 1 \end{bmatrix}$$

У матрицы строки $m = 1$, т. е. $\{A\} = \{a_{11}a_{21}\ldots a_{m1}\}$, а у матрицы-столбца $n = 1$, т. е.

$$\begin{bmatrix} A \\ \vdots \\ A \end{bmatrix} = \begin{bmatrix} a_{11} \\ a_{21} \\ \vdots \\ a_{m1} \end{bmatrix}.$$

Отметим, что в отличие от других матриц для обозначения матриц-столбцов используют фигурные скобки.

Диагональная матрица – это квадратная матрица, у которой все недиагональные элементы равны нулю.

$$\{A\} = \begin{bmatrix} 2 & 0 & 0 \\ 0 & 4 & 0 \\ 0 & 0 & 3 \end{bmatrix}.$$

Блок-диагональная матрица – это диагональная матрица, у которой все диагональные элементы равны единице.

Матрица $\{A\}^T$ является транспонированной по отношению к матрице $\{A\}$, если строки одной из них являются столбцами другой. Например,

$$\{A\} = \begin{bmatrix} a_{11} & a_{12} & a_{13} \\ a_{21} & a_{22} & a_{23} \\ a_{31} & a_{32} & a_{33} \end{bmatrix}; \quad \{A\}^T = \begin{bmatrix} a_{11} & a_{21} & a_{31} \\ a_{12} & a_{22} & a_{32} \\ a_{13} & a_{23} & a_{33} \end{bmatrix}.$$

Минор M_{ij} в алгебраическом дополнении C_j квадратной матрицы находят как минор в алгебраическом дополнении определителя, образованного из матрицы.

Блок-матрица квадратной матрицы $\{A\}$ заменять его алгебраическим дополнением, а затем транспонировать матрицу алгебраических дополнений, то полученные таким образом матрицы будут присоединяться к матрице $\{A\}$. Так, если матрица алгебраических дополнений элементов матрицы $\{A\}$ имеет вид

$$\{C\} = \begin{bmatrix} c_{11} & c_{12} & c_{13} \\ c_{21} & c_{22} & c_{23} \\ c_{31} & c_{32} & c_{33} \end{bmatrix},$$

то транспонированная к $\{A\}$ матрица есть

$$\text{adj}\{A\} = \{C\}^T = \begin{bmatrix} c_{11} & c_{12} & c_{13} \\ c_{21} & c_{22} & c_{23} \\ c_{31} & c_{32} & c_{33} \end{bmatrix}.$$

Операции над матрицами. Для матрицы имеются основные операции строк и столбцов, могут быть склонены суммированием соответствующих их элементов. Например,

$$\begin{bmatrix} 1 & 3 & 2 \\ 4 & 1 & 1 \end{bmatrix} + \begin{bmatrix} 2 & 0 & 4 \\ 1 & -2 & -3 \end{bmatrix} = \begin{bmatrix} 3 & 3 & 6 \\ 5 & -1 & -2 \end{bmatrix}.$$

Произведение двух матриц $\{A\}$ и $\{B\}$ является новая матрица $\{C\}$

$$\{C\} = \{A\}\{B\}.$$

Значение c_{ij} которой получается перемножением элементов i -й строки матрицы $\{A\}$ на соответствующие им элементы j -го столбца матрицы $\{B\}$:

$$c_{ij} = \sum_{k=1}^n a_{ik}b_{kj}$$

Например,

$$\{A\} = \begin{bmatrix} 1 & 0 & 1 \\ 1 & 2 & 0 \\ 1 & 0 & 3 \end{bmatrix}; \{B\} = \begin{bmatrix} 2 & 0 \\ 3 & -1 \\ 0 & 1 \end{bmatrix}.$$

$$\{C\} = \{A\}\{B\} = \begin{bmatrix} 1 & 0 & 1 \\ 1 & 2 & 0 \\ 1 & 0 & 3 \end{bmatrix} \begin{bmatrix} 2 & 0 \\ 3 & -1 \\ 0 & 1 \end{bmatrix} = \begin{bmatrix} 5 & 0 \\ 11 & -1 \\ 3 & 0 \end{bmatrix}.$$

Очевидно, что для возможности умножения матрицы число строк в матрице $\{B\}$ должно равняться числу столбцов в матрице $\{A\}$. Заметим, что $\{A\}\{B\} \neq \{B\}\{A\}$.

Результатом умножения матрицы $\{A\}$ на единицу является матрица, имеющая элементы, соответствующие элементам $\{A\}$ и умноженные на c . Например,

$$c\{A\} = \begin{bmatrix} ca_{11} & ca_{12} \\ ca_{21} & ca_{22} \\ ca_{31} & ca_{32} \end{bmatrix}.$$

Результатом умножения матрицы на матрицу-столбец с единицами является матрица-строки. Так,

$$\begin{bmatrix} 1 & 1 & 1 \\ 1 & 5 & 2 \\ 1 & 1 & 1 \end{bmatrix} \begin{bmatrix} 1 \\ 2 \\ 2 \end{bmatrix} = \begin{bmatrix} 6 \\ 10 \\ 6 \end{bmatrix}.$$

Результатом умножения матрицы на матрицу-строку (или ее транспонированную матрицу-столбец) слева лежат матрицы-строки, т.е.

$$\begin{bmatrix} 1 & 3 & 2 \end{bmatrix} \begin{bmatrix} 1 & 1 \\ 1 & 2 \\ 2 & 1 \end{bmatrix} = [8 \quad 18 \quad 13].$$

Матрица $\{A\}^{-1}$, называемая обратной по отношению к квадратной матрице $\{A\}$, удовлетворяет следующему условию: $\{A\}^{-1}\{A\} = \{A\}\{A\}^{-1} = \{I\}$, т.е. если матрица $\{A\}$ ортогональна, то $\{A\}^{-1}\{A\} = \{A\}\{A\}^{-1} = \{I\}$.

На определение обратной матрицы следует, что для ортогональной матрицы обратное равенство $\{A\}^{-1} = \{A\}^{-1}$.

Обратная матрица определяется соотношением

$$\{A\}^{-1} = (1/\det\{A\})\operatorname{adj}\{A\},$$

где $\{A\}$ – значение обратимости из элементов матрицы $\{A\}$.

Обратимся к примеру матрицы

$$\{A\} = \begin{bmatrix} 1 & 0 & 1 \\ 2 & 3 & 0 \\ 1 & 4 & 0 \end{bmatrix}.$$

Определитель этой матрицы $A = 6$. Алгебраические дополнения элементов матрицы находятся как

$$c_{11} = (-1)^{1+1} \begin{bmatrix} 3 & 0 \\ 4 & 0 \end{bmatrix} = 1;$$

$$c_{12} = (-1)^{1+2} \begin{bmatrix} 2 & 0 \\ 1 & 0 \end{bmatrix} = -4;$$

т.к. т.е.

Таким образом, матрица алгебраических дополнений имеет вид

$$\{C\} = \begin{bmatrix} 1 & -4 & 5 \\ 4 & 2 & -4 \\ -3 & 0 & 3 \end{bmatrix}.$$

Происходящая матрица получается транспонированием матрицы $\{C\}$. Теперь находим обратную матрицу:

$$\{A\}^{-1} = \frac{1}{6} \begin{bmatrix} 1 & 4 & -3 \\ -4 & 2 & 0 \\ 5 & -4 & 1 \end{bmatrix} = \begin{bmatrix} 1/6 & 2/3 & -1/2 \\ -2/3 & 1/3 & 0 \\ 5/6 & -2/3 & 1/2 \end{bmatrix}.$$

Блоковые матрицы. Матрицы могут быть разделены на блоки горизонтальными и вертикальными линиями, или посредством скобок. Пример:

$$\begin{bmatrix} 2 & 4 & -1 \\ 0 & -3 & 4 \\ 1 & 2 & 2 \\ 3 & -1 & -5 \end{bmatrix} = \begin{bmatrix} \{A\} & \{B\} \\ \{C\} & \{D\} \end{bmatrix},$$

при блоках

$$\{A\} = \begin{bmatrix} 2 & 4 \\ 0 & -3 \\ 1 & 2 \end{bmatrix}; \{B\} = \begin{bmatrix} -1 \\ 4 \\ 2 \end{bmatrix}; \{C\} = \begin{bmatrix} 1 & -1 \\ 3 & -1 \end{bmatrix}; \{D\} = \begin{bmatrix} -5 \end{bmatrix}.$$

Блоковые матрицы, если рассматривать их блоки как элементы, подчиняются тем же правилам сложения и умножения, что и обычные матрицы.

3. Решение систем линейных алгебраических уравнений

Рассмотрим систему линейных алгебраических уравнений

$$\begin{aligned} x_{11}x_1 + x_{12}x_2 + x_{13}x_3 &= x_1; \\ x_{21}x_1 + x_{22}x_2 + x_{23}x_3 &= x_2; \\ x_{31}x_1 + x_{32}x_2 + x_{33}x_3 &= x_3; \end{aligned}$$

в которой x_1 и x_2 – заданы, а x_3 – неизвестны. Эти уравнения можно представить в матричной форме

$$\{A\}\{X\} = \{Y\},$$

т.е.

$$\begin{bmatrix} x_1 \\ x_2 \\ x_3 \end{bmatrix} = \begin{bmatrix} x_1 \\ x_2 \\ x_3 \end{bmatrix}; \begin{bmatrix} Y \end{bmatrix} = \begin{bmatrix} x_1 \\ x_2 \\ x_3 \end{bmatrix}; \{A\} = \begin{bmatrix} x_{11} & x_{12} & x_{13} \\ x_{21} & x_{22} & x_{23} \\ x_{31} & x_{32} & x_{33} \end{bmatrix}.$$

Умножив обе части матричного равенства на $\{A\}^{-1}$, получим

$$\{A\}^{-1}\{A\}\{X\} = \{A\}^{-1}\{Y\}.$$

Но по определению $\{A\}^{-1}$ имеет $\{A\}^{-1}\{A\} = \{I\}\{X\} = \{X\}$. Отсюда $\{X\} = \{A\}^{-1}\{Y\}$, т.е. для получения решения относительно x_1 , x_2 , x_3 необходимо найти матрицу, обратную по отношению к $\{A\}$, и умножить ее на матрицу-столбец $\{Y\}$.

Алгебраические процедуры вычисления и при решении систем с неизвестными. Матричные выражения, в том числе обратные, удобно выполнять с помощью компьютеров.

СПИСОК ЛИТЕРАТУРЫ

1. Bee R. G. Gulf of Mexico hurricane wave heights. — Proc. VI Annual Offshore Technology Conference, 1974, p. 391–416.
2. Borgman L. Spectral analysis of ocean wave forces on piling. — J. of the Waterways and Harbour Div., ASCE, 1967, vol. 93, p. 129–156.
3. Brunscheck C. L. Wave variability and wave spectra for wind generated gravity waves. — US Army Corps of Eng. Beach Erosion Board Memorandum, (359, N 118).
4. Brunscheck C. L. Deepwater wind and wave forces. — Handbook of ocean and underwater engineering (ed Myers J. J. et al.), McGraw-Hill, N-Y, 1969.
5. Building code requirements for reinforced concrete. — Amer. Concrete Inst. Publication, Detroit, Mich., 1977, vol. 311.
6. Chakrabarti B. K., Tan M. W., Wolbert A. L. Wave forces on a randomly oriented tube. — Proc. VII Annual Offshore Technology Conference, 1975, p. 433–441.
7. Cox W. R., Kraft L. M., Verner E. A. Axial loads tests on 14-inch pipe piles in clay. — Proc. VIII Annual Offshore Technology Conference, 1979, p. 1147–1151.
8. Cuyler H. M., Reese L. C. Load transfer for axially loaded piles in clay. — J. Soil Mech. and Found. Div., ASCE, 1966, vol. 92, p. 1–16.
9. Dawson T. H. Simplified analysis of offshore piles under cyclic lateral loads. — Ocean Engineering, 1980, vol. 7, p. 553–562.
10. Fowler J. W. Construction of the Chesapeake light station. — J. Civil Engineering, 1965, vol. 35, p. 75.
11. Fausett N. E., Hall W. J. Footing vibration with nonlinear subgrade support. — J. Soil Mech. and Found. Div., ASCE, 1967, vol. 93, p. 191–211.
12. Gaylord E. H., Gaylord C. N. Design of steel structures. — McGraw-Hill, N-Y, 1972.
13. Guide for the design and construction of fixed offshore concrete structures. — J. Amer Concrete Inst., 1978, vol. 73, N 12, p. 684–709.
14. Kinsman B. Wind waves. — Prentice-Hall, Englewood Cliffs, 1965.
15. Lee G. C. Offshore structures—past, present, future and design consideration. — J. Offshore, 1968, vol. 28, N 6, p. 45–55.
16. Lee G. C. Recent advances in design and construction of deepwater platforms. P. I. — J. Ocean Industry, 1980, Nov., p. 71–80.
17. Lee G. C. Recent advances in design and construction of deepwater platforms. P. II. — J. Ocean Industry, 1981, Feb., p. 78–82.
18. Liu Y. Y. Design of prestressed concrete. — John Wiley and Sons, N-Y, 1963.
19. Longuet-Higgins M. S. On the statistical distribution of the heights of sea waves. — J. Marine Research, 1952, vol. 11, p. 245–266.
20. MacCamy R. C., Fuchs R. W. Wave forces on piles. A diffraction theory. — US Army Corps of Eng. Tech. Memorandum, 1954, N 69.
21. Maddox R. R., Willemsen A. N. A spectral fatigue analysis for offshore structures. — Proc. VII Annual Offshore Technology Conference, 1975, p. 185–193.
22. Martin H. C. Introduction to matrix methods of structural analysis. — McGraw-Hill, N-Y, 1966.
23. Mathews M. K., Hubbard J. L. An ocean structure. — Proc. Conf. Civil Eng. in the Oceans, ASCE, San Francisco, 1967, p. 183–202.
24. Mattock H. Consideration for design of laterally loaded piles in soft clay. — Proc. II. Annual Offshore Technology Conference, 1970, p. 573–587.
25. McCloud B., Fuchs J. A., Emrich W. J. Problems in design and installation of heavily loaded pipe piles. — Proc. Conf. Civil Eng. in the Oceans, ASCE, 1967, p. 601–634.
26. McCloud B. Design of deep penetration piles for ocean structures. — J. of the Geotechn. Eng. Div., ASCE, 1974, vol. 100, p. 703–747.
27. McCormick M. E. Ocean engineering—wave mechanics. — John Wiley, N-Y, 1973.
28. McGarry W. Steel structures. — Prentice-Hall, Englewood Cliffs, N-Y, 1968.
29. Milne-Thomson L. M. Jacobian elliptic function tables. — Dover Publications, N-Y, 1950.
30. Migridge G. R., Jamison W. W. Wave loads on large circular cylinders a design method. — Naval Research Council Report, NRC, 1976, N 15823.
31. Morison J. R., O'Brien M. P., Johnson J. W., Schaaf S. A. Forces exerted by surface waves on piles. — Petroleum Transact. Amer. Inst. of Mining Eng., 1950, vol. 189, p. 149–154.
32. Olsen O. A. Wind, wave and current forces on offshore structures. — The Tech. of Offshore Drilling, Completion and Production. The Petroleum Publ. Corp., Tulsa, Okla., 1976.
33. Pierce W. S., Meekowitz L. A proposed spectral form for fully developed wind seas based on the similarity theory of S. A. Kitagorodskii. — US Navy Oceanographic Office Report, 1953, N 63368–1942.
34. Recommended practice for planning, designing and constructing fixed offshore platforms. — Amer. Petrol. Inst. Publ. RP-2A, Dallas, Tex., 1980.
35. Reese L. C., Cox W. R., Koop T. D. Analysis of lateral loaded piles in sand. — Proc. VI Annual Offshore Technology Conference, 1974, p. 473–483.
36. Reese L. C., Cox W. R. Pullout tests of piles in sand. — Proc. VIII Annual Offshore Technology Conference, 1976, p. 527–538.
37. Raffin M. H. Wave forces and structural response. — Trident Scholar Project Report US Naval Academy, Annapolis, 1980, N 108.
38. Raffin J. V. Steel offshore towers replace lightships. — J. Civil Engineering, 1965, vol. 35, p. 12.
39. Skjelkvale L. Gravity waves, Stokes third order approximation. Tables of functions. Council on Wave research. — Univ. of California, Berkeley, 1959.
40. Skjelkvale L., Hessdokken A. Fifth order gravity wave theory. — Proc. VII Conference on Coastal Engineering, 1961, p. 184–196.
41. Specifications for the design, fabrication and erection of structural steel buildings. — Amer. Inst. of Steel Constr., N-Y, 1969.
42. Thom R. C. New distribution of extreme winds in the United States. — J. of the Structural Div., ASCE, 1968, vol. 94, p. 1787–1801.
43. Wade R. G., Dwyer M. On the application of Morison's equation to fixed offshore platforms. — Proc. VIII Annual Offshore Technology Conference, 1976, p. 1181–1188.
44. Watt R. J. Basic structural systems—a review of their design and analysis requirements. — Numerical methods in offshore engineering (ed. Zienkiewicz O. C. et al.), John Wiley, N-Y, 1978, p. 1–42.
45. Weigel R. L. A presentation of shoidal wave theory for practical application. — J. of Fluid Mech., 1966, vol. 3, p. 273–286.
46. Weigel R. L. Oceanographical Engineering. — Prentice-Hall, Inc., Englewood Cliffs, N-Y, 1964.
47. Willems M., Lucas W. M. Matrix analysis for structural engineering. — Prentice-Hall, Englewood Cliffs, N-Y, 1968.
48. Wind forces on structures. — Transactions ASCE, 1961, vol. 116, p. II, p. 1124.
49. Wiener G., Nelson A. H. Design of concrete structures. — McGraw-Hill, N-Y, 1973.

ОГЛАВЛЕНИЕ

Предисловие	5	3.4. Волнистые нагрузки на вертикальные колонны	97
I. ВВЕДЕНИЕ	7	Нагрузки от воли Зри	99
1.1. Проектирование стационарных морских гидротехнических сооружений	7	Нагрузки от воли Стокса	101
1.2. Стационарные морские гидротехнические сооружения	9	Нагрузки от квазиволновых волн	103
Конструкции с ферменным спиральним основанием	9	Эффекты относительного движение	105
Легкогойт конструции	17	Боковые динамические колебания	106
Гравитационные конструкции	18	3.5. Влияние нагрузки на конструктивные элементы	107
Глубоководные конструкции	23	3.6. Максимальные возможные нагрузки на морские гидротехнические сооружения	110
1.3. Расчет стационарных сооружений	24	3.7. Приведение волновых нагрузок к узловым	114
2. МАТРИЧНАЯ ФОРМА РАСЧЕТА СООРУЖЕНИЙ	27	3.8. Связь подрамников	118
2.1. Матричные сопряжения	27	3.9. Нагрузки от течения	122
Прямой метод жесткости	32	3.10. Динамические вспомогательные нагрузки	123
2.2. Плоские фермы	35	Задачи	125
Узловые обозначения	38		
2.3. Пространственные фермы	44		
2.4. Плоские рамы	46		
Методика жесткости элемента	47		
Применение трехмеризированной жесткости элемента	49		
Учет радиальных распределенных нагрузок	61		
Другие виды плоских нагрузок	69		
2.5. Пространственные рамы	69		
Задачи	72		
3. ВНЕШНИЕ НАГРУЗКИ	77	4. МЕТОДЫ СТАТИЧЕСКОГО РАСЧЕТА	129
3.1. Скорость ветра	78	4.1. Расчеты воздействий отрывистой волны	129
3.2. Ветровые нагрузки	80	4.2. Расчеты стационарных морских шельфовых платформ	130
3.3. Морские волны	84	4.3. Установка крановской, обуславливаемой продольным изгибом	137
Теория волн Зри	84	4.4. Нагружение в стальных цилиндрических элементах от поперечного давления	141
Теория волн Стокса	87	Свободный цилиндрический элемент	141
Теория квазиволновых волн	92	Закрепленный цилиндрический элемент	144
Области применения теорий	96	4.5. Критерий прочности для стальных элементов	150
		4.6. Колебание подкреплений	154
		4.7. Расчеты узловых сопряжений	157
		4.8. Расчеты инженерных сооружений морского пейзажа	163
		4.9. Нагружения в бетонных сооружениях от наружного давления	178
		Влияние защищенной южной	179
		Сферические линзы циклонов	181
		4.10. Оценка влияния динамического характера воздействий	185
		Задачи	191
5. РАСЧЕТ ОСНОВАНИЙ И ФУНДАМЕНТОВ	195		
5.1. Характеристики групп	195		
5.2. Связь для сооружения фундаментного типа	197		
5.3. Определение исходной способности связей при действии	199		
составных нагрузок	200		
5.4. Пороговая реакция связей на осевую нагрузку	201		
5.5. Равнокомпонентные связи на пропорциональную горизонтальную нагрузку	207		
5.6. Жесткостные характеристики эпюанных связей	214		
5.7. Фундаменты промышленных сооружений морского якоря	218		
5.8. Искусственная способность фундаментов	219		
5.9. Сопротивление фундамента осязанию	221		

5.10. Ракурс фундамента на нагрузки общего числа	221
5.11. Тертия решений сокращения	223
5.12. Особые фундаменты	228
Задачи	232
6. ДИНАМИКА СООРУЖЕНИЙ МОРСКОГО ШЕЛЬФА	235
6.1. Принципы волнового воздействия и упругим нагрузкам	235
6.2. Управляемая динамика	249
6.3. Различия по формам собственных колебаний	245
6.4. Итерационный метод вычисления форм колебаний	252
6.5. Решение задачи огибающей	256
6.6. Динамическая реконструкция проступающих волн	260
6.7. Реконструкция сооружений из обобщенных коэффициентов	266
Задачи	274
Приложения. Матричный алгебра	277
Список литературы	282

Серия „Техника освоения океана“

Томас Доусон

**ПРОЕКТИРОВАНИЕ
СООРУЖЕНИЙ
МОРСКОГО ШЕЛЬФА**

Перевод с английского В. А. Смолова и К. Н. Шуменка

Заведующий редакционной коллегией И. Г. Рудницкий

Редактор Н. П. Солдатова

Художественный редактор О. Л. Абрамов

Технический редактор Е. А. Перевоз

Карректоры Т. С. Альхимовская, А. Н. Омышев, В. Ю. Соколова

Перевод художника Е. Н. Осипченко

ИБ № 1162

Подписано в печать 18.08.86. Формат 60 x 80 1/16. Количество офсетных листов 17. Количество страниц, текста, л. 18,0. Усл. кр.-отт. 18,0. Усл.-изд. л. 18,7. Тираж 1650 экз. Инд. № 4914-94. Знаки 555
Цена 1 р. 40 к.

Набрано в издательстве „Студия-Пресс“ на компьютере типа ИМП МС сперва переводчицей Т. В. Лебединской и Е. В. Михайловой.

Издательство „Студия-Пресс“, 191165, Ленинград, ул. Гагарина, 8.

Тульская типография. Сланцевографическая пра. Государственным комитетом СССР по делам культуры, полиграфии и книжной торговли, г. Тула, пр. Ленина, 193.